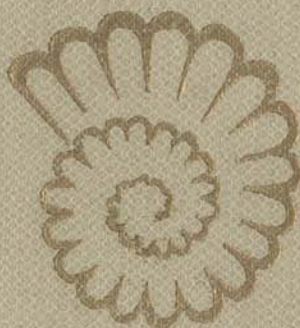


95226

ОЗЖ

ПОЛЕВОЙ АТЛАС

ЮРСКОЙ ФАУНЫ И ФЛОРЫ
СЕВЕРО-ВОСТОКА СССР



МИНИСТЕРСТВО ГЕОЛОГИИ РСФСР
СЕВЕРО-ВОСТОЧНОЕ ОРДЕНА ТРУДОВОГО КРАСНОГО ЗНАМЕНИ
ГЕОЛОГИЧЕСКОЕ УПРАВЛЕНИЕ

А. Ф. ЕФИМОВА, В. П. КИНАСОВ, К. В. ПАРАКЕЦОВ,
И. В. ПОЛУБОТКО, Ю. С. РЕПИН, А. С. ДАГИС

ПОЛЕВОЙ АТЛАС
ЮРСКОЙ ФАУНЫ И ФЛОРЫ
СЕВЕРО-ВОСТОКА СССР

Магаданское книжное издательство — 1968

Предисловие

Полевой атлас содержит описания и изображения 223 форм двустворчатых моллюсков, аммонитов, белемнитов, брахиопод, морских лилий и растений, наиболее широко распространенных в юрских отложениях Северо-Востока и имеющих стратиграфическое значение. 51 вид из общего числа форм является новым.

Описательной части предшествует очерк биостратиграфии юрских отложений Северо-Востока СССР.

Предназначен для геологов полевых партий, выполняющих геологосъемочные работы, стратиграфов и палеонтологов.

Настоящий атлас представляет краткое палеонтологическое пособие по юрским окаменелостям Северо-Востока СССР. Основное его назначение — помочь геологам полевых партий определять возраст отложений по характерным комплексам фауны и флоры юрского периода. Атлас может быть также использован стратиграфами и палеонтологами при определениях коллекций юрских окаменелостей.

В атласе описаны виды, наиболее широко распространенные в юрских отложениях Северо-Востока и имеющие важное стратиграфическое значение. Всего описано и изображено 223 формы ископаемых. Из них на долю двустворчатых моллюсков, наиболее многочисленных в отложениях этого возраста, приходится 112 форм, на долю аммонитов, имеющих основное руководящее значение для стратиграфии юры, — 61 вид, белемнитов — 21 вид; кроме того, в атласе описано 13 видов брахиопод из нижнелейасовых, плинсбахских и верхнеюрских отложений, где они довольно часто встречаются, и один вид морских лилий — пентакринусов, повсеместно распространенных в отложениях нижнего лейаса. В атласе помещены также изображения и описания 15 видов ископаемой флоры из ниже- и верхнеюрских пород.

Атлас состоит из двух частей — описательной и иллюстративной. Описательной части предшествуют очерк биостратиграфии юрских отложений Северо-Востока, краткие пояснения к морфологии раковин основных групп фауны и флоры и объяснение употребляемых в атласе латинских терминов. В конце работы приводится алфавитный указатель изображенных родов, подродов, видов и подвидов и список опубликованных работ, в той или иной мере касающихся палеонтологии юрской системы Северо-Востока СССР.

Иллюстративная часть атласа состоит из 736 изображений, размещенных на 114 таблицах. Материал расположен в стратиграфической последовательности — по отделам и ярусам. Внутри каждого стратиграфического подразделения изображения помещены в систематическом порядке. В иллюстративной части атласа выделены комплексы совместно встречающихся видов, отвечающие следующим стратиграфическим подразделениям: геттангскому и синемюрскому ярусам (нижнему лейасу), плинсбахскому ярусу (среднему лейасу), тоарскому ярусу (верхнему лейасу), ааленскому ярусу, байосскому ярусу, батскому ярусу и верхнеюрскому отделу. Позднеюрские ауцеллы, резко преобладающие над другими фаунами в верхнеюрских отложениях, размещены в стратиграфическом порядке — по ярусам; другие же группы — брахиоподы, аммониты, белемниты, двустворчатые моллюски, встречающиеся вместе с ними, а также флористические остатки из разных ярусов верхней юры, приведены в систематическом порядке для верхнеюрского отдела в целом.

В объяснениях к таблицам изображений, кроме разъяснения о характере изображения и степени его увеличения или уменьшения, приведены данные

Редакционная коллегия:

Н. П. АНИКЕЕВ, Ю. М. БЫЧКОВ, В. И. ВОЛОБУЕВА,
А. Д. ДЕВЯТИЛОВА, И. Е. ДРАБКИН, А. Ф. ЕФИМОВА,
А. А. НИКОЛАЕВ, Л. А. ПАВЛЮЧЕНКО, К. В. ПАРАКЕЦОВ,
Г. Г. ПОПОВ, В. А. ТИТОВ.

Ответственный редактор *В. И. Бодылевский.*

Очерк биостратиграфии юрских отложений Северо-Востока СССР

о местонахождении каждого образца, возрасте отложений, в которых он встречен, авторе и годе находки.

Описательная часть атласа построена в систематическом порядке для удобства пользования ею и возможности сравнения близких видов одного рода. При описании приводится диагноз вида, необходимые данные о его размерах, а также данные о геологическом и географическом распространении вида в пределах территории Северо-Востока. Для родов, представленных большим количеством видов (*Otapiria*, *Meleagrinea*, *Oxytoma*, *Aucella*, *Pseudomytiloides*, *Retroceramus*, *Pseudolioceras*), в атласе даны краткие родовые диагнозы.

Поскольку настоящий атлас является первой сводкой по юрской фауне Северо-Востока и содержит описания многих новых видов, авторы составили описания видов более подробно, чем принято в полевых атласах. В связи с этим при характеристике новых видов приведены сравнения с уже известными и некоторые другие данные.

Материалом для иллюстративной части атласа послужили палеонтологические коллекции, собранные геологами Северо-Восточного геологического управления, а также палеонтологическим отрядом Института геологии и геофизики Новосибирского филиала АН СССР.

Между коллективом авторов работа по составлению атласа распределялась следующим образом: брахиоподы описаны А. С. Дагисом (Институт геологии и геофизики АН СССР); двустворчатые моллюски нижней и средней юры описаны И. В. Полуботко; двустворчатые моллюски верхней юры — К. В. Паракецовым (ауцеллы) и А. Ф. Ефимовой; аммониты нижней и средней юры описаны Ю. С. Репиним; аммониты верхней юры — К. В. Паракецовым и А. Ф. Ефимовой; белемниты — В. П. Кинасовым; растительные остатки — А. Ф. Ефимовой (Северо-Восточное геологическое управление). В описании флоры приняла участие также В. А. Самылина (Ботанический институт АН СССР). Очерк биостратиграфии составлен И. В. Полуботко и К. В. Паракецовым. Схема зонального расчленения нижнеюрских отложений Северо-Востока СССР разработана И. В. Полуботко и Ю. С. Репиним. Общее редактирование атласа проведено профессором В. И. Бодылевским.

В оформлении атласа, помимо авторов, приняли участие Ю. А. Глаголева, Э. Д. Колода, Г. И. Паракецова, Т. В. Преображенская и З. М. Шпетная. Фотографии ископаемых остатков выполнены в фотоцехе ВСЕГЕИ (Ленинград) фотографом В. Г. Богдановой и в фотолаборатории ЦКТЭ СВГУ (Магадан) П. П. Боковым и В. П. Гуськовым. Всем лицам, принимавшим участие в оформлении атласа, авторы выражают благодарность.

Отложения юрской системы широко распространены на территории Северо-Востока СССР. Основными районами их развития являются бассейны рр. Колымы и Индигирки, а также северо-западная часть Охотского побережья. На востоке территории, в Корякско-Анадырском районе и на Чукотке распространение юрских пород крайне ограничено.

В составе юрских пород преобладают морские терригенные осадки, представленные аргиллитами, алевролитами, песчаниками и конгломератами. В отдельных районах наряду с обломочными породами значительная роль принадлежит пирокластическим и эффузивным образованиям. Известняки в разрезах юрских пород играют резко подчиненную роль. Отложения континентального происхождения известны в ограниченном числе районов, главным образом, в составе верхней юры и изредка среди образований раннеюрского и среднеюрского возраста.

Среди юрских отложений Северо-Востока могут быть выделены два основных типа разреза: геосинклинальный и субплатформенный. Геосинклинальный тип разреза с большими мощностями и терригенным характером осадков представлен в Яно-Колымской складчатой области, охватывающей бассейны рр. Яны, Индигирки, бассейн верхнего и отчасти среднего течения Колымы и северо-западную часть Охотского побережья. Субплатформенный тип разреза, отличающийся значительно меньшими мощностями и часто стратиграфической неполнотой, характерен для юрских отложений Алазейского плато (Колымский массив), бассейнов рр. Омолона и Коркодона (Омолонский массив), Большого Аноя и для небольших выходов юры в бассейнах рр. Пенжины и Анадыря.

Для отложений самой верхней части юры (кимериджского и волжского ярусов) зависимость строения разрезов от их положения в той или иной тектонической структуре менее существенна.

Морской бассейн на территории Северо-Востока в раннеюрское время имел свободные и широкие связи как с морями Бореального, так и Тихоокеанского бассейнов. Его заселяли космополитные роды аммонитов, белемнитов, двустворчатых моллюсков и брахиопод, нередко дававших эндемичные виды. Начиная со среднеюрской эпохи, вероятно, в связи с ярче проявившейся климатической зональностью, бассейн стал частью Бореального,

и на смену многообразным в родовом и видовом отношениях комплексам двустворчатых и головоногих моллюсков пришли бореальные сообщества, состоявшие в среднеюрскую эпоху в подавляющем большинстве из двустворок рода *Retroceramus*, а в позднеюрскую — рода *Aucella*. Остатки головоногих моллюсков в отложениях этого возраста редки, бедны по количеству родов и видов и в большинстве своем относятся к эндемичным бореальным родам. Поэтому, если для нижнеюрских отложений выделение в их составе ярусов и даже аммонитовых зон единой шкалы не вызывает особых затруднений, для средне- и верхнеюрских ярусное расчленение носит в значительной мере условный характер.

НИЖНИЙ ОТДЕЛ. Отложения *геттангского* и *синемюрского* ярусов представлены в основном тонкообломочными терригенными породами — аргиллитами и алевролитами, часто содержащими значительную примесь пирокластического и кремнистого материала. Их мощности в районах с геосинклинальным типом разреза колеблются от 500 м до 2000 м, достигая максимального значения в районах Охотского побережья (в бассейнах рр. Армани, Олы, Кивалги, Вилиги). В районах с субплатформенным типом разреза мощности нижнелейасовых пород равны 100—180 м, а местами (Алазейское плато, междуречье Коркодона и Омолона в верхнем течении, междуречье Пенжины и Пальматкиной) они полностью выпадают из разреза.

Нижняя граница геттангского яруса проводится по подошве слоев с остатками аммонитов рода *Psiloceras*, которые характеризуют нижнюю зону (*Psiloceras planorbe*) геттанга в стратотипе яруса в Западной Европе.

В составе геттангского яруса на Северо-Востоке СССР присутствуют эквиваленты всех трех его зон: *Psiloceras planorbe*, *Alsatites liasicus* и *Schlotheimia angulata*.

Для зоны *Psiloceras planorbe* характерны аммониты *Psiloceras* (*Franziceras*?) *primulum* Repin sp. nov., *P.* (*Franziceras*?) *canadense* Freb., *P.* (*Psiloceras*) cf. *planorbe* (Sow.), *P.* (*Psiloceras*) *suberugatum* Chud. et Polub., *P.* (*Psiloceras*) *vili-gense* Chud. et Polub. Отложения этой зоны известны в бассейнах рр. Вилиги, Армани, Бохапчи и Омолона.

Зона *Alsatites liasicus* охарактеризована аммонитами *Alsatites*? sp. indet., *Waehneroceras armanense* Repin sp. nov., *W. subrahana* (Lange), *W. angustum* A. Dagens, *W. tuchkovi* A. Dagens, *Schlotheimia*? sp., *Psilophyllites*? sp., *Discamphiceras*? sp. Остатки этих форм происходят из бассейнов рр. Армани, Бохапчи, Среднекана, Летней, Кегали, Кедона и Большого Аюня.

Зона *Schlotheimia angulata* выделяется на основании появления в отложениях остатков *Schlotheimia* (*Scamnoceras*) ex gr. *angulata* (Schloth.), *Sch.* (*Scamnoceras*) sp., *Sch.*

(*Charmasseiceras*?) sp. Отложения зоны известны в бассейнах рр. Кедона и Летней и на междуречье Коркодона и Доломнана.

Нижняя граница синемюрского яруса совпадает с появлением в разрезах аммонитов рода *Arietites*. В объеме синемюрского яруса входят три аммонитовые зоны: *Arietites bucklandi*, *Coroniceras siverti* и *Angulaticeras kolymicum*. Из них только нижняя зона может быть одинаково названа и сопоставлена по объему с зоной *Arietites bucklandi* единой шкалы. Две верхние зоны яруса являются местными, и каждая из них, по-видимому, соответствует объему нескольких зон стратотипических разрезов (см. схему, стр. 9).

Зона *Arietites bucklandi* в бассейнах рр. Коркодона и Омолона охарактеризована многочисленными остатками нового вида *Arietites libratus* Repin sp. nov., близкого к *A. bucklandi* (Sow.) и занимающего в разрезе аналогичное стратиграфическое положение. В бассейне р. Вилиги зоне соответствуют слои с *Arietites* aff. *bucklandi* (Sow.), а в бассейне р. Гижиги — слои с *A.* aff. *bucklandi* (Sow.) и *Paradasyceras*? sp.

Зона *Coroniceras siverti* включает остатки аммонитов *Coroniceras* (*Paracorniceras*) *siverti* (Tuchk.), *C.* (*Prima-rietites*) aff. *reynesi* Spath, *Eparietites* cf. *denotatus* (Simps.). Отложения зоны известны пока в ограниченном числе районов — в бассейнах рр. Кедона, Доломнана и Визуальной.

Зона *Angulaticeras kolymicum* характеризуется однообразными в видовом отношении, но обильными в некоторых районах остатками нового вида *Angulaticeras* (*Angulaticeras*) *kolymicum* Repin sp. nov. и более редкими *A.* (*Angulaticeras*) aff. *lacunatum* (J. Buckm.) и *A.* (*Pseudoschlotheimia*?) sp. Отложения зоны пользуются широким распространением в районах Охотского побережья, в бассейне верхнего течения р. Колымы (р. Буянда), на междуречье Омолона и Коркодона и по правобережью р. Омолона.

Для геттангского и синемюрского ярусов свойственны, в основном, общие роды двустворчатых моллюсков и даже многие общие их виды. Расчленение отложений на ярусы по этой группе организмов обязательно требует комплексности сборов и хорошей сохранности материала. Большое значение при этом имеет количественное соотношение видов внутри комплексов. Для геттангского яруса наиболее характерными видами двустворчатых являются *Otariria*? *originalis* (Kipar.) и *O. pseudo-originalis* (Zakh.). В районах Охотского побережья и в бассейнах рр. Омолона, Коркодона и верхнего течения р. Колымы в геттангских отложениях нередко встречаются также *Oxytoma* sp. (*O.* ex gr. *sinemuriense* Orb.), *Meleagrinnella sublifex* Polub. sp. nov., *Lysochlamys* sp., *Aequipecten staeschei* Polub. sp. nov., *Lima transversa* Polub., *Pseudomytiloides latus* Polub. sp. nov., *P. sinuosus* Polub. sp. nov. и некоторые другие. Нередко в бассей-

нах рр. Омолона и Коркодона, а также на Охотском побережье в геттангских породах встречаются остатки мелких брахиопод *Ochotorhynchia omolonensis* Dagys gen. et sp. nov. Чрезвычайно характерными, особенно для районов с геосинклинальным типом разреза, являются остатки стеблей и крон морских лилий *Pentacrinus* ex gr. *subangularis* Mill.

Комплекс синемюрских двустворчатых значительно богаче по количеству родов и видов. Для него характерны *Leda subvexillata* Polub. sp. nov., *Oxytoma sinemuriense orientale* Polub. subsp. nov., *Otapiria* ? *originalis* (Kipar.) (редкие в низзах разреза), *Otapiria omolonica* Polub. sp. nov. (многочисленные в зоне *Arietites bucklandi*), *O. ex gr. marshalli* (Trechm.), *O. limaeformis* Tuckk., *O. limaeformis affecta* Polub. subsp. nov. (последние три вида встречаются, в основном, в верхних двух зонах яруса), *Monotis inopinata* Polub. sp. nov. (известен из зоны *Angulaticeras kolymicum*), *Aequipecten staeschei* Polub. sp. nov., *Chlamys* sp., *Lima* ex gr. *transversa* Polub., *Pseudomytiloides rassochaensis* Polub. sp. nov., *Modiolus* sp., *Posidonia* ex gr. *bronni* Voltz, *Anomia lemniscata* Polub. sp. nov., *Harpa* sp. (редкие), *Myophoria* sp., *Astarte* sp., *Cardinia* ? sp., *Pleuromya* sp., *Goniomya* sp., *Pholadomya* sp., *Bureiamya* sp., *Tancredia* sp., *Quenstedtia* sp. Как и в геттангских отложениях, часто встречаются *Ochotorhynchia omolonensis* Dagys gen. et sp. nov. и остатки *Pentacrinus* ex gr. *subangularis* Mill.

Вместе с остатками аммонитов и двустворчатых в синемюрских породах бассейна р. Коркодона нередко заключены обрывки папоротников *Thaumatopteris schenkii* Nath.

Отложения *плинсбахского яруса* в большинстве выходов представлены более грубозернистыми осадками, чем нижелейсовые. В их составе преобладают песчаники и алевролиты, нередко туфогенные, меньшую роль играют туфы среднего и основного состава, аргиллиты и конгломераты. Мощность яруса колеблется в широких пределах: от 600—1200 м в районах с геосинклинальным типом разреза до 70—270 м — с субплатформенным типом разреза. В последних районах плинсбахский ярус по фаунистическим комплексам может быть разделен на нижнеплинсбахский (карикский) и верхнеплинсбахский (домерский) подъярусы. Нижнеплинсбахские отложения развиты в ограниченном числе выходов. Достоверно они известны в бассейнах среднего течения р. Коркодона, Бол. и Мал. Ауланджи и в верховьях р. Бол. Аноя, где охарактеризованы остатками *Spiriferina* sp., *Chlamys textoria* (Schloth.), *Aequipecten* aff. *staeschei* Polub., *Camptonectes* sp., *Velata* ex gr. *viligaensis* Tuckk., *Lima* cf. *densicosta* Quenst., *L. phylatovi* Polub. sp. nov., *Plagiostoma* ex gr. *punctata* (Sow.), *Harpa nodosus* Polub. sp. nov. и ядрами раннеплинсбахских аммонитов *Polymorphites* sp. На междуречье Омолона и Коркодона в их верховьях, на

СХЕМА ЗОНАЛЬНОГО РАСЧЛЕНЕНИЯ НИЖНЕЮРСКИХ ОТЛОЖЕНИЙ СЕВЕРО-ВОСТОКА СССР

ярус	Подъярус	Зоны единой шкалы	
		Зоны единой шкалы	Местные зоны
ТОАРСКИЙ	верхний	<i>Pleydellia aalensis</i>	<i>Pseudolioceras rosenkrantzi</i>
		<i>Dumortieria levesquei</i>	
		<i>Grammoceras thouarsense</i>	
		<i>Haugia variabilis</i>	
	средний	<i>Hildoceras bifrons</i>	<i>Zugodactylites braunianus</i>
			<i>Dactylioceras commune</i>
нижний	<i>Harpoceras falcifer</i>	<i>Harpoceras exaratum</i>	
	<i>Dactylioceras tenuicostatum</i>	<i>Harpoceratoides alajaensis</i>	
ПЛИНСБАХСКИЙ	домерский	<i>Pleuroceras spinatum</i>	<i>Amaltheus extremus</i>
			<i>Amaltheus talrosei</i>
	карикский	<i>Amaltheus margaritatus</i>	<i>Amaltheus stokesi</i>
		<i>Prodactylioceras davoei</i>	<i>Polymorphites</i> sp.
		<i>Tragophylloceras ibex</i>	
		<i>Uptonia jamesoni</i>	
СИНЕМЮРСКИЙ	верхний	<i>Echioceras raricostatum</i>	<i>Angulaticeras kolymicum</i>
		<i>Oxynoticeras oxynotum</i>	
		<i>Asteroceras obtusum</i>	
	нижний	<i>Coenites turneri</i>	<i>Coroniceras siverti</i>
		<i>Arnioceras semicostatum</i>	
		<i>Arietites bucklandi</i>	<i>Arietites bucklandi</i>
ГЕТТАНГСКИЙ		<i>Schlotheimia angulata</i>	<i>Schlotheimia angulata</i>
		<i>Alsatites liasicus</i>	<i>Alsatites liasicus</i>
		<i>Psiloceras planorbe</i>	<i>Psiloceras planorbe</i>

правобережье р. Омолона в среднем течении и на Алазейском плато (?) эти отложения выпадают из разреза или представлены континентальными фациями, а домерские породы трансгрессивно ложатся на нижнелейасовые, триасовые или палеозойские образования.

Верхнеплинсбахские отложения распространены значительно шире и содержат в себе богатый комплекс брахиопод, двустворчатых моллюсков и аммонитов, преимущественно рода *Amaltheus*. По комплексам видов этого рода домерские отложения могут быть разделены на три местные аммонитовые зоны: *Amaltheus stokesi*, *Amaltheus talrosei* и *Amaltheus extremus*.

Для отложений зоны *Amaltheus stokesi* характерны виды *Amaltheus (Amaltheus) stokesi* (Sow.), *A. (Amaltheus) bifurcus* How., *A. (Amaltheus) subbifurcus* Repin sp. nov. и своеобразный комплекс двустворчатых моллюсков: *Meleagrinnella oxytomaeformis* Polub. sp. nov., *M. ansparisicosta* Polub. sp. nov., *M. ptchelincevae* Polub. sp. nov., *Chlamys ex gr. textoria* (Schloth.), *Velata viligaensis* Tuchk., *Radulonectites hayamii* Polub. sp. nov., *Aguilerella kedonensis* Polub. sp. nov., *Myophoria lingonensis* (Dum.), *Harpax cf. spinosus* Sow., *H. laevigatus* Orb., *Bureiamya* sp. и др.

Отложения зоны *Amaltheus talrosei* включают большой комплекс видов рода *Amaltheus* — *A. (Amaltheus) talrosei* Repin sp. nov., *A. (Amaltheus) cf. margaritatus* Montf., *A. (Amaltheus) cf. subnodosus* (Y. et B.), *A. (Amaltheus) aff. striatus* How., *A. (Nordamaltheus) viligaensis* (Tuchk.), *A. (Nordamaltheus ?) bulunensis* Repin sp. nov., *A. (Nordamaltheus ?) aff. bulunensis* Repin sp. nov. и менее характерный комплекс двустворчатых, виды которых свойственны отложениям как нижележащей, так и вышележащей зон: *Leda formosa* Vor. (in litt.), *Meleagrinnella* sp. indet., *Aequipecten aff. terekhovi* Polub. sp. nov., *Lima phylatovi* Polub. sp. nov., *Aguilerella kedonensis* Polub. sp. nov., *Myophoria ex gr. lingonensis* (Dum.), *Harpax ex gr. laevigatus* (Orb.), *Tancredia omolonensis* Polub. sp. nov., *Bureiamya* sp., *B. ordinata* Polub. sp. nov., *Pholadomya ambigua* Sow., *P. idea* Orb., *Pleuromya galathea* Agass., *Goniomya* sp., *Quenstedtia* sp.

Зона *Amaltheus extremus* выделяется по присутствию в отложениях остатков аммонитов *Amaltheus (Amaltheus) extremus* Repin sp. nov., *Arieticeratites aff. algovianum* (Opp.), брахиопод и двустворчатых: *Rudirhynchia ex gr. najahensis* (Moiss.), *Septaliphoria ? ex gr. pontica* Moiss., *Leda cf. formosa* Vor. (in litt.), *Oxytoma ex gr. oppeli* Roll., *Meleagrinnella* sp., *Aequipecten terekhovi* Polub. sp. nov., *Harpax* sp., *Pholadomya idea* Orb., *Ph. ambigua* Sow., *Pleuromya galathea* Agass.

Вместе с остатками морских организмов в домерских отложениях бассейнов рр. Омолона, Коркодона и Бол. Анюя нередко захоронены остатки папоротников, кейтониювых и цикадофитов:

Sphenopteris sp., *Cladophlebis* sp., *Taeniopteris* sp., *Sagenopteris nilssoniana* (Brongn.) Ward, *Nilssonia* sp. Аналогичные растения характеризуют и континентальные образования плинсбахского возраста, известные в бассейнах рр. Кедона и Визуальной.

Аммонитовые зоны в составе домерского подъяруса выделяются только в бассейнах рр. Омолона, Кедона и Коркодона. Находки аммонитов, свойственных отложениям той или иной зоны, известны также из района Алазейского плато и бассейнов рр. Гижиги и Большого Анюя.

Для районов с геосинклинальным типом разреза расчленение плинсбахского яруса на аммонитовые зоны и даже на подъярусы пока не производится. В районах Охотского побережья для плинсбахских отложений наиболее характерны остатки брахиопод *Rudirhynchia najahensis* (Moiss.), *Septaliphoria ? viligaensis* Moiss., *Rimirhynchia maltanensis* Dagys sp. nov., *Peregrinelloidea malkovi* Dagys sp. nov., *Loboidothyris orientalis* Dagys sp. nov., *Zeilleria darwini* (Desl.), *Z. ex gr. cornuta* (Sow.) и др., иногда образующие ракушечники, и более редкие остатки двустворчатых *Oxytoma cygnipes* (Y. et B.), *O. ex gr. oppeli* Roll., *Chlamys ex gr. textoria* (Schloth.), *Velata viligaensis* Tuchk., *Lima phylatovi* Polub. sp. nov., *L. gizhigensis* Polub. sp. nov., *Modiolus ex gr. numismalis* Opp., *Harpax spinosus* Sow., *H. laevigatus* (Orb.), *Bureiamya* sp., *Pleuromya galathea* Agass. и др., которым иногда сопутствуют остатки домерских аммонитов *Amaltheus (Amaltheus) ex gr. margaritatus* Montf.

Плинсбахские отложения бассейна верхнего течения р. Колымы и бассейна р. Индигирки (низовья р. Буонды, рр. Дебин, Берелех, Артык, Нера, Иньяли) бедны органическими остатками. В них встречаются членики *Pentacrinus ex gr. subangulatis* Mill., остатки неопределимых радиально-ребристых двустворков и изредка ядра аммонитов *Amaltheus (Nordamaltheus ?) cf. bulunensis* Repin sp. nov., *A. (Amaltheus) sp. indet.*

В составе отложений тоарского яруса на Северо-Востоке преобладают алевролиты, менее широко развиты аргиллиты и песчаники, нередко содержащие примесь пирокластического материала. Мощности этих отложений колеблются от 300 до 800 м в районах с геосинклинальным типом разреза и от 40 до 80 м в районах субплатформенного развития. Разрезы этих отложений не везде являются полными: в бассейнах рек Охотского моря, в верховьях рр. Анадыря, Пенжины, Пальматкиной и Большого Анюя отсутствует верхняя часть яруса или весь его объем, что, по всей вероятности связано с предааленским размывом этих территорий.

Тоарские отложения, особенно в районах с субплатформенным типом разреза, богаты окаменелостями, среди которых нередко преобладают остатки аммонитов и белемнитов. Это позволяет расчленять отложения тоарского яруса на нижний,

средний и верхний подъярусы, в объем которых входит несколько местных аммонитовых зон.

В составе нижнего тоара выделяются три аммонитовые зоны: зона *Ovaticeras propinquum* с *O. propinquum* (Whit.), *O. facetum* Repin, *Tiltoniceras* sp., *Arctomercaticeras costatum* Repin, *A. tenue* Repin, *Protogrammoceras* sp., *Coeloceras* sp. indet., *Cenoceras* sp.; зона *Harpoceras alajaensis* с *H. alajaensis* Repin, *H. planus* Repin sp. nov.; зона *Harpoceras exaratum* с *H. exaratum* (Y. et B.) и *Harpoceras* sp.

Вместе с раннеоарскими аммонитами иногда встречаются двустворчатые *Pseudomytiloides mytiliformis* Polub. sp. nov., *P. aff. amygdaloides* (Goldf.), *Meleagrinnella substriata* (Münst.), *Lima* sp., *Pholadomya* sp. и др.

В состав среднего тоара входят две местные аммонитовые зоны: зона *Dactylioceras commune*, охарактеризованная многочисленными *D. commune* (Sow.), *D. athleticum* (Simps.), *D. aff. athleticum* (Simps.), *D. temperatum* Buckm., *D. annulatum* (Sow.), *D. crassiusculosum* (Simps.), *Harpoceras* sp., *Hildaites grandis* Repin и зона *Zugodactylites braunianus* с *Z. braunianus* (Orb.), *Z. rotundiventer* Buckm., *Z. mutatus* Buckm., *Z. aculeatus* Liss., *Z. pseudobraunianus* Monest., *Dactylioceras aff. commune* (Sow.), *Pseudolioceras lythense* (Y. et B.), *P. lectum* (Simps.), *P. kedonense* Repin, *Osperleioceras aff. viluense* Krimh., *Osperleioceras* sp., *Coeloceras* sp.

Наиболее характерные среднеоарские двустворчатые моллюски представлены остатками *Meleagrinnella laminaestriata* Polub. sp. nov., *Variamusium pumilum* (Lamk), *Pseudomytiloides jacuticus* (Petr.), *Goniomya rhombifera* (Goldf.) и др.

В верхнеоарском подъярусе выделяются две местные аммонитовые зоны: зона *Peronoceras spinatum* с *P. spinatum* (Freb.), *Peronoceras polare* (Freb.), *Peronoceras fibulatum* (Sow.), *Pseudolioceras gradatum* Buckm., *P. compactile* (Simps.), и зона *Pseudolioceras rosenkrantzi* с *P. rosenkrantzi* A. Dagus и *P. cf. compactile* (Simps.). В верхнеоарских отложениях обычно многочисленны и остатки двустворчатых: *Meleagrinnella laminaestriata* Polub. sp. nov., *Oxytoma startense* Polub. sp. nov., *Pseudomytiloides marchaensis* (Petr.), *P. aff. amygdaloides* (Goldf.), *Variamusium waageni* Polub. sp. nov., *Myophorella (Vaugonia) literata* (Y. et B.), *Protocardia striatula* (Phill.) и др.

В тоарских отложениях появляются и переживают расцвет многочисленные сообщества белемнитов. Для нижнего и среднего тоарских подъярусов характерен следующий их комплекс: *Mesoteuthis subgracilis* Kolb, *M. graciliformis* Kolb, *M. lapinskajae* Vor., *M. tripartita* Schloth., *M. conoidea* Opp., *M. triscissiformis* Kolb, *M. stimula* Dum., *M. oxycona* Hehl, *M. breviformis*

Voltz, *M. banzensis* Kolb, *M. rhenana* Orb., *M. triscissa* Jan., *Passaloteuthis viluensis* Krimh., *P. longa* Tuchk., *P. westhaensis* Lang, *P. subinaudita* Vor., *P. inaudita* Vor., *P. tolli* Pavl., *P. ridgensis* Lang, *P. elongata* Mill., *P. apicicurvata* Blainv., *P. argillarum* Lang, *P. ima* Lang, *P. matisconensis* Liss., *P. stenobaroensis* Lang, *Nannobelus pavlovi* Krimh., *Dactyloteuthis irregularis* Schloth. и некоторые другие. В верхнеоарском подъярусе происходит обновление комплекса белемнитовой фауны, причем большинство форм из этого комплекса проходит и в нижнюю часть ааленского яруса средней юры. Появляются новые роды *Hastites*, *Dicoelites*, *Rhabdobelus*, *Holcobelus*, резко уменьшается количество представителей рода *Nannobelus*, несколько обновляются комплексы видов родов *Mesoteuthis* и *Passaloteuthis*. Для позднеоарского — раннеааленского комплекса характерны *Mesoteuthis subgracilis* Kolb, *M. graciliformis* Kolb, *M. banzensis* Kolb, *M. tripartita* Schloth., *M. stimula* Dum., *M. oxycona* Hehl, *M. breviformis* Voltz, *M. rhenana* Orb., *M. triscissa* Jan., *M. subrostriformis* Vor., *M. quenstedti* Opp., *M. pyramidalis* Ziet., *M. rostriformis* Theod., *M. subchineata* Voltz, *M. subpyramidalis* (Liss.), *Passaloteuthis viluensis* Krimh., *P. longa* Tuchk., *P. niger* Lister, *P. westhaensis* Lang, *P. gigantoides* Pavl., *P. subinaudita* Vor., *P. tolli* Pavl., *P. inaudita* Vor., *P. ridgensis* Lang, *P. elongata* Mill., *Hastites clavatus* Schloth., *H. neumarctensis* Opp., *H. toarcensis* Opp., *H. forthensis* Kolb, *H. bergensis* Kolb, *H. compactus* Kolb, *H. milleri* Phill., *Pseudodicoelites bidgievi* Sachs, *Rhabdobelus* sp. indet., *Holcobelus viligaensis* Sachs.

Вместе с остатками аммонитов, белемнитов и двустворчатых в тоарских отложениях бассейнов рр. Омолона и Коркодона иногда встречаются обрывки папоротников и цикадовых: *Dicroidium* sp., *Ptilophyllum sibiricum* Samul.

Зональное расчленение тоарских отложений в настоящее время возможно лишь на территории бассейнов рр. Омолона и Коркодона. В некоторых районах Охотского побережья выделяются подъярусы, местами известно присутствие в отложениях тех или иных зональных видов аммонитов. Тоарские отложения обширной территории в бассейнах верхнего течения рек Колымы и Индигирки на подъярусы не расчленяются. Они заключают в себе чаще всего лишь остатки тоарских белемнитов: *Mesoteuthis conoidea* Opp., *M. striolata* Phill., *Dactyloteuthis irregularis* Sab., *Homaloteuthis breviformis* Voltz, *Hastites subclavatus* (Voltz), вместе с которыми иногда захоронены редкие обломки раковин двустворчатых моллюсков.

СРЕДНИЙ ОТДЕЛ. Отложения ааленского яруса состоят из разнообразных пород: песчаников, гравелитов, конгломератов, алевролитов, иногда переслаивающихся с подчиненными им по мощности слоями аргиллитов или же туффитов и туфов среднего состава. Мощности пород изменяются от 200 до 1000 м

в районах с геосинклинальным типом разрезов. Максимальных значений они достигают в бассейнах рр. Неры, Берелеха, Дебина и Колымы в районе больших излучин, где представлены толщей терригенного флиша. В районах с субплатформенным типом разреза мощность яруса колеблется от 20 до 400 м, причем наибольшие мощности наблюдаются в бассейне р. Большого Анюя. На Охотском побережье, а также в бассейнах рр. Пенжины, Анадыря и Большого Анюя ааленские отложения трансгрессивно залегают на различных горизонтах тоарских пород, а местами — непосредственно на плинсбахских или же синемюрских осадках. В некоторых районах междуречья Омолона и Коркодона из разреза выпадает нижняя часть яруса. В этих же районах, а также на территории Алазейского плато в ааленском ярусе известны прибрежно-морские континентальные толщи, охарактеризованные скудными остатками гинкговых и цикадофитов.

Нижняя граница ааленского яруса проводится под слоями с *Pseudolioceras beyrichi* (Schloenb.), *P. m'clintocki* (Haugh.) и нередко бывает очень слабо выражена в смене литологии пород. В составе ааленских отложений на Северо-Востоке присутствуют два фаунистических комплекса. Для нижнего характерны *Pseudolioceras beyrichi* (Schloenb.), *P. m'clintocki* (Haugh.), *P. aff. m'clintocki* (Haugh.), *Nucula amygdaloides* Sow., *N. aff. palmae* Sow., *Leda subjacutica* Polub. sp. nov., *Oxytoma ferrugineum* Roll., *O. jacksoni* (Pomp.), *Retroceramus quenstedti* (Pcel.), *Variamusium oleneki* Bodyl., *Trigonia aff. hemisphaerica* Lyc., *Modiolus* sp., *Tancredia* sp., *Liostrea* sp. Вместе с ними в отложениях обычно присутствует богатый комплекс белемнитов, роды и виды которых в большинстве являются общими с позднетоарскими.

Для второго более молодого фаунистического комплекса ааленского яруса наиболее характерным родом является *Retroceramus*, в составе которого известны виды *R. menneri* Kosch., *R. popovi* Kosch., *R. aff. popovi* Kosch., *R. elegans* Kosch., *R. lungershauseni* Kosch., *R. ussuriensis* Vor. Менее распространены другие роды двустворчатых: *Arctotis*, *Variamusium*, *Phacoides*, *Tancredia* и др. Изредка с ними встречаются остатки аммонитов *Leioceras* sp., *Pseudolioceras whiteavesi* (White), *P. (?) aff. whiteavesi* (White) и редкие белемниты (*Hastites clavatus* Schloth., некоторые виды родов *Mesoteuthis* и *Passaloteuthis*).

В целом для ааленских отложений характерны также остатки гастропод, относящиеся к родам *Pleurotomaria*, *Amberleya*, *Carulus* и др. Чаше их остатки встречаются в геосинклинальных областях.

Байосский и *батский* ярусы в большинстве районов Северо-Востока представлены близкими породами, среди которых резко преобладают песчаники, местами туфогенные. В бассейнах верх-

него течения р. Колымы и р. Индигирки, где отложились наиболее мощные толщи байос-батских осадков, достигающие 1400—2000 м, преобладают флишоидно переслаивающиеся песчаники, алевролиты и аргиллиты, нередко заключающие в себе плавающие гальки с раннелейасовыми, норийскими и карнийскими окаменелостями. К западу и северо-западу от этих районов, в бассейне р. Яны, а также в низовьях рр. Дебина, Буюнды и в районе больших излучин р. Колымы среди байос-батских отложений преобладают алевролиты и аргиллиты. В районах Охотского побережья, где эта часть разреза сложена в основном песчаниками и туфами среднего состава, ее мощность изменяется от 200 до 1200 м.

В районах с субплатформенным типом разреза байосские и батские песчаники, гравелиты, конгломераты, туффиты и туфы среднего состава имеют мощности 250—1100 м, причем максимальные их значения известны в бассейне верхнего течения р. Большого Анюя.

В этих районах, а также в большинстве районов Охотского побережья байосские отложения содержат обильные остатки сильно варьирующего в очертаниях и скульптуре вида *Retroceramus lucifer* (Eichw.), образующие ракушечники в нижней части яруса. Вместе с ними и выше по разрезу встречаются *Arctotis sublaevis* Bodyl., *Retroceramus elongatus* Kosch., *R. eximius* (Eichw.), *Phacoides* sp., *Tancredia* sp. а в самых верхах появляются редкие *Retroceramus cf. kystatymensis* Kosch. Находки байосских аммонитов на Северо-Востоке пока редки и известны из бассейна р. Седедемы на Алазейском плато, откуда происходят *Bradfordia alaseica* Repin sp. nov., *Arkelloceras ? sp.*, *Holcophylloceras cf. costisparsum* Imlay, *Calliphylloceras* sp., сопровождаемые многочисленными *Retroceramus lucifer* (Eichw.); из бассейна р. Анадыря (рр. Круглокаменная, Бачкина), где вместе с последним видом ретроцерамов собраны *Arkelloceras aff. mclearni* Freb., а вместе с *Retroceramus cf. eximius* (Eichw.)? — остатки *Chondroceras cf. marshalli* (McLearn); и из верховьев р. Омудевки (*Arkelloceras* sp. indet.).

В районах с геосинклинальным типом разреза, исключая Охотское побережье, байосские отложения бедны органическими остатками и охарактеризованы единичными находками *Retroceramus ex gr. lucifer* (Eichw.) и остатками белемнита *Mega-teuthis elliptica* (Mill.).

В составе батских отложений присутствуют два фаунистических комплекса: нижний — с *Arctotis lenaensis* (Lah.), *Retroceramus kystatymensis* Kosch., *R. porrectus* (Eichw.), *R. tongusensis* (Lah.), *R. retrorsus* (Keys.) и др. и верхний — с *Camptonectes* sp., *Retroceramus bulunensis* Kosch., *R. vagt* Kosch., *R. tuchkovi* Polub. sp. nov., *Tancredia* sp. и некоторыми другими формами. Среди редких находок аммонитов в составе этих отложений известны

Cranoccephalites sp. indet., *Morrisiceras* ? sp. indet., *Arctoccephalites* sp., *A. aff. elegans* Spath. Последняя форма происходит из самых верхних слоев яруса. Наиболее часто остатки аммонитов встречаются на территории бассейнов верхнего течения рек Колымы, Индигирки и в районах Охотского побережья, но почти всегда отличаются крайне плохой сохранностью и захоронены обычно в виде обломков раковин.

ВЕРХНИЙ ОТДЕЛ. Непрерывные разрезы верхнеюрских отложений на территории Северо-Востока СССР почти нигде не известны.

В пределах Яно-Колымской складчатой области разрез геосинклинального типа в бассейне верхнего течения рек Колымы и Индигирки представлен лишь нижней половиной верхней юры. Более полные разрезы имеются, по-видимому, на правом берегу р. Яны, но и здесь самая верхняя часть юры, вероятно, отсутствует.

Только келловейским и оксфордским ярусами образован разрез верхней юры на Охотском побережье. В среднем течении рек Колымы и Индигирки и к востоку от р. Колымы перерыв в осадконакоплении наблюдается в диапазоне от келловейского до волжского века включительно, причем в различных районах он имел и различную длительность и проявился в разное время. Так, например, в бассейне р. Большого Анюя перерыв приходится, главным образом, на оксфордский век, в бассейне рек Малого Анюя и Раучуа — на кимериджский век.

Келловейский ярус на Северо-Востоке СССР как территориально, так и по характеру ископаемых организмов тесно связан с отложениями бата. Он представлен преимущественно песчаниками, алевролитами и аргиллитами, максимальная мощность которых (около 1,5 тыс. м) известна в бассейне верхних течений рек Колымы и Индигирки, а также на хр. Полоусном. Достаточно мощный разрез келловейские осадочные породы имеют на Охотском побережье — 400—1 000 м. Меньшие мощности (300—700 м) и довольно значительная примесь вулканического материала в виде туфов, туфобрекчий, реже лав среднего состава характерны для келловейского яруса в среднем течении р. Колымы и бассейне р. Большого Анюя.

Граница между келловеем и батом проводится по появлению аммонитов *Cadoceras* (*Catacadoceras*). Находки представителей этого рода на Северо-Востоке чрезвычайно редки. *Cadoceras cf. apabarensis* Bodyl. обнаружен в низовьях р. Булуна (Рассохи). Остатки *Cadoceras* sp. indet. худшей сохранности найдены на Алазейском плато, по р. Зырянке, в бассейне среднего и верхнего течений р. Большого Анюя. Кроме аммонитов из рода *Cadoceras*, в келловейских отложениях известны также остатки *Stenstedticeras* sp. indet. (верховья р. Артыка) и *Arcticoceras stepankovi* Tschk. (истоки р. Вилиги).

Разделить келловейский ярус на подъярусы в настоящее время не представляется возможным. Некоторым указанием на нижний подъярус может служить присутствие в нижней части келловейских отложений ретроцерамов совместно с остатками аммонитов. Из бата в келловей переходят следующие виды: *Retroceramus tuchkovi* Polub. sp. nov., *R. bulunensis* Kosch., *R. vagt* Kosch. Очень редко встречаются остатки древних ауцелл: *Aucella?* aff. *rotunda* Vog. и *A. ? anuensis* Parak. Другие представители двустворчатых, а также брахиоподы, встречающиеся в келловейских отложениях, до сего времени в достаточной степени не изучены, вследствие чего сколько-нибудь руководящего значения не имеют.

Оксфордский ярус в Северо-Восточной Азии выделяется с весьма большой степенью условности. На его присутствие в некоторых районах указывают редкие и обычно плохо сохранившиеся остатки *Cardioceras*. Они известны из бассейна верхнего течения р. Колымы, среднего течения р. Омолона.

В составе оксфордских отложений преобладают осадочные породы (аргиллиты, алевролиты, песчаники). Наибольшую мощность (800—1 000 м) они имеют в бассейне верхнего течения р. Колымы и на Охотском побережье. Меньшие мощности (200—400 м) и значительная примесь вулканических образований преимущественно среднего состава присущи оксфордским отложениям в бассейне средних течений рек Колымы, Омолона, Большого Анюя, в верховьях рек Олоя и Яблона.

Кроме упомянутых выше остатков аммонитов и почти неизученного комплекса двустворок и брахиопод, в породах верхней части оксфордского яруса встречаются ядра и отпечатки *Aucella bronni* (Rouill.), *A. kirghisensis* Sok., *A. jeropolensis* Parak. sp. nov., *A. emigrata* Zitt., *A. reticulata* Lundgr.

Кимериджский ярус в большинстве районов Северо-Востока СССР слагают вулканогенно-осадочные породы, нередко весьма пестрые по составу. Иногда он представлен только терригенными осадками. Среди кимериджских вулканитов преобладают продукты извержений основного и среднего состава, реже встречаются кислые туфы и лавы. Наиболее широко развиты отложения кимериджа вдоль юго-западной периферии Колымского массива (бассейн среднего течения рек Колымы и Индигирки), на хребте Полоусном, п-ове Тайгоносе, в бассейне рек Омолона, Большого Анюя, в среднем течении р. Хатырки. Мощность их изменяется от 500 до 1 000 м.

Граница между кимериджским ярусом и оксфордом условно проводится по массовому появлению *Aucella mosquensis* (Buch), *A. rugosa* (Fisch.), *A. orbicularis* Hyatt, *A. lindstroemi* Sok. Наряду с появлением новых видов в нижнем кимериджском подъярусе еще продолжают существовать редкие представители *Aucella bronni* (Rouill.), *A. kirghisensis* Sok., *A. jeropolensis*

Parak. Иногда вместе с ауцеллами встречаются остатки аммонитов из рода *Amoeboceras*. Чаще всего это *Amoeboceras ex gr. kitchini* (Salf.). Они найдены в верхнем течении р. Коркодона, в бассейне среднего течения р. Большого Аюя, на хребте Полоусном. Как правило, аммониты из рода *Amoeboceras* встречаются в нижней части кимериджа (нижнем подъярусе), вместе с ними распространены радиально-струйчатые разновидности ауцелл (*Aucella mosquensis* var. *tenuistriata* Lah., *A. rugosa* var. *striata* Pavl. и др.).

Волжский ярус слагают как осадочные, так в значительной степени и вулканические образования основного, среднего и реже кислого состава. В западной части территории своего распространения в бассейне среднего течения рек Колымы и Индигирки ярус сложен исключительно аргиллитами, алевролитами и песчаниками общей мощностью 1 000—2 000 м, причем верхняя его часть образована континентальными фациями с остатками *Cladophlebis aldanensis* Vachr., *Cl. haiburnensis* (L. et H.) Brongn., *Raphaelia diamensis* Sew. и др. На правом берегу р. Колымы в ее нижнем течении волжские отложения образованы весьма пестрой толщей осадочных пород, переслаивающихся с туфами, реже лавами базальтов, андезитов, иногда липаритов, мощностью 700—1 200 м. Преимущественно осадочными породами они сложены на территории Чукотки и Корякского нагорья. Мощность их здесь равна 400—800 м.

В наиболее полном, хорошо обнаженном и изученном разрезе в бассейне р. Большого Аюя волжский ярус условно подразделяется на 3 подъяруса. Основой для такого расчленения является этапность развития ауцелл. Найденные вместе с ними остатки аммонитов не противоречат выделенным подъярусам.

Граница волжского яруса с кимериджем проводится по появлению *Aucella piochii* (Gabb). Совместно с ней продолжают существовать многочисленные представители *Aucella mosquensis* (Buch), *A. rugosa* (Fisch.), *A. orbicularis* Hyatt. Вверх по разрезу нижнего подъяруса количество *Aucella piochii* (Gabb) увеличивается до значительного преобладания в прикровельной части, в то время как более древние виды ауцелл, перешедшие из кимериджа, постепенно становятся более редкими. В отложениях нижнего волжского подъяруса, кроме ауцелл, найдены *Lima borealis* Pcel., *Modiolus* aff. *bolodekensis* Vor., а также остатки аммонитов *Subplanites* ? sp. indet.

Граница между нижним и средним волжскими подъярусами проведена по появлению первого переходного (т. е. переходящего из юры в мел) вида ауцелл — *Aucella fischeriana* (Orb.). Немного выше появляются некоторые другие также переходные формы, такие, как *Aucella flexuosa* Parak. sp. nov., *A. circula* Parak. Редкие представители древней группы *Aucella mosquensis* (Buch), *A. rugosa* (Fisch.), *A. orbicularis* Hyatt встречаются

приблизительно до средней части среднего волжского подъяруса. *Aucella piochii* (Gabb) в количественном отношении к верхам подъяруса постепенно угасает, в то время как *Aucella fischeriana* (Orb.) к концу этапа, соответствующего среднему подъярусу, становится весьма многочисленной. В средневолжских отложениях найдены остатки *Dorsoplanites* sp. indet.

Верхний волжский подъярус характеризуется пышным расцветом переходных форм ауцелл. За границу его со средним подъярусом принят уровень, на котором появляется *Aucella tenuicollis* Pavl. Выше комплекс переходных ауцелл обогащается еще рядом видов: *Aucella krotovi* Pavl., *A. jasikovi* Pavl., *A. terebratuloides* Lah. и некоторыми другими. Вместе с ними встречены *Chetaites* (?) sp. indet. Граница волжского яруса с берриасом проводится по появлению *Aucella volgensis* Lah. и *A. okensis* Pavl., совместно с которыми собраны остатки *Surites* ? sp. indet.

В соседних районах средняя часть волжского яруса кое-где замещается континентальными осадками, содержащими следующий комплекс растений: *Cladophlebis haiburnensis* (L. et H.) Brongn., *Cl. aldanensis* Vachr., *Raphaelia diamensis* Sew., *Coniopteris* sp., *Heilungia* cf. *amurensis* (Novop.) Pryn., *Ctenis* sp.

В бассейне р. Омолона известна флора и из более древних слоев, соответствующих приблизительно нижней половине верхней юры. Она представлена главным образом папоротниками *Cladophlebis aldanensis* Vachr., *Cl. haiburnensis* (L. et H.) Brongn., *Cl. denticulata* (Brongn.) Font., *Raphaelia diamensis* Sew. Другие растения — *Heilungia* sp., *Nilssonia* cf. *mediana* (L. et B.) Fox-Strang. встречаются в виде единичных экземпляров.

ОБЪЯСНЕНИЕ УПОТРЕБЛЕННЫХ В АТЛАСЕ ЛАТИНСКИХ ТЕРМИНОВ

- | | |
|---------------------------------------|---|
| 1. cf. (conformis) | — подобный; указывает на вероятную принадлежность к данному виду. |
| 2. aff. (affinis) | — близкий; определяемый вид имеет некоторые видовые отличия от названного близкого вида, т. е. родственен ему. |
| 3. ex gr. (ex grege) | — из стада; указывает на принадлежность только к определенной группе видов. |
| 4. sp. (species) | — вид; означает, что это, вероятно, новый вид, не выделенный лишь из-за недостатка материала для его полной характеристики. |
| 5. sp. indet. (species indeterminata) | — вид неопределим; форма неопределима до вида из-за плохой сохранности. |
| 6. sp. nov. (species nova) | — вид новый. |
| 7. subsp. (subspecies) | — подвид какого-либо вида. |
| 8. in litt. (in litteris) | — в литературе; обозначает, что описание вида составлено его автором, но еще не было опубликовано. |

КРАТКАЯ ХАРАКТЕРИСТИКА МОРФОЛОГИИ РАКОВИН
ОСНОВНЫХ ГРУПП ФАУНЫ

2. АММОНИТЫ

1. ДВУСТВОРЧАТЫЕ МОЛЛЮСКИ

Фиг. 1. Раковина *Aucella*:

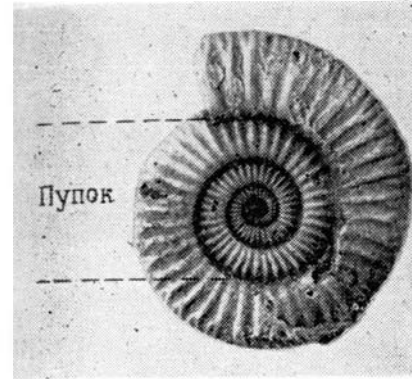
Л — левая створка; *П* — правая створка; *М* — макушка левой створки; *м* — макушка правой створки; *б* — биссусная складочка; *у* — заднее ушко; *л* — передний край; *з* — задний край; *н* — нижний край. Размеры: *Д* — длина (под длиной раковины *Aucella* понимается наибольшая длина раковины, т. е. расстояние от макушки левой створки до самой удаленной точки нижнего края); *Ш* — ширина (ширина измеряется по линии, перпендикулярной линии наибольшей длины); *Т* — толщина; *α* — примакушечный (апикальный) угол правой створки.

Фиг. 2. Раковина *Retroceramus*:

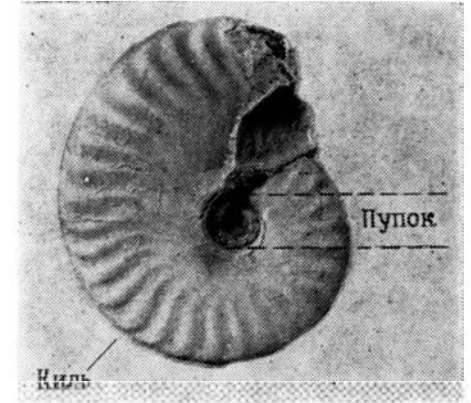
М — макушка; *К* — крыло; *Зк* — задний край; *Пк* — передний край; *Нк* — нижний край; *Ск* — связочный край; *Ор* — ось роста (или средняя линия), т. е. линия, проходящая от макушки к наиболее удаленной от нее точке нижнего края; *В* — высота, т. е. расстояние между макушкой и точкой на нижнем крае по линии, перпендикулярной связочному краю; *Д* — длина, т. е. расстояние между передним и задним краями по линии, перпендикулярной линии высоты; *Вм* — высота максимальная, совпадающая с длиной оси роста; *Ш* — ширина, т. е. расстояние между максимально удаленными точками на переднем и заднем краях по линии, перпендикулярной оси роста; *Д₁* — длина связочного края; *α* — передний связочный угол, т. е. угол между связочным краем или его продолжением и передним краем раковины; *β* — апикальный или макушечный угол, т. е. угол между передним краем и линией, отделяющей створку от крыла; *δ* — угол между передним краем и линией, отделяющей створку от крыла; *ε* — угол скосенности, т. е. угол между связочным краем и осью роста створки; чем меньше этот угол, тем сильнее скошена раковина; *γ* — задний связочный угол, т. е. угол между связочным и задним краями.

Фиг. 3. Раковина *Chlamys*:

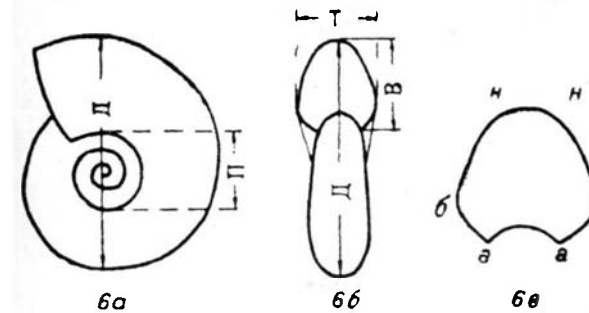
В — высота; *Д* — длина; *М* — макушка; *Пу* — переднее ушко; *Зу* — заднее ушко; *Вк* — верхний край; *Пк* — передний край; *Нк* — нижний край; *Зк* — задний край; *бс* — биссусный вырез; *Рр* — радиальные ребра. Изображена правая створка.



Фиг. 4. Эволютная раковина.

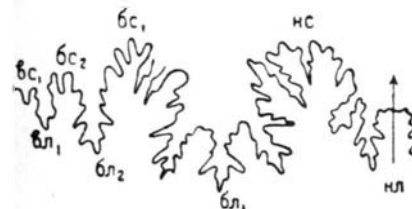


Фиг. 5. Инволютная раковина.



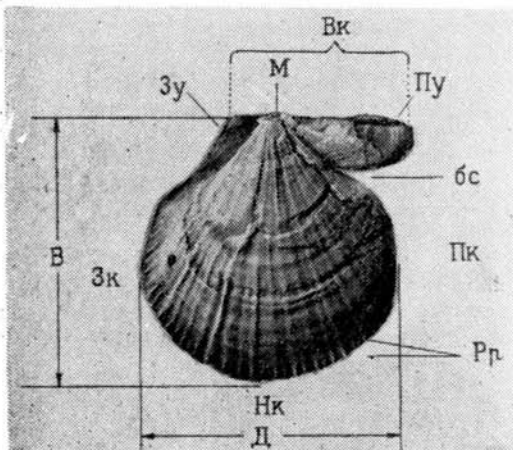
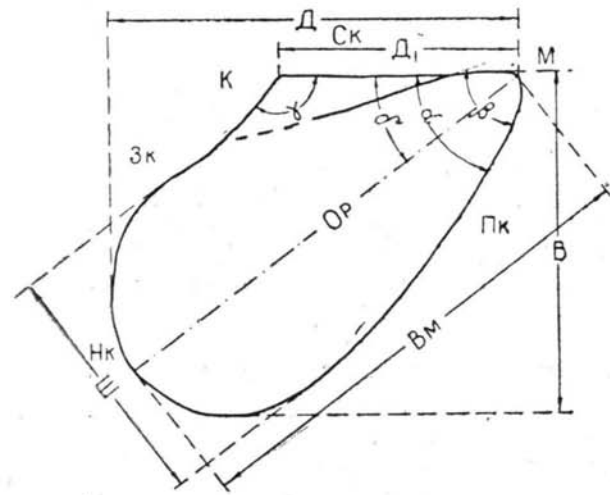
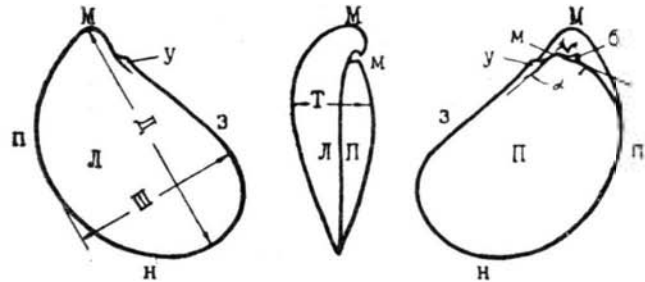
Фиг. 6. Раковина аммонита:

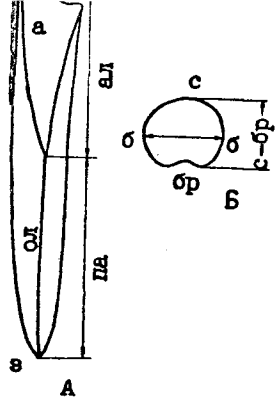
6а — вид сбоку; *6б* — вид со стороны устья; *6в* — поперечное сечение оборота; *Д* — диаметр раковины; *П* — ширина пупка; *В* — высота оборота; *Т* — толщина оборота (ширина поперечного сечения); *б* — пупковый перегиб; *бн* — боковая сторона (бок); *ав* — пупковая сторона (пупковая стенка); *нн* — наружная сторона (брюшная, вентральная); *аа* — внутренняя сторона.



Фиг. 7. Лопастная линия аммонита:

н.н — наружная лопасть; *б.л.* — первая боковая лопасть; *б.л.2* — вторая боковая лопасть; *в.л.* — первая вспомогательная лопасть; *н.с* — наружное седло; *б.с.* — первое боковое седло; *б.с.2* — второе боковое седло; *а.с.* — первое вспомогательное седло.





3. БЕЛЕМНИТЫ

Фиг. 8. Ростр белемнита:

А — продольный разрез; Б — поперечный разрез; л — передний конец ростра; з — задний конец (вершина) ростра; а — альвеола; ал — альвеолярная часть; ла — послеальвеолярная часть; ол — осевая линия; с — спинная сторона; бр — брюшная сторона; б — боковые стороны; бб — боковой диаметр; с-бр — спинно-брюшной диаметр (измерение диаметров производится у вершины альвеолы).

ТИП ECHINODERMATA. ИГЛОКОЖИЕ

КЛАСС CRINOIDEA. МОРСКИЕ ЛИЛИИ

ОТРЯД ISOCRINIDA

СЕМЕЙСТВО PENTACRINIDAE Orbigny

Род *Pentacrinus* Blumenbach, 1804.

Pentacrinus ex gr. *subangularis* Miller, 1921

Табл. 1, фиг. 1, 2

Придонное прикрепляющееся морское животное, скелет которого состоит из стебля, чашечки и рук. Наиболее часто в ископаемом состоянии встречаются стебли и отдельные их членики, реже — остатки кроны с очень сильно разветвленными руками. Стебель пятигранный с многочисленными мелкими усиками (*cirri*), на нижнем конце не утолщен. Членики стебля имеют почти округлое, слегка изрезанное сечение. Центральный канал округлый. Поверхность сочленения в виде пятилопастной розетки.

Распространены от верхнего триаса (норийский ярус) до верхней юры. На Северо-Востоке наиболее часто встречаются в нижнем и среднем лейасе бассейнов рек Колымы, Индигирки, Охотского побережья и других районов.

ТИП BRACHIOPODA. БРАХИОПОДЫ

КЛАСС ARTICULATA. ЗАМКОВЫЕ

ОТРЯД RHYNCHONELLIDA

СЕМЕЙСТВО RHYNCHONELLIDAE Gray

Род *Septaliphoria* Leidhold, 1921

Septaliphoria ? *viligaensis* Moisseiev, 1947

Табл. 19, фиг. 1

Раковина очень крупных размеров, в среднем 40—60 мм в длину. Ширина раковины обычно несколько больше длины. Наибольшая ширина и толщина располагаются посредине. Сте-

* Составлено в систематическом порядке.

СХЕМА СТРОЕНИЯ ЛИСТЬЕВ НЕКОТОРЫХ ИСКОПАЕМЫХ РАСТЕНИЙ

1. ПАПОРОТНИКИ



Фиг. 9. Часть дважды перистого листа (или вайи):

а — перо; б — перышко; в — стержень пера; г — стержень листа (вайи).

Фиг. 10. Детали

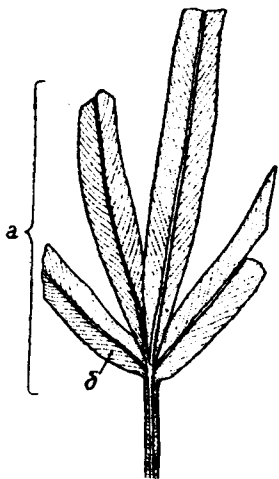
жилкования перышка:

а — средняя, или главная, жилка; б — боковые жилки, дихотомирующие один раз; в — боковые жилки, дихотомирующие дважды.

2. КЕЙТОННИЕВЫЕ

Фиг. 11. Сложный лист *Sagenopteris*:

а — полный лист; б — листочки.



3. БЕННЕТТИТОВЫЕ

Фиг. 12. Участок листа *Ptilophyllum*:

а — стержень листа; б — сегменты.



пень выпуклости створок неодинаковая, причем спинная створка всегда значительно выдается над брюшной. Брюшная створка уплощена, с широким синусом, не четко отделенным от боковых частей створки. Макушка широкая, низкая, загнутая. Спинная створка сильно выпуклая, имеет поперечный изгиб больше продольного. Возвышение слабо развитое или полностью отсутствует. Поверхность раковины покрыта 10—12 толстыми грубыми ребрами.

Верхний плинсбах Охотского побережья, Вилюйской впадины, низовьев р. Лены.

Род *Rudirhynchia* Buckman, 1917

Rudirhynchia najahensis (Moisseiev, 1947)

Табл. 20, фиг. 2—4

Раковины средних размеров, сильно изменчивых внешних очертаний, большей частью округленно-пятиугольные. Наиболее часты экземпляры около 15—20 мм в длину. Длина раковины обычно меньше ширины, хотя отдельные особи могут иметь обратное соотношение длины и ширины. Брюшная створка слегка уплощена на боках и в задней части. Синус широкий, четко отделен от боковых частей раковины. Спинная створка уплощена в осевой части, выпукла сильнее брюшной. Возвышение отчетливое, ясно отграниченное. Поверхность створок покрыта острыми, разной величины ребрами в количестве 6—12 на каждой створке. В синусе от 1 до 4 ребер.

Вид широко распространен в плинсбахском ярусе Охотского побережья, бассейнов рек Омолона и Коркодона и низовьев р. Лены.

Род *Rimirhynchia* Buckman, 1915

Rimirhynchia maltanensis Dagys, sp. nov.

Табл. 19, фиг. 2

Происхождение названия: по р. Малтан в бассейне р. Бохачи, откуда происходит голотип.

Голотип: табл. 19, фиг. 2а—г.

Материал: несколько полных ядер.

Раковины около 30 мм в длину, округленно-пятиугольных очертаний. Длина и ширина створок примерно одинаковые, реже ширина несколько превышает длину. Раковины сильно вздутые, толщина лишь незначительно меньше длины. Брюшная створка с отчетливым синусом. Макушка низкая, закругленная, загнутая. Возвышение на спинной створке уплощенное, четко отделено от боковых частей. Поверхность створок покрыта 10—14 мелкими

ребрышками около макушки и 6—8 складками в прилобной части. Из общего числа складок 1—2 приходятся на синус.

Представители рода *Rimirhynchia* впервые описываются с территории СССР. Вид встречается в плинсбахском ярусе бассейнов рек Бохачи, Омолона, Коркодона и низовьев р. Лены.

СЕМЕЙСТВО DIMERELLIDAE Buckman

Род *Peregrinelloidea* Dagys, gen. nov.

Peregrinelloidea malkovi Dagys, sp. nov.

Табл. 20, фиг. 1

Происхождение названия: в честь геолога Б. И. Малькова, из сборов которого происходит голотип.

Голотип: табл. 20, фиг. 1а, б.

Материал: несколько полных ядер и разрозненных створок хорошей сохранности.

Раковины крупных размеров, до 55 мм в длину и 70 мм в ширину, поперечно-овальных очертаний. Ширина раковины всегда больше длины. Обе створки незначительно и примерно в равной степени выпуклы, реже спинная створка уплощена. У молодых особей имеется желобок на спинной створке; взрослые раковины — без синуса и возвышения, с ровными комиссурами. Макушка немного загнутая, форамен подмакушечный, большой. Дельтиальные пластины разъединенные. Поверхность раковин покрыта многочисленными ребрами, интенсивно ветвящимися на разном расстоянии от макушки. Зубные пластины отсутствуют. В спинной створке широкие замочные пластины и длинные шиповидные круры, лежащие в смычной плоскости створок. Септа отсутствует.

Плинсбахский ярус бассейна р. Бохачи и Алазейского плато.

Род *Ochotorhynchia* Dagys, gen. nov.

Ochotorhynchia omolonensis Dagys, sp. nov.

Табл. 1, фиг. 4

Происхождение названия: по широкому распространению вида в бассейне р. Омолон.

Голотип: табл. 1, фиг. 4.

Материал: многочисленные полные ядра и разрозненные створки.

Маленькие раковины округлых очертаний, с длиной, примерно равной ширине. Длина и ширина не превышают 6—7 мм. Брюшная створка слабо выпуклая, спинная — уплощенная или чаще слегка вогнутая. Замочный край прямой, его длина равна примерно половине ширины раковины. Макушка тонкая, прямая с острыми плечиками. Форамен открытый. Боковые поверхности створок покрыты 3—5 пологими складками. Возвышение на брюшной створке узкое, слабо выделяется над боковыми складками. Синус отчетливый, гладкий. Зубные пластины отсутствуют. В спинной створке нет септы и замочного отростка. Круры очень массивные, высокие, достигают брюшной створки. В обеих створках сильно развиты вторичные утолщения.

Широко распространенный вид в геттангских и синемюрских отложениях бассейнов рек Омолона, Коркодона и Охотского побережья.

ОТРЯД TEREBRATULIDA

СЕМЕЙСТВО TEREBRATULIDAE

Род *Lobothyris* Buckman, 1917

Lobothyris punctata (Sowerby, 1812)

Табл. 1, фиг. 3

Внешние очертания средних размеров раковин длиной в 25—35 мм удлиненно-овальные. Их длина всегда превышает ширину. Наибольшие ширина и толщина располагаются посредине. Обе створки умеренно и в равной степени выпуклы. Изгиб створок в поперечном направлении несколько больше продольного. Макушка широкая, низкая, слабо загнутая. Форамен малых размеров. Лобная комиссура прямая, складки отсутствуют.

Вид известен из нижнего лейаса бассейна р. Вилиги.

Род *Loboidothyris* Buckman, 1917

Loboidothyris orientalis Dagys, sp. nov.

Табл. 20, фиг. 5

Происхождение названия: *orientalis* — восточный; по распространению вида на Востоке СССР.

Голотип: табл. 20, фиг. 5 а, б.

Материал: несколько полных ядер и разрозненных створок.

Раковины с внешними очертаниями, близкими к грушевидным, имеют 25—35 мм в длину. Наибольшая толщина располагается посредине, максимальная ширина — ближе к лобному

краю. Створки примерно равновыпуклы; спинная несколько выше брюшной. Задняя часть раковины заужена. Макушка толстая, низкая, сильно закруглена. Боковые комиссуры прямые, лобная W-образная. На поверхности раковины отчетливо прослеживаются две невысокие складки.

Вид рода *Loboidothyris* впервые описывается с территории СССР. Встречается в плинсбахском ярусе (преимущественно домерском подъярусе) Охотского побережья, бассейнов рек Омолона и Коркодона.

СЕМЕЙСТВО DIELASMATIDAE Schuchert

Род *Boreiothyris* Dagys, gen. nov.

Boreiothyris pelecypodaeformis (Moisseiev, 1938)

Табл. 96, фиг. 2

Раковины яйцевидные, умеренно вздутые, достигающие в длину в среднем 50—70 мм, в ширину — 35—45 мм. Замочный край острый, лобный — округлый. Наибольшая ширина приурочена к передней половине раковины. Комиссуры прямые. Макушка короткая, относительно тонкая. В брюшной створке имеется массивный внутренний воротничок, в спинной — замочный отросток и септальные пластины, опирающиеся на низкий септальный валик, с образованием широкого септалия.

Келловейский и оксфордский ярусы бассейна р. Зырянки, Охотского побережья и Таймыра.

Boreiothyris lamutkaensis (Moisseiev, 1938)

Табл. 97, фиг. 2

Раковины крупных размеров — до 80 мм в длину и 65 мм в ширину, овальных очертаний, с умеренно и в равной степени выпуклыми створками. Замочный край тупой, лобный и боковые — закругленные. Комиссуры равные, реже лобная комиссура имеет слабый изгиб в сторону спинной створки. Макушка массивная, короткая, слабо загнутая. Апикальный угол около 100°.

Келловей-оксфордские отложения бассейна р. Зырянки; оксфордский ярус Таймыра.

Boreiothyris zimkini (Moisseiev, 1938)

Табл. 96, фиг. 1

Очень крупных размеров раковины, до 85 мм в длину, удлиненно-овальных очертаний, с сильно выпуклыми створками. Длина раковины значительно превышает ширину. Наибольшие

толщина и ширина приурочены к средней части. Комиссуры прямые. Макушка очень толстая, низкая, прободенная крупных размеров фораменом.

Келловей-оксфордские отложения бассейна р. Зырянки.

Boreiothyris goliensis (Moisseiev, 1938)

Табл. 97, фиг. 1

Очень крупных размеров раковины, достигающие 85 мм в длину, округленно-треугольных очертаний. Замочный край острый, лобный — отчетливо уплощенный. Комиссуры ровные. Обе створки умеренно и в равной степени выпуклые. Максимальная ширина приурочена к переднему краю. Макушка короткая, массивная, умеренно загнутая. Форамен крупных размеров, округлый по форме. Апикальный угол около 60°.

Келловей-оксфордские отложения бассейна р. Зырянки.

СЕМЕЙСТВО ZEILLERIDAE Rollier

Род *Zeilleria* Bayle, 1878

Zeilleria darwini (Eudes—Deslongchamps, 1819)

Табл. 19, фиг. 3

Небольших размеров раковины удлинено-овальных очертаний. Длина раковины несколько больше ее ширины. Наибольшая ширина и толщина расположены посредине. Степень выпуклости створок незначительная и в общем одинакова. Макушка тонкая, низкая, с острыми плечиками. Форамен расположен на конце макушки, очень малых размеров. В брюшной створке зубные пластины, в спинной — высокая септа и связанный с нею септаций.

Плинсбахский ярус бассейна р. Большого Анюя.

Zeilleria ex gr. cornuta (Sowerby, 1824)

Табл. 20, фиг. 6, 7

Пятиугольных очертаний раковины средних размеров. Длина раковины значительно превышает ширину. На обеих створках развиты короткие синусы, обуславливающие выемку на лобном крае.

Плинсбахский ярус (домерский подъярус) Охотского побережья.

ТИП MOLLUSCA. МЯГКОТЕЛЫЕ

КЛАСС BIVALVIA. ДВУСТВОРЧАТЫЕ МОЛЛЮСКИ

ОТРЯД TAХОDОНТА. РЯДОЗУБЫЕ

СЕМЕЙСТВО NUCULIDAE Orbigny

Род *Nucula* Lamarck, 1799

Nucula amygdaloides Sowerby, 1812

Табл. 59, фиг. 1

Раковина маленькая (8—10 мм в длину), равностворчатая, овальная, вытянутая в длину, умеренно выпуклая. Отношение высоты створки к ее длине составляет 0,6. Передний и задний края равномерно выпуклые, слегка суживающиеся на концах; нижний край плавно выпуклый. Тупые, слабо выдающиеся макушки смещены к заднему краю, располагаясь от него примерно в 1/3 длины раковины. Поверхность раковины гладкая, с едва заметными линиями нарастания. Замочный аппарат состоит из ряда мелких и одинаковых таксодонтных зубов, которых на передней ветви замочного края больше, чем на задней.

Вид распространен преимущественно в ааленском ярусе бассейна верхнего течения р. Колымы и Охотского побережья.

Nucula aff. palmae Sowerby, 1812

Табл. 59, фиг. 2

Раковина маленькая (12—14 мм в длину), овально-четырёхугольного очертания, вытянутая в длину. От *N. amygdaloides* Sowerby данный вид отличается более угловатыми очертаниями: нижний край, почти прямой в средней части раковины, более резко поднимается к переднему и заднему краям, которые уплощены. Тупые невыдающиеся макушки у данного вида еще больше смещены назад. Поверхность покрыта слабыми концентрическими морщинками и линиями роста.

Ааленский ярус бассейна верхнего течения р. Колымы и Охотского побережья.

СЕМЕЙСТВО LEDIDAE Dall

Род *Leda* Schumacher, 1817

Leda subvexillata Polubotko, sp. nov.

Табл. 1, фиг. 5, 6

Происхождение названия: по сходству с видом *L. vexillata* Marwick.

Голотип: табл. 1, фиг. 5.

Материал: отпечаток правой створки, неполной сохранности наружное ядро левой створки и несколько обломков внутренних ядер.

Раковина преимущественно небольшого размера (длиной 20—25 мм, но иногда достигающая в длину 60 мм), равносторчатая, слабо выпуклая, удлинненно-овального очертания, с сильно оттянутой и суженной задней частью, расширенной и круто закругленной передней; нижний край очерчен плавной широкой дугой. Суженную часть раковины диагонально пересекает резкий киль, отделяющий от ее основной поверхности узкое закилевое поле. Макушка маленькая, тупая, не выступающая над замочным краем; она приближена к переднему краю раковины на $\frac{1}{3}$ ее длины, повернута и слегка наклонена назад (опистогирная). Поверхность раковины покрыта угловато-волнистыми концентрическими ребрами; на ее передней расширенной части ребра почти параллельны нижнему краю и лишь слегка волнисты; в задней части раковины, примерно в $\frac{2}{3}$ длины от переднего края, ребра надламываются, несколько раз образуя V-образный рисунок в виде пологих зигзагов. Киль и закилевое поле гладкие. Замок таксодонтного типа, состоящий из ряда мелких зубов, расположенных по обе стороны от макушки; задняя ветвь замка значительно длиннее передней.

С р а в н е н и е. От наиболее близкого по очертанию раковины вида *L. vexillata* Marwick из нижнего лейаса Новой Зеландии отличается сильнее приближенной к переднему краю макушкой, более коротким передним и менее суженным задним краями.

Встречается в нижнем лейасе, в основном в синемюрском ярусе Охотского побережья, бассейнов рек Буюнды, Бохапчи, Омолона и Коркодона.

Leda formosa Voronetz (in litt.), sp. nov.

Табл. 21, фиг. 1, 2

Происхождение названия: *formosa* — красивая; по изяществу и красоте скульптуры.

П а р а т и п: табл. 21, фиг. 1.

Материал: хорошо сохранившееся наружное ядро левой створки и несколько обломков наружных и внутренних ядер с сомкнутыми створками и отдельных створок.

Раковина средних размеров (30—40 мм в длину), равносторчатая, с сильно суженной и удлиненной в виде ростра задней частью, умеренно и равномерно выпуклая, довольно толстостенная. Нижний край створки ограничен плавной широкой дугой, переходящей в области ростра в прямую линию. Макушки маленькие, притупленные, загнутые внутрь и повернутые назад, немного смещенные в сторону переднего края. От макушки к заднему краю проходит киль, а впереди него расположена неглу-

бокая депрессия. Вся поверхность раковины, за исключением макушки, покрыта тонкими волнообразно-угловатыми или зигзагообразными ребрышками, которые позади макушки становятся грубее и образуют более крупный рисунок; в области ростра они направлены под острым углом к килю и затухают на нем. Макушка покрыта простыми концентрическими ребрышками. В области щитка заметны тонкие продольные линии.

С р а в н е н и е. По очертанию раковины и характерной скульптуре *L. formosa* близка к *L. graphica* Tate из среднего лейаса Англии и Кавказа, а также к *L. complanata* Phillips из низов тоарского яруса Англии, Центральной Европы и Кавказа. От этих видов она отличается более крупными размерами, иными очертаниями раковины, выражающимися в изгибе нижнего края при переходе к ростру, и более сложной скульптурой на поверхности створок. От вышеописанного раннейейасового вида *L. subvexillata* данный вид отличается более срединным положением макушки, сильнее обособленным ростром и более сложной скульптурой. С близким по очертанию раковины видом *L. polaris* Koschelkina из среднего лейаса Приверхоянья данный вид не позволяет отождествить гладкая поверхность раковины у *L. polaris*.

Встречается в плинсбахском ярусе бассейнов рек Омолона, Коркодона, Буюнды и в низовьях р. Лены.

Leda subjacutica Polubotko, sp. nov.

Табл. 59, фиг. 3—5

Происхождение названия: по сходству с видом *L. jacutica* Petrova.

Г о л о т и п: табл. 59, фиг. 3 а—в.

Материал: более десяти внутренних ядер с сомкнутыми створками и несколько отпечатков наружной поверхности раковин.

Раковина маленькая (обычно до 10 мм в длину), равносторчатая, с расширенной передней и суженной, но не оттянутой задней частью. Слабо выпуклый нижний край, плавно сливающийся с передним, приподнимается в заднем направлении и под закругленным острым углом соединяется со слабо вогнутой задней ветвью верхнего края. Передняя ветвь последнего составляет с передним краем одну плавную выпуклую линию. Макушки хорошо обособленные, выдающиеся, повернутые назад. Хорошо выражены луночка и щиток. Поверхность гладкая, с тонкими линиями роста. Чаще сохраняются внутренние ядра, на которых хорошо заметны задний и передний мускульные отпечатки. От них по направлению к макушке проходят спереди и сзади слабые и короткие килевидные перегибы. В середине верхней части

ядра иногда заметна слабая депрессия в виде бороздки. Зубной аппарат состоит из ряда зигзагообразных зубных пластинок, длина которых убывает к краям замочной линии. Спереди насчитывается 10—12 пластинок, а позади макушки их 7—8.

Сравнение. От *L. jacutica* Petrova из тоарского яруса Восточной Сибири данный вид отличается более мелкими размерами раковин и почти не оттянутым, приостренным задним краем. От плинсбахско-тоарского вида *L. acuminata* (Goldfuss) новый вид отличается иным соотношением длины и высоты раковины, менее суженным и не оттянутым задним краем, почти центральным положением макушки.

Вид распространен в ааленском ярусе верховьев р. Колымы (в бассейнах рек Малтана и Буюнды) и на Охотском побережье.

ОТРЯД ANISOMYARIA. НЕРАВНОМУСКУЛЬНЫЕ

СЕМЕЙСТВО MONOTIDAE Fischer

Род *Monotis* Bronn, 1830

Monotis inopinata Polubotko, sp. nov.

Табл. 2, фиг. 1—5

Происхождение названия: *inopinatus* — неожиданный; типичные представители рода *Monotis* в юре не были еще известны, поэтому их нахождение явилось неожиданным.

Голотип: табл. 2, фиг. 1а—в.

Материал: четыре наружных и внутренних ядра с сомкнутыми створками и множество разрозненных левых и правых створок, образующих массовые скопления.

Раковина небольшого или среднего размера (длиной до 35 мм), неравностворчатая, косо-овального очертания, с длиной, превышающей высоту. Левая створка умеренно и равномерно выпуклая. Правая плоская с маленьким передним ушком и глубокой биссусной выемкой. Обе створки покрыты грубыми высокими радиальными ребрами. Отчетливо различаются ребра первого, второго и третьего порядков, которые чередуются между собой иногда не совсем правильно. Ребра первого и второго порядков слабо разнятся по силе, особенно на левых створках. Ребра третьего порядка всегда тонкие и короткие, заметные только в нижней части раковины. На крупных экземплярах между ребрами первого порядка часто наблюдаются два ребра второго порядка, а между ними одно ребрышко третьего порядка. Отдельные ребра первого и второго порядков часто резко утолщаются по направлению к нижнему краю, становясь толстыми и уплощенными. Всего вдоль нижнего края наиболее крупных раковин насчитывается до 80 ребер. Задние ушки обеих створок

ребристые и не обособленные от остальной поверхности раковины.

Раковины довольно сильно варьируют по силе и характеру чередования ребер различного порядка, а также по степени ребристости заднего ушка на правых створках.

Сравнение. Наибольшее сходство раковины нового вида имеют с позднетриасовым видом *M. scutiformis* (Teller), особенно с его вариантами *M. scutiformis* var. *daonellaeformis* Kiparisova и var. *kolymica* Kiparisova. Отличительными чертами нового вида являются более высокие, расширяющиеся книзу, сближенные и менее правильно чередующиеся радиальные ребра, которых по количеству больше, чем у *M. scutiformis*.

Вид известен из синемюрского яруса (зоны *Angulaticeras kolymicum*) бассейнов рек Коркодона, Бохапчи и Вилиги.

Род *Otapiria* Marwick, 1935

Раковина скошенно-овального очертания, неравностворчатая, с менее выпуклой или почти плоской правой створкой. Заднее ушко хорошо развито и четко отделено от остальной поверхности на правой створке. Переднее ушко на левой створке практически незаметно. Правая створка с маленьким, но отчетливо выраженным передним (биссусным) ушком, отграниченным от верхнего края раковины узкой бороздкой и неглубокой биссусной выемкой. Скульптура из многочисленных тонких, тесно расположенных, иногда волнистых радиальных ребер нескольких порядков. На правой створке ребер иногда меньше или они вовсе отсутствуют.

От очень близкого по очертанию и выпуклости раковины рода *Monotis* отличается более тонкими и многочисленными радиальными ребрами, более коротким замочным краем, особенно его передней ветвью, меньшей величиной биссусной выемки, несколько иным устройством замочной площадки и расположением биссусного ушка.

Распространение: поздняя часть карнийского века Приморского края СССР; поздняя часть карнийского века — синемюрский век Северо-Востока СССР; рэтский век, ранний лейас и поздняя юра Новой Зеландии; геттангский век Новой Каледонии, лейас Аляски.

Otapiria ? *originalis* (Kiparisova, 1960)

Табл. 3, фиг. 1—3

Раковина маленькая, не превышающая 15 мм в длину, в отличие от остальных видов этого рода почти округлого очертания, иногда слабо скошенная. Левая створка слабо выпуклая, правая — почти плоская. Макушка левой створки широкая и слабо

выдающаяся. Передний и задний края левой створки, соединяясь с верхним краем, часто образуют вокруг макушки уплощенные, почти симметричные ушковидные расширения, приподнимающиеся над замочным краем. Заднее ушко плохо отграничено от остальной поверхности даже на правой створке. Переднее (биссусное) ушко этой створки хорошо развито, отделено от раковины довольно глубокой биссусной выемкой, и его передний край чуть приподнят кверху над замочной линией. Поверхность обеих створок, включая задние ушки, покрыта примерно 90 тонкими радиальными ребрами трех порядков и мелкими концентрическими морщинками. Ребрышки первого и второго порядков слабо разнятся по силе.

Вид встречается в геттангских отложениях Охотского побережья, бассейнов рек Индигирки и Колымы.

Otapiria pseudooriginalis (Zakharov, 1962)

Табл. 3, фиг. 4—8

Раковина маленькая (не более 20 мм в длину), округленно-овальная, скошенная, с выпуклой левой и слабо выпуклой или почти плоской правой створками. Макушка левой створки маленькая, приостренная на конце, слегка выступающая над замочным краем. Заднее ушко на правой створке хорошо отграничено, переднее (биссусное) — узкое, отделенное от створки бороздкой и неглубокой выемкой. Обе створки покрыты тонкими радиальными ребрышками трех порядков, которых насчитывается до 70 на левой створке и несколько меньше на правой. Расстояния между ребрами обычно равны им по ширине, изредка чуть шире их. На правой створке ребрышки расставлены немного шире и по направлению к заднему краю становятся более сглаженными и тонкими. От близкой *O. (?) originalis* (Kirgisova), с которой иногда встречается совместно, данный вид отличается скошено-овальным очертанием, отсутствием почти симметричных ушкообразных расширений краев раковины вокруг макушки на левой створке и несколько более грубой ребристостью створок.

Вид широко распространен в нижнелейасовых, главным образом, геттангских отложениях Охотского побережья, бассейнов рек Индигирки, Колымы, Раучуа.

Otapiria ex gr. marshalli (Trechmann, 1923)

Табл. 3, фиг. 9—13

Раковина средних размеров (длиной 25—30 мм), скошено-овального очертания, оттянутая в ниже-заднем направлении. Левая створка от умеренно до сильно выпуклой, с нависающей над замочным краем и загнутой внутрь макушкой. Правая створ-

ка умеренно выпуклая, с маленькой, плоской, не выдающейся макушкой, с хорошо отграниченным гладким задним ушком и маленьким биссусным.

На левой створке насчитывается от 70 до 90 тонких радиальных ребер первого и второго порядков и коротких ребрышек третьего порядка, местами вставленных между ними. Ребра низкие, округлые в сечении, слабо дифференцированные по силе, обычно тесно сближенные: межреберные промежутки всегда уже ребер. Отдельные ребра нередко сильно утолщаются и уплощаются в нижней части створки. Правая створка покрыта более грубыми, чем левая, уплощенными ребрами одного или двух порядков в количестве от 30 до 60. Межреберные промежутки по ширине равны ребрам или превышают их. Иногда наблюдается затухание ребер в нижней части створки.

Описываемые раковины близки новозеландскому виду *Otapiria marshalli* (Trechmann) из геттангского яруса, особенно по характеру ребристости правой створки. От *O. pseudooriginalis* (Zakharov) они в целом отличаются более крупными размерами, большей выпуклостью обеих створок, более грубыми, теснее расположенными и слабее дифференцированными ребрами на левой створке и более редкими и толстыми — на правой. Возможно, эти раковины относятся к нескольким близким видам или подвидам либо к одному виду, подверженному сильной внутривидовой изменчивости.

Нижний лейас, в основном, синемюрский ярус бассейнов рек Омолона, Коркодона и Охотского побережья.

Otapiria limaeformis limaeformis Turchkov, 1962

Табл. 4, фиг. 1—7

Раковина средних размеров, сильно изменчивая в очертаниях от косо-овальной до почти округлой. Левая створка умеренно выпуклая, с приостренной выдающейся над замочным краем и загнутой внутрь макушкой, приближенной к переднему краю. Переднее ушко практически не выражено. Заднее ушко слабо отграничено от поверхности створки и часто имеет вид уплощенного ушковидного расширения, окружающего макушку сзади. Правая створка слабее выпукла, причём ее наибольшая выпуклость сосредоточена в передне-верхней части, а ниже-задняя уплощена. Макушки маленькие, тупые, не выдающиеся. Заднее ушко хорошо выраженное, уплощенное. Скульптура левой и правой створок резко различна. Поверхность левой створки, включая и заднее ушко, покрыта многочисленными (80—100) радиальными ребрами трех порядков; они неправильно чередуются между собой и часто разнятся только по длине. Толщина ребер первого и второго порядков варьирует от нитевид-

ных до довольно толстых и уплощенных. Правая створка почти гладкая, только на ее переднем крае и заднем ушке обычно наблюдаются короткие радиальные ребрышки.

Левая створка данного вида по характеру скульптуры очень близка левой створке *O. ex gr. marshalli* (Trechmann) и отличается от нее главным образом меньшей выпуклостью и более грубыми концентрическими складками. Правые створки этих видов резко различны, поскольку у *O. limaeformis* они гладкие, а их задние ушки покрыты слабыми ребрышками.

Нижний лейас, преимущественно синемюрский ярус, Охотского побережья и бассейна верхнего и среднего течения р. Колымы.

Otaripira limaeformis affecta Polubotko, subsp. nov.

Табл. 5, фиг. 1—6

Происхождение названия: *affectus* — приближающийся к концу; данный подвид завершает развитие рода *Otaripira* в нижней юре Северо-Востока СССР.

Голотип: табл. 5, фиг. 1; паратип: табл. 5, фиг. 4.

Материал: два внутренних ядра с сомкнутыми створками и более 20 ядер разрозненных левых и правых створок.

Раковина средних размеров (обычно 30—40 мм в длину), косо-овального очертания, всегда сильно оттянутая в нижне-заднем направлении. Правая и левая створки почти в одинаковой мере выпуклы, что является характерным признаком данного подвида. Наибольшая выпуклость правой створки сосредоточена в области макушки, которая хорошо развита и слегка выступает над замочным краем. Скульптура створок резко различна. Левая створка, покрытая 70—90 радиальными ребрами двух-трех порядков, слабо разнящихся по силе, почти ничем не отличается по скульптуре от левых створок *O. limaeformis* Tschkov и *O. marshalli* (Trechmann); отдельные ребра часто сильно уплощены. Правая створка, в отличие от последнего вида, гладкая. Лишь иногда на поверхности створки, главным образом в ее средней и нижней частях, наблюдаются слабые извилистые радиальные струйки, а на переднем крае заметно несколько радиальных ребрышек. Задние ушки обеих створок гладкие.

Сравнение. От номинального подвида новый подвид отличается более крупными размерами, большей выпуклостью правой створки, выступающей макушкой этой створки, гладким задним ушком и несколько иным очертанием, а также более грубой и уплощенной ребристостью левой створки. Между номинальным и описываемым подвидами существует ряд переходных форм.

Верхний синемюр бассейнов рр. Омолона, Коркодона, Бохапчи, Армани, Гижиги.

Otaripira omolonica Polubotko, sp. nov.

Табл. 4, фиг. 8—10

Происхождение названия: по р. Омолон, в бассейне которого вид широко распространен.

Голотип: табл. 4, фиг. 10 а, б.

Материал: более 40 внутренних и наружных ядер с сомкнутыми створками и множество разрозненных створок.

Раковина небольшая (с длиной, обычно не превышающей 20—25 мм), косо-овального очертания, сильно оттянутая и нередко расширенная в нижне-заднем направлении; длина створок всегда превышает высоту. Равномерно выпуклая левая створка имеет маленькую, загнутую внутрь, выступающую макушку, смещенную вперед на $\frac{2}{3}$ длины замочного края. Передний край выпуклый, очень короткий, незаметно сливающийся с нижним. Позади макушки имеется хорошо отграниченное плоское заднее ушко (обычно не сохраняющееся на ядрах), имеющее форму тупоугольного треугольника; задний край ушка незаметно сливается с полого-выпуклым длинным задним краем створки. Правая створка умеренно выпуклая, со слабо выдающимся передним краем, маленьким биссусным ушком и хорошо отграниченным плоским задним ушком. Обе створки покрыты чрезвычайно тонкими радиальными ребрами трех порядков, почти одинаковых по силе. Наиболее тесно тонкие ребрышки расположены на переднем крае обеих створок. На левой створке свободным от ребристости остается только узкое заднее ушко. На правой створке тончайшими ребрышками обычно покрыта только передняя половина створки или $\frac{2}{3}$ ее поверхности от переднего края. Затем по направлению к заднему краю ребрышки резко редуют, а иногда исчезают совсем, и лишь около заднего ушка вновь появляются тончайшие радиальные штрихи. На левой створке насчитывается до 160 ребер, на правой 120—140. Кроме того, наблюдаются концентрические морщины и линии роста.

Сравнение. *O. omolonica* sp. nov. отличается от всех известных раннелейасовых видов этого рода более тонкой ребристостью обеих створок и почти вдвое большим количеством на них радиальных ребер. Наибольшее сходство вид обнаруживает с карнийской *O. ussuriensis* (Voronetz), от которой отличается в целом более рельефной ребристостью, которая у нового вида хорошо выражена и на внутренних ядрах, тогда как у *O. ussuriensis* на последних она почти не заметна, особенно на ядрах правых створок, которые к тому же и менее выпуклые.

Вид широко распространен в нижнелейасовых, главным образом нижнесинемюрских, отложениях бассейнов рек Омолона и Коркодона; реже встречается в синемюрском ярусе Охотского побережья.

Раковина небольшая, округло- или овально-четыреугольная, неравносторчатая, с выпуклой левой и слабо выпуклой или почти плоской правой створками. В отличие от родов *Monotis* и *Otarigia*, левая створка данного рода снабжена маленьким передним треугольным ушком, всегда уступающим по величине заднему ушку, которое позади слегка вогнуто. Правая створка с маленьким передним ушком, отделенным от верхнего края створки биссусной складочкой и выемкой, и обычно с хорошо выраженным задним треугольным ушком. Левая створка покрыта радиальными ребрами или резе — слабыми радиальными струйками; скульптура правой створки всегда ослаблена по сравнению со скульптурой левой створки.

Распространение. Средний и верхний триас Северо-Востока СССР; верхний триас Европы; нижняя юра Европы, Северо-Востока, Японии; средняя и верхняя юра Западной Европы, европейской части СССР, Западной и Восточной Сибири, Дальнего Востока, Северо-Востока, Японии.

Meleagrinnella subolifex Polubotko, sp. nov.

Табл. 2, фиг. 6—8

Происхождение названия: по сходству с видом *M. olifex* (Quenstedt).

Голотип: табл. 2, фиг. 6; паратип: табл. 2, фиг. 8.

Материал: один экземпляр с сомкнутыми створками и более 10 внутренних ядер и отпечатков преимущественно левых створок.

Раковина овально-трапециевидная, слегка вытянутая в длину, не превышающая 15 мм в длину. Левая створка умеренно выпуклая в области макушки и уплощающаяся к краям. Передний и задний края, прямые в своей верхней части, соединяются под тупыми углами с верхним краем и по крутой дуге сливаются с плавно выпуклым нижним. Нижне-задний угол створки слегка оттянут. Макушка приостренная, едва выступающая. Переднее ушко маленькое, но отчетливое; заднее вдвое его длиннее, узкое, слабо обособленное. Правая створка плоская, с выпуклыми задним и передним краями. Переднее (биссусное) ушко хорошо развито. Длинное заднее ушко маленьким вертикальным уступом обрывается к заднему краю.

Скульптура створок различна. Левая покрыта примерно 75 тонкими радиальными ребрами (включая и ребристость на ушках), почти одинаковыми по силе. Увеличение числа ребер по направлению к нижнему краю происходит нерегулярно — как путем вставления отдельных ребер, так и путем их раздвигания на разных расстояниях от макушки. Вблизи ушек ребристость

очень тонкая и густая. На правой створке ребер вдвое меньше и они часто едва заметны. Ребра второго порядка отличаются в основном по длине. Концентрическая скульптура на обеих створках представлена редкими и слабыми концентрическими пережимами. На внутреннем ядре левой створки ребра заметны только по периферии, правая створка выглядит гладкой.

Сравнение. Описываемый вид по очертанию и характеру ребристости левой створки близок к *M. olifex* (Quenstedt) из нижнелейасовых отложений Германии, отличаясь от него меньшей выпуклостью и менее массивной, почти не выдающейся над замочным краем макушкой. Правая створка *M. olifex* неизвестна, что затрудняет сравнение этих видов. От *M. japonica* Hayami из нижнего лейаса Японии вид отличается овально-трапециевидным, а не округлым очертанием, более длинным замочным краем и меньшей выпуклостью левой створки.

Вид известен из геттангских и синемюрских отложений бассейнов рек Омолона и Коркодона.

Meleagrinnella oxytomaeformis Polubotko, sp. nov.

Табл. 22, фиг. 1—5

Происхождение названия: по некоторому сходству очертания створок с родом *Oxytoma*.

Голотип: табл. 22, фиг. 1; паратип: табл. 22, фиг. 2.

Материал: около 10 внутренних и наружных ядер левых и правых створок и два экземпляра с сомкнутыми створками.

Раковина до 23 мм в длину, с высотой, равной длине в молодой стадии роста, и немного вытянутая в длину во взрослой; с возрастом увеличивается и скошенность раковины. Передний и задний края левой створки полого выпуклые, плавно сливающиеся с нижним краем. Заднее ушко гораздо длиннее переднего, узкое, со слабым вырезом и заостренным копьевидным верхним концом. Правая створка круглая, с маленькой, приостренной и слегка выступающей над замочным краем макушкой и коротким биссусным ушком. Заднее ушко плоское, сливающееся с задним краем раковины. Левая створка покрыта 55—60 тонкими радиальными ребрами первого и второго порядков, отчетливо различающимися по силе. Заднее ушко и прилегающая часть створки несут тончайшие радиальные ребрышки. На внутренних ядрах примакушечная часть и ушки гладкие. На внутреннем ядре правой створки насчитывается около 30 ребер первого и второго порядков. Кроме того, наблюдаются два-три слабых концентрических пережима.

Сравнение. От близкого по очертанию левой створки раннелейасового вида *M. subolifex* Polubotko, sp. nov. отличается большей выпуклостью как левой, так и правой створок, иным очертанием правой створки, хорошо дифференцированными и

правильно чередующимися путем вставления радиальными ребрами на обеих створках.

Плинсбахский ярус бассейна р. Омолона.

Meleagrinnella ptchelincevae Polubotko, sp. nov.

Табл. 22, фиг. 6—10

Происхождение названия: в честь палеонтолога Г. Т. Пчелинцевой.

Голотип: табл. 22, фиг. 9 а, б; паратип: табл. 22, фиг. 10.

Материал: более 20 разрозненных левых, реже — правых створок, представленных внутренними и наружными ядрами.

Раковина маленькая (10—13 мм высотой), от слабо до умеренно скошенной, со значительно выпуклой левой и плоской правой створками. Выдающаяся хорошо развитая макушка левой створки занимает почти центральное положение и лишь слегка смещена к переднему краю. Оба ушка маленькие, сливающиеся с остальной поверхностью створки, причем заднее вдвое длиннее переднего и имеет едва заметный вырез. Передний и нижний края выпуклые, задний почти прямой. Скульптура левой створки состоит из 35—40 тонких радиальных ребер первого и второго порядков, правильно чередующихся между собой и пересеченных хорошо выраженными концентрическими линиями, расстояния между которыми равны расстояниям между главными ребрами. Благодаря этому на поверхности раковины образуется сеточка с бугорками в местах пересечения радиальных и концентрических линий. Сетчатая скульптура сохраняется и на внутренних ядрах. Задний край створки и заднее ушко покрыты очень тонкими радиальными линиями, пересеченными более четкими концентрическими линиями, которые делают легкий изгиб, переходя на заднее ушко. Правая створка косо-овального очертания, с плоской, не выдающейся над замочным краем макушкой и относительно длинным биссусным ушком. Поверхность ее покрыта более редкими, чем на левой створке, радиальными ребрами, едва заметными на внутренних ядрах.

Сравнение. От *M. deleta* (Dumortier) из среднего лейаса Западной Европы и близкого ему вида *M. tiungensis* (Petrova) из среднего лейаса Северной Сибири отличается менее скошенным и более удлиненным очертанием, слабо обособленными ушками на обеих створках, более многочисленными и тонкими радиальными ребрами, которые у нового вида отчетливо подразделяются на два порядка и распространяются на заднее ушко левой створки, чего не наблюдается у *M. tiungensis*. От *M. oxytomaeformis* Polubotko, sp. nov. данный вид отличается иным очертанием раковины, меньшей выпуклостью правой створки, меньшим количеством радиальных ребер и хорошо выраженными концентрическими линиями.

Вид широко распространен в плинсбахском ярусе бассейнов рек Омолона и Коркодона, реже встречаясь в этих же отложениях на Охотском побережье.

Meleagrinnella ansparsicosta Polubotko, sp. nov.

Табл. 21, фиг. 3—7

Происхождение названия: по сходству с видом *M. sparsicosta* (Petrova).

Голотип: табл. 21, фиг. 4 а, б.

Материал: три экземпляра наружных и внутренних ядер с сомкнутыми створками и более 10 ядер разрозненных, преимущественно левых створок.

Раковина крупная среди видов данного рода, достигающая 38 мм в высоту, округло-овального очертания, с высотой, немного превышающей длину. Левая створка умеренно выпуклая, с широкой, притупленной и лишь едва возвышающейся над замочным краем макушкой, сильно приближенной к переднему краю. Переднее ушко, имеющее форму тупоугольного треугольника, очень маленькое, но достаточно четко отграниченное от примакушечной области слабой выемкой. Заднее ушко втрое длиннее переднего, отчетливо выраженное, с неглубоким, но хорошо заметным вырезом. Передний и задний края створки в верхней своей части прямые, ниже они становятся плавно-выпуклыми и незаметно сливаются с нижним краем. Правая створка косо-овального очертания, менее выпуклая, чем левая. Ее переднее ушко короткое, узкое, отделенное от створки глубокой складкой с биссусным вырезом. Заднее ушко большое, с вырезом на заднем крае, отделенное плоской вдавленностью от остальной поверхности. Скульптура обеих створок состоит из прямых округлых в сечении радиальных ребер двух порядков, довольно правильно чередующихся между собой. На левой створке в отдельных промежутках заметны тонкие и короткие ребрышки третьего порядка. Ребра на переднем крае створок слабо дифференцированы по силе. На внутренних ядрах ребра выглядят более толстыми, сглаженными и шире расставленными, а ребра третьего порядка не наблюдаются. На наружной поверхности левой створки насчитывается 30—34 ребра, на правой их 26—32, причем расположены они менее регулярно, чем на левой створке, и начинаются чуть ниже макушки. Радиальные ребра пересекаются негусто расположенными концентрическими пластинками, от пересечения с которыми образуются ряды бугорков. Задние ушки и прилегающие участки створок покрыты только сближенными концентрическими пластинками, чуть шероховатыми от пересечения с тончайшими радиальными линиями. На внутренних ядрах эти части створок гладкие.

Сравнение. От близкого вида *M. sparsicosta* (Petrova) из среднего лейаса Северной Сибири, обладающего такой же крупной раковиной, отличается вдвое большим количеством ребер на правой створке, иным ее очертанием и хорошо отчлененным большим задним ушком с неглубоким вырезом. Количество ребер на левой створке данного вида также несколько больше, чем у *M. sparsicosta*. От не менее близкого вида *M. (?) marchensis* (Petrova) из тоарских (?) отложений Северной Сибири отличается лучше обособленным задним ушком на левой створке, которое вместе с прилегающей частью створки не несет на поверхности четко выраженных радиальных ребер.

Плинсбахский ярус бассейнов рек Омолона и Коркодона.

Meleagrinnella substriata (Münster, 1831)

Табл. 39, фиг. 1—2

Раковина чаще всего маленькая (15 мм в высоту), но иногда достигающая 35 мм в высоту, почти округлого очертания, с высотой, равной длине, с сильно выпуклой (особенно в примакушечной части) левой створкой и слабо выпуклой правой. Передний, нижний и задний края обеих створок полого и равномерно выпуклые. Макушки смещены к переднему краю; макушка левой створки выступает над замочным краем и загнута внутрь. Оба ушка этой створки маленькие и совершенно не обособлены. Заднее ушко правой створки треугольное, широкое, плоское, отделяющееся от створки слабой вдавленностью. Биссусное ушко и складочка под ним узкие. Отличительной чертой данного вида, кроме очертаний раковины, является скульптура, состоящая на левой створке из 65—85 тесно расположенных радиальных ребер, округлых в сечении, разделенных очень узкими промежутками. По длине можно различить ребра первого и второго порядков, но по силе они не различаются, особенно у крупных экземпляров. Вблизи заднего ушка ребра становятся нитевидными и плотно покрывают всю поверхность ушка. Концентрические линии обычно не заметны. На правой створке ребер вдвое меньше (25—30 на маленьких экземплярах), они шире расставлены и так же, как на левой створке, дифференцированы только по длине. Примакушечная часть гладкая.

Верхи плинсбахского (?) и низы тоарского ярусов бассейнов рек Омолона и Коркодона.

Meleagrinnella faminaestriata Polubotko, sp. nov.

Табл. 39, фиг. 3—5

Происхождение названия: по слабо развитой радиальной скульптуре.

Голотип: табл. 39, фиг. 3; паратип: табл. 39, фиг. 5.

Материал: два внутренних ядра с сомкнутыми створками неполной сохранности и более 10 наружных и внутренних ядер разрозненных створок.

Раковина небольшая, косо-овальная, со створками почти одинаковой умеренной выпуклости, с оттянутым и слегка уплощенным ниже-задним углом; передний и нижний края створок полого выпуклые, незаметно сливающиеся. Длина раковины немного превышает высоту. Макушки маленькие, приостренные, едва приподнимающиеся над замочным краем на левой створке и не выдающиеся на правой. Заднее ушко, несколько более выпуклой левой створки, вдвое длиннее переднего, очень узкое, остроконечное, с маленькой выемкой на заднем крае. Биссусное ушко правой створки узкое и короткое, заднее ушко плоское, отделенное слабой депрессией от поверхности створки. В отличие от описанных выше видов этого рода раковина данного вида покрыта лишь слабыми, едва различимыми, слегка извилистыми радиальными струйками (их более 40 на левой створке), сильнее заметными на правой створке, где они расположены реже и нерегулярно. Концентрическая скульптура представлена густо расположенными, но очень слабыми концентрическими складочками и линиями роста. Внутренние ядра гладкие.

Сравнение. Наиболее близким к описываемому виду является *M. calva* (Schloenbach) из среднего лейаса Западной Европы, от которого новый вид отличается выпуклой правой створкой, почти не выдающейся макушкой левой створки и наличием на последней слабой радиальной струйчатости. От всех встречающихся на Северо-Востоке юрских видов *Meleagrinnella* данный вид отличается чрезвычайно слабо развитой радиальной скульптурой.

Часто встречается в тоарском ярусе Охотского побережья, бассейнов рек Омолона и Коркодона.

Meleagrinnella ovalis (Phillips, 1829)

Табл. 104, фиг. 1—4

Раковина небольшая, округленная, чуть скошенная, с высотой, почти равной длине. Левая створка выпуклая, с наибольшей выпуклостью в верхней части, с почти центральной макушкой, выступающей над замочным краем. Последний равен примерно половине длины раковины. Ушки небольшие, заднее ушко лишь немного больше переднего. Скульптура состоит из радиальных ребер трех-четырёх порядков, разнящихся по силе и длине и правильно чередующихся между собой. Ребра первого порядка начинаются от макушки, второго — чуть ниже. В нижней части створки появляются нерегулярно вставленные нитевидные ребра третьего порядка, а изредка — короткие ребрышки четвертого порядка. Кроме радиальных ребер, поверхность створки покры-

та многочисленными концентрическими линиями, при пересечении которых с радиальными образуется сеточка.

Правая створка почти плоская, с маленькой, не выступающей макушкой. Переднее ушко в виде шиловидного отростка отделяется от створки узкой складочкой и биссусным вырезом. Заднее ушко небольшое, плавно соединяющееся со створкой. Скульптура такая же, как и на левой створке, примакушечная часть остается гладкой.

Келловей-оксфордские отложения бассейна среднего течения р. Колымы и Охотского побережья; кимеридж-верхневожский подъярус бассейна р. Большого Анюя.

Род *Arctotis* Bodylevsky, 1960

Arctotis sublaevis Bodylevsky, 1958

Табл. 70, фиг. 1—4

Раковина от средних до крупных размеров (обычно 30—40 мм в высоту, но иногда достигающая 75 мм в высоту), округло-овального очертания, прямая, неравносторонняя и неравностворчатая. Высота раковины на молодых стадиях роста несколько превосходит длину, с возрастом это соотношение становится обратным. Левая створка умеренно выпуклая, правая — плоская или вогнутая. Замочный край прямой и более короткий, чем длина раковины. Передний и задний края слабо выпуклые, плавно сливающиеся с нижним краем. Макушка левой створки широкая, приостренная на конце и едва выступающая над замочным краем; макушка правой створки не выдающаяся. Оба ушка на левой створке большие, хорошо развитые (в отличие от видов рода *Meleagrinella*), но переднее по размерам все же уступает заднему. Последнее — широкое, уплощенное, без выреза; с возрастом оно сильно разрастается и отделяется от остальной поверхности створки отчетливым волнообразным перегибом. Переднее ушко треугольное, со слабым вырезом и отделено от раковины неглубокой депрессией. Переднее ушко правой створки, почти не уступающее по длине заднему, довольно широкое, ложковидное, отделенное от раковины вырезом и биссусной складкой. Заднее ушко почти не ограничено от остальной части створки. Поверхность левой створки покрывают около 40 радиальных ребер двух порядков, между которыми иногда бывают заметны ребрышки третьего порядка. Ребра значительно утолщаются и уплощаются по направлению к нижнему краю. Ушки крупных раковин покрыты только концентрической скульптурой, которая также отчетливо проявляется и на остальной поверхности створки. Радиальная скульптура на правой створке выражена слабее, чем на левой. Внутренние ядра часто бывают почти гладкие.

Байосские и батские отложения бассейнов рр. Омолона и Коркодона.

Arctotis cf. *lenaensis* (Lahusen, 1886)

Табл. 82, фиг. 1

Раковина от средних до очень крупных размеров (до 100 мм в длину), округло-овального или неправильно-округлого очертания, с выпуклой левой и плоской правой створками, с хорошо развитыми ушками, из которых заднее, лишенное выреза, больше, чем переднее.

От *A. sublaevis* данный вид отличается значительно большим количеством более тонких и рельефных радиальных ребер трех порядков, пересеченных тонкими, сильно сближенными линиями нарастания, а также менее разрастающимся с возрастом задним ушком, которое более плавно сочленяется с поверхностью левой створки. Переднее ушко этой створки также относительно меньше и слабее отчленено от раковины, чем у *A. sublaevis*.

Батский ярус бассейнов рек Омолона, Коркодона и Охотского побережья.

Род *Oxytoma* Meek, 1864

Раковина неравносторонняя и неравносторонняя, в той или иной мере скошенная, с выпуклой левой и плоской правой створками. Задние ушки обеих створок очень большие, остроконечные, с более или менее широким вырезом; передние ушки маленькие, причем под передним ложковидным ушком правой створки имеется глубокая биссусная выемка. Замочный край длинный, прямой с неглубокой связочной ямкой под макушкой. Створки покрыты радиальными ребрами, дифференцированными на два, три или четыре порядка.

Распространение. Триас — ныне во всех частях света.

Oxytoma sinemuriense orientale Polubotko, subsp. nov.

Табл. 5, фиг. 7—9

Происхождение названия: *orientale* — восточная.

Голотип: табл. 5, фиг. 9; паратип: табл. 5, фиг. 8.

Материал: одно внутреннее ядро с сомкнутыми створками и множество разрозненных, преимущественно левых створок, образующих ракушняковые скопления.

Раковина небольшая (15—20 мм в высоту), умеренно скошенная, слегка вытянутая по высоте. Выступающая над замочным краем макушка левой створки приближена к переднему краю на $\frac{1}{4}$ длины замочного края. Переднее ушко маленькое, отделенное от поверхности створки пологой складочкой. Заднее ушко стреловидное, с глубоким вырезом; его задний конец очень

узкий, приостренный. Правая створка по размерам вдвое меньше левой, почти плоская, с невыдающейся, слабо развитой макушкой. Скульптура створок различная. На левой насчитывается 13—15 ребер первого порядка, между которыми регулярно вставляются более тонкие ребра второго порядка; между ними и ребрами первого порядка наблюдаются менее регулярно расположенные короткие и очень тонкие ребрышки третьего, иногда едва различимы ребрышки четвертого порядка. Ребрышек третьего порядка насчитывается от одного до трех в каждом промежутке. На заднем ушке при полной сохранности раковинного слоя можно заметить до 15 тонких радиальных ребрышек, пересеченных концентрическими линиями роста. Правая створка покрыта пучками дихотомирующих, почти одинаковых по силе ребер. На поверхности створки насчитывается 12—13 пучков, в каждом из которых по два-три ребра. Деление ребер происходит примерно в средней части створки. Пучки разделены плоскими промежутками, число которых соответствует числу главных ребер на левой створке. На внутренних ядрах тонкие элементы скульптуры не сохраняются.

Сравнение. От номинального подвида *O. sinemuriense sinemuriense* Orbigny, широко распространенного в нижнем лейасе Северной Европы, отличается несколько более скошенным очертанием, стреловидным окончанием заднего ушка на левой створке и более глубоким его вырезом, а также несколько иной скульптурой правой, редко сохраняющейся створки.

Часто встречается почти во всех районах распространения нижнелейасовых отложений на Северо-Востоке; в синемюрском ярусе нередко образует ракушняковые скопления.

Oxytoma cygnipes (Young et Bird), 1822

Табл. 22, фиг. 11, 12

Раковина средней величины (до 40—50 мм длиной), с длиной, несколько превышающей высоту. Острая макушка приближена к переднему краю. Заднее ушко очень длинное, выступающее за задний край створки, клиновидной формы, с глубоким вырезом, переднее — меньших размеров, отделенное от створки лишь слабой депрессией. От макушки отходят четыре-пять сильных, прямых, широко расставленных ребер с бугристой поверхностью (следами от шипов). Плоские межреберные промежутки покрыты тончайшими радиальными линиями, которых насчитывается до 40 в каждом. Заднее ушко также покрыто тончайшими радиальными ребрышками, а на внутренних ядрах выглядит гладким. На плоской правой створке главным ребрам левой соответствуют 4—5 слабых радиальных бороздок, а промежутки между ними покрыты слабыми радиальными струйками. Эта створка встречается очень редко.

Плинсбахский ярус бассейна верхнего течения р. Колымы и Алазейского плоскогорья.

Oxytoma startense Polubotko, sp. nov.

Табл. 39, фиг. 6—9

Происхождение названия: по руч. Старт, откуда происходит голотип.

Голотип: табл. 39, фиг. 9, раковина в правом верхнем углу снимка; **паратип:** табл. 39, фиг. 8.

Материал: один двустворчатый экземпляр и множество разрозненных наружных и внутренних ядер преимущественно левых створок.

Раковина небольшая (обычно не превышающая 23 мм в высоту), косо-овального очертания, с почти равными высотой и длиной, с оттянутым ниже-задним углом. Хорошо обособленная, выступающая макушка левой створки сильно приближена к переднему краю. Заднее крыло широкое и длинное, но не выступающее за оттянутый ниже-задний угол створки. Вырез заднего ушка относительно неглубокий, достигающий максимума в средней части ушка. Поверхность створки покрыта многочисленными радиальными ребрами, четко дифференцированными на три порядка, правильно чередующимися между собой. Ребер первого порядка насчитывается 16—18; они прямые, округлые в сечении. Между ними вставляются более тонкие ребра второго порядка, начинающиеся чуть ниже главных; по обе стороны от них располагается по одному еще более тонкому и короткому ребрышку третьего порядка. Заднее ушко покрывают тончайшие радиальные ребрышки, пересеченные концентрическими линиями роста. На переднем ушке наблюдается несколько более грубых, чем на заднем, радиальных ребрышек. Правая створка маленькая, плоская, с широким слабо вырезанным задним ушком и косо отходящими от макушки тонкими ребрышками двух порядков.

Сравнение. От *O. septentrionalis* (Haughton) из верхнего тоара и нижнего аалена Канадского арктического архипелага и *O. münsteri* (Bronn) из нижнего аалена Западной Европы отличается более косым очертанием, более длинным задним крылом левой створки, обладающим менее глубоким вырезом, и отчетливо дифференцированными ребрами трех порядков. От среднелейасовой *O. orpeli* Rollier и раннелейасовой *O. sinemuriense* Orbigny отличается большим количеством радиальных ребер первого порядка, правильно чередующихся с более слабыми ребрышками второго и третьего порядков.

Часто встречающийся вид в тоарских, главным образом, верхнетоарских отложениях бассейнов рек Омолона, Коркодона и Охотского побережья.

Oxytoma ferrugineum Rollier, 1905

Табл. 59, фиг. 6—8

Раковина среднего размера (30—45 мм в высоту), слабо скошенная, с высотой, почти равной длине. Задний край раковины слабо оттянут. Левая створка выпуклая, с массивной выдающейся и загнутой внутрь макушкой. В отличие от предыдущих видов данный обладает относительно большим передним ушком, отделенным депрессией от поверхности створки, и коротким задним, которое только в два раза длиннее переднего. Вырез заднего ушка широкий, полого и равномерно вогнутый. На поверхности створки насчитывается 9—10 сильных ребер первого порядка, между которыми вставляются более короткие, но такие же по силе ребра второго порядка, становящиеся немного тоньше только на боковых частях створки. По обе стороны от них слабо заметны тонкие и короткие ребрышки третьего и четвертого порядков. Оба ушка обычно кажутся гладкими. Правая створка слабо выпуклая, с длинным замочным краем, передняя и задняя ветви которого почти равны; поверхность покрывают тонкие ребрышки нескольких порядков, вблизи переднего края наблюдается, кроме того, 3—5 бороздок. Переднее ушко пересечено сильными концентрическими линиями роста, на заднем ушке они более слабые.

Верхнетоарские(?) и нижнеааленские отложения Охотского побережья и бассейна верхнего течения р. Колымы.

Oxytoma aff. jacksoni (Pompeckj, 1900)

Табл. 60, фиг. 1

Раковина крупная (до 100 мм в высоту), слабо скошенная в нижне-заднем направлении, слегка вытянутая по длине. Левая створка слабо выпуклая, со слабо выдающейся широкой макушкой, правая створка плоская, меньшая по размеру. Заднее крыло на обеих створках очень широкое, длинное, слабо вырезанное, причем максимально приближенная к макушке точка на заднем крае крыла располагается в самой нижней его части. Переднее ушко широкое, хорошо развитое, с относительно неглубоким биссусным вырезом на правой и на левой створках. Помимо крупных размеров и характера ушек, данный вид отличается от остальных юрских видов своими многочисленными и хорошо дифференцированными ребрами. На крупных экземплярах насчитывается 20—22 сильных ребра первого порядка, между которыми вставлены все более тонкие ребрышки второго, третьего и четвертого порядков; между главными ребрами их насчитывается 4—5. Ребра второго порядка в нижней части створки по силе близки ребрам первого порядка. На правой створке можно заметить более тонкие ребра трех порядков, густо

покрывающие поверхность. Заднее крыло и переднее ушко покрыты многочисленными тонкими радиальными ребрами также нескольких порядков. На хорошо сохранившихся экземплярах можно заметить тонкие концентрические линии, образующие при пересечении с ребрами тонкую сеточку. Левые створки молодых экземпляров покрыты грубыми, тесно сближенными и многочисленными ребрами первого и второго порядков.

От типичного вида *O. jacksoni* (Pompeckj), широко распространенного в нижнем аалене Арктических областей, отличается только более толстыми ребрами второго порядка и несколько меньшим количеством ребрышек третьего и четвертого порядков в промежутках между ребрами первого и второго порядков, что, возможно, связано со степенью сохранности материала.

Нижнеааленские отложения бассейнов верхнего и среднего течения р. Колымы, бассейнов рек Омолона, Коркодона, Большого Анюя и Охотского побережья.

Oxytoma cf. jacksoni (Pompeckj, 1900)

Табл. 60, фиг. 2

Скульптура раковины характеризуется наличием многочисленных, широко расставленных ребер первого порядка, в плоских промежутках между которыми расположено 6—8 резко ослабленных по сравнению с главными ребер второго, третьего и четвертого порядков. Этими признаками вид более, чем предыдущий, напоминает типичную *O. jacksoni*, но не может быть безоговорочно отнесен к последней из-за неполной сохранности.

Верхнетоарские(?) и нижнеааленские отложения Охотского побережья.

Oxytoma aff. interstriata (Eichwald, 1865—1868)

Табл. 104, фиг. 5, 6

Этот вид известен по одной левой створке. Она средних размеров, косо-овальных очертаний, с очень маленьким передним ушком и большим, но не выдающимся за задний край створки задним ушком, под которым располагается глубокий вырез; максимальный изгиб последнего расположен у основания ушка. Наружная поверхность створки покрыта 7—9 сильными округлыми в сечении, веерообразно расходящимися от макушки ребрами, немного выступающими за нижний край створки, вследствие чего он становится зубчатым. Задние ребра несколько изогнуты. Широкие межреберные промежутки несут многочисленные более тонкие ребра. Среди них в некоторых промежутках одно-два ребра резко выражены. Тонкие радиальные ребрышки покрывают и поверхность заднего ушка.

Главным отличием от типичного вида *O. interstriata*

(Eichwald) является меньше количество главных радиальных ребер (у типичного вида их 13—15).

Верхнеюрские, главным образом, кимеридж-верхневолжские отложения бассейна р. Большого Анюя.

СЕМЕЙСТВО AUCELLIDAE Fischer

Род *Aucella* Keyserling, 1846

Раковина неравностворчатая, большей частью неравносторонняя, в той или иной степени скошенная. Соединение створок беззубое, замочный край прямой и короткой. На обеих створках хорошо заметно небольшое заднее ушко.

Левая створка всегда выпуклее правой. Под сильно загнутой в сторону правой створки (и слегка вперед) макушкой располагается связочная площадка с треугольной ямкой в средней части. В нее входит верхняя часть ложковидного биссусного ушка правой створки. Это ушко отделено от правой створки узким и довольно глубоким биссусным желобком. Макушка правой створки маленькая, острая и незагнутая.

Раковина состоит преимущественно из внутреннего пластинчатого слоя, имеющего волокнистое строение. Поверхность ее покрыта концентрическими, реже более тонкими и слабыми радиальными ребрами.

Верхняя юра — нижний мел (валанжин и готерив).

Aucella? aff. rotunda Voronetz, 1960

Табл. 98, фиг. 1

Раковина маленькая, слабо скошенная, умеренно выпуклая. Выпуклость приближена к передней части раковины. Левая створка с тонкой короткой макушкой; правая створка почти круглая. Биссусное ушко очень маленькое, небольшое заднее ушко на обеих створках имеет форму тупоугольного треугольника. У недеформированных экземпляров ширина и длина раковины примерно равны. Примакушечный угол правой створки немного больше прямого (92—96°). Ядро почти гладкое, иногда со слабо заметными тонкими и неравномерными концентрическими линиями роста.

Встречается редко в келловейских отложениях бассейна верхнего течения р. Бол. Анюя.

Aucella? anyuensis Paraketzov, sp. nov.

Табл. 98, фиг. 2, 3

Происхождение названия: по р. Большой Анюй, откуда происходит голотип.

Голотип: табл. 98, фиг. 3, паратип: табл. 98, фиг. 2.

Материал: отпечатки и ядра 5 левых створок и одной правой.

Раковина маленькая, умеренно выпуклая и скошенная. Выпуклость приближена к верхнему краю раковины. Левая створка скошенно-овальная, с тонкой короткой макушкой.

Правая створка овальная, передний край расширен и выступает вперед как у *Aucella mosquensis* (Buch). Биссусное ушко очень маленькое. Заднее ушко небольшое, треугольной формы.

Ширина раковины составляет около двух третей ее длины.

Размеры голотипа (фиг. 3) и паратипа (фиг. 2) в мм.

	Левая створка Фиг. 2	Правая створка Фиг. 3
Длина	7	—
Ширина	5(0,72)	7
Толщина	2*	2,5*
Примакушечный угол правой створки		130°

Скульптура состоит из редких концентрических линий роста. На отпечатках левых створок иногда видны неясно выраженные тонкие радиальные ребра. Ядра почти гладкие.

Сравнение. От близкой *Aucella rotunda* Vog. отличается более удлиненной овальной формой створок и более выступающим передним краем правой створки.

Встречается редко в келловейских отложениях верхнего течения р. Бол. Анюя и нижнего течения р. Яны.

Aucella bronni (Rouillier, 1848)

Табл. 98, фиг. 4—6

Раковина среднего размера (до довольно крупной), слабо выпуклая, косо-овального очертания. Левая створка сильно скошена назад, с тонкой маленькой макушкой, нависающей над правой створкой. Правая створка овальная, макушка и биссусная складочка очень маленькие. На обеих створках часто сохраняется сравнительно большое и длинное заднее ушко, имеющее форму тупоугольного треугольника. Ширина изменяется от половины до двух третей длины, толщина равна примерно одной трети длины или немного меньше. Раковина имеет очень характерную скульптуру, состоящую из четких равномерно расположенных концентрических ребер, которые пересекаются более густыми, но тоже четкими радиальными струйками. Скульптура сохраняется и на ядрах.

На территории Северо-Востока СССР *Aucella bronni* (Rouill.) распространена довольно широко. Она известна из оксфорда и

* Замерена толщина лишь одной створки.

нижнего кимериджа верхнего течения рек Колымы и Индигирки, нижнего течения р. Яны, Алазейского плато, бассейнов рек Омолона, Бол. Аноя, Погындена и Раучуа, верховьев левых притоков Еропола (бассейн р. Анадыря), с побережья залива Шелихова (Охотское море).

Aucella jeropolensis Paraketzov, sp. nov.

Табл. 98, фиг. 7

Происхождение названия: по р. Еропол, откуда происходит голотип.

Голотип: табл. 98, фиг. 7 а—в.

Материал: три двустворчатых экземпляра, четыре левых створки и одна правая.

Раковина среднего размера до крупной, слабо выпуклая, треугольно-овального очертания. Левая створка умеренно скошенная, с тонкой и короткой макушкой. Правая створка субовальная, со сравнительно небольшой биссусной складочкой. На обеих створках хорошо заметно обособленное заднее ушко в виде тупоугольного треугольника. Ширина раковины составляет около двух третей длины (0,61—0,73), а толщина немного меньше одной трети длины (0,29—0,32). Примакушечный угол правой створки от 85 до 90°. Скульптура раковины состоит из сравнительно равномерно расположенных концентрических ребер и более густых и тонких радиальных струек. На ядрах скульптура менее отчетлива.

Сравнение. От наиболее близкого вида *Aucella bronni* (Rouill.) отличается меньшей скошенностью раковины и треугольно-овальным очертанием, что придает *Aucella jeropolensis* Parak. некоторое сходство с *Aucella trigonoides* Lah., распространенной в более молодых отложениях.

Встречается в оксфордских и кимериджских отложениях бассейнов верхних течений рек Колымы и Индигирки, нижнего течения р. Яны, на левобережье р. Бол. Аноя и водоразделе рек Яблона и Еропола (правых притоков р. Анадыря).

Aucella kirghisensis Sokolow, 1902

Табл. 98, фиг. 8

Раковина небольшая до среднего размера, довольно широкая, умеренно выпуклая, косо-овального очертания. Левая створка заметно более выпуклая, чем правая, имеет короткую и тонкую макушку. Макушка и биссусная складочка правой створки небольшие, примакушечный угол варьирует от 90 до 110°. Ширина раковины составляет около двух третей длины, толщина около половины длины. Раковина покрыта равномерными концентрическими ребрами и более частыми радиальными струйками,

менее четкими, чем у *Aucella bronni* (Rouill.). Ядра иногда почти гладкие.

Встречается совместно с *Aucella bronni* (Rouill.) в оксфордских и нижнекимериджских отложениях бассейнов рек Колымы и Индигирки, а также в верховьях левых притоков р. Еропола.

Aucella lindstroemi Sokolow, 1908

Табл. 99, фиг. 1—3

Раковина среднего размера до крупной, довольно выпуклая, с удлиненно косо-овальным очертанием. Левая створка значительно выпуклее правой, макушка вытянутая, задний край прямой, передний округлый. Правая створка с маленькой макушкой и хорошо заметным задним ушком в виде тупоугольного треугольника. Передний край выступает вперед в разной степени, примакушечный угол правой створки изменяется от 80 до 120°. Ширина раковины в два раза, а толщина почти в три раза меньше длины. Раковина покрыта равномерными и довольно частыми концентрическими ребрами, хорошо заметными и на ядрах. От близкой по общей форме *Aucella mosquensis* (Buch) описанный вид отличается меньшей шириной раковины.

Aucella lindstroemi Sok. распространена в кимеридже и нижнем волжском подъярусе на левобережье верхнего течения р. Колымы, в бассейнах рек Омолона, Бол. Аноя, среднего течения р. Индигирки, на побережье залива Шелихова (Охотское море).

Aucella mosquensis (Buch, 1844)

Табл. 99, фиг. 4—8

Раковина среднего размера, довольно выпуклая, косо-овального очертания. Левая створка сильно скошена, значительно более выпуклая, чем правая, максимальная выпуклость — в средней части раковины; макушка массивная, сильно закрученная. Правая створка умеренно выпуклая до слабо выпуклой, иногда почти плоская, с маленькой макушкой и сильно выступающим передним краем. Последний признак варьирует, примакушечный угол изменяется от 90 до 120°. Раковина имеет небольшое заднее ушко треугольной формы. Ширина раковины составляет примерно две трети длины, толщина около половины. Скульптура состоит из относительно частых равномерных и четких концентрических ребер. Иногда их пересекают тонкие и густые радиальные струйки (*Aucella mosquensis* var. *tenuistriata* Lahusen).

На Северо-Востоке СССР распространена в кимериджских и волжских отложениях (исключая верхневолжский подъярус).

Она известна в бассейнах верхних течений рек Индигирки и Колымы, нижнего течения р. Яны, на Алазейском плато, в бассейнах рек Омолона, Бол. и Мал. Анюев, Раучуа, в Корякском хребте.

Aucella rugosa (Fischer Waldheim, 1830—1837)

Табл. 99, фиг. 9

Этот вид весьма близок к *Aucella mosquensis* (Buch). Он отличается от последнего большей шириной створок и иногда более редкими и резкими концентрическими ребрами*. Отличаясь, в свою очередь, от *Aucella orbicularis* Hyatt меньшей шириной, описываемый вид является как бы промежуточным по форме раковины между видами *Aucella mosquensis* (Buch) и *A. orbicularis* Hyatt. Ширина раковины составляет около трех четвертей длины, толщина от одной трети до половины длины. Примакушечный угол правой створки варьирует от 100 до 120°.

Aucella rugosa (Fisch.) широко распространена в кимериджских и волжских (нижний и средний подъярусы) отложениях совместно с *Aucella mosquensis* (Buch) в тех же районах.

Aucella orbicularis Hyatt, 1894

Табл. 100, фиг. 1, 2

Раковина среднего размера, умеренно выпуклая, почти круглая. Макушка левой створки довольно массивная. Правая створка имеет форму почти правильного круга, передний край выступает вперед. Нередко сохраняется небольшое заднее ушко. Ширина раковины лишь немногим меньше длины (0,8—0,9), толщина составляет 0,4—0,5 длины. Примакушечный угол правой створки равен 110—120°. Раковина покрыта довольно равномерными концентрическими ребрами. Иногда на ее поверхности видна тонкая и частая радиальная струйчатость (*Aucella orbicularis* var. *striata* Paraketzov).

Встречается в кимериджском и волжском ярусах бассейнов верхних течений рек Индигирки и Колымы, нижнего течения р. Яны, на Алазейском плато, в бассейнах рек Омолона, Бол. и Мал. Анюев, на побережье залива Шелихова (Охотское море).

Aucella piochii (Gabb, 1864)

Табл. 100, фиг. 3, 4

Раковина среднего размера, довольно выпуклая, косо-овального очертания. Левая створка с довольно массивной, реже тон-

* Иногда на раковинах заметна тонкая радиальная струйчатость (*Aucella rugosa* var. *striata* Pavlow).

кой макушкой. Правая створка овальная, со спрямленным задним краем и несколько выступающим передним. Биссусная складочка среднего размера, заднее ушко маленькое, сохраняется редко. Ширина раковины равна примерно двум третям длины (0,6—0,7), толщина — половине длины или немного меньше (0,4—0,5). Раковину покрывают четкие, равномерно расположенные концентрические ребра. Изредка на внутренних ядрах видны неясные следы радиальной струйчатости.

Aucella piochii (Gabb) характеризуется чертами, промежуточными между *Aucella mosquensis* (Buch) с одной стороны и *Aucella fischeriana* (Orb.) с другой стороны.

Распространена в отложениях нижнего и среднего волжских подъярусов бассейнов рек Колымы (верхнее течение), Омолона, Бол. и Мал. Анюев, в Корякском хребте.

Aucella circula Paraketzov, 1965

Табл. 101, фиг. 1

Раковина среднего размера, слабо выпуклая (до умеренно выпуклой), почти круглая. Левая створка треугольно-округлой формы, скошена незначительно. Макушка небольшая, сравнительно тонкая. Правая створка имеет очертание почти правильного круга с некоторым заострением в области макушки. Заднее ушко маленькое. Ширина раковины немногим меньше длины (0,9—0,95), толщина равна 0,2—0,3 длины. Примакушечный угол правой створки не превышает 90° (80—90°). Скульптура раковины состоит из равномерных и довольно частых концентрических ребер.

От *Aucella orbicularis* Hyatt отличается меньшими скошенностью раковины и толщиной, более тонкой макушкой левой створки и менее выступающим передним краем правой створки.

Встречается довольно часто в отложениях волжского яруса, а также берриаса бассейнов рек Колымы (верхнее течение), Омолона, Бол. и Мал. Анюев, Раучуа, Пегтымеля, Анадыря, Корякского хребта.

Aucella flexuosa Paraketzov, sp. nov.

Табл. 101, фиг. 2, 3

Происхождение названия: по форме раковины, *flexuosa* — изогнутая (лат.).

Голотип: табл. 101, фиг. 3 а—в.

Материал: 4 двустворчатых экземпляра, 7 левых и 9 правых створок.

Раковина среднего размера, слабо выпуклая (до умеренно выпуклой), сильно скошенная. Левая створка косо-овального очертания с несколько спрямленным, а иногда даже слегка вогнутым задним краем. Макушка небольшая и сравнительно тонкая. Правая створка субовальная с прямым задним краем. Небольшое заднее ушко имеет форму удлиненного тупоугольного треугольника. Ширина раковины составляет 0,5—0,6 длины, толщина примерно треть длины или немного меньше (0,3). Примакушечный угол правой створки изменяется от 80 до 100°. Скульптура состоит из равномерно расположенных концентрических ребер.

С р а в н е н и е. От близкой по соотношению размеров раковины *Aucella fischeriana* (Orb.) описанный вид отличается заметно большей скошенностью раковины, чем напоминает более древние *Aucella bronni* (Rouill.), и *A. mosquensis* (Buch). От *Aucella bronni* (Rouill.) отличается отсутствием радиальной скульптуры, от *A. mosquensis* (Buch) — меньшей толщиной и более тонкой макушкой.

Распространена в отложениях среднего и верхнего волжского подъярусов и берриаса в бассейне рек Колымы (верхнее течение), Омолона, Бол. и Мал. Анюев, Анадыря, Корякском хребте.

Aucella aff. fischeriana (Orbingy, 1845)

Табл. 101, фиг. 4, 5

Раковина среднего размера, косо-овального очертания, умеренно выпуклая до слабо выпуклой. Левая створка умеренно скошенная, имеет плавно округлые передний и нижний края, почти прямолинейный задний край и тонкую (изящную) загнутую вперед макушку. Форма правой створки — овал, несколько спрямленный на заднем крае; передний край выступает вперед умеренно (меньше, чем у *Aucella riochii* (Gabb)). Примакушечный угол правой створки равен 80—90°. На раковине иногда сохраняется маленькое заднее ушко. Ширина раковины составляет около 0,6 длины, толщина — 0,4 длины. Раковина покрыта четкими равномерно расположенными концентрическими ребрами.

На Северо-Востоке СССР *Aucella fischeriana* (Orb.) распространена в среднем и верхнем волжских подъярусах, а также в берриасе. Она известна из бассейнов рек Омолона, Бол. и Мал. Анюев, Раучуа, Лелювеема, Анадыря, на Чукотке и в Корякском хребте.

Aucella russiensis Pavlow, 1907

Табл. 102, фиг. 1, 2

Раковина среднего размера, умеренно выпуклая до слабо выпуклой, овальной формы. Левая створка слабо скошенная, с длинной макушкой. Правая створка имеет очертания почти правильного овала со слегка спрямленным задним краем и округлым передним. Макушка небольшая, биссусная складочка среднего размера. Заднее ушко сохраняется редко. Ширина раковины составляет 0,6—0,65 длины, толщина — 0,3—0,4 длины, примакушечный угол правой створки — 85°. Раковина покрыта более менее равномерными концентрическими ребрами.

От *Aucella fischeriana* (Orb.) отличается большей высотой и меньшей оттянутостью нижнего края раковины.

Распространена в среднем и верхнем волжских подъярусах и берриасе Северо-Востока СССР. Встречается в бассейне верхнего течения р. Колымы, на Алазейском плато, в бассейнах рек Омолона, Бол. и Мал. Анюев, Раучуа, Лелювеема, Анадыря и в Корякском хребте.

Aucella trigonoides Lahusen, 1888

Табл. 102, фиг. 3

Раковина треугольно-овальная, умеренно выпуклая (до слабо выпуклой), среднего размера. Левая створка с тонкой макушкой, быстро расширяющейся по направлению к нижней части раковины. Правая створка треугольно-овальная, с прямым задним краем. Макушка и биссусная складочка небольшие. Ширина раковины составляет около двух третей длины, а толщина одну треть или немного больше (до 0,4). Примакушечный угол правой створки равен 80—85°. Скульптура раковины состоит из довольно четких, равномерно расположенных концентрических ребер.

Встречается в среднем и верхнем волжских подъярусах и берриасе бассейнов рек Омолона, Бол. и Мал. Анюев, Анадыря и в Корякском хребте.

Aucella krotovi Pavlow, 1907

Табл. 102, фиг. 4

Раковина среднего размера, умеренно скошенная и довольно выпуклая. Левая створка с длинной макушкой и спрямленным задним краем. Правая створка вздутая, по выпуклости лишь немногим уступает левой створке. Форма ее удлиненно-субоваль-

ная, задний край почти прямой. Примакушечный угол правой створки — 80—85°. Ширина раковины равна примерно 0,55 длины, а толщина 0,4—0,5 длины. Раковина покрыта четкими равномерными концентрическими ребрами.

Распространена довольно широко в верхневолжском подъярусе и берриасе в бассейнах рек Омолона, Бол. и Мал. Анюев, Раучуа, Анадыря, Корякском нагорье.

Aucella lahuseni Pavlow, 1907

Табл. 103, фиг. 1, 2

Раковина среднего размера до крупной, умеренно или слабо выпуклая, слабо скошенная, удлинненно-овального очертания. Левая створка с довольно длинной и острой макушкой. Правая створка имеет форму овала, немного заостренного в области макушки. Биссусная складочка средней величины; заднее ушко очень маленькое, сохраняется редко. Ширина раковины равна 0,5—0,65 длины, а толщина примерно 0,4 длины. Примакушечный угол сравнительно небольшой (60—70°). Скульптура состоит из довольно густо расположенных концентрических ребер.

Aucella lahuseni Pavl. встречается в среднем и верхнем волжских подъярусах, а также в берриасе бассейнов рек Омолона, Бол. и Мал. Анюев, Раучуа, Лелювеема, Пегтымеля, Анадыря, Чукотки и Корякского хребта.

Aucella tenuicollis Pavlow, 1907

Табл. 103, фиг. 3—5

Раковина среднего размера, умеренно выпуклая, имеет форму сильно удлинненного овала, заостренного в области макушек. Левая створка слабо или умеренно скошенная, с длинной и тонкой макушкой и почти прямым задним краем. Правая створка имеет также спрямленный задний край и заметно приостренную макушку. Примакушечный угол правой створки равен 60—70°. Заднее ушко маленькое, сохраняется редко. Ширина раковины составляет около половины длины (0,46—0,52), толщина около одной трети или немного больше (0,3—0,4). Раковина покрыта равномерно расположенными концентрическими ребрами.

Распространена довольно широко в верхневолжских и берриасских отложениях бассейнов рек Омолона, Бол. и Мал. Анюев, Пегтымеля, Анадыря и Корякского нагорья.

Aucella terebratuloides Lahusen, 1888

Табл. 103, фиг. 6—8

Раковина среднего размера, почти равносторонняя, умеренно выпуклая, округло-треугольного очертания, благодаря чему по форме нередко напоминает теребратулу. Левая створка имеет сравнительно тонкую макушку и округлый нижний край. Правая створка довольно выпуклая с выступающей макушкой и относительно крупной биссусной складочкой. Заднее ушко очень маленькое и сохраняется редко. Ширина раковины изменяется от двух третей до трех четвертей длины, толщина равна приблизительно половине длины. Примакушечный угол правой створки около 80°. Скульптура раковины состоит из концентрических ребер.

На Северо-Востоке СССР известна из отложений от волжского яруса до нижнего валанжина включительно. Встречается в бассейнах рек Омолона, Бол. и Мал. Анюев, Раучуа, Анадыря, на Чукотке и в Корякском хребте.

СЕМЕЙСТВО ВАКВЕЛЛИДАЕ King

Род *Aguilerella* Chavan, 1951

Aguilerella kedonensis Polubotko, sp. nov.

Табл. 23, фиг. 1—4

Происхождение названия: по р. Кедон, в бассейне которого часто встречаются остатки вида.

Голотип: табл. 23, фиг. 1.

Материал: более 20 внутренних и наружных ядер правых и левых створок, реже — с сомкнутыми створками.

Раковина крупная (до 80 мм в высоту), равносторонняя, округло-ромбического очертания, скошенная, умеренно выпуклая, толстостенная. Наибольшая выпуклость сосредоточена в верхней трети раковины вблизи переднего края, откуда поверхность резко обрывается к переднему краю и полого спускается к заднему и замочному краям. Последний прямой и длинный, составляющий $\frac{2}{3}$ длины раковины; задний край слабо выпуклый, почти прямой; передний — вогнутый в верхней части; нижний — полукруглый. Маленькая приостренная макушка не выдается над замочным краем, наклонена вперед и сильно приближена к переднему краю, но не конечная: впереди нее имеется маленькое переднее ушко. Заднее крыловидное расширение большое, плоское, имеющее форму тупоугольного треугольника. Поверхность раковины покрыта неправильными сглаженными концентрическими складочками и пережимами и тонкими концентрическими линиями нарастания, переходящими и

на крыло. Раковинный слой сильно утолщен в примакушечной области, где хорошо развит перламутровый слой; в задней и нижней частях раковины лучше развит призматический слой, причем раковина в этой части обнаруживает пластинчатое строение. Внутренние ядра почти гладкие. Связочная площадка довольно длинная, расширяющаяся по направлению к макушке, состоит из 5—6 широких полуцилиндрических связочных ямок, разделенных плоскими возвышениями. Впереди макушки имеются кардинальный зуб и соответствующая ему ямка. В задней части замочного края на связочной площадке располагаются валикообразные латеральные зубы; на левой створке наблюдались один зуб, на правой их, возможно, два.

Сравнение. От близкой по очертанию раковины и размерам *A. pellati* (Dumortier) из синемюра Франции новый вид отличается более сильной вогнутостью переднего края непосредственно ниже макушки и меньшим количеством связочных ямок на связочной площадке (у нашего вида их 5—6, у *A. pellati* — около 10). От более молодых видов этого рода, батских и келловейских, *A. kedonensis* sp. nov. отличается более слабой скошенностью, хорошо развитым широким и плоским задним крыловидным расширением и резко вогнутым передним краем.

Встречается в большом количестве экземпляров в домерском подъярусе плинсбах бассейнов рек Омолона и Коркодона.

Род *Pseudomytiloides* Koschelkina, 1963

Раковина небольшого размера, митилусообразного очертания, равностворчатая или слегка неравностворчатая, неравносторонняя, тонкостенная, с неразвитым или очень тонким призматическим слоем. Замочный край прямой, составляющий примерно $\frac{1}{3}$ высоты раковины. Заднее крыловидное расширение отсутствует или развито слабо. Переднее ушко хорошо развито или сильно редуцировано. Скульптура — из концентрических складок, морщин и полос. Иногда на поверхности раковины либо только на внутренних ядрах бывает заметна тонкая радиальная струйчатость.

Связочная площадка короткая, очень узкая, с 3—7 маленькими связочными ямками, разделенными более узкими, чем ямки, возвышениями. Впереди макушки на правой створке расположен косо направленный вперед кардинальный зуб, входящий при смыкании створок в небольшой паз на краю левой створки, впереди ее макушки. Вдоль замочного края ниже связочной площадки на левой створке располагается слабо выраженный укороченный валикообразный боковой зуб, которому на правой створке соответствует желобок.

От рода *Aguilerella* Chavan данный род отличается значительно более узкой и короткой связочной площадкой и иной фор-

мой связочных ямок, а также иначе расположенным кардинальным зубом. У *Pseudomytiloides* зуб находится на правой, а не на левой створке и не на связочной площадке под макушкой, а впереди нее и направлен косо вперед.

Распространение. Геттангский — ааленский ярусы во многих частях света.

Pseudomytiloides rassochaensis Polubotko, sp. nov.

Табл. 6, фиг. 1—7

Происхождение названия: по р. Расссхе, правому притоку р. Коркодона, откуда происходит голотип.

Голотип: табл. 6, фиг. 1 а, б.

Материал: более 20 преимущественно внутренних ядер с сомкнутыми створками, на некоторых из них сохранилось устройство связочной площадки и зубного аппарата.

Раковина умеренно выпуклая, с маленькими клювовидными макушками, возвышающимися над замочным краем и чуть повернутыми вперед. Они сильно приближены к переднему краю, но не конечные: впереди есть маленькое, сильно редуцированное переднее ушко, сливающееся с передним краем створки. Макушка левой створки сильнее выдается над замочным краем, чем на правой. Заднее крыловидное расширение почти не выражено. Апикальный угол 70—80°. Передний и задний края очерчены слабо выпуклой линией, плавно сливающейся с линией нижнего края. Поверхность раковины покрыта неправильно ветвящимися концентрическими морщинами, которые отсутствуют в области макушки и замочного края.

Сравнение. *P. rassochaensis* sp. nov. имеет большое внешнее сходство с *P. (?) olifex* (Quenstedt) и несколько меньшее с *P. (?) oxypoti* (Quenstedt) из нижнего лейаса Европы, отличаясь от первого слабее развитым передним ушком и более грубыми концентрическими морщинами, не распространяющимися на примакушечную область, а от второго — почти отсутствующим задним крыловидным расширением и редуцированным передним ушком. От близкой группы тоарско-ааленских видов — *P. (?) amygdaloides* (Goldfuss), *P. (?) dubius* (Sowerby) и *P. (?) gryphoides* (Schlotheim) отличается заостренной выдающейся макушкой, неразвитыми задним крылом и передним ушком. Однако сравнение со всеми перечисленными видами затруднено, поскольку для них еще не установлена твердо родовая принадлежность — ни кардинальные, ни латеральные зубы у них не наблюдались.

Широко распространенный вид в нижнелейасовых, главным образом, синемюрских отложениях бассейнов рек Омолона, Коркодона и верхнего течения р. Колымы.

Pseudomytiloides latus Polubotko, sp. nov.

Табл. 6, фиг. 8, 9

Происхождение названия: *latus* — широкий.

Голотип: табл. 6, фиг. 8.

Материал: пять преимущественно наружных ядер разрозненных створок. Устройство связочной площадки и замочного аппарата не наблюдалось.

Раковина маленькая, почти округлого очертания, умеренно выпуклая. Замочный край короткий, задний — полого выпуклый, передний — сильно выпуклый, плавно сливающийся с нижним. Апикальный угол больше 90° . Макушки широкие, притупленные, слабо выдающиеся над замочным краем. На поверхности раковины видны тончайшие концентрические линии роста и едва заметные концентрические пережимы. На внутренних ядрах заметна слабая радиальная струйчатость.

Сравнение. От довольно близкого по очертанию раковины *P. (?) gryphoides* (Schlotheim) из тоарских отложений Кавказа и Западной Европы отличается меньшей длиной замочного края, слабее развитой концентрической скульптурой и, в целом, меньшими размерами.

Вид известен из геттангского яруса Охотского побережья.

Pseudomytiloides sinuosus Polubotko, sp. nov.

Табл. 6, фиг. 10, 11

Происхождение названия: *sinuosus* — со складками, сборчатый.

Голотип: табл. 6, фиг. 10.

Материал: семь внутренних и наружных ядер отдельных створок и с сомкнутыми створками; некоторые из них значительно деформированы. Устройство замка и связки не наблюдалось.

Раковина слабо выпуклая. Замочный край прямой и короткий, передний и задний края полого выпуклые, незаметно сливающиеся с нижним. Апикальный угол около 80° . Макушки маленькие, слабо выдающиеся. Переднее ушко развито несколько лучше, чем у вышеописанных видов, но все еще очень маленькое и плохо отчлененное от створки. Основным отличительным признаком вида является скульптура поверхности раковины. Она состоит из многочисленных, густо расположенных концентрических складочек и морщин, равномерно покрывающих всю раковину, включая макушку и переднее ушко. Несколько лучше, чем у вышеописанных видов, развито заднее крыловидное расширение.

Сравнение. От близкого по характеру скульптуры тоарского вида *P. marchaensis* (Petrova) отличается более высокой

раковиной, слабо развитым передним ушком, более грубыми и менее регулярно расположенными концентрическими складками.

Нижний лейас Охотского побережья, бассейнов рек Омолона, Коркодона и верхнего течения р. Колымы.

Pseudomytiloides mytileformis Polubotko, sp. nov.

Табл. 40, фиг. 1—3

Происхождение названия: по сходству очертания раковины с родом *Mytilus*.

Голотип: табл. 40, фиг. 1 а, б.

Материал: два наружных ядра с сомкнутыми створками хорошей сохранности и около 10 разрозненных створок и их обломков.

Раковина небольшая, овального очертания, выпуклая, сильно суженная в области макушки и расширенная в своей средней части. Апикальный угол не превышает $50-55^\circ$. Замочный край прямой, составляющий около половины длины раковины. Крыловидное расширение отсутствует. Задний край выпуклый, плавно сливающийся с замочным краем и с еще более выпуклым нижним. Передний край слегка вогнут в своей верхней части. От макушки к передне-нижнему углу створки проходит килевидный перегиб, который, описывая плавную дугу, пересекается с передним краем несколько ниже середины створки. Макушки узкие, острые, чуть выдающиеся. Впереди макушки хорошо развито широкое переднее ушко, сливающееся с вогнутой частью переднего края. Поверхность гладкая, с очень нежными концентрическими линиями роста и иногда слабыми радиальными струйками.

Замочный аппарат состоит из одного кардинального зуба, располагающегося впереди макушки, и длинного бокового. Связочная площадка очень узкая, с 2—3 мелкими связочными ямками.

Сравнение. От всех известных видов рода *Pseudomytiloides*, распространенных, главным образом, в нижнем лейасе и тоар-ааленских отложениях, *M. mytileformis* sp. nov. отличается своим своеобразным очертанием, вогнутым передним краем, полностью отсутствующим крыловидным расширением, наличием килевидного пережима, большим передним ушком. Некоторое сходство он имеет в очертаниях с домерской *Aguilerella tiungensis* (Koschelkina), от которой также ясно отличается отсутствием крыловидного расширения, хорошо развитым передним ушком, килевидным перегибом, более длинным замочным краем и иным устройством связочной площадки.

Вид известен из низов тоарского яруса бассейнов рек Омолона и Коркодона.

Pseudomytiloides marchaensis (Petrova, 1947)

Табл. 40, фиг. 5, 8

Раковина варьирующих очертаний — от овальной, вытянутой в высоту, до округло-треугольной, с высотой, почти равной длине. Замочный край прямой и короткий, задний, нижний и передний — выпуклые, плавно переходящие один в другой. Наибольшая выпуклость сосредоточена в передне-верхней части створки, откуда выпуклость резко спадает к переднему краю и постепенно — в ниже-заднем направлении. Макушки маленькие, заостренные, почти не выступающие над замочным краем, повернутые вперед. Впереди макушки располагается маленькое переднее ушко, отделенное от створки неглубокой бороздкой. Уп্লощенная поверхность створки позади макушки образует слабо выраженное крыловидное расширение. Вся поверхность раковины, включая область макушки, крыловидное расширение и переднее ушко, покрыты густо расположенными рельефными концентрическими складочками, которые лишь иногда слабо ветвятся, но чаще располагаются регулярно. На некоторых экземплярах заметна слабая радиальная струйчатость.

Характерный и широко распространенный вид в средне- и верхнеоарских отложениях бассейнов рек Омолона, Коркодона, Большого Анюя, Охотского побережья.

Pseudomytiloides jacuticus (Petrova, 1953)

Табл. 40, фиг. 6

Раковина округленно-удлиненного очертания, умеренно выпуклая, с почти не выдающейся маленькой макушкой, коротким замочным краем, плавно сливающимся с задним, угловато-выпуклым передним и с маленьким передним ушком, подобным ушку у *P. marchaensis*. Наибольшая выпуклость лежит почти в средней части створки, несколько ближе к переднему и нижнему краям. От вида *P. marchaensis* данный вид отличают менее густо и правильно расположенные концентрические складочки на поверхности раковины, несколько иные очертания и иной рельеф выпуклости створок.

Тоарские отложения бассейнов рек Омолона и Коркодона.

Pseudomytiloides aff. *jacuticus* (Petrova, 1953)

Табл. 40, фиг. 4, 7

Раковина по очертанию приближается к широкому треугольнику, с оттянутым ниже-задним углом. Замочный край прямой и длинный, составляющий $\frac{2}{3}$ длины раковины; задний край короткий, выпуклый, плавно сливающийся со слабо выпуклым нижним; передний край почти прямой, слегка вогнутый в верхней части. Маленькие острые макушки слегка возвышаются над

замочным краем и загнуты вперед. Апикальный угол колеблется от 100 до 110°. Впереди макушки расположено хорошо обособленное переднее ушко, отделенное от остальной поверхности створки слабой депрессией. Выпуклость створок умеренная, ее максимум лежит почти в средней части раковины. Вблизи нижней части замочного края створки уплощены, но отчетливого крыловидного расширения не образуется. Поверхность раковины покрыта правильными тонкими и приостренными концентрическими ребрышками, которым на внутренних ядрах соответствуют сглаженные складки. Связочная площадка очень узкая, состоящая из 7—8 мелких связочных ямок. Под макушкой имеется кардинальный зуб.

От типичного вида *P. jacuticus* (Petrova) отличается длинным замочным краем, отчего раковина приобретает овально-треугольное очертание и сильно расширена в нижней части. У данного вида к тому же лучше развито переднее ушко.

Средне- и позднетоарские отложения бассейнов рек Омолона и Коркодона.

Pseudomytiloides (?) aff. *amygdaloides* (Goldfuss, 1844)

Табл. 40, фиг. 9, 10

Раковина небольшая, яйцевидного очертания, равномерно расширяющаяся от макушки к нижнему краю. Выпуклость умеренная и равномерная. Прямой замочный край составляет менее половины расстояния от макушки до нижнего края. Он незаметно сливается со слабо выпуклым задним краем, а последний переходит в выпуклый нижний; передний край, как и задний, — слабо выпуклый. Макушки слабо обособленные, маленькие, невыдающиеся. Апикальный угол 70—75°. Переднее ушко маленькое и короткое, слабо отграниченное от поверхности створки едва заметной депрессией. Заднее крыловидное расширение бывает лишь едва выражено на хорошо сохранившихся экземплярах. Поверхность раковины гладкая или со слабыми и неравномерными концентрическими морщинами.

От типичного вида *P. (?) amygdaloides* (Goldfuss) отличается наличием маленького переднего ушка и менее выпуклым передним краем.

Тоарские и нижеааленские (?) отложения бассейнов рек Омолона, Коркодона, среднего течения Колымы, Большого Анюя и Охотского побережья.

СЕМЕЙСТВО INOCERAMIDAE Zittel

Род *Retroceramus* Koschelkina, 1957

Раковина от средних до гигантских (до 400 мм по оси роста) размеров, равностворчатая, неравносторонняя, чаще всего сильно скошенная, с выдающимися в той или иной мере и прибли-

женными к переднему краю макушками. Связочный край прямой; при сочленении с задним краем он образует уплощенное крыловидное расширение (крыло), в той или иной степени выраженное. Связка сложная, состоящая из многочисленных (10—15) вертикальных связочных ямок варьирующей формы. Зубов нет. Поверхность створок покрыта концентрическими морщинами, складками, иногда чередующимися с пережимами. Изредка на поверхности раковины и на внутренних ядрах бывает выражена слабая радиальная струйчатость. Призматический слой всегда развит, но в различной степени у различных видов.

Обозначения основных морфологических элементов у раковин *Retroceramus* см. на фиг. 2.

Retroceramus menneri Koschelkina, 1960

Табл. 61, фиг. 1, 2

Раковина крупная, с максимальной высотой до 160 мм, узкая, сильно вытянутая по оси роста, очень сильно скошенная (угол скошенности около 30°), умеренно выпуклая. Передний край почти прямой, длинный задний край чуть заметно выпуклый, плавно сливающийся с полукруглым нижним краем. Связочный край короткий, составляющий примерно 1/4 максимальной высоты раковины. Крыло очень узкое, слабо выраженное. Передний связочный угол около 50°; задний связочный угол равен 155—160°. Макушки тупые, широкие, выдающиеся. Апикальный угол не более 40°. Поверхность покрыта слабыми концентрическими морщинами и неглубокими концентрическими пережимами, сильнее развитыми в нижней половине раковины. Внутренние ядра иногда почти гладкие.

Ааленские отложения Охотского побережья и бассейна верхнего течения р. Колымы. Реже встречается в бассейнах рек Омолона, Коркодона и Большого Анюя.

Retroceramus aff. *porovi* Koschelkina, 1962

Табл. 62, фиг. 1

Раковина крупная (до 170 мм по оси роста), очень сильно скошенная (угол скошенности около 25°), узкая, вытянутая по оси роста, с умеренно выпуклой верхней частью и уплощенной нижней. Передний край слабо выпуклый в верхней части раковины и почти прямой в нижней. Задний край почти прямой на всем протяжении. Соединение их со слабо выпуклым нижним происходит довольно резко, под закругленными углами, близкими к прямым. Связочный край довольно длинный, составляющий 1/3 максимальной высоты раковины. Передний связочный угол равен 50°, задний — 155°. Крыло, как и у предыдущего вида, очень узкое, сливающееся с поверхностью створки. Макушки

узкие, притупленные на конце, повернутые вперед. Передний край впереди макушки образует небольшой выступ. Верхняя часть раковины гладкая; средняя и нижняя с неглубокими многочисленными пережимами и редкими невысокими концентрическими складками, отчетливо проявляющимися только у заднего и переднего краев.

От типичного вида *R. porovi* Koschelkina из ааленских отложений Приверхоанского прогиба данный вид отличается большей максимальной высотой раковины, что, возможно, связано с неполной сохранностью голотипа.

Ааленские отложения Охотского побережья.

Retroceramus sibiricus Koschelkina, 1962

Табл. 63, фиг. 1; табл. 64, фиг. 3

Раковина крупная, с максимальной высотой до 140 мм, вытянутая по оси роста, сильно скошенная (угол скошенности около 30°), выпуклая. Передний склон ее крутой, почти отвесный. Максимальная выпуклость располагается в передней примакушечной части створок. По направлению к крылу, заднему и нижнему краям выпуклость створок плавно уменьшается. Передний край прямой, резко, под прямым углом переходящий в выпуклый нижний. Задний край слабо выпуклый и плавно соединяется с нижним. Связочный край довольно длинный, составляющий немного менее половины максимальной высоты створки. Передний связочный угол около 60°, задний — около 145°. Крыло узкое, сливающееся с задним склоном раковины. Макушки широкие, вздутые, приостренные на конце, слабо выдающиеся над замочным краем и повернутые вперед. Поверхность створок покрыта слабыми широкими концентрическими складками, между которыми местами заметны неглубокие пережимы. Складки наиболее рельефно выражены в нижней части створки и на переднем склоне, причем в верхней части последнего они мелкие и густо расположенные. Примакушечная область часто выгладит почти гладкой.

Остатки вида встречаются в большом количестве экземпляров в ааленских (главным образом, верхнеааленских) отложениях бассейнов рек Анадыря, Омолона и Коркодона.

Retroceramus elegans Koschelkina, 1962

Табл. 63, фиг. 2, 3

Раковина крупная во взрослой стадии (с максимальной высотой 110 мм), овального очертания, скошенная (угол скошенности около 40°), умеренно выпуклая. Наибольшая выпуклость расположена вблизи верхней части переднего края;

нижняя и задняя части раковины уплощены. Передний связочный угол 60—70°. Передний край слабо выпуклый на всем протяжении, задний почти прямой; оба они плавно и незаметно сливаются с полукруглым нижним краем. Связочный край короткий; он составляет примерно половину ширины раковины и около трети ее максимальной высоты (с возрастом это соотношение приближается к 1/4). Крыло очень узкое, уплощенное, плавно соединяющееся со створкой. Передний связочный угол 60—70°, задний около 160°. Макушки широкие, небольшие, выдающиеся. Поверхность раковины довольно равномерно покрыта невысокими, округлыми в сечении, иногда ветвящимися концентрическими складками и морщинами различной силы, лучше выраженными на переднем крае. Кроме того, на раковине имеется несколько редко расположенных неглубоких пережимов.

Ааленские отложения бассейнов рр. Омолона и Коркодона, верховьев р. Колымы и Охотского побережья.

Retroceramus lungershauseni Koschelkina, 1962

Табл. 64, фиг. 1, 2; табл. 65, фиг. 1, 2

Раковина крупная (с максимальной высотой до 115 мм), широкая (ширина раковины составляет половину или несколько более ее максимальной высоты), скошенная (угол скошенности около 45°), выпуклая в области макушки и уплощенная в нижней и задней части. Передний край выпуклый, задний прямой или слабо выпуклый. Связочный край длинный, составляющий около половины максимальной высоты раковины. Крыло широкое, но слабо отклоненное от поверхности створки. Передний связочный угол не менее 75°, задний связочный угол около 135°. Макушки маленькие, слабо выдающиеся. Макушечный, или апикальный, угол составляет около 65°. Поверхность покрыта многочисленными, округлыми в сечении, неравномерной ширины, часто ветвящимися, иногда асимметричными концентрическими складками. Складки сгущаются и становятся грубее в нижней части раковины и почти полностью отсутствуют в выпуклой примакушечной части. На нижнюю часть крыла распространяются только наиболее грубые складки. Между складками располагается несколько нечетко выраженных концентрических пережимов.

От близкого вида *R. elegans* данный вид отличается более широким очертанием раковины, более длинным связочным краем и наличием широкого крыла.

Ааленский ярус бассейнов рек Коркодона, Омолона, верхнего течения р. Колымы и Охотского побережья.

Retroceramus lucifer lucifer (Eichwald, 1871)

Табл. 70, фиг. 5; табл. 71, фиг. 1, 2; табл. 72, фиг. 1—3; табл. 73, фиг. 1

Раковина крупная (обычно 80—100 мм по оси роста, изредка крупнее), сильно суженная в области макушки и равномерно расширяющаяся книзу, вытянутая по оси роста, с максимальной высотой, вдвое превышающей ширину. Скошенность раковины относительно слабая: угол скошенности равен 50—55°. Выпуклость значительная, причем ее максимальное значение приходится на среднюю часть створок. Раковина имеет почти отвесный передний склон и несколько более пологий задний. Передний край слегка вогнут в своей верхней части и выпуклый в нижней; задний край почти прямой; нижний — выпуклый. Связочный край короткий — он составляет примерно 1/3 максимальной высоты раковины. Крыло, имеющее форму тупоугольного треугольника, короткое, широкое, плоское и очень отчетливое; оно отделено от остальной поверхности створки резким перегибом, что является характерной особенностью данного вида. Передний связочный угол около 70°, задний — около 140°. Не менее важным признаком вида являются макушки раковины. Они очень узкие (макушечный угол не превышает 45°), клювовидные, сильно выдающиеся и резко повернутые вперед. На поверхности раковины заметны редко расставленные, но всегда отчетливые глубокие пережимы. На раковинах с максимальной высотой до 85 мм их обычно насчитывается 4; вблизи макушки часто можно наблюдать два сближенных пережима. На более крупных экземплярах насчитывается до 5 пережимов. Вблизи пережимов часто развиваются очень крупные и резко асимметричные складки, полого наклоненные к области макушки и отвесно обрывающиеся к пережимам; поверхность раковины приобретает ступенчатый характер. В промежутках между пережимами иногда заметны узкие, невысокие, густо и правильно расположенные концентрические складочки, чаще же они не сохраняются. Крыло обычно гладкое или пересечено одним-двумя пережимами.

Подвид широко распространен в байосских отложениях Северо-Востока СССР; массовые скопления его остатков приурочены к нижней половине байоса.

Retroceramus lucifer omolonensis Polubotko, subsp. nov.

Табл. 71, фиг. 3; табл. 74, фиг. 1

Происхождение названия: по р. Омолон, в бассейне которого широко распространены остатки подвида.

Голотип: табл. 71 фиг. 3а, б.

Материал: несколько десятков экземпляров ядер с сомкнутыми створками и отдельных створок хорошей сохранности.

Размеры, очертание раковины, выпуклость, величина скошенности, характер крыла описываемого подвида полностью совпадают с таковыми *R. lucifer lucifer*. Небольшие отличия заключаются только в строении макушек и скульптуре. Макушки данного подвида несколько более широкие и менее выдающиеся, а поверхность наряду с пережимами покрывают мягкие и довольно крупные, не всегда правильные концентрические складки. Благодаря им пережимы выражены менее отчетливо. Между новым и номинальным подвидами существует ряд переходов.

Байосский ярус (преимущественно его верхняя часть) бассейнов рр. Омолона и Коркодона.

Retroceramus elongatus Koschelkina, 1960

Табл. 74, фиг. 3; табл. 75, фиг. 1; табл. 76, фиг. 1; табл. 77, фиг. 1

Раковина очень крупная (с максимальной высотой до 180 мм), сильно вытянутая по оси роста (максимальная высота ее в 2—2,5 раза превосходит ширину), сильно скошенная (угол скошенности равен 35°), выпуклая; наибольшая выпуклость створок располагается в их центральной части, несколько ниже макушек. Передний край выпуклый в средней и нижней части, а под макушкой часто бывает подвернут и слегка вогнут. Задний край прямой и длинный; нижний — выпуклый, полукруглый, короткий. Связочный край втрое короче максимальной высоты раковины. Крыло очень узкое, сливающееся с поверхностью створки. Передний связочный угол 65—70°, задний около 150°. Макушки умеренной ширины (макушечный угол около 55°), приостренные на конце, слабо выдающиеся, наклоненные к связочному краю и повернутые вперед. Поверхность покрыта широкими, относительно редко расположенными, местами неясно ветвящимися складками; в поперечном сечении складки асимметричны: их верхние склоны большей частью пологие, нижние — крутые; вершины многих складок сильно уплощены. Промежутки между складками глубокие, иногда имеющие характер густо расположенных пережимов; по ширине некоторые из них уже складок. Крупные складки проходят и на крыло. В области макушки они, как правило, почти незаметны.

Байосский ярус (главным образом, его верхняя часть) бассейнов рр. Омолона, Коркодона, Большого Анюя и Охотского побережья.

Retroceramus eximius (Eichwald, 1871)

Табл. 76, фиг. 2; табл. 78, фиг. 1—3

Раковина обычно средних размеров (40—70 мм по оси роста), округло-прямоугольного очертания, с максимальной высотой, лишь в 1,5 раза превышающей ширину, слабо скошенная

(угол скошенности колеблется от 60 до 70°), равномерно и не сильно выпуклая. Передний край в своей верхней части слабо выпуклый или спрямленный; в средней части раковины или ниже ее середины он делает довольно резкий изгиб, после чего плавно сливается со слабо выпуклым нижним краем. Благодаря разному положению этого изгиба у различных раковин, их очертания несколько варьируют. Задний край полого-выпуклый, незаметно сливающийся с нижним. Связочный край короткий — он втрое короче максимальной высоты раковины. Крыло лишь слегка уплощено и совсем не отграничено от поверхности створки. Передний связочный угол очень большой — 85—90°; задний связочный угол не более 130°. Макушки широкие (макушечный угол от 75 до 80°), слабо выдающиеся, приостренные лишь на самом кончике, который обычно прижат к замочному краю. Раковины данного вида характерно скульптурированы многочисленными, густо и правильно расположенными концентрическими складочками, симметричными в поперечном сечении и приостренными на гребнях. Промежутки между складками примерно равны им по ширине. Концентрические складки равномерно покрывают створки, лишь слегка сгущаясь и становясь тоньше в области макушек и не ослабевают на крыле. Иногда складки слабо ветвятся. На раковинах с максимальной высотой около 80 мм насчитывается не менее 20 складок.

Вид известен из байосских отложений Алазейского плато, бассейна р. Анадыря и байосско-батских отложений Охотского побережья и бассейна р. Омолона.

Retroceramus kystatymensis Koschelkina, 1960

Табл. 82, фиг. 2; табл. 83, фиг. 1

Раковина достигает гигантских размеров: расстояние от макушки до нижнего края по оси роста (максимальная высота) у некоторых форм приближается к 400 мм, при этом оно в два с лишним раза превосходит ширину. Раковина характеризуется сильной скошенностью (угол скошенности около 35°) и значительной выпуклостью; наибольшая выпуклость расположена в примакушечной области и несколько смещена к переднему краю. Последний слабо выпуклый или почти прямой. Задний край спрямленный, едва заметно выпуклый; он, как и передний, плавно сливается с широким и полого-выпуклым нижним краем. Связочный край очень длинный, он составляет половину или немного более максимальной высоты раковины. Крыло широкое в своей нижней части, плоское, но не четко отделенное от остальной поверхности створки. Передний связочный угол около 60°, задний — примерно 155°. Макушки относительно узкие (макушечный угол 55—60°), слабо выдающиеся. Поверхность покрыта рельефными, высокими, округлыми в сечении

концентрическими складками, сгущенными в верхней половине раковины и разреженными в нижней, где промежутки между ними становятся шире складок. Местами складки слабо ветвятся. На широком крыле и в области макушки концентрические элементы скульптуры выражены слабо.

Вид широко распространен в батском ярусе (главным образом, в его нижней части) почти всех районов распространения средней юры на Северо-Востоке СССР.

Retroceramus aff. kystatymensis Koschelkina, 1960

Табл. 84, фиг. 2

Раковина отличается от типичного вида *R. kystatymensis* менее правильной и более разреженной скульптурой и лучше обособленным гладким крылом. От близкого вида *R. tschubukulachensis* Kosch. отличается большей скошенностью и меньшими величинами макушечного, переднего и заднего связочных углов, а также более грубыми и редкими концентрическими складками.

Батский ярус Охотского побережья.

Retroceramus porrectus (Eichwald, 1871)

Табл. 85, фиг. 1, 2

Раковина крупная (с максимальной высотой 100—140 мм и более), сильно вытянутая по оси роста, узкая (ширина створок в 2,5 раза меньше длины), сильно скошенная (угол скошенности 30—35°), равномерно и умеренно выпуклая. Передний край слегка выпуклый в верхней части и спрямленный в нижней; задний край почти прямой; связочный край длинный, составляющий около $\frac{2}{3}$ максимальной высоты раковины. Крыло узкое; в нижней части оно отделено слабой узкой депрессией от остальной поверхности створки. Задний связочный угол очень большой — не менее 165°, передний равен примерно 50°. Макушки узкие, приостренные, умеренно выдающиеся. Поверхность покрыта очень рельефными, относительно редко и правильно расположенными, высокими, округлыми в сечении концентрическими складками. Промежутки между ними равны им по ширине или несколько шире. Складки распространяются на крыло, а в области макушки выражены слабо.

Батский ярус Охотского побережья, бассейнов верхнего и среднего течения рр. Колымы, Омолона и Коркодона.

Retroceramus retrorsus (Keyserling, 1848)

Табл. 87, фиг. 1, 2; табл. 88, фиг. 1—4

Раковина довольно крупная, но не превышающая обычно 60—80 мм по линии максимальной высоты, приближающаяся к митилусообразной по очертанию; умеренно скошенная (угол

скошенности 40—45°), выпуклая; максимальная выпуклость расположена примерно в центральной части створок. Передний и задний края слабо выпуклые, плавно сливающиеся с полукруглым нижним. Связочный край почти втрое короче максимальной высоты раковины. Крыло узкое, плоское, но довольно хорошо выраженное. Передний связочный угол равен 65°, задний связочный угол около 140°. Макушки узкие, приостренные, повернутые вперед, но слабо выдающиеся. Макушечный угол колеблется от 50 до 55°. Характер скульптуры створок подвержен значительной изменчивости. Как правило, концентрические складки на поверхности створок неравномерны по силе и разделены различными по ширине и глубине промежутками; некоторые из них имеют вид пережимов. У некоторых экземпляров складки более правильные, высокие и густо расположенные. Вблизи заднего края складки обычно ветвятся.

Данный вид несколько напоминает байосский *R. lucifer*, от которого отличается большей скошенностью, более узким, слабее выраженным крылом, менее выдающимися макушками и, в целом, более сильно развитыми концентрическими складками на поверхности створок, менее четкими пережимами.

Батский ярус Охотского побережья и всего бассейна рр. Индигирки и Колымы.

Retroceramus tongusensis (Lahusen, 1886)

Табл. 86, фиг. 1

Раковина очень крупных размеров (до 300 мм по оси роста), суженная у макушки и сильно расширяющаяся в средней части, где отношение ширины створки к ее максимальной высоте составляет 0,45, сильно скошенная (угол скошенности равен 35°), выпуклая. Наибольшая выпуклость расположена в верхней части створок, вблизи переднего края. Передний склон раковины крутой, задний — пологий, центральная и нижняя части — уплощенные. Передний край слегка вогнут под макушками, а в средней и нижней своей части полого-выпуклый. Задний край почти прямой; нижний — выпуклый и широкой. Связочный край относительно короткий — он почти втрое короче максимальной высоты раковины. Крыло довольно широкое, хорошо выраженное благодаря небольшой депрессии, отделяющей его от поверхности створки. Передний связочный угол около 60°. Макушки узкие (макушечный угол не превышает 50°), сильно выдающиеся и повернутые вперед. Широкая центральная часть створок покрыта невысокими, сглаженными, широкими концентрическими складками, разделенными слабо вогнутыми промежутками, особенно широкими в нижней части раковины; отдельные промежутки более глубокие и напоминают слабые пережимы. Вбли-

зи заднего края раковины две-три соседние складки обычно сливаются в одну. На крыле складки затухают.

От встречающегося совместно вида *R. retrosus* отличается более широким очертанием, иным рельефом выпуклости, менее резкими, реже и правильнее расположенными концентрическими складками.

Батский ярус Охотского побережья и бассейна р. Колымы.

Retroceramus tuchkovi Polubotko, sp. nov.

Табл. 89, фиг. 1—3

Происхождение названия: в честь геолога и палеонтолога И. И. Тучкова, исследователя юры Северо-Востока СССР.

Голотип: табл. 89, фиг. 1.

Материал: пять внутренних ядер правых и левых створок.

Раковина крупная (до 100 мм вдоль оси роста), овально-трапециевидного очертания, умеренно выпуклая, скошенная (угол скошенности 40—45°). Отличительной чертой данного вида является своеобразное очертание его раковины: передний край разделен на две части; в верхней он почти прямой или слабо выпуклый и соединяется со связочным краем под углом 80—90°; примерно в средней части он дугообразно изгибается, а затем вновь продолжается в виде полого-выпуклой кривой вплоть до слияния с выпуклым и относительно узким нижним краем. Задний край почти прямой; иногда вблизи сочленения с крылом он слабо вогнут. Связочный край составляет немного менее половины максимальной высоты створки и примерно $\frac{2}{3}$ ее ширины. Крыло уплощенное, довольно широкое и слабо отчлененное от остальной поверхности створки. Задний связочный угол равен 140°. Макушки широкие (макушечный угол около 70°), слегка выдающиеся, не совсем конечные: впереди макушек имеется небольшая уплощенная площадка. Поверхность покрыта многочисленными концентрическими складками неравномерной высоты и ширины. В верхней части раковины складки узкие, густо расположенные, иногда ветвящиеся. В нижней части они становятся крупными и высокими и разделены широкими промежутками. Макушка и крыло почти гладкие.

Сравнение. Наибольшее сходство новый вид имеет с *Inosegamus (Mutilosegamus) karakiwensis* Naumai из байосских отложений Японии. Отличия от него заключаются в большей скошенности и большей вытянутости по оси роста у *R. tuchkovi* sp. nov. На молодой стадии роста данный вид близок *R. bulunensis* Koschelkina, от которого отличается сильнее изогнутым передним краем, большим передним связочным углом и более коротким связочным краем, а также более тонкой скульптурой.

Батские (преимущественно верхнебатские) и нижнекелловейские (?) отложения Охотского побережья, бассейнов среднего течения р. Колымы и Большого Анюя.

Retroceramus bulunensis Koschelkina, 1961

Табл. 90, фиг. 1, 2; табл. 91, фиг. 1

Раковина крупная или очень крупная (с максимальной высотой до 160 мм), округло-ромбовидного очертания, вздутая в области макушек и вблизи верхней части переднего края, расширенная в нижней части и сильно скошенная (угол скошенности около 35°). Передний край плавно и слабо выпуклый на всем протяжении и незаметно сливается с нижним краем. Задний край короткий, спрямленный, также плавно сливающийся с широким нижним краем. Связочный край очень длинный, составляющий более половины максимальной высоты раковины и равный ее высоте. Крыло широкое, плавно сливающееся с поверхностью створки. Передний связочный угол колеблется от 70 до 75°, задний связочный угол составляет около 145°. Макушки довольно широкие (макушечный угол 55—65°), не выдающиеся, конечные. Поверхность покрыта многочисленными, правильно чередующимися, высокими и округлыми в сечении концентрическими складками, разделенными такими же по ширине промежутками. Складки распространяются и на крыло, а по направлению к макушке несколько сгущаются. Почти отвесный передний склон гладкий.

Верхнебатские и нижнекелловейские (?) отложения Охотского побережья, бассейнов среднего течения р. Колымы и р. Большого Анюя.

Retroceramus vagt Koschelkina, 1962

Табл. 92, фиг. 1, 2; табл. 93, фиг. 1

Раковина достигает очень крупных размеров (с максимальной высотой до 200 мм), относительно узкая, вытянутая по оси роста, сильно скошенная (угол скошенности колеблется от 30 до 35°), выпуклая; наибольшая выпуклость расположена в центральной верхней части раковины. Передний и задний склоны раковины пологие. Передний край имеет слегка вогнутое очертание в верхней части; в средней и нижней частях он едва заметно выпуклый. Задний край длинный, спрямленный, плавно сливающийся с полукруглым и коротким нижним. Связочный край длинный: у молодых экземпляров он составляет примерно половину максимальной высоты раковины, но с возрастом становится в 2,5 раза короче ее. Крыло довольно широкое, уплощенное. Передний связочный угол 60—70°, задний около 140°. Макушки узкие (макушечный угол 45—50°), сильно выдаю-

щиеся, повернутые заостренными клювовидными окончаниями вперед. Поверхность раковины покрыта характерной скульптурой, состоящей из правильно чередующихся, рельефных, но узких, приостренных на гребнях складок, равномерно покрывающих створки. На крупных раковинах складки внизу становятся шире и реже расставленными. На крыле складки выражены слабее; макушка гладкая.

Верхнебатские(?) и нижнекелловейские отложения Охотского побережья и бассейна р. Большого Анюя.

СЕМЕЙСТВО RHOMBOPTERIIDAE Korobkov

Род *Posidonia* Bronn, 1828

Posidonia ex gr. *bronni* Voltz et Zieten, 1830

Табл. 8, фиг. 1—4

Раковина небольшая (10—20 мм длиной), равностворчатая, округлая в очертании, слабо выпуклая, тонкостенная. Замочный край прямой и довольно длинный. Соединяясь с выпуклым передним и задним краями, он образует ушкообразные расширения, не отчлененные от остальной поверхности створки. Макушка маленькая притупленная, едва приподнимающаяся над замочным краем и расположенная почти в центральной его части или чуть смещенная вперед. В области макушки располагается наибольшая выпуклость раковины; выпуклость более круто спадает к переднему краю и более полого к заднему. От макушки к заднему краю проходит узкая диагональная бороздка, заметная только на хорошо сохранившихся экземплярах. Вся поверхность створок покрыта густыми концентрическими складочками, округлыми в сечении. У боковых сторон две рядом идущие складочки обычно сливаются в одну или затухают. Иногда на ядрах заметны слабые радиальные струйки.

Нижний лейас, преимущественно синемюрский ярус Охотского побережья, бассейна верхнего течения р. Колымы и р. Коркодона.

СЕМЕЙСТВО PECTINIDAE Lamarck

Род *Variamussium* Sacco, 1897

Variamussium *pumilum* (Lamarck, 1819)

Табл. 41, фиг. 1, 2

Раковина всегда маленькая (высотой не более 13 мм), округлая, очень тонкостенная. Обе створки слабо выпуклые. Ушки неравные: передние, имеющие форму прямоугольных треугольников, больше, чем тупоугольные задние; под передним ушком

правой створки имеется узкий и слабо выраженный биссусный вырез. Скульптура наружной поверхности левой створки состоит из многочисленных очень тонких радиальных ребрышек двух порядков, неправильно чередующихся между собой и пересеченных еще более тонкими и густо расположенными концентрическими линиями; такой же рисунок поверхности распространяется и на ушки. Правая створка покрыта более рельефными, чем на левой, концентрическими линиями и едва заметными радиальными струйками, наблюдающимися только в средней части створки. Скульптура внутренних ядер обеих створок одинакова и представлена одиннадцатью прямыми радиальными бороздками — отпечатками сильных внутренних ребер, немного не доходящих до нижнего края.

Средняя часть тоарского яруса бассейнов рек Омолона, Коркодона, Большого Анюя и Охотского побережья.

Variamussium *waageni* Polubotko, sp. nov.

Табл. 41, фиг. 3—6

Происхождение названия: в честь немецкого палеонтолога Л. Ваагена.

Голотип: табл. 41, фиг. 5 а, б.

Материал: одно наружное ядро с сомкнутыми створками неполной сохранности и около 10 ядер правых и левых створок.

Раковина крупная, до 80 мм высотой, округлая по очертанию, со слабо выпуклыми створками. Ушки по размеру почти одинаковые (переднее лишь немного больше заднего) и имеют форму прямоугольных треугольников. Примакущечный угол составляет 100—105°. Апикальные края, т. е. верхние части переднего и заднего краев раковины, отделяющие от ее поверхности ушки, вогнутые. Левая створка покрыта прямыми, тесно расположенными, округлыми в сечении, низкими радиальными ребрами. Всего на створке с высотой 65 мм насчитывается около 120 ребер, правильно разделяющихся на два порядка путем вставления более тонких ребер между более толстыми, начинающимися у самой макушки. Наружная поверхность правой створки гладкая. Только на более молодых экземплярах наблюдаются слабые концентрические линии и полосы роста. На внутренних ядрах насчитывается 11 радиальных борозд.

Сравнение. От *V. laeviradiatum* Waagen из аалена Англии и низов байоса Центральной Европы данный вид отличается большим количеством внутренних радиальных ребер, оставляющих борозды на внутренних ядрах (11 вместо 9 у сравниваемого вида), и правильным чередованием на левой створке тонких ребер первого и второго порядков, тогда как у *V. laeviradiatum* насчитывается 10 сильных ребер первого порядка, а промежутки между ними заполнены ребрышками второго и третьего порядков. От *V. fe-*

nestrale Whidborne из средней юры Англии отличается слабым развитием концентрических линий и полос нарастания на левой створке. От вышеописанного *V. pumilum* (Lamarck) отличается большими размерами раковины и более грубой радиальной скульптурой левой створки.

Верхняя часть тоарского — низы ааленского ярусов Охотского побережья, бассейнов рек Омолона и Коркодона.

Variamussium sp.

Табл. 66, фиг. 1

Раковина крупная (высотой до 80 мм), округлого очертания, с почти равными ушками, из которых переднее лишь слегка больше заднего. Примакушечный угол около 115°, причем апикальные края прямые. Поверхность створки покрыта 60—70 радиальными ребрами трех порядков, неправильно чередующихся между собой. Сильных и толстых ребер первого порядка насчитывается 14—15, и они развиты только в центральной части створки; вершинки этих ребер уплощены, и некоторые из них разделены продольной бороздкой. Между главными ребрами вставляется по одному, два или три ребра второго порядка, несколько варьирующих по толщине. В отдельных промежутках видны тонкие и короткие ребрышки третьего порядка. Кроме того, вся поверхность створки пересечена тонкими концентрическими линиями роста. На внутренних ядрах наблюдается 11 грубых радиальных борозд и слабые радиальные валики и бороздки в промежутках между ними. Правая створка этого вида известна лишь по внутренним ядрам, не отличающимся от внутренних ядер левой.

Нижнеааленские отложения Охотского побережья, бассейнов рек Коркодона и Большого Анюя.

Род *Chlamys* Bolten, 1798

Chlamys ex gr. *textoria* (Schlotheim, 1820)

Табл. 23, фиг. 5, 6

Раковина средней величины (30—40 мм в высоту), близкого к округлому очертания, со слабо выпуклой левой и почти плоской правой створками. Примакушечный угол колеблется от 80 до 110°. Ушки хорошо развиты и отчетливо отграничены от поверхности створок; передние ушки значительно больше задних, причем под передним ушком правой створки имеется глубокий биссусный вырез. Правая створка покрыта многочисленными (около 60) тонкими радиальными дихотомирующими ребрами двух порядков, в отдельных промежутках между которыми можно заметить и ребрышки третьего порядка. Ребра и промежутки

между ними пересечены густой сетью концентрических пластинок, которые так же резко выступают и на ушках. Радиальные ребра левой створки более сглаженные и менее дифференцированные по силе, делящиеся путем вставления ребер второго порядка между главными. На внутренних ядрах концентрическая скульптура почти не проявляется.

Плинсбахский, реже синемюрский ярусы Охотского побережья, бассейна верхнего и среднего течения р. Колымы, рек Коркодона, Омолона и Большого Анюя.

Chlamys tumannensis Efimova, sp. nov.

Табл. 105, фиг. 4

Происхождение названия: по р. Туманной, приходу р. Большого Анюя, где найдены остатки вида.

Голотип: табл. 105, фиг. 4.

Материал: внутреннее ядро правой створки хорошей сохранности и несколько отпечатков других правых створок неполной сохранности.

Раковина крупная, округлого очертания, с высотой, равной длине. Правая створка уплощенная, лишь слегка выпуклая в области макушки. Апикальные края слабо вогнутые, передний и задний края выпуклые, плавно сливающиеся с нижним. Переднее ушко длинное, с небольшим расширением в передней части, отделенное от створки широким биссусным вырезом. Заднее ушко почти втрое короче переднего. Скульптура состоит из многочисленных (до 40), округлых в сечении радиальных ребер, почти одинаковых по силе. В передней части створки ребра не совсем прямые и расположены гуще, чем на задней части. Межреберные промежутки в задней половине створки становятся в два раза шире ребер, причем в них появляются единичные вставленные ребрышки второго порядка. Радиальные ребра пересекаются тонкими, густо расположенными концентрическими линиями, хорошо заметными даже на внутренних ядрах в центральной примакушечной части створки. При пересечении с концентрическими линиями на радиальных ребрах образуются незначительные утолщения. На ушках заметны лишь слабые концентрические линии.

Сравнение. По характеру скульптуры описываемый вид близок к *Ch. dewalquei* (Oppel), но резко отличается очертанием раковины и формой ушек.

Встречается в кимеридж-волжских отложениях бассейна р. Большого Анюя.

Род *Aequipecten* Fischer, 1887

К роду *Aequipecten* отнесены два вида пектинид, характеризующиеся почти равными ушками, отсутствием биссусного вы-

реза и различной скульптурой левой и правой створок: на левой хорошо развиты радиальные ребра, на правой же они резко ослаблены. Столь различная скульптура створок не характерна для типичных *Aequipecten*, поэтому систематическое положение этой группы видов нельзя считать точно установленным.

Aequipecten (?) *staeschei* Polubotko, sp. nov.

Табл. 7, фиг. 1—9

Происхождение названия: в честь палеонтолога К. Стеше, исследователя пектинид Швабской Юры.

Голотип: табл. 7, фиг. 1 а, б.

Материал: более 50 наружных и внутренних ядер раковин с сомкнутыми створками и разрозненных створок хорошей и удовлетворительной сохранности.

Округлая раковина средних размеров (высотой 28—30 мм, длиной 30—32 мм), с одинаковыми по очертанию и выпуклости створками, скульптура которых различна. Выпуклость створок небольшая. Примакушечный угол от 90 до 110°. Ушки довольно большие, хорошо отграниченные от остальной поверхности раковины, причем переднее ушко, имеющее форму прямоугольного треугольника, несколько больше, чем тупоугольное заднее ушко. Биссусный вырез отсутствует. Поверхность раковины левой створки покрыта многочисленными прямыми, округлыми в сечении и слегка уплощенными радиальными ребрами, утолщающимися от макушки к нижнему краю. Ребра первого порядка чередуются с более тонкими ребрами второго порядка. Последние не доходят до макушки и начинаются на различных расстояниях от нее; кроме того, они варьируют по толщине и занимают не всегда центральное положение в промежутках между главными ребрами. Вдоль нижнего края в отдельных промежутках между ребрами первого и второго порядков вставляются еще более короткие и тонкие ребрышки третьего порядка. Всего вдоль нижнего края насчитывается 53—55 ребер. На начальных стадиях роста на ребрах наблюдаются ряды бугорков. На внутренних ядрах радиальные ребра выражены значительно слабее и только вдоль нижнего края створки остается кромка, покрытая отчетливо выраженными ребрами трех порядков. На наружной поверхности правой створки радиальные ребра хорошо выражены только в нижней ее части; здесь они тесно сближены и уплощены. Примакушечная часть покрыта только тонкими линиями роста и слабыми радиальными струйками. Внутренние ядра гладкие, с ребристой каймой вдоль нижнего края. На внутренних ядрах створок наблюдается несколько концентрических пережимов, а также боковые депрессии от внутренних валиков, причем задняя депрессия на обеих створках шире и лучше выражена, чем едва заметная передняя.

Сравнение. Наиболее близким к описываемому виду является *A. reutlingensis* Staesche из домерско-тоарских слоев лейаса Европы. Новый вид отличается от него несколькими очертаниями ушек и заметнее выраженной их неравновеликостью, а также более грубыми и шире представленными радиальными ребрами на левой створке (правая створка *A. reutlingensis* подробно не описана). От довольно близкого *A. (?) kopiensis* (Tuchkov) из верхнего триаса Северо-Востока СССР новый вид отличается более крупными ушками и лучше развитой радиальной ребристостью (у *A. (?) kopiensis* радиальные ребра на правой створке полностью отсутствуют).

Широко распространенный вид в геттангских и особенно синеюрских отложениях Охотского побережья, бассейнов рек Коркодона, Омолона, Большого Анюя и верхнего течения р. Колымы.

Aequipecten (?) *terekhovi* Polubotko, sp. nov.

Табл. 26, фиг. 2, 3; табл. 27, фиг. 2, 3

Происхождение названия: в честь геолога М. И. Терехова, впервые собравшего остатки вида.

Голотип: табл. 26, фиг. 3 а, б.

Материал: пять ядер раковин с сомкнутыми створками и обломанными ушками и более 15 наружных и внутренних ядер отдельных створок и их обломков.

Раковина средней величины (до 40 мм в высоту), округлая, с длиной, равной высоте, с довольно толстым раковинным слоем, со слабо выпуклыми и одинаковыми по выпуклости створками, обладающими почти одинаковыми по величине ушками (из которых переднее все же чуть больше заднего) и примакушечным углом, равным 100—105°. Биссусный вырез под передним правым ушком отсутствует, как и у предыдущего вида. Скульптура наружного ядра левой створки представлена примерно 25 широкими плоскими радиальными ребрами двух порядков, расширяющимися и все более уплощающимися к нижнему краю, где они разделены только узкими бороздками. Межреберные промежутки в верхней части створки шире, чем в нижней. Ребра второго порядка более узкие, они вставляются не совсем регулярно между главными в верхней трети раковины. Боковые части створки гладкие. На внутреннем ядре левой створки радиальные ребра слабо выражены, но усиливаются в виде каймы вдоль ее нижнего края, как у предыдущего вида. Наружное ядро правой створки гладкое, лишь с тонкими линиями роста, а у нижнего края обычно слабо заметны уплощенные, вдвое более многочисленные, чем на правой створке, короткие радиальные ребрышки. Узкая кайма из этих ребрышек остается и на гладком внутреннем ядре. Кроме того, на внутренних ядрах обеих створок хорошо выражены боковые борозды от внутренних валиков.

Сравнение. Почти гладкой правой створкой и хорошо выраженными боковыми бороздами данный вид напоминает *A. (?) kopiensis* (Tuchkov), но отличается от него совершенно иной своеобразной скульптурой левой створки.

Плинсбахский ярус Алазейского плоскогорья.

Род *Radulonectites* Hayami, 1957

Radulonectites hayamii Polubotko, sp. nov.

Табл. 24, фиг. 1—5

Происхождение названия: в честь японского палеонтолога И. Хаями.

Голотип: табл. 24, фиг. 2; паратип: табл. 24, фиг. 3.

Материал: четыре внутренних ядра раковин с сомкнутыми створками и множество ядер и отпечатков левых и правых створок хорошей сохранности.

Раковина средних размеров (до 60 мм в высоту), неравностворчатая, неравносторонняя (особенно правая створка), с высотой, равной длине, или слегка вытянутая по высоте, с выпуклой левой створкой и почти плоской правой. Передний апикальный край правой створки под передним ушком полого вогнут, благодаря чему створка кажется несколько скошенной в нижнезаднем направлении. Примакушечный угол не превышает 100°. Ушки хорошо отграничены от поверхности створок. Переднее ушко по размерам превосходит заднее, но не настолько, как у *Chlamys*. Под передним ушком правой створки имеется широкий биссусный вырез. Скульптура правой и левой створок почти одинакова и представлена тонкими радиальными, неветвящимися бороздками, разделенными плоскими промежутками. На крупных экземплярах насчитывается 80—85 бороздок. Бороздки лучше всего выражены на переднем крае раковины, слабее — вдоль нижнего и заднего краев; центральная часть створок гладкая. На боковых частях раковины в промежутках между бороздками появляются короткие дополнительные бороздки. На переднем крае правой створки бороздки расширяются и промежутки между ними принимают облик низких уплощенных ребер двух порядков. В краевых частях раковины, кроме того, хорошо выражены концентрические линии приостановки роста. Ушки покрыты густыми и рельефными концентрическими линиями. На внутренних ядрах скульптура ослаблена, и они нередко кажутся гладкими.

Сравнение. От близкого вида *R. japonicus* Hayami из лейаса Японии отличается слабее развитой и более тонкой радиальной скульптурой, как на правой, так и на левой створках, а также несколько меньшим размером ушек и ярче выраженным различием в величине переднего и заднего ушек.

Широко распространенный вид в плинсбахском ярусе бассейнов рек Омолона и Коркодона, реже встречается на Охотском побережье, в Западном и Южном Верхоянье.

Род *Velata* Quenstedt, 1856

Velata viligaensis Tuchkov (in litt.), sp. nov.*

Табл. 25, фиг. 1, 2; табл. 26, фиг. 1; табл. 27, фиг. 1

Происхождение названия: по р. Вилиге, впадающей в Охотское море.

Голотип: табл. 26, фиг. 1; паратип: табл. 25, фиг. 1.

Материал: два внутренних ядра раковин с сомкнутыми створками, с частично сохранившимся раковинным слоем и около 10 отпечатков и ядер преимущественно левых створок.

Раковина крупная (до 105 мм в высоту), неравностворчатая, округлого очертания, с высотой, равной длине или слегка ее превышающей. Правая створка плоская, левая — от умеренно до сильно выпуклой в центральной части и уплощающаяся к краям. Раковинный слой относительно толстый. Замочный край очень длинный, составляющий около $\frac{3}{4}$ длины раковины. Макушка едва выступающая, слегка смещенная вперед. Ушки большие, но слабо отграниченные от поверхности створок. Под передним ушком плоской правой створки имеется глубокая биссусная складка, заканчивающаяся спереди небольшим вырезом. На левой створке переднее ушко шире, чем заднее, но немного короче его. Узкое заднее ушко отграничено от створки слабой бороздкой. Поверхность правой створки покрыта многочисленными (более 60), тесно расположенными, низкими, округлыми в сечении, радиальными ребрами, начинающимися от самой макушки и разделяющимися на два ребра немного ниже ее, некоторые ребра делятся еще раз в нижней половине створки. Выпуклая левая створка покрыта не менее многочисленными, но более грубыми, широкими уплощенными ребрами, разделенными узкими промежутками. В отдельные промежутки между главными ребрами нерегулярно вставляются одно-два более тонких ребра. Ребра пересекаются несколькими грубыми концентрическими пережимами. На ушках отчетливо выступают лишь концентрические линии роста, но иногда удается заметить слабые радиальные ребрышки. Внутренние ядра почти гладкие, иногда на них заметны слабые следы от радиальных ребер.

Сравнение. От *V. hartzi* Rosenkrantz из нижнеплинсбахских отложений Восточной Гренландии отличается невыдающейся макушкой и иной скульптурой створок: на левой створке нового вида ребра уплощенные, более многочисленные, теснее расположенные и не разделяются на четыре порядка (как

* Вид описан И. И. Тучковым.

у *V. hartzi*, у которой сильных ребер первого порядка насчитывается только 5—7).

Широко распространенный вид в плинсбахском ярусе Охотского побережья, верховий р. Колымы, бассейнов рек Алдана, Индигирки, Омолона и Коркодона.

Род *Camptonectes* Meek, 1864

Camptonectes sp.

Табл. 83, фиг. 2, 3; табл. 84, фиг. 1

Раковина средних размеров, около 45 мм в высоту, почти округлого очертания, неравностворчатая, с выпуклой левой и почти плоской правой створками. Передние ушки обеих створок несколько больше, чем задние; они отделены от поверхности раковины слабыми вдавленностями. Передний апикальный край правой створки у основания ушка слегка вогнутый. Поверхность створок несет очень тонкую сетчатую скульптуру — в виде точечных углублений и бугорков, образовавшихся при пересечении тонких, густо расположенных концентрических линий и еще более тонких радиальных. Концентрическая скульптура преобладает над радиальной, которая хорошо заметна только в передней и задней частях раковины ниже ушек. Кроме того, на створках наблюдаются слабые концентрические пережимы, резче выступающие в нижней половине раковины.

Батский ярус Охотского побережья.

СЕМЕЙСТВО LIMIDAE Orbigny

Род *Lima Bruguière*, 1792

Lima transversa Polubotko, 1966

Табл. 8, фиг. 5—6

Раковина небольшого и среднего размера (до 30 мм в высоту), равностворчатая, сильно неравносторонняя, выпуклая. Створки косо-овальной формы, сильно оттянутые в передне-нижнем направлении. Передний край почти прямой, задний выпуклый, незаметно сливающийся с нижним. Макушки хорошо развитые, закругленные, слегка выдающиеся над замочным краем. Последний короткий, слегка вогнутый. Ушки маленькие, слабо обособленные. На внутренних ядрах на концах ушек и вдоль замочной линии заметны мелкие зубчики. Поверхность раковины покрыта 20—22 прямыми, высокими, крышеобразными в поперечном сечении ребрами, которые на внутренних ядрах выглядят округлыми, разделенными широкими плоскими промежутками. На раковине имеются отдельные грубые знаки приостановки роста, вызывающие уступы на поверхности.

Вид распространен почти повсеместно на Северо-Востоке в верхнетриасовых и нижнелейасовых отложениях.

Lima phylatovi Polubotko, sp. nov.

Табл. 28, фиг. 1, 2

Происхождение названия: в честь геолога С. И. Филатова, чьим сборам принадлежат многочисленные остатки вида. Голотип: табл. 28, фиг. 1.

Материал: более десяти внутренних ядер правых и левых створок.

Раковина средней величины (длиной до 35 мм), равностворчатая, скошенная, с оттянутым передне-нижним углом, умеренно выпуклая. Передний край почти прямой, задний — выпуклый, плавно сливающийся с полого округлым нижним. Макушка слабо выдающаяся, примакушечный угол около 110°. Ушки хорошо развиты и довольно большие, причем переднее немного больше заднего. На боковых частях ушек имеются мелкие зубчики; они лучше выражены на заднем ушке. На поверхности раковины насчитывается 23—25 сильных радиальных ребер крышеобразной формы, пересеченных тонкими и несколькими более грубыми концентрическими линиями роста. Несколько последних радиальных ребрышек на заднем крае тонкие и сближенные. Ушки покрыты отчетливыми тонкими концентрическими линиями и слабо выраженными радиальными струйками, которые лучше заметны у внутренних краев ушек. Крышеобразный характер ребер сохраняется и на внутренних ядрах; ушки на последних кажутся гладкими.

Сравнение. От близкой *L. transversa* Polubotko из верхнетриасовых и нижнелейасовых отложений Северо-Востока СССР отличается несколько большим количеством радиальных ребер, сохраняющих крышеобразное очертание и на ядрах, отсутствием резких ступенчатых концентрических пережимов и несколько большим размером ушек с характерной орнаментацией.

Часто встречающийся вид в плинсбахских отложениях Охотского побережья, реже — бассейна верхнего течения р. Колымы и Большого Анюя.

Lima gizhigensis Polubotko, sp. nov.

Табл. 28, фиг. 3

Происхождение названия: по р. Гижиге, из бассейна которой происходит голотип.

Голотип: табл. 28, фиг. 3.

Материал: около 10 внутренних и наружных ядер правых и левых створок удовлетворительной сохранности.

Раковина до 25 мм высотой, равностворчатая, округлая, почти равносторонняя, прямая, слабо выпуклая. Передний край спрямленный, задний и нижний — плавно выпуклые. Примакушечный угол около 115°. Ушки маленькие, слабо отграниченные

от поверхности створок. Поверхность раковины покрыта 20—22 радиальными ребрами, округлыми в поперечном сечении. В центральной части створки ребра довольно широко расставлены и разделены слабо вогнутыми корытообразными промежутками, превышающими по ширине ребра. По направлению к заднему и переднему краям ребра равномерно сгущаются и становятся тоньше. Ребра и промежутки между ними пересекаются довольно грубыми волнистыми концентрическими линиями роста, особенно хорошо выраженными у нижнего края.

Сравнение. Описываемый вид более всего напоминает *L. subdistincta* Kiparisova из верхнего триаса Северо-Востока СССР и Приморского края, отличаясь от него несколько меньшим количеством шире расставленных радиальных ребер и наличием на раковине грубых волнистых линий роста.

Плинсбахский ярус Охотского побережья и Алазейского плоскогорья.

Lima borealis Pcelinceva, 1962

Табл. 105, фиг. 1

Раковина небольшого или среднего размера (от 5 до 30 мм в высоту), косо-овального очертания, умеренно выпуклая, равностворчатая, резко неравносторонняя, с оттянутым передним краем. Макушки небольшие, узкие, слегка наклоненные вниз. Передний край прямой и длинный; задний выпуклый, широкой дугой соединяющийся с нижним. Замочный край короткий, с небольшими ушками. От макушки к передне-нижнему углу раковины протягивается киль, отделяющий узкую переднюю часть створки, покрытую только концентрическими линиями роста, от остальной поверхности раковины с округлыми радиальными ребрами в количестве 11—13; ребра разделены широкими промежутками, несущими иногда по одному тонкому ребрышку. При пересечении с концентрическими линиями роста и морщинами радиальные ребра приобретают чешуйчатый вид. Ушки на внутренней стороне несут косо направленные зубчики.

Оксфорд — кимеридж бассейна верхнего течения р. Анадыря, кимеридж — нижний волжский подъярус бассейна р. Большого Анюя.

Lima consobrina Orbigny, 1845

Табл. 105, фиг. 2, 3

Раковина небольшая, выпуклая, равностворчатая, резко неравносторонняя, косо-овальных очертаний, с прямым передним краем. Задний и нижний края очерчены широкой выпуклой дугой. Макушки маленькие, острые, несоприкасающиеся. Замочный край короткий, с небольшими ушками; заднее ушко немного больше переднего. Поверхность раковины покрыта 13—18 узкими, округленными радиальными ребрами с широкими межре-

берными промежутками, которые в два раза шире ребер; у мелких экземпляров межреберные промежутки по ширине равны ребрам. Концентрические линии тонкие, частые, резко проявляющиеся на передней части раковины, где радиальные ребра отсутствуют.

Верхнеюрские отложения Охотского побережья и бассейна р. Большого Анюя.

Род *Plagiostoma* Sowerby, 1819

Plagiostoma cf. *incrasata* (Eichwald, 1865—1868)

Табл. 104, фиг. 7

Раковина крупная, равностворчатая, резко неравносторонняя, слабо выпуклая, тонкостенная, широко-овального очертания, с почти прямым, косо направленным вниз передним краем и поло-лого-выпуклым нижним, плавно соединяющимся с коротким и выпуклым задним краем. Макушки приотстренные, немного выступающие над замочным краем. Впереди макушки имеется узкая вогнутая площадка, протягивающаяся вдоль переднего края почти на $\frac{3}{4}$ его длины; она отделена от остальной поверхности створки резким перегибом. Ушки слабо обособленные, причем переднее больше заднего. Поверхность раковины покрыта тонкими концентрическими линиями и ступенчатыми полосами роста, которые особенно отчетливо заметны на вогнутой площадке переднего края.

Поздняя юра (оксфорд — низы волжского яруса) Охотского побережья и бассейна р. Большого Анюя.

СЕМЕЙСТВО PLICATULIDAE Cox

Род *Harpa* Parkinson, 1811

Harpa spinosus (Sowerby, 1819)

Табл. 28, фиг. 4, 5

Раковина средних размеров (высотой 15—30 мм), в виде почти правильного, иногда слегка скошенного овала, с выпуклой правой створкой и плоской или слегка вогнутой левой, толсто-стенная, пластинчатая, прикрепляющаяся правой створкой на молодых стадиях роста и свободно плавающая во взрослой стадии. Макушка выпуклой правой створки широкая, тупая, необособленная; на левой створке она обособлена лучше и чуть выступает над замочным краем. Пластинчатая поверхность правой створки покрыта многочисленными бугорками от шипов, расположенными рядами вдоль концентрических пластин нарастания. На плоской левой створке ступенчатое строение раковины

проявляется еще лучше: пластинки раковинного слоя, образующие каждый новый концентрический пояс, слегка приподнимаются на краях, благодаря чему на раковине образуются четкие концентрические уступы. Пространство между ними усеяно многочисленными ямками, в противоположность бугоркам на правой створке. Внутренние ядра гладкие. На них обычно отчетливо виден отпечаток простой мантийной линии и большой мускульный отпечаток.

Замок правой створки состоит из двух расходящихся из-под макушки сильных кардинальных зубов, между которыми в центре расположена связочная ямка, ограниченная слабыми валиками. На левой створке связочная ямка ограничена с двух сторон сильными пластинками, за которыми с каждой стороны находится по одному сравнительно слабо развитому кардинальному зубу.

Плинсбахский ярус (преимущественно его нижняя часть) Охотского побережья, верхний р. Колымы, бассейнов рек Яны, Индигирки, Большого Анюя. Реже встречается в тех же отложениях бассейнов рек Коркодона и Омолона.

Naerax nodosus Polubotko, sp. nov.

Табл. 28, фиг. 6—8

Происхождение названия: *nodosus* — узловатый, суковатый; по характеру скульптуры.

Голотип: табл. 28, фиг. 7а, б.

Материал: около 15 наружных и внутренних ядер, в основном, с сомкнутыми створками, удовлетворительной сохранности.

Раковина небольшая (обычно не более 20—25 мм в высоту), изменяющегося очертания: от округлой, вытянутой по высоте, до косо-овальной, вытянутой в длину. Обе створки слабо выпуклые, но выпуклость правой створки слегка превышает выпуклость левой. Макушки тупые, неразвитые. Раковинный слой состоит из многочисленных чешуйчато расположенных концентрических пластинок с неровными волнистыми краями. На более выпуклой правой створке наблюдается несколько редких, неправильно расположенных бугорков от шипов, которым на левой створке соответствуют слабо выраженные ямки, приуроченные к краям концентрических пластинок. Внутренние ядра гладкие, с хорошо заметным, вытянутым в длину мускульным отпечатком у заднего края и простой мантийной линией.

Сравнение. От *N. spinosus* (Sowerby) отличается меньшей выпуклостью правой створки, варьирующим очертанием раковины и гораздо слабее развитыми шипами, в беспорядке разбросанными по поверхности правой створки.

Нижняя часть плинсбахского яруса бассейнов рек Коркодона, Омолона и Большого Анюя.

Naerax laevigatus (Orbigny, 1849)

Табл. 29, фиг. 1—4

Раковина довольно крупная (до 50 мм в высоту), неравностворчатая, прираставшая к субстрату (ко дну или к другим раковинам) своей правой створкой в течение всей жизни. Благодаря этому очертание и выпуклость створок сильно варьируют: правая створка принимает форму того предмета, к которому прикрепляется, и бывает либо плоской, либо вогнутой, либо слабо выпуклой; верхняя левая створка повторяет рельеф нижней и варьирует от плоской до сильно выпуклой. Так же изменчивы и очертания, но у большинства экземпляров высота превышает длину. Макушки широкие, необособленные. Раковинный слой толстый пластинчатый. Шипы на поверхности створок отсутствуют. На правой прирастающей створке часто отражается скульптура той раковины, к которой прикреплялась эта створка. Поэтому на поверхности *N. laevigatus* часто видны «радиальные ребра», иногда косо или поперечно пересекающие створку. Эта же скульптура в виде негативной обычно отражается и на левой створке. Внутренние ядра гладкие, с большим поперечно-овальным мускульным отпечатком, расположенным внутри мантийной полости у заднего края. Замочный аппарат левой створки состоит из мощной V-образной пластинки, охватывающей связочную ямку, и двух более тонких кардинальных зубов, широко отстоящих один от другого. На правой створке соотношение частей замочного аппарата другое: V-образная пластинка более тонкая и слабее развитая, а расположенные по обе стороны от нее кардинальные зубы мощные, с боков они ограничены кардинальными ямками; на левой створке эти ямки расположены между кардинальным зубом и ветвью V-образной пластинки с каждой стороны от связочной ямки.

Широко распространенный вид в верхней части плинсбахского яруса бассейнов рр. Омолона, Коркодона, Большого Анюя, Седедемы, Индигирки; реже встречается в тех же отложениях бассейна верхнего течения р. Колымы и Охотского побережья.

СЕМЕЙСТВО ANOMIIDAE Gray

Род *Anomia* Linne, 1758

Anomia lemniscata Polubotko, sp. nov.

Табл. 8, фиг. 7—8

Происхождение названия: *lemniscatus* — украшенный лентами (по характеру скульптуры поверхности).

Голотип: табл. 8, фиг. 7а, б.

Материал: 6 внутренних и наружных ядер разрозненных, преимущественно правых, створок и несколько их обломков.

Раковина маленькая (10—13 мм в высоту), округлая, равно-сторонняя, суженная в области макушки, с выпуклой левой створкой и плоской или слегка вогнутой правой, толстостенная. Макушки тупые, неразвитые. В области макушки на плоской правой створке иногда заметно круглое отверстие — след от биссусного выреза. Левая створка покрыта многочисленными тонкими, слегка извилистыми радиальными ребрами двух порядков, причем ребрышки второго порядка прослеживаются не во всех промежутках между главными. Плоские межреберные промежутки шире ребер. Радиальные ребра пересечены редко расположенными, но отчетливыми концентрическими линиями, имеющими вид ребер, при пересечении с которыми они слегка надламываются. На правой створке резко выступают грубые концентрические пережимы (уступы), соответствующие концентрическим линиям левой створки. Промежутки между пережимами заполнены прерывистыми радиальными ребрышками.

Сравнение. От близкой по очертанию раковины и наличию на ней концентрических полос и уступов *A. striatula* (Oppel) из верхнего синемюра Франции новый вид отличается более грубыми и шире расставленными радиальными ребрами вместо тончайших тесно сближенных радиальных линий у *A. striatula*.

Синемюрский ярус бассейнов рек Бохапчи, Буюнды, Омолонна, Коркодона и Охотского побережья.

СЕМЕЙСТВО MUTILIDAE Fleming

Род *Modiolus* Lamarck, 1799

Modiolus aff. *bolodekensis* Voronetz, 1938

Табл. 105, фиг. 6

Раковина средних и крупных размеров (до 100 мм в высоту), удлиненно-овальная, с высотой, почти в два раза превосходящей длину, с суженным передним и расширенным задним краями. Замочный (или спинной) край слегка выпуклый; брюшной — почти прямой, с легкой вогнутостью. Макушки неотчетливые, не выдающиеся, очень близко придвинутые к переднему краю. Последний короткий, выпуклый. Задний край полого выпуклый, он соединяется со спинным и брюшным под округленными, почти прямыми углами. От макушки к задне-нижнему углу проходит киль, более рельефный вблизи макушки, где он на некотором протяжении от макушки тянется параллельно замочному краю, а далее, к заднему концу раковины, совершенно выполаживает-

90

ся. Поверхность раковины покрыта концентрическими морщинами и линиями нарастания, повторяющими ее очертание.

От типичного вида *M. bolodekensis* Voronetz отличается большими размерами и отсутствием радиальной ребристости между замочным краем и килем.

Вид известен из нижнего волжского подъяруса бассейна р. Большого Аняя.

Modiolus sp.

Табл. 105, фиг. 5

Раковина среднего размера, овального очертания, с сильно расширенным задним концом и с оттянутым задне-нижним углом. Слабо выдающиеся над замочным краем макушки широкие, соприкасающиеся, загнутые внутрь и вперед, расположенные почти у переднего края. Последний короткий, пологой кривой соединяется со слабо вогнутым нижним (или брюшным) краем. Замочный край прямой, с двумя бороздками; он округло соединяется со слабо выпуклым и скошенным задним краем. От макушек к задне-нижнему углу проходит резко изогнутый выпуклостью к замочному краю киль, постепенно выполаживающийся к заднему концу раковины. Наружная поверхность покрыта концентрическими линиями нарастания и грубыми морщинами.

Нижний волжский подъярус бассейна р. Большой Аняй.

ОТРЯД SCHIZODONTA. РАСЩЕПЛЕННОЗУБЫЕ

СЕМЕЙСТВО MYOPHORIIDAE Bronn

Род *Myophoria* Bronn, 1835

Myophoria *lingonensis* (Dumortier, 1869)

Табл. 29, фиг. 5

Раковина средних размеров (обычно около 30 мм в длину), близкого к треугольному очертания, равносторончатая, неравно-сторонняя, выпуклая, тонкостенная. Передний край выпуклый; он плавно соединяется со слабо выпуклым нижним краем. Верхний край скошенный, задний (или сифональный) — слабо вогнутый; угол сочленения верхнего и заднего краев составляет около 135°. Макушки маленькие, приостренные, выступающие и наклоненные вперед (прозогирные). От макушки к нижней части сифонального края проходит резко выраженный, но округлый внешний килевидный перегиб, отделяющий широкое переднее поле раковины от узкого заднего поля. Вблизи верхнего края заднее поле пересекает узкий и резкий внутренний килевидный перегиб. Площадка, заключенная между этими двумя перегибами — арча — узкая, вогнутая. Между замочным краем

91

и внутренним килевидным перегибом находится широкий, выпуклый щиток. Поверхность раковины, включая арею и щиток, гладкая и несет лишь кольца и более тонкие линии роста, которые резче выражены на арее и щитке. Вблизи переднего края наблюдаются узкие концентрические ребра, быстро исчезающие в заднем направлении. Замок схизодонтный и состоит из маленького центрального треугольного зуба, ясно расщепленного в нижней части, и двух боковых зубов с разделяющими их зубными ямками. На отдельных зубах заметны редкие насечки. На переднем крае внутренних ядер можно заметить след от узкого внутреннего валика.

Верхняя часть плинсбахского яруса бассейнов рр. Омолона, Коркодона, Большого Анюя и Седедемы. Реже встречается в тех же отложениях Охотского побережья.

СЕМЕЙСТВО TRIGONIIDAE Lamarck

Род *Trigonia* Bruguière, 1789

Trigonia aff. *hemisphaerica* Lycett, 1850

Табл. 66, фиг. 2, 3

Раковина небольшая (до 30—35 мм в длину), равносторчатая, треугольного очертания, умеренно выпуклая, с тупыми выдающимися макушками, загнутыми назад (опистогирными). Задний край немного оттянут. На заднем поле раковины хорошо выражены два кия — наружный, иссеченный многочисленными концентрическими засечками, и внутренний, более слабый. Между ними заключена плоская или чуть вогнутая арея, покрытая решетчатой скульптурой, образовавшейся от пересечения концентрических ребрышек с немногочисленными более слабыми радиальными. Наиболее сильно приподнятое срединное ребрышко на арее образует слабо выраженный срединный киль, вдоль которого на правой створке проходит узкая бороздка, отсутствующая на левой створке. На последней вместо этого можно заметить предкилевую бороздку, идущую вдоль наружного кия. Щиток, располагающийся между внутренним килем и верхним краем, узкий, плоский, с линиями роста. Основная часть раковины, или ее переднее поле, покрыта многочисленными (до 25—30), равномерно расположенными, узкими, резкими, приподнятыми и приостренными концентрическими ребрами.

От типичного вида *T. hemisphaerica* Lycett из самых верхних слоев тоара Англии отличается меньшими размерами раковины, слабее выраженными радиальными элементами скульптуры на заднем поле и несколько большим количеством зарубок на внешнем киле.

Вид, часто встречающийся в бассейнах охотских рек, на полу-

острове Кони, реже в бассейнах рек Коркодона и Омолона, приурочен к наиболее верхним горизонтам тоарского яруса (?) и низам ааленского.

Род *Myophorella* Bayle, 1787

Подрод *Vaugonia* Crickmay, 1930

Myophorella (*Vaugonia*) *literata* (Young et Bird, 1828)

Табл. 42, фиг. 1—5

Раковина средней величины (до 45 мм в длину), треугольно-овального очертания, вытянутая в длину, умеренно выпуклая, с опистогирными макушками, смещенными к переднему краю. Узкая, покрытая тонкими густыми концентрическими ребрышками арея разделена узкой срединной бороздкой, расположенной ближе к внутреннему килю. Ограничивающие арею наружный и внутренний кили хорошо развиты и на молодой стадии роста покрыты бугорками, которые сглаживаются с возрастом. Щиток широкий, вогнутый, с линиями роста. Переднее поле створки покрыто двумя сериями ребер, соединяющимися между собой в средней части поля, ближе к переднему краю раковины, под острым углом, образуя рисунок латинского V, слегка наклоненного вперед. Ребра на задней части переднего поля имеют форму широких бугорчатых складок, почти отвесно спускающихся вниз от наружного кия и все более укорачивающихся по направлению к макушке. Ребра передней части переднего поля тонкие, нередко неправильно ветвящиеся и более густо расположенные; они следуют почти параллельно нижнему краю.

Вид известен из низов верхнетоарского подъяруса (зоны *Peronoseras spinatum*) бассейнов рек Омолона, Коркодона, Большого Анюя.

ОТРЯД HETERODONTA. РАЗНОЗУБЫЕ

СЕМЕЙСТВО LUCINIDAE Fleming

Род *Phacoides* Blainville, 1825

Phacoides sp.

Табл. 74, фиг. 2

Раковина небольшая (до 25 мм в длину), равносторчатая, округленно-овальная, умеренно выпуклая. Задний край несколько расширен по сравнению с полукруглым передним. Нижний край полого выпуклый. Макушки маленькие, приостренные на концах, выдающиеся, занимающие почти срединное положение на замочном крае и лишь слегка смещенные и повернутые вперед. От макушки к задне-верхнему углу створки проходит слабо

выраженная узкая депрессия, отделяющая пологую заднюю складку. Поверхность раковины гладкая; иногда бывают заметны слабые линии роста.

Байосские и батские отложения бассейнов рр. Омолона и Коркодона.

СЕМЕЙСТВО TANCREDIIDAE Lycett

Род *Tancredia* Lycett, 1850

Tancredia omolonensis Polubotko, sp. nov.

Табл. 30, фиг. 1—3

Происхождение названия: по р. Омолон, в бассейне которого вид широко распространен.

Голотип: табл. 30, фиг. 1.

Материал: более десяти внутренних и наружных ядер раковин, нередко захороненных в раскрытом состоянии.

Раковина средних размеров (длиной до 40 мм), равностворчатая, овально-клиновидного очертания, умеренно выпуклая, зияющая сзади. Задний край каждой створки укорочен и расширен, передний — удлинённый и суживающийся на конце. Задний край прямой, как бы усечённый; он под тупым углом соединяется с замочным краем и под углом около 70° с полого выпуклым нижним краем; последний далее плавно поднимается вверх и соединяется под округленным углом около 40° со скошенной передней ветвью замочного края. Отношение высоты створки к ее длине составляет 0,3. Макушка тупая, совершенно не обособленная, несколько сдвинутая к заднему краю. Верхняя часть створки как бы слегка подогнута внутрь по направлению к замочному краю. Поверхность раковины гладкая, покрытая лишь тонкими линиями роста. Замочный аппарат состоит из двух кардинальных зубов и слабых боковых. На внутренних ядрах хорошо видны передний и задний выпуклые мускульные отпечатки, соединенные простой мантижной линией, круто поднимающейся от заднего мускульного отпечатка к переднему.

Сравнение. От наиболее близкой *T. kuznetsovi* Petrova из среднего лейаса Северной Сибири отличается более длинной и менее высокой раковиной, ее менее резко суженной передней частью по сравнению с задней.

Широко распространенный вид в верхней части плинсбахского яруса бассейнов рек Омолона и Коркодона.

Tancredia sp.

Табл. 30, фиг. 4

Раковина до 30 мм в длину, овального очертания, усеченная на заднем конце, умеренно выпуклая. Передний ее край не настолько удлинён и сужён на конце, как у предыдущего вида,

а нижний край менее выпуклый. Отношение высоты створки к ее длине составляет 0,5—0,6. Макушка так же слабо обособлена, как у предыдущего вида, но менее приближена к заднему краю. От макушки к нижне-заднему углу раковины проходит полая, слабо выраженная депрессия, выше которой едва намечается слабый килевидный перегиб. Поверхность покрыта лишь тонкими линиями нарастания.

Верхняя часть плинсбахского яруса бассейна р. Омолона.

СЕМЕЙСТВО CARDIIDAE Lamarck

Род *Protocardia* Beyrich, 1845

Protocardia striatula (Phillips, 1835)

Табл. 42, фиг. 6, 7

Раковина маленькая (до 15 мм длиной), треугольно-овальная, равностворчатая, слабо неравносторонняя, выпуклая, с хорошо развитыми массивными, выдающимися, слегка загнутыми внутрь и повернутыми вперед макушками, занимающими центральное положение на коротком замочном крае. Передний край створки слабо выпуклый, плавно сливающийся с еще менее выпуклым нижним краем. Задний край спрямленный; он сливается с нижним почти под прямым округленным углом. От макушки к нижне-заднему углу створки проходит округлый и слабо выраженный килевидный перегиб, отделяющий заднее поле раковины. Его поверхность, включая и область перегиба, покрыта низкими уплощенными радиальными ребрами, которые в заднем направлении становятся все более тонкими и переходят в слабо заметные линии. Всего на заднем поле насчитывается 13—15 ребер. Остальная часть поверхности раковины покрыта лишь тонкими линиями роста.

Тоарские отложения бассейнов рр. Омолона и Коркодона.

ОТРЯД DESMODONTA. СВЯЗОЧНОЗУБЫЕ

СЕМЕЙСТВО PHOLADOMYIDAE Gray

Род *Pholadomya* Sowerby, 1823

Pholadomya idea Orbigny, 1850

Табл. 30, фиг. 5

Раковина крупная (до 85 мм в длину), равностворчатая, овальная, вытянутая в длину, выпуклая. Нижний край слабо выпуклый, передний и задний выпуклые, плавно округленные; отношение высоты створки к ее длине составляет 0,7. Макушки

массивные, выдающиеся, загнутые внутрь и слегка повернутые вперед, сильно смещенные к переднему краю. Позади макушек имеется хорошо развитый, широкий щиток. Спереди и сзади раковина зияет. Раковина украшена 12—13 сильными радиальными ребрами, имеющими слегка скошенное направление от макушки к нижнему краю. Первое переднее ребро наиболее сильное и высокое. Впереди него, помимо упомянутых 13 ребер, наблюдается еще три очень слабых ребра, не доходящих до нижнего края. Позади макушки вблизи верхнего края также можно заметить 3—5 слабых и коротких ребрышек, самое крайнее из которых ограничивает щиток. Ребра пересечены густыми и неравномерными по силе концентрическими линиями роста и морщинками, благодаря чему они имеют слабо бугорчатый характер.

Плинсбахский ярус бассейнов рр. Омолона и Коркодона.

Pholadomya ambigua Sowerby, 1818

Табл. 31, фиг. 1

Раковина крупная (до 110 мм в длину), сильно вытянутая в длину, вздутая. Передний край укорочен и очерчен сильно выпуклой дугой; задняя часть раковины удлинена и плавно округлена на конце. Нижний край слабо выпуклый, плавно сливающийся с передним и задним. Верхне-задний угол раковины у крупных экземпляров слегка приподнят. Отношение высоты к длине составляет 0,6, а толщины к длине — 0,5. Макушки широкие, слабее приподнятые над замочным краем, чем у предыдущего вида, и так же сильно смещенные вперед. Щиток короткий, слабо отграниченный. Сзади раковина зияет. От макушки к нижнему краю отходят 9—10 сильно скошенных невысоких и округленных радиальных ребер, реже расставленных у переднего края и сгущающихся по направлению к задней части раковины. Большая часть последней лишена радиальных ребер и только на заднем склоне макушки можно заметить 4—5 слабых и коротких радиальных ребрышек. Самое переднее ребро обычно самое низкое, расплывчатое и слабо заметное.

От *Ph. idea* отличается сильно оттянутой задней частью и меньшим количеством более слабых и шире расставленных радиальных ребер.

Плинсбахский ярус бассейнов рр. Омолона и Коркодона.

Род *Bureiamya* Voronetz, 1937

Bureiamya ordinata Polubotko, sp. nov.

Табл. 32, фиг. 2

Происхождение названия: *ordinatus* — правильный; по прямой, почти равносторонней раковине.

Голотип: табл. 32, фиг. 2а, б.

Материал: более 20 внутренних ядер с сомкнутыми створками хорошей и удовлетворительной сохранности.

Раковина среднего размера (до 35 мм в высоту), равносторчатая, близкого к округлому очертания, прямая, лишь немного вытянута по высоте. Передний и задний края створки плавно выпуклые, одинаковой длины; нижний довольно сильно выпуклый; замочный край короткий, изогнутый. Макушки узкие, высокие, загнутые внутрь и повернутые вперед, занимающие центральное положение на замочном крае. Луночка и щиток отсутствуют. Поверхность створки пересекают два киля, близко расположенные один к другому. Один из них проходит от макушки к передне-нижнему углу створки, другой — от макушки к середине нижнего края. Поверхность пересечена многочисленными концентрическими морщинами и линиями роста.

Сравнение. Новый вид более всего напоминает *B. voronetzae* Polubotko из верхнего триаса Охотского побережья, с которым его сближает высокое и почти нескошенное очертание раковины, наличие двух килей. *B. ordinata* sp. nov. отличается от этого вида сильнее выдающейся и менее приближенной к переднему краю макушкой и иным очертанием задней части раковины. От всех известных юрских представителей этого рода новый вид отличается прямой и почти равносторонней раковиной.

Плинсбахский ярус бассейнов рек Омолона, Коркодона, Большого Аноя.

Bureiamya sp.

Табл. 32, фиг. 3

Раковина среднего размера (до 35 мм в длину), косо-овального очертания, оттянутая в нижне-заднем направлении, с высотой, равной длине. Передний край почти вдвое короче заднего; все края створки выпуклые, плавно сливающиеся один с другим. Макушки менее высокие и выдающиеся, чем у *B. ordinata* sp. nov. Задняя ветвь замочного края немного длиннее передней. Два килевидных перегиба отчетливо выражены. Поверхность покрыта только линиями роста. Кроме того, можно заметить 4—5 слабых концентрических пережимов.

Плинсбахский и тоарский ярусы бассейнов рр. Омолона, Коркодона и Охотского побережья.

Bureiamya aff. *cardisoidiformis* Voronetz, 1938

Табл. 106, фиг. 1

Раковина среднего размера, угловатых очертаний, равносторчатая, с большой выпуклостью в центральной части створок. Задняя часть раковины суженная и оттянутая; передняя — короткая и широкая. Нижний край полого-выпуклый, почти под

прямым углом соединяющийся с усеченным задним краем, последний под тупым углом соединяется с наклоненным замочным краем. Передний край спрямленный. Макушки выдающиеся, повернутые вперед и загнутые внутрь. От макушки к задне-нижнему углу раковины проходит килевидное возвышение. Передний килевидный перегиб развит слабо. Поверхность покрыта концентрическими линиями нарастания.

От типичного вида *V. cardisoidoformis* Voronetz отличается меньшей вздутостью раковины и сильнее оттянутым задним краем.

Верхнеюрские отложения бассейна р. Колымы и Охотского побережья.

Род *Goniomya* Agassiz, 1838

Goniomya rhombifera (Goldfuss, 1834—1840)

Табл. 42, фиг. 8

Раковина небольшая (до 25 мм в длину), равностворчатая, удлинненно-овальная, выпуклая, тонкостенная. Передний и задний края короткие, выпуклые, нижний длинный, слабо выпуклый. Макушки хорошо обособленные, выдающиеся, приближенные к переднему краю, слегка загнутые внутрь и повернутые вперед. Хорошо развиты удлинненная луночка и щиток, покрытые только тонкими линиями роста. От макушки к нижне-заднему углу створки проходит килевидный перегиб, отделяющий узкое, вогнутое заднее поле, ограниченное сверху вторым более коротким килевидным перегибом, за которым находится щиток. Это вогнутое пространство, как и щиток, покрыто только линиями роста. Основная часть раковины покрыта довольно резкими, равномерно расположенными ребрами, образующими трапециевидный рисунок. Длина горизонтальных участков ребер равномерно увеличивается от макушки к нижнему краю.

Тоарские отложения бассейнов рр. Омолона и Коркодона; реже встречается в тех же отложениях Охотского побережья.

Goniomya sp.

Табл. 42, фиг. 9

Раковина достигает 30—35 мм в длину, треугольно-овального очертания, укороченная, с длиной, лишь немного превышающей высоту. Макушки приостренные, выдающиеся, повернутые вперед, близко придвинутые к переднему краю. Как и у вышеописанного вида, имеется гладкое, узкое, но слабее вогнутое закилевое поле и узкая короткая депрессия спереди, перед луночкой. В отличие от *G. rhombifera* трапециевидные ребра у данного вида кончаются в верхней трети раковины, а ниже продолжают лишь редкие и грубые косые радиальные ребра, направленные от боков створки к ее середине, но не соединяющиеся и раз-

деленные гладким пространством. Вся поверхность пересечена тонкими линиями роста.

Тоарские отложения бассейна р. Коркодона.

Goniomya dubois Agassiz, 1843

Табл. 106, фиг. 4

Раковина удлинненно-четыреугольных очертаний, с длиной, почти в 2 раза превосходящей высоту, слабо выпуклая, с наибольшей выпуклостью в верхней половине. Макушки относительно широкие, слабо выступающие, отстоящие от переднего края на $\frac{1}{4}$ длины замочного края. Последний слабо изогнутый, длинный. Нижний край слабо выпуклый. Задний край соединяется с замочным краем под тупым углом, а с нижним — почти под прямым углом. Передний край слегка косо усечен. Поверхность раковины покрыта уплощенными V-образными ребрами, более расширенными на передней и задней частях раковины. У замочного, а также у переднего и заднего краев ребра заступают, и на этих участках выступают лишь концентрические морщинки и линии нарастания. Линия перегиба ребер слабо отклонена назад.

Верхнеюрские отложения бассейна р. Большого Анюя.

СЕМЕЙСТВО PLEUROMYIDAE Zittel

Род *Pleuromya* Agassiz, 1842

Pleuromya galathea Agassiz, 1842—1845

Табл. 31, фиг. 2; табл. 32, фиг. 1

Раковина среднего размера (до 60 мм в длину), равностворчатая, удлинненно-овального очертания, умеренно выпуклая, тонкостенная. Передний и задний края створки выпуклые, плавно сливающиеся с нижним. Передняя часть раковины сильно укорочена по сравнению с задней. Макушки хорошо развитые, выдающиеся, повернутые вперед; они лежат на $\frac{1}{3}$ длины раковины от ее переднего края. Наибольшая выпуклость расположена в передне-верхней части раковины. Имеются слабо отграниченные луночка и щиток. На заднем склоне макушки слабо намечается килевидный перегиб. Поверхность покрыта концентрическими линиями и морщинами нарастания.

Нижняя юра многих районов Северо-Востока СССР. Наиболее часто встречается в плинсбахском ярусе.

Pleuromya aff. *rugosa* (Goldfuss, 1834—1840)

Табл. 106, фиг. 2

Раковина равностворчатая, резко неравносторонняя, умеренно и равномерно выпуклая, косо-овальных очертаний, с расширенной задней и суженной короткой передней частями, с выдаю-

щимися над замочным краем прямыми и слегка загнутыми внутрь макушками. В передней части раковины от макушек к нижнему краю проходит неглубокая депрессия. Поверхность раковины покрыта концентрическими линиями и морщинами.

От типичного вида — *P. rugosa* (Goldfuss) из средней юры Западной Европы, отличается несколько большей длиной раковины и более расширенной задней ее частью.

Верхнеюрские отложения бассейна р. Колымы.

Pleuromya raporeformis Efimova, sp. nov.

Табл. 106, фиг. 3

Происхождение названия: по внешнему сходству с двустворками рода Рапоре.

Голотип: табл. 106, фиг. 3а, б.

Материал: одно внутреннее ядро с сомкнутыми створками и около пяти обломков ядер.

Раковина сильно вытянутая в длину, резко неравносторонняя, выпуклая, с короткой передней и удлиненной задней частями, с широкими загнутыми внутрь макушками, расположенными на расстоянии $\frac{1}{6}$ длины раковины от переднего края. Передний конец раковины округлен, задний — усеченный и под тупым углом соединяющийся с замочным. Нижний край полого-выпуклый.

Сравнение. *Pleuromya raporeformis* sp. nov. по очертанию раковины имеет небольшое сходство с *P. tellina* Agassiz, но сильно отличается размерами раковины, более узкими макушками и усеченным задним краем.

Нижний волжский подъярус р. Большого Аноя.

КЛАСС СЕРИАЛОРОДА. ГОЛОВОНОГИЕ

ПОДКЛАСС ЕСТОСОСНІІА. НАРУЖНОРАКОВИННЫЕ

ОТРЯД АММОНИТИДА. АММОНИТЫ

СЕМЕЙСТВО PHYLLOCERATIDAE Zittel

Род *Calliphylloceras* Spath, 1924

Calliphylloceras sp.

Табл. 81, фиг. 2, 3

Раковина среднего размера (до 60 мм в диаметре), инволютная, сжатая с боков. Наружная сторона узкая, закругленная. Сечение последнего оборота высоко-овальное. Пупок очень узкий, близкий к воронковидному. Пережимы на ядрах, соот-

ветствующие внутренним валикам на раковине, выражены очень слабо или вовсе отсутствуют. Скульптура состоит из нитевидных ребер, которые обычно не сохраняются, и поверхность выглядит гладкой.

Байосские отложения Алазейского плоскогорья.

Род *Holcophylloceras* Spath, 1927

Holcophylloceras cf. *costisparsum* Imlay, 1964

Табл. 81, фиг. 4

Раковина крупная, сильно инволютная. Обороты уплощенно-овальные, почти нацело перекрывают предыдущие. Наружная сторона округлая, умеренно узкая. Она плавно соединяется со слабо выпуклыми боками. Пупок очень узкий. На ядре имеется 7 пережимов на последнем обороте. Боковые поверхности покрыты низкими, уплощенными и тесно расположенными ребрами, четко выраженными только в их верхней части.

От типичного экземпляра *H. costisparsum* Imlay из нижнебайосских отложений Южной Аляски отличается меньшей толщиной оборота, что, вероятно, можно объяснить деформацией нашего экземпляра.

Байосский ярус Алазейского плоскогорья.

СЕМЕЙСТВО PSILOCERATIDAE Hyatt

Род *Psiloceras* Hyatt, 1867

Psiloceras (*Psiloceras*) cf. *planorbe* (Sowerby, 1824)

Табл. 9, фиг. 5, 6

Сильно эволютная раковина, с медленно нарастающими и слабо объемлющими оборотами. Уплощенные, слабо выпуклые боковые стороны плавно переходят в узкую, округлую наружную сторону и также плавно соединяются со стенками пупка. Пупок широкий. Поперечное сечение оборотов представляет сильно вытянутый в высоту овал, где высота почти в два раза больше толщины. Боковые поверхности покрыты тонкими струйками нарастания.

Геттангский ярус, зона *Psiloceras planorbe* Охотского побережья и бассейна р. Омолона.

Psiloceras (*Psiloceras*) *suberugatum* Chudoley et Polubotko, 1960

Табл. 9, фиг. 1, 2, 4

Раковина уплощенная, с медленно нарастающими и слабо объемлющими оборотами. Наружная сторона широкая, округлая. Слегка уплощенные боковые стороны плавно переходят

вверху в наружную сторону, а внизу в пологие стенки пупка. Пупок широкий. Поперечное сечение оборотов представляет овал со слегка уплощенными боковыми сторонами. На раковинах диаметром до 8 мм боковые стороны покрыты простыми, прямыми, наклоненными назад ребрами. Ребра начинаются у пупкового и заканчиваются у внешнего перегиба, не переходя на наружную сторону. Ребра расположены редко, промежутки между ними превышают их ширину в 4—5 раз. Более поздние обороты гладкие и покрыты тонкими, наклоненными к устью раковины струйками нарастания. Лопастная линия характеризуется узкой наружной лопастью и трехветвистыми седлами и лопастями.

Геттангский ярус, зона *Psiloceras planorbis* Охотского побережья и бассейна р. Омолона.

Psiloceras (Psiloceras) viligense Chudoley et Polubotko, 1960

Табл. 9, фиг. 3

Раковина небольшая, уплощенная, с медленно нарастающими и слабо объемлющими оборотами, с широким пупком. Поперечное сечение оборотов широко-овальное; толщина больше высоты. Боковые и наружная стороны оборотов слегка уплощены. Бока раковины (до диаметра в 22 мм) покрыты прямыми, наклоненными назад ребрами в количестве 12—13 на одном обороте. Ребра расположены редко, промежутки между ними превышают их ширину в 4—5 раз. Они начинаются у пупкового перегиба, в верхней части боковых сторон наблюдаются утолщения ребер, после которых на внешней стороне оборота ребра почти исчезают, и на раковине имеются резко изогнутые в сторону устья дугообразные складки. На более поздних стадиях роста раковины ребра ослабевают и теряются среди струек нарастания. Жилая камера гладкая и покрыта тонкими струйками нарастания. Лопастная линия такая, как у *P. suberugatum*.

Геттангский ярус, зона *Psiloceras planorbis* Охотского побережья.

Psiloceras (Franziceras?) primulum Repin, sp. nov.

Табл. 10, фиг. 1, 2

Происхождение названия: *primulus* — первый; по положению в разрезе юрских слоев.

Голотип: табл. 10, фиг. 1.

Материал: более трех десятков обломков и полных ядер различной сохранности.

Раковина умеренно эволютная, дисковидная. Боковые поверхности слабо выпуклые. Вентральная сторона довольно узкая, округлая. Пупок широкий, плоский с пологими стенками.

Скульптура представлена простыми ребрами. Они начинаются на пупковом перегибе, где слегка наклонены вперед, на боках прямые, почти строго радиальные, а на вентральном перегибе делают плавный изгиб к устью. Наиболее сильно ребра выражены на боках, ближе к вентральной стороне они становятся ниже, расплываются и как будто затухают.

Лопастная линия псилоцерасового типа.

Размеры голотипа в мм:

диаметр раковины	37 (100%)
ширина пупка	13,2 (36%)
высота последнего оборота	12,9 (35%)
количество ребер на последнем обороте	27

Сравнение. По форме раковины и характеру ребристости данный вид можно было бы отнести к роду *Waehneroceras* (= *Storthoceras*), но по характеру лопастной линии он ближе к роду *Psiloceras*.

От ребристых видов *Psiloceras*, таких, как *P. canadense* Frebold и *P. geissi* Tilmann, новый вид отличается меньшей толщиной оборота и менее широкой вентральной стороной. Асимметрия лопастной линии, характерная для *P. canadense* и *P. geissi*, на наших экземплярах не наблюдалась.

Геттангский ярус, зона *Psiloceras planorbis* бассейнов рек Омолона и Вилиги.

СЕМЕЙСТВО SCHLOTHEIMIIDAE Spath

Род *Waehneroceras* Hyatt, 1889

Waehneroceras angustum A. Dagis, 1964

Табл. 11, фиг. 1—3

Довольно крупная уплощенная раковина. Обороты умеренно объемлющие. Наружная сторона узкая, округленная. Почти параллельные бока вверху плавно соединяются с наружной стороной, а внизу круто переходят в низкие отвесные стенки пупка. Пупок широкий. Обороты высокие, округленно-прямоугольные. Наибольшая толщина оборота оборота находится вблизи пупкового перегиба. Бока покрыты очень слабо серпообразно изогнутыми простыми ребрами. На раковинах малого диаметра (до 15 мм) ребра узкие, заостренные, высокие; они пересекают наружную сторону, образуя дугообразный выгиб в сторону устья. С возрастом диаметра раковины ребра становятся грубее и шире. Промежутки, разделяющие ребра, равны им по ширине. На жилой камере ребристость ослабевает и становится слабо заметной. На сохранившемся раковинном слое бывают видны тонкие струйки нарастания, параллельные ребрам. Лопастная линия

умеренно рассеченная. Наружная лопасть рассечена высоким срединным седлом на две ветви, первая боковая лопасть трехветвистая, наиболее глубокая и широкая. Наружное седло широкое с округлыми окончаниями. Первое боковое седло уже и выше наружного.

Геттангский ярус, зона *Alsatites liasicus* Охотского побережья.

Waehneroceras armanense Repin, sp. nov.

Табл. 12, фиг. 1

Происхождение названия: по находению остатков вида в бассейне р. Армань.

Голотип: табл. 12, фиг. 1 а—г.

Материал: две раковины хорошей сохранности.

Весьма эволютная крупная раковина с очень широким пупком ($\frac{П}{Д} = 0,52$). Слабо выпуклые боковые поверхности вверху постепенно сходятся и плавно переходят в довольно широкую, округлую наружную сторону. Внизу они также плавно переходят в отлогие, низкие стенки пупка. Поперечное сечение округленно-трапецевидное, с высотой, немного превышающей толщину ($\frac{T}{B} = 0,85$). Наибольшая толщина находится вблизи пупкового перегиба. Раковина покрыта многочисленными прямыми простыми ребрами, которые на ранних оборотах направлены по радиусу, а на поздних наклонены в сторону устья. На внутренних оборотах ребра толстые, округлые, тесно расположены. Промежутки, разделяющие ребра, меньше их ширины. При подходе к наружной стороне ребра затухают и через нее не переходят. На жилой камере ребра сильнее наклонены в сторону устья. Толщина ребер здесь относительно меньше, и они пересекают наружную сторону в виде тонких ребрышек. Лопастная линия характеризуется седлами с округло-листовидными окончаниями. Наружная лопасть неглубокая и узкая. Первая боковая лопасть шире и глубже.

Сравнение. *Waehneroceras armanense* отличается от более близкого *Waehneroceras angustum* A. Dagys более широким пупком, округлыми оборотами, большим количеством ребер и лепестковидными окончаниями седел лопастной линии.

Геттангский ярус, зона *Alsatites liasicus* Охотского побережья.

Род *Schlotheimia* Bayle, 1878

Schlotheimia ex gr. angulata (Schlotheim, 1820)

Табл. 12, фиг. 2—4

Раковина небольшая с мало объемлющими оборотами. Выпуклые боковые стороны вверху плавно переходят в округлую наружную сторону, а внизу через крутой пупковый перегиб сое-

диняются со стенками пупка. Пупок умеренно широкий, имеет крутые стенки. Поперечное сечение оборота овальное, с высотой, немного превышающей толщину. Наибольшая толщина оборота приходится на его середину. Скульптура представлена простыми многочисленными и грубыми ребрами. Ребра начинаются на пупковом перегибе и направлены вначале прямо, а чуть пониже середины оборота они наклоняются в сторону устья и заходят на наружную сторону, но не пересекают ее. Здесь ребра разделены узкой, гладкой бороздкой.

Геттангский ярус, зона *Schlotheimia angulata* бассейнов рек Омолона и Коркодона.

Schlotheimia ? sp.

Табл. 10, фиг. 3

Раковины крупные, уплощенные. Обороты слабо объемлющие и медленно нарастающие по высоте. Толщина оборота точно не может быть установлена, но, вероятно, она не превосходит высоту оборота. Боковые стороны покрыты частыми одиночными ребрами. Из-за деформации раковин нельзя решить, есть ли на вентральной стороне бороздка, разделяющая окончания ребер, как у рода *Schlotheimia*, или происходит простое затухание ребер. Частично удалось восстановить лопастную линию, которая характеризуется сильной рассеченностью лопастей и седел и провисающими вспомогательными элементами и близка лопастной линии рода *Schlotheimia*.

Геттангский ярус, зона *Alsatites liasicus* бассейнов рек Омолона и Коркодона.

Род *Angulaticeras* Quenstedt, 1883

Angulaticeras kolymicum Repin, sp. nov.

Табл. 17, фиг. 2—4

Происхождение названия: по широкому распространению остатков вида в бассейне р. Колымы.

Голотип: табл. 17, фиг. 3.

Материал: более ста ядер различной сохранности.

Раковина полуинволютная, среднего размера. Высокоовальные обороты умеренно нарастают в высоту. Боковые стороны, округлые на ранних оборотах, с увеличением диаметра раковины уплощаются. Наружная сторона слабо выпуклая, на ранних оборотах умеренно широкая, с возрастом становится уже. Переход боков в наружную сторону плавный, округлый. Внизу боковые поверхности через крутой перегиб переходят в отвесные стенки пупка. Пупок умеренно широкий. Скульптура состоит из очень слабо серпообразно изогнутых ребер. Ребра многочисленные

(60 на последнем обороте), узкие, довольно высокие. Вблизи пупкового перегиба они ветвятся на два, реже три ребра. Наружную сторону они не пересекают, здесь ребра разделены узкой гладкой бороздой. Лопастная линия характеризуется сильной рассеченностью лопастей и седел.

Сравнение. *Angulaticeras kolymicum* отличается от всех известных представителей рода *Angulaticeras* более грубыми ребрами.

Синемюрский ярус, зона *Angulaticeras kolymicum* бассейнов среднего течения р. Колымы, рек Омолона, Коркодона, Гижиги.

СЕМЕЙСТВО ARIETITIDAE Hyatt

Род *Arietites* Waagen, 1869

Arietites libratus Repin, sp. nov.

Табл. 13, фиг. 1, 2; табл. 14, фиг. 1; табл. 16, фиг. 1

Происхождение названия: *libratus* — мощный; по форме оборота и характеру скульптуры.

Голотип: табл. 14, фиг. 1; табл. 16, фиг. 1.

Материал: более 30 целых ядер хорошей сохранности и обломков ядер.

Раковина крупная (до 200 мм в диаметре), массивная, эволютная. Округлые, толстые ($\frac{T}{B} = 1,25$) обороты слабо объемлют предыдущие и медленно возрастают в высоту. Широкая наружная сторона слабо выпуклая. Посередине ее проходит широкий, округленно-крышеобразный киль. Последний отграничен с каждой стороны мелкой и узкой бороздкой. На небольших раковинах эти бороздки выражены в меньшей степени. Округлые боковые поверхности постепенно сходятся по направлению к внутреннему краю оборота, из-за чего наибольшая толщина оборота приходится на его верхнюю часть. Внизу бока через округлый, но крутой пупковый перегиб соединяются со стенками пупка. Пупок широкий. Скульптура представлена простыми, сильными ребрами. Ребра прямые, начинаются на стенках пупка, достигают наибольшей силы в месте перехода боков в наружную сторону. Здесь они слегка изгибаются в сторону устья и затухают. Промежутки, разделяющие ребра, примерно в два раза больше ширины самих ребер. Лопастная линия характеризуется значительно расчлененными лопастями и седлами.

Размеры голотипа в мм:

диаметр раковины	151 (100%)
боковая высота оборота	42,6 (28%)
толщина оборота	56,1 (37%)
ширина пупка	85,8 (57%)

Сравнение. От наиболее близкого вида *Arietites bucklandi* (Sowerby) описываемый вид отличается более толстым сечением оборота и широкой вентральной стороной. Эти же признаки еще в большей мере отличают его от других видов рода *Arietites*.

Синемюрский ярус, зона *Arietites bucklandi* бассейнов рек Омолона, Коркодона, Гижиги и Вилиги.

Род *Coroniceras* Hyatt, 1867

Coroniceras (*Paracorniceras*) *siverti* (Tuchkov, 1954)

Табл. 15, фиг. 1; табл. 16, фиг. 2

Раковина крупная (до 200 мм в диаметре), эволютная. Обороты медленно возрастающие и слабо объемлющие. Поперечное сечение ранних оборотов уплощенно-овальное, с наибольшей толщиной примерно посередине. Сечение же последнего оборота приобретает вид высокой округлой трапеции, и его наибольшая толщина смещается к пупковому перегибу. Боковые поверхности слабо выпуклые. Вверху они довольно резко переходят в умеренно широкую, уплощенную наружную сторону. Посередине последней проходит хорошо выраженный киль, ограниченный с каждой стороны узкой мелкой бороздкой. В нижней части бока круто перегибаются в отвесные и даже слегка подвернутые стенки пупка. Пупок широкий ($\frac{П}{Д} = 0,5$). Боковые поверхности покрыты простыми сильными ребрами. Ребра имеют форму высокой крыши.

Синемюрский ярус, зона *Coroniceras siverti* бассейнов рек Омолона и Коркодона.

Род *Eparietites* Spath, 1924

Eparietites cf. *denotatus* (Simpson, 1855)

Табл. 17, фиг. 1

Раковина крупная, уплощенная. Обороты высокие, умеренно объемлющие. Наружная сторона узкая, почти плоская, имеет высокий, тонкий киль. Боковые стороны постепенно сходятся к наружной, соединяясь с последней резким угловатым перегибом. Пупковый перегиб округлый, крутой. Довольно широкий пупок имеет отвесные стенки. Наибольшая толщина оборота находится вблизи пупкового перегиба. Бока покрыты простыми прямыми ребрами. Ребра высокие и широкие, имеют округло-крышеобразную форму. Промежутки между ребрами примерно равны им по ширине.

Синемюрский ярус, зона *Coroniceras siverti* бассейнов рек Коркодона и Омолона.

СЕМЕЙСТВО AMALTHEIDAE Hyatt

Род *Amaltheus* Montfort, 1808

Amaltheus (*Amaltheus*) cf. *margaritatus* Montfort, 1808

Табл. 35, фиг. 3

Раковина уплощенная, дисковидная. Обороты узкие и высокие. Поперечное сечение высокое, стреловидное. Наибольшая толщина оборота находится в нижней части боковых сторон. Боковые стороны слабо выпуклые и постепенно сближаются кверху, незаметно переходя в наружную поверхность. На ней прослеживается киль, покрытый косо наклоненными ребрышками. Пупковый край округлый. Пупок узкий, имеет отвесные, низкие стенки. Боковые стороны покрыты простыми, слабо серповидно изогнутыми ребрами. Внизу ребра уже и выше. В верхней части ребра становятся более широкими и расплывчатыми, с ребрышками кия они не соединяются. Ребрышки кия короткие, толстые. Число их больше количества ребер на боках.

Плинсбахский ярус, зона *Amaltheus talrosei* бассейна р. Большого Анюя и Алазейского плоскогорья.

Amaltheus (*Amaltheus*) *stokesi* (Sowerby, 1818)

Табл. 36, фиг. 2

Раковина небольшая, уплощенная. Обороты узкие, высокоэллиптические; наибольшая толщина оборотов находится посередине. Боковые стороны слабо выпуклые; их переход в наружную сторону постепенный. Посередине последней проходит киль, покрытый косо расположенными ребрышками. Пупковый перегиб округлый. Пупок умеренно широкий, имеет отвесные невысокие стенки. Боковые поверхности покрыты простыми, наклоненными в сторону устья ребрами. Ребра частые и довольно высокие.

Плинсбахский ярус, зона *Amaltheus stokesi* Алазейского плоскогорья и бассейна р. Омолона.

Amaltheus (*Amaltheus*) *talrosei* Repin, sp. nov.

Табл. 37, фиг. 1—2

Происхождение названия: в честь переводчика палеонтологической литературы Б. А. Тальрозе.

Голотип: табл. 37, фиг. 2 а, б.

Материал: более 30 раковин хорошей сохранности.

Раковина крупная, округленно-дисковидная. Обороты объемлют предыдущие почти наполовину (0,40—0,45) и умеренно нарастают в высоту. Боковые стороны слегка уплощены, незаметно переходят в узкую наружную поверхность. Последняя имеет умеренно высокий киль, покрытый грубыми ребрышками,

придающими киль характерный зазубренный вид. Внизу бока округлым пупковым перегибом соединяются с отвесными стенками пупка. Пупок широкий, с низкими стенками. Скульптура представлена ребрами, которые начинаются на пупковом перегибе. Ребра простые, серповидно изогнутые. На боках они довольно высокие и широкие, при подходе к наружной стороне делают сильный изгиб к устью, становятся расплывчатыми, уменьшаются по высоте и встречаются с килем под острым углом. Количество ребрышек кия превосходит число ребер на боках в 1,8 раза. Лопастная линия характеризуется широкой и короткой наружной лопастью. Первая боковая лопасть трехлопастная, такой же ширины, но значительно длиннее. Седла глубоко рассечены. Наружное седло наиболее широкое и высокое. Изменчивость внутри вида выражается в колебаниях ширины пупка ($\frac{П}{Д} = 0,35—0,42$).

Размеры голотипа в мм:

диаметр раковины	52 (100%)
боковая высота оборота	19,4 (37%)
толщина оборота	11,8 (23%)
ширина пупка	20 (38,4%)

Сравнение. *Amaltheus talrosei* отличается от наиболее близкого *Amaltheus margaritatus* Montfort меньшей высотой оборота, более уплощенными боками, меньшим числом очень грубых ребрышек кия и отсутствием настоящих бугорков на внутренних оборотах.

Плинсбахский ярус, зона *Amaltheus talrosei* бассейнов рек Омолона и Коркодона.

Amaltheus (*Amaltheus*) aff. *talrosei* Repin, sp. nov.

Табл. 34, фиг. 2

Маленькая форма, близкая виду *A. talrosei* соответствующего диаметра. Отличается от последней меньшей толщиной оборота и меньшим пупком.

Плинсбахский ярус верховьев р. Балыгычана.

Amaltheus (*Amaltheus*) *subbifurcus* Repin, sp. nov.

Табл. 34, фиг. 1

Происхождение названия: по сходству с видом *A. bifurcus* Howarth.

Голотип: табл. 34, фиг. 1.

Материал: одно ядро хорошей сохранности и два отпечатка.

Раковина эволютная, среднего размера. Вентральная сторона довольно широкая, имеет низкий и широкий киль. Бока слабо выпуклые, округлым пупковым перегибом соединяются с круты-

ми и низкими стенками пупка. Пупок широкий. Сечение оборота имеет вид низкого овала с наибольшей толщиной, приходящейся на вентральный перегиб. Скульптура состоит из прямых грубых ребер, незначительно отклоняющихся назад. По форме ребра округло-треугольные. На вентральном перегибе ребра уменьшаются в высоте, расширяются и круто (под углом 65—75°) отклоняются к устью. В месте перегиба большинство ребер делится на два внешних ребрышка, которые по размерам меньше основных ребер. Внешние ребрышки пересекают вентральную сторону, не прерываясь, на киле слегка усиливаются. Лопастная линия сильно изрезанная. Вентральная лопасть двуконечная, широкая и короткая. Вторая боковая лопасть значительно уже и короче первой. Седла сложно и глубоко рассечены, из них первое боковое доминирует над остальными.

Размеры голотипа в мм:

диаметр раковины	62,3 (100%)
боковая высота оборота	20,9 (33,5%)
толщина оборота	16,4 (26%)
ширина пупка	26,3 (42%)
коэффициент ветвления ребер	$\frac{42}{26} = 1,61$

Сравнение. От вида *Amaltheus bifurcus* Howarth отличается широким пупком, меньшей высотой оборота и грубыми, отклоняющимися назад ребрами. От *A. evolutus* Buckman новый вид отличается большей толщиной оборота и грубым килем, ребрышки которого соединяются с окончаниями ребер.

Плинсбахский ярус, зона *Amaltheus stokesi* бассейна р. Омолона.

Amaltheus (Amaltheus) extremus Repin, sp. nov.

Табл. 35, фиг. 1

Происхождение названия: *extremus* — крайний, последний; по положению в ряду развития амальтеид на Северо-Востоке.

Голотип: табл. 35, фиг. 1 а—в.

Материал: три раковины хорошей сохранности.

Уплощенно-дисковидная раковина с умеренно объемлющими оборотами. Боковые стороны слегка выпуклые. Наружная сторона узкая, покрыта тонкими ребрышками, наклоненными к устью. Пупок умеренно узкий, имеет отвесные низкие стенки. Боковые стороны покрыты ребрами, которые внизу почти прямые, а на наружной стороне изгибаются вперед. В месте изгиба ребра становятся распылчатыми и затухают.

Сравнение. Описываемый вид отличается от *Amaltheus reticularis* (Simpson) из домера Англии сильнее развитой скульптурой, а от *A. stokesi* (Sow.) — более толстыми оборотами.

Плинсбахский ярус, зона *Amaltheus extremus* бассейна р. Омолона.

Amaltheus (Amaltheus) aff. striatus Howarth, 1955

Табл. 34, фиг. 3

Раковины маленькие, умеренно эволютные. Боковые поверхности слабо выпуклые. Вентральная сторона округлая, несет четкий киль, покрытый тонкими наклоненными вперед ребрышками. Бока покрыты невысокими прямыми ребрами, слегка наклоненными вперед. На вентральном перегибе ребра затухают и не соединяются с многочисленными тонкими ребрышками кила. Пупок плоский, умеренно широкий. Поперечное сечение оборота имеет вид овала.

Плинсбахский ярус, зона *Amaltheus talrosei* бассейна р. Омолона.

Подрод *Nordamaltheus* Repin, subgen, nov.

Типовой вид — *Amaltheus (Nordamaltheus) viligaensis* (Tuchkov).

Новый подрод отличается от *Amaltheus s. str.* и подрода *Pseudomaltheus* Frebold более толстыми оборотами, наибольшая толщина которых приходится на середину оборота, и относительно широкой вентральной стороной, а от *Amaltheus s. str.*, кроме того, и отсутствием настоящего веревочного кила.

Amaltheus (Nordamaltheus) viligaensis (Tuchkov, 1954)

Табл. 33, фиг. 1—5; табл. 37, фиг. 3

Небольшие раковины образованы умеренно объемлющими оборотами. Поперечное сечение оборотов округлое, наибольшая толщина приходится на середину оборота. Пупок умеренно широкий ($\frac{П}{Д} = 0,36—0,40$), чашеобразный, с очень низкими стенками. Вентральная сторона имеет вид округлой крыши. Боковые поверхности покрыты простыми, довольно сильными ребрами, которые в нижней части оборота наклонены вперед, а затем отгибаются назад и идут по радиусу. Перейдя середину оборота, ребра сглаживаются и исчезают. На вентральной стороне некоторых ядер заметны тонкие струйки, наклоненные к устью и пересекающие вентральную сторону.

Плинсбахский ярус, зона *Amaltheus talrosei* бассейнов рек Омолона и Вилиги.

Amaltheus (Nordamaltheus ?) bulunensis Repin, sp. nov.

Табл. 35, фиг. 2

Происхождение названия: по реке Булун (Рассоха), откуда происходят остатки вида.

Голотип: табл. 35, фиг. 2а, б.

Материал: три ядра раковин удовлетворительной сохранности.

Раковина среднего размера. Обороты высокие, овальные, умеренно толстые. Они более чем наполовину объемлют предыдущие обороты и довольно быстро нарастают в высоту. Боковые стороны выпуклые. Они плавно соединяются с довольно широкой наружной стороной. Последняя покрыта прямыми, частыми, косо расположенными ребрышками. Внизу бока крутым перегибом соединяются с отвесными стенками пупка. Пупок средней ширины. Раковина покрыта одиночными прямыми ребрами. Ребра наклонены в сторону устья. По форме они округленно-треугольные. Промежутки между ребрами чуть больше ширины последних. Ребра затухают, не доходя до наружной стороны, так что они не соединяются с ребрышками, покрывающими ее. Количество ребрышек на вентральной стороне в 2,5 раза больше числа ребер на боках. Лопастная линия имеет короткую наружную лопасть, по ширине равную первой боковой. Первая боковая лопасть длинная, трехконечная. Наружное седло широкое, глубоко рассеченное дополнительными вырезами.

Размеры голотипа в мм:

диаметр раковины	56 (100%)
боковая высота оборота	25,2 (45%)
толщина оборота	13,2 (23,5%)
ширина пупка	19,0 (34%)

Сравнение. От наиболее близкого *Amaltheus wertheri* (Lange) выделенный вид отличается меньшей шириной пупка, более толстыми оборотами, вентральной стороной, покрытой густыми ребрышками, наклоненными вперед, и сильнее рассеченной лопастной линией.

Плинсбахский ярус, зона *Amaltheus talrosei* бассейнов р. Коркодона и среднего течения р. Колымы.

Amaltheus (*Nordamaltheus* ?) *aff. bulunensis* Repin, sp. nov.

Табл. 36, фиг. 1

Раковина крупная. Обороты высоко-овальные, довольно толстые. Слабо выпуклые боковые стороны плавно переходят в умеренно широкую, округлую наружную сторону. Последняя пересекается короткими наклоненными к устью ребрами. Пупковый перегиб округлый. Стенки пупка отвесные, средней высоты. Пупок умеренно широкий. Боковые стороны покрыты слабо выраженными серповидно изогнутыми ребрами. Ребра довольно широкие, но низкие. Ребрышки, покрывающие наружную сторону, тонкие и короткие. Лопастная линия обычная для данного рода.

Отличается от типичного вида слабее выраженными ребрами и узкой вентральной стороной.

Плинсбахский ярус, зона *Amaltheus talrosei* бассейнов р. Омолона и среднего течения р. Колымы.

СЕМЕЙСТВО DACTYLIOCERATIDAE Hyatt

Род *Peronoceras* Hyatt, 1867

Peronoceras spinatum (Frebald, 1957)

Табл. 50, фиг. 1, 2

Раковина крупная (диаметром до 80 мм), эволютная. Обороты слабо объемлющие, очень медленно возрастающие в высоту. Наружная сторона полого-округлая, круто переходящая в слабо выпуклые боковые поверхности. Толщина оборота в два раза превышает высоту. Пупок широкий, ступенчато-воронковидный. Боковые поверхности покрыты высокими острыми ребрами, промежутки между которыми в 1,5—2 раза шире их. Каждое второе внутреннее ребро делится на два или три наружных тонких ребра, которые, не прерываясь, переходят через вентральную сторону, образуя легкий изгиб в сторону устья. На месте деления образуются высокие шипы, на ядрах имеющие вид бугорков. Остальные ребра переходят наружную сторону, не делясь, и не несут шипов.

Тоарский ярус, зона *Peronoceras spinatum* бассейнов рр. Омолона, Коркодона и Охотского побережья.

Род *Porroceras* Buckman, 1911

Porroceras polare (Frebald, 1929)

Табл. 50, фиг. 3

Раковина средней величины (до 40 мм в диаметре), весьма эволютная, средней толщины, с умеренно нарастающими и слабо объемлющими оборотами, округлыми боковыми поверхностями и очень слабо выпуклой наружной. Обороты более толстые, чем высокие. Пупок широкий, ступенчатый. Пупковая стенка низкая, округло-отвесная. Начинающиеся на стенках пупка ребра простые, сильные и высокие. Каждое второе внутреннее ребро в месте перехода в брюшную сторону делится на 3 или 2 тонких и высоких наружных ребра. В месте деления образуется острый и довольно высокий шип.

От *Peronoceras spinatum* данный вид отличается менее широким сечением оборота, меньшим количеством шире расставленных ребер и уплощенной наружной стороной.

Тоарский ярус, зона *Peronoceras spinatum* бассейнов рр. Омолона, Коркодона и Охотского побережья.

Род *Dactyloceras* Hyatt, 1867

Dactyloceras commune (Sowerby, 1837)

Табл. 49, фиг. 1

Раковина эволютная, средних размеров. Выпуклая и широкая наружная сторона плавно переходит в слабо округлые боковые поверхности. Пупковый перегиб плавный, низкие стенки пупка округлые, крутые. Пупок широкий. Сечение оборота округленное, равной высоты и толщины. Наибольшая толщина оборота приходится на середину его высоты. Боковые поверхности покрыты сильными прямыми ребрами, которые начинаются на стенках пупка. Ребра высокие, резкие, слабо наклонены в сторону устья. При переходе на наружную сторону каждое ребро раздваивается. Наружные ребра, переходя через вентральную сторону, образуют легкий дугообразный изгиб в сторону устья. Лопастная линия имеет глубокую наружную лопасть, которая разделена на две части узким и высоким срединным седлом. Наружное седло сильно рассечено, вдвое больше и шире первого бокового. Первая боковая лопасть высокая, узкая, трехветвистая.

Тоарский ярус, зона *Dactyloceras commune* бассейнов рек Коркодона, Омолона, Гижиги, Бол. Анюя, полуострова Тайгнос.

Dactyloceras aff. athleticum (Simpson, 1855)

Табл. 49, фиг. 3

Раковина крупная, эволютная. Обороты очень слабо объемлющие и медленно нарастающие. Наружная сторона широкая, выпуклая, плавно переходит в незначительно наклоненные к ней боковые стороны. Пупок очень широкий. Скульптура состоит из слегка наклоненных в сторону устья ребер. Ребра высокие, сильные. В месте перегиба боков к наружной стороне ребра обычно делятся на два. Последние пересекают наружную сторону, образуя легкий выгиб вперед. Имеется несколько ребер, пересекающих наружную сторону без деления на две ветви. От типичного вида отличается более высоким поперечным сечением оборотов.

Тоарский ярус, зона *Dactyloceras commune* бассейна р. Омолона.

Род *Zugodactylites* Buckman, 1926

Zugodactylites braunianus (Orbigny, 1845)

Табл. 49, фиг. 2

Эволютная раковина, образована незначительно объемлющими оборотами. Поперечное сечение оборотов овальное ($\frac{T}{B} = 0,83$). Наружная сторона имеет форму округлой дуги. Боковые сторо-

ны слегка выпуклые. Пупок широкий. Бока покрыты многочисленными (до 60—70 на одном обороте) тонкими и высокими ребрами. Часть ребер делится надвое, остальные проходят наружную сторону, не делясь.

Тоарский ярус, зона *Zugodactylites braunianus* бассейнов рр. Омолона и Коркодона.

Zugodactylites aff. braunianus (Orbigny, 1845)

Табл. 49, фиг. 5

Раковина маленькая. По форме и очертаниям подобна *Z. braunianus*, но отличается меньшим количеством ребер и большей шириной межреберных промежутков. Каждое ребро делится на две и, реже, на три ветви, что также не характерно для типичного вида.

Тоарский ярус, зона *Zugodactylites braunianus* бассейнов рек Омолона и Коркодона.

Zugodactylites sp.

Табл. 49, фиг. 4

Раковина небольшая, эволютная. Обороты округленно-квадратные. Наружная сторона широкая, выпуклая. Боковые стороны менее выпуклы, плавно соединяются с наружной. Пупок широкий. Ребра простые, делятся обычно надвое у перехода боков в наружную сторону. В месте деления образуются шиповидные бугорки. Ребра высокие, умеренной ширины, уже межреберных промежутков в 1,5—2 раза.

Тоарский ярус, зона *Zugodactylites braunianus* бассейнов рр. Коркодона и Омолона.

СЕМЕЙСТВО HARPOCERATIDAE Zittel

Род *Ovaticeras* Buckman, 1918

Ovaticeras facetum Repin, 1966

Табл. 46, фиг. 1, 2, 4, 5

Раковина округло-дисковидная, умеренно инволютная. Уплощенные обороты, объемлют предыдущие более чем наполовину. Наружная сторона очень узкая, округлая, плавно и быстро переходит в слабо выпуклые боковые поверхности. Посредине наружной стороны проходит приостренный киль. Пупок умеренно узкий. Стенка пупка округлая, крутая. Поперечное сечение представляет уплощенный с боков овал, с наибольшей толщиной оборота, находящейся посредине. Бока покрыты слабыми серповидными ребрами, которые вблизи пупкового перегиба объеди-

няются по два и по три. Имеются вставленные ребра, не достигающие до пупкового края. На раковине видна тонкая струйчатость, следующая изгибу ребер. Киль высокий, острый, имеет перегородки в основании, поэтому сохраняется только на жилой камере. Лопастная линия умеренно рассечена. Наружное седло широкое, двураздельное, внешняя ветвь его ниже и уже внутренней. Первая боковая лопасть почти в 2 раза шире и длиннее второй боковой лопасти.

Тоарский ярус, зона *Ovaticeras propinquum* бассейна р. Омолон.

Ovaticeras propinquum Whiteaves, 1884

Табл. 44, фиг. 1; табл. 45, фиг. 1

Отличается от близкого *Ovaticeras facetum* Repin более широким пупком, сильно уплощенными боками и сильнее рассеченной лопастной линией.

Тоарский ярус, зона *Ovaticeras propinquum* бассейна р. Омолон.

Род *Tiltoniceras* Buckman, 1913

Tiltoniceras sp.

Табл. 44, фиг. 2, 3

Раковины от небольших до средних. Обороты объемлют предыдущие менее чем наполовину. Боковые поверхности округлые. Сечение оборота представляет овал, у которого высота немного больше толщины оборота. Пупок умеренно широкий, имеет крутые стенки. Бока покрыты довольно грубыми серповидными ребрами, которые начинаются на пупковом перегибе, а на вентро-латеральном резко изгибаются к устью и постепенно затухают. Тонкие окончания ребер подходят к основанию кила на брюшной стороне под острым углом. Киль высокий и тонкий.

Тоарский ярус, зона *Ovaticeras propinquum* бассейна р. Омолон.

Род *Narproceratoides* Buckman, 1909

Narproceratoides alajaensis Repin, 1966

Табл. 45, фиг. 4; табл. 47, фиг. 1, 2

Раковина средних размеров, умеренно инволютная. Обороты довольно сильно нарастающие в высоту. Наружная сторона округлая, с четко выраженным килем, относительно широкая, плавно переходит в незначительно выпуклые боковые поверхности. Последние резким угловатым перегибом отделены от отвесных низких стенок пупка. Пупок умеренно широкий ($\frac{П}{Д} = 0,29$).

Поперечное сечение представляет овал, вытянутый в высоту

116

($\frac{T}{B} = 0,57$). Наибольшая толщина приходится на середину оборота. Боковые поверхности покрыты многочисленными серповидными ребрами. В нижней части боков ребра слабо выражены и выглядят как струйки. Наиболее сильно ребра выражены в верхней половине боков, где они округлые, низкие. Промежутки, разделяющие ребра, равны им по ширине. Вблизи пупкового перегиба ребра соединяются по два. Киль полый, средней высоты. Лопастная линия характеризуется широкой и длинной первой боковой лопастью, имеющей пальчато-рассеченные окончания. Седла довольно глубоко рассечены.

Тоарский ярус, зона *Narproceratoides alajaensis* бассейна р. Омолон.

Narproceratoides planus Repin, sp. nov.

Табл. 45, фиг. 2, 3

Происхождение названия: plane — плоско, ровно; по форме уплощенных боковых сторон.

Голотип: табл. 45, фиг. 2 а, б.

Материал: около 20 ядер хорошей сохранности.

Маленькие раковины (до 30 мм) образованы умеренно объемлющими и слабо нарастающими в высоту оборотами. Плоские боковые поверхности плавно переходят в брюшную, по середине которой проходит низкий и тонкий киль, а внизу через почти прямоугольный пупковый перегиб — в отвесные стенки пупка. Пупок широкий, плоско-ступенчатый. Скульптура представлена слабо серповидными ребрами, умеренными по силе. Ребра тонкие, уже межреберных промежутков. Вблизи пупкового перегиба ребра выражены слабее, а ближе к середине оборота грубеют, и здесь большинство ребер делится на два, но есть и простые, не раздваивающиеся ребра.

Сравнение. От наиболее близких аммонитов из тоара Англии, описанных Бакменом как *Phaulargpites exiguus* Buckman, выделенный вид отличается меньшей шириной пупка и сильнее выраженными, но слабее изогнутыми в средней части оборота ребрами. От *Narproceratoides alajaensis* Repin описываемый вид отличен формой уплощенного и тонкого сечения оборота, более широким пупком и меньшим количеством более грубых ребер.

Тоарский ярус, зона *Narproceratoides alajaensis* бассейна р. Омолон.

Род *Narproceras* Waagen, 1869

Narproceras exaratum (Young et Bird, 1828)

Табл. 46, фиг. 3; табл. 47, фиг. 3

Раковина уплощенная, дисковидная. Бока слабо выпуклые, плавно переходящие в наружную сторону. Последняя относительно узкая, округлая, имеет высокий и сильный киль. В ниж-

ней части бока резко, под прямым углом, сочленяются с отвесными стенками пупка. Пупок умеренно узкий ($\frac{\Pi}{Д} = 0,27$). Боковые поверхности покрыты частыми серповидными ребрами, более тонкими и сближенными у внутреннего края оборота и толстыми у внешнего.

Тоарский ярус, зона *Naeroseras exaratum* бассейна р. Омолона.

Род *Hildaites* Buckman, 1917*Hildaites grandis* Repin, 1966

Табл. 48, фиг. 1

Раковина крупная, эволютная. Обороты медленно возрастают в высоту и слабо объемлют предыдущие. Боковые стороны уплощены и слабо наклонены по направлению к наружной стороне. Последняя относительно узкая, слабо округлая, с высоким узким килем. Переход от наружной стороны к боковым плавный и быстрый. В нижней части бока резким перегибом соединяются с отвесными стенками пупка. Пупок широкий ($\frac{\Pi}{Д} = 0,50$), ступенчатый. Поперечное сечение оборота имеет вид вытянутой в высоту округлой трапеции, с наибольшей толщиной, находящейся у пупкового перегиба. Скульптура представлена серповидными, многочисленными (до 110 на последнем обороте) ребрами. Ребра имеют округленно-крышеобразную форму, выражены сильнее в верхней половине оборота.

Тоарский ярус, зона *Dactylioceras commune* бассейна р. Омолона.

Род *Arctomercaticeras* Repin, 1968

Типовой вид — *Arctomercaticeras costatum* Repin. Нижний тоар. Бассейн р. Омолона.

Раковина вздутая, без четко обособленных боковых сторон, имеет низкое и широкое сечение оборотов и широкий пупок. Вентральная сторона широкая, выпуклая, с низким, но отчетливым килем. Скульптура состоит из ребер, начинающихся на стенках пупка и изгибающихся по дуге, обращенной вогнутостью в сторону устья. Раковинный слой толстый.

От наиболее близкого одновозрастного рода *Mercaticeras* Buckman, с которым описываемый род сходен по характеру брюшной стороны, отличается низким сечением оборотов, широким пупком и изгибающимися к устью ребрами.

Нижний тоарский подъярус бассейна р. Колымы.

Раковина эволютная, вздутая, с низким и широким поперечным сечением оборотов, с толщиной, превышающей высоту в два с лишним раза ($\frac{T}{B} = 2,17$). Вентральная сторона широкая, слабо выпуклая. Переход боковых сторон к вентральной плавно округленный. Боковые стороны почти не обособлены. Пупковый перегиб резкий, округленно-угловатый. Пупок широкий ($\frac{\Pi}{Д} = 0,47$), воронковидно-ступенчатый, имеет крутые стенки. Наибольшая толщина оборота приходится на пупковый перегиб. Поверхность раковины покрыта ребрами, которые начинаются в верхней половине стенок пупка и направлены здесь по радиусу. На боках ребра начинают выгибаться по дуге, обращенной вогнутостью к устью, а достигнув вентрального перегиба, еще резче изгибаются вперед и расщепляются на ряд тонких струек. Наиболее сильно ребра выражены на пупковом перегибе, где они высокие и острые. На вентральной стороне имеются лишь струйчатые продолжения ребер, которые пересекают киль, делая его слабо зазубренным. Сохранившийся раковинный слой достигает максимальной толщины 1,3 мм.

Лопастная линия незначительно и просто рассечена.

Размеры голотипа в мм:

диаметр раковины	50 (100%)
боковая высота оборота	13,3 (26,6%)
толщина оборота	29 (58%)
ширина пупка	23,6 (47%)
количество ребер на последнем обороте	21

От близкого вида *Arctomercaticeras tenue* Repin, происходящего из нижнетоарских отложений Северо-Востока СССР, описываемый вид отличается более толстым поперечным сечением оборотов и сильными и высокими ребрами.

Тоарский ярус, зона *Ovaticeras propinquum* бассейна р. Омолон.

Arctomercaticeras tenue Repin, 1968

Табл. 43, фиг. 3

Раковина небольшая, эволютная. Обороты довольно низкие и толстые, умеренно объемлют предыдущие и незначительно нарастают в высоту. Вентральная сторона широкая, выпуклая, незаметно переходит в невысокие слабо обособленные бока. Последние крутым пупковым перегибом соединяются с отвесными

стенками пупка. Пупок широкий ($\frac{\Pi}{\Delta} = 0,38$). Скульптура представлена тонкими изгибающимися к устью ребрами, которые отчетливо прослеживаются на пупковом перегибе и боках. На последнем обороте насчитывается 19 ребер. На сохранившемся раковинном слое видны струйки нарастания, следующие изгибы ребер и пересекающие вентральную сторону. Киль выражен незначительно как на ядре, так и на раковине.

Размеры голотипа в мм:

диаметр раковины	28,3 (100%)
боковая высота оборота	9,7 (34%)
толщина оборота	15,8 (56%)
ширина пупка	10,8 (38%)

От типичного вида рода *Arctomercaticeras* описываемый вид отличается менее толстыми оборотами, более узким пупком и тонкими ребрами.

Тоарский ярус, зона *Ovaticeras propinquum* бассейна р. Омолон.

СЕМЕЙСТВО GRAPHOCERATIDAE Buckman

Род *Pseudolioceras* Buckman, 1889

Раковины от мелких до крупных, дисковидные. Обороты сильно объемлющие, со слабо выпуклыми, постепенно сближающимися кверху боками и мало обособленной или совсем необособленной брюшной стороной. Пупок узкий, с отвесными стенками. Ребра одиночные, серповидные, сильнее выражены в верхней половине оборота. Киль полый. Лопастная линия расчленена слабо.

Pseudolioceras lythense (Young et Bird, 1828)

Табл. 52, фиг. 1; табл. 53, фиг. 4

Раковина крупная, сильно уплощенная. Обороты быстро возрастают в высоту и сильно объемлют предыдущие. Наружная сторона округлая, узкая, с невысоким килем. Боковые стороны слабо, но отчетливо выпуклые. Пупок узкий ($\frac{\Pi}{\Delta} = 0,13$). Стенки пупка вертикальные, под прямым углом встречаются с боковой поверхностью. Наибольшая толщина оборота приходится на его середину. Боковые стороны покрыты серповидными ребрами. В нижней части боков ребра низкие и тонкие, вверху же они становятся выше и шире. Промежутки между ребрами примерно равны им по ширине. Посредине наружной стороны проходит

низкий, но довольно толстый, полый киль. Лопастная линия сильно и сложно изрезана. Первая боковая лопасть имеет трехветвистое окончание, значительно длиннее и шире второй боковой.

Тоарский ярус, зона *Zugodactylites braunianus* бассейнов рек Коркодона и Омолон.

Pseudolioceras kedonense Repin, 1966

Табл. 51, фиг. 4—6

Раковина небольшая, уплощенно-овальной формы. Обороты быстро возрастают в высоту и сильно перекрывают предыдущие. Наружная сторона слабо выпуклая, плавно переходит в уплощенные боковые стороны. Последние через крутой перегиб соединяются со стенками пупка. Пупок умеренно узкий ($\frac{\Pi}{\Delta} = 0,20$), с крутыми стенками. Боковые стороны покрыты слабо серповидно изогнутыми ребрами. Ребра в верхней половине оборота сильные, высокие. Внизу ребра тонкие и низкие, а на раковинах малого диаметра вообще выглядят, как тонкие струйки. Промежутки, разделяющие ребра, примерно в полтора раза больше их ширины. Посредине наружной стороны проходит невысокий, средней толщины киль. Киль полый, округленной формы. Лопастная линия слабо изрезана.

Тоарский ярус, зона *Zugodactylites braunianus* бассейна р. Омолон.

Pseudolioceras compactile (Simpson, 1855)

Табл. 53, фиг. 1—3

Раковина небольшая, уплощенная. Обороты высокие ($\frac{T}{B} = 0,45$), сильно объемлющие. Наибольшая толщина оборота находится вблизи пупкового перегиба. Боковые стороны слабо выпуклые, плавно соединяются с наружной стороной. Последняя узкая, округленная, имеет четкий киль. Пупковый перегиб резкий, стенки пупка отвесны. Пупок узкий ($\frac{\Pi}{\Delta} = 0,17$). Боковые поверхности, гладкие у раковин малого диаметра, покрыты серповидно изогнутыми ребрами. В нижней части оборота они выражены слабо, вверху ребра шире и выше. Промежутки, разделяющие ребра, примерно равны им по ширине.

Тоарский ярус, зоны *Peronoceras spinatum* и *Pseudolioceras rosenkrantzi* бассейнов рек Омолон, Коркодона, Гижиги, Колымы.

Pseudolioceras gradatum Buckman, 1909

Табл. 53, фиг. 6

Вид очень близок *Pseudolioceras compactile* (Simpson). Отличается от последнего формой поперечного сечения, у которого наибольшая толщина оборота приходится на середину боковых сторон, а также характером ребер, выраженных только в верхней половине оборота.

Тоарский ярус, зона *Peronoceras spinatum* бассейнов рек Омолона и Коркодона.

Pseudolioceras rosenkrantzi A. Dagis, 1965

Табл. 51, фиг. 1—3

Раковина уплощенная, обороты высокие, овальные. Наружная сторона узкая, приостренная на внутренних оборотах и почти плоская на последних. Она резким перегибом отделена от боков. Боковые стороны слабо выпуклые. Пупковый перегиб резкий, отвесные стенки пупка соединяются с боковыми поверхностями под прямым углом. Пупок узкий ($\frac{\Pi}{Д} = 0,15$). Боковые стороны на раковинах диаметром больше 15—18 мм покрыты простыми серпообразно изогнутыми ребрами. Ребра широкие, выражены только в верхней половине оборота. Лопастная линия имеет узкую и короткую наружную лопасть. Первая боковая лопасть с характерным пальчато рассеченным окончанием длиннее и шире наружной и второй боковой. Наружное седло двураздельное, более широкое, чем первое боковое.

Тоарский ярус, зона *Pseudolioceras rosenkrantzi* бассейнов рек Омолона и Коркодона.

Pseudolioceras beyrichi (Schloenbach, 1865)

Табл. 68, фиг. 1

Раковина крупная, инволютная, дисковидная. Обороты высокие ($\frac{T}{B} = 0,32$), сильно объемлющие. Боковые стороны слабо выпуклые, постепенно переходящие в приостренную наружную сторону. Посредине ее проходит высокий узкий киль. Пупковый перегиб очень резкий. Стенка пупка отвесная. Пупок узкий ($\frac{\Pi}{Д} = 0,11$). Скульптура представлена серповидными ребрами. Ребра умеренно сильные. Промежутки, разделяющие ребра, в нижней части оборота примерно равны ширине ребер, а приближаясь к наружной стороне, сильно расширяются и становятся в 2—4 раза шире ребер.

122

От типа вида *P. beyrichi* данная форма отличается слабее выраженными и менее изогнутыми ребрами, что, вероятно, связано с ее крупными размерами.

Нижняя часть ааленского яруса бассейнов рек Анадыря и Пенжины.

Pseudolioceras cf. *beyrichi* (Schloenbach, 1865)

Табл. 69, фиг. 1

Довольно крупная дисковидная раковина с очень узким пупком. Боковые поверхности покрыты многочисленными, сближенными и толстыми ребрами, благодаря чему он близок к типичному *P. beyrichi* (Schloenbach). От последнего его отличают все же реже расположенные и сильнее изогнутые ребра. Кроме того, дугообразный изгиб ребер у данного вида расположен выше середины оборота, тогда как у типичного вида ребра отклоняются назад и образуют дугу несколько ниже середины оборота.

Нижнеааленские отложения бассейна р. Пенжины.

Pseudolioceras m'clintocki (Haughton, 1858)

Табл. 68, фиг. 2

Раковина маленькая ($Д = 24$ мм), умеренно инволютная. Обороты овальные ($\frac{r}{B} = 0,8$), перекрывают предыдущие более чем наполовину. Наибольшая толщина оборота находится в $\frac{1}{3}$ от внутреннего края. Боковые стороны выпуклые, постепенно сходящиеся к наружной стороне. Последняя округлая, умеренно широкая, имеет невысокий киль. Пупковый перегиб округлый, стенки пупка крутые. Пупок сравнительно широкий ($\frac{\Pi}{Д} = 0,30$).

Боковые поверхности покрыты серповидными, округленными ребрами. Ребра многочисленные, промежутки между ребрами меньше ширины последних.

Нижняя часть ааленского яруса бассейна рр. Анадыря и Пенжины.

Pseudolioceras aff. *m'clintocki* (Haughton, 1858)

Табл. 67, фиг. 1—6

При общей близости к типичным *P. m'clintocki* (Haughton) этот вид отличается более узким пупком и меньшей толщиной оборота.

Нижнеааленские отложения Охотского побережья.

123

Род *Leioceras* Hyatt, 1867

Leioceras sp.

Табл. 68, фиг. 3

Раковина маленькая, дисковидная, с узким пупком. Приостренная вентральная сторона оканчивается тонким килем. Слабо выпуклые бока прямоугольным пупковым перегибом соединяются со стенками пупка. Боковые поверхности покрыты тонкими, струйчатыми ребрами. Ребра серповидные, иногда внизу оборота соединяются по два. Киль не имеет перегородки в основании и поэтому сохраняется в пределах воздушных камер.

Ааленский ярус бассейна р. Анадырь.

Род *Osperleioceras* Krimholz, 1963

Osperleioceras sp.

Табл. 53, фиг. 5

Раковина маленькая, с сильно объемлющими и быстро увеличивающимися в высоту оборотами. Слабо выпуклые боковые стороны постепенно переходят в округлую вентральную, по середине которой проходит низкий, но четкий киль, сохраняющийся только в пределах жилой камеры. Пупок узкий, с отвесными стенками. Боковые поверхности покрыты серпообразно изогнутыми ребрами, которые начинаются над пупковым перегибом. В одной трети от нижнего края оборота ребра делятся на три и изредка на две ветви. В нижней части боков ребра прямые, наклонены вперед, по форме округлые, широкие. Выше точки деления ребра, перегибаясь, отклоняются назад, а в верхней половине оборота дугообразно изгибаются вперед и затухают, не доходя до кия. В верхней половине боков ребра более узкие, чем в нижней, но более высокие.

От всех известных видов этого рода отличается наличием трехветвистых ребер.

Тоарский ярус, зона *Zugodactylites braunianus* бассейна р. Омолона.

СЕМЕЙСТВО STEPHANOCERATIDAE Neumayr

Род *Arkelloceras* Frebold, 1957

Arkelloceras aff. *mclearni* Frebold, 1957

Табл. 80, фиг. 1

Раковина умеренно эволютная с довольно широким пупком. Вентральная сторона тупо-округленная, широкая. Боковые поверхности слабо выпуклые. Переход боковых сторон в вентраль-

ную плавный. Наибольшая толщина оборота приходится на нижнюю половину. Ребра сильные, округлые, делятся довольно правильно вблизи пупкового края на две ветви. Имеется несколько вставленных ребер. В месте деления ребер намечаются продольные бугорки. На вентральной стороне ребра уменьшаются в силе и затухают.

Наш экземпляр относится, вероятно, к новому виду, выделенному Г. Вестерманном, но не названному.

Нижний байос бассейна р. Анадыря.

Arkelloceras ? sp.

Табл. 79, фиг. 2, 3

Раковина небольшая, эволютная. Обороты округлые, примерно равной высоты и толщины. Наружная сторона выпуклая, плавно соединяющаяся с боками. Пупок широкий. Стенки пупка крутые. Боковые поверхности покрыты ребрами, слегка наклоненными вперед. Ниже середины высоты оборота ребра делятся на два. Имеется несколько простых, не раздваивающихся ребер. На вентральной стороне ребра уменьшаются в силе.

Нижний байос Алазейского плоскогорья.

Род *Chondroceras* Mascke, 1907

Chondroceras cf. *marshalli* (McLearn, 1928)

Табл. 80, фиг. 2, 3

Раковина вздутая, с выпуклой, широкой брюшной стороной. Округлые боковые поверхности плавно соединяются с брюшной. Пупковый перегиб крутой, закругленный. Пупок узкий и глубокий. Сечение оборота более широкое, чем высокое. Скульптура представлена ребрами, начинающимися в верхней части стенок пупка. В нижней части боков ребра наиболее сильно выражены и наклонены к устью. Ближе к брюшной стороне ребра делятся на 2, реже 3 вторичных, более тонких ребра и пересекают брюшную сторону, не прерываясь. Наклон вторичных ребер к устью меньше, чем у основных.

Нижний байос бассейна р. Анадыря.

СЕМЕЙСТВО MACROCEPHALITIDAE Buckman

Род *Arctocepalites* Spath, 1928

Arctocepalites aff. *elegans* Spath, 1932

Табл. 94, фиг. 1, 2

Раковина достигает 100 мм в диаметре, с сильно объемлющими оборотами, имеющими форму овала. Вентральная сторона широкая, округленная, плавно переходящая в уплощенные боко-

вые стороны. Наибольшая толщина оборота приходится на его нижнюю часть. Пупок узкий и довольно глубокий, с крутыми стенками. Боковые поверхности и наружная сторона покрыты сильными узкими ребрами, раздваивающимися в нижней трети оборота. Кроме того, в некоторых промежутках наблюдаются вставные одиночные ребра. На последнем обороте крупных экземпляров взрослой стадии роста ребра затухают, и поверхность раковины становится гладкой. У переднего ее конца при этом наблюдается один глубокий пережим. Основная часть последнего гладкого оборота принадлежит жилой камере.

От типичного *A. elegans* Spath из среднего бата Арктических областей отличается в основном более тонким сечением оборотов.

Верхний бат Охотского побережья.

СЕМЕЙСТВО CARDIOCERATIDAE H. Douvillè

Род *Arcticoceras* Spath, 1924

Arcticoceras stepankovi Turchkov, 1954*

Табл. 95, фиг. 1

Раковина толстая, с сильно объемлющими округленными оборотами, несколько сжатыми с боков. Сечение оборотов имеет форму овала, наибольшая ширина которого находится вблизи округленного пупкового края. Пупок глубокий и узкий, с отвесными стенками; по ширине он равен $\frac{1}{6}$ наибольшего диаметра. Ребра начинаются на пупковом крае, едва намечаясь на его стенках. Вблизи пупка они дают изгиб, обращенный выпуклостью вперед, и на вентральной стороне уклоняются вперед по отношению к радиусу. Примерно на высоте $\frac{1}{3}$ боковой стороны от пупка ребра разделяются на две-три ветви, причем здесь же появляются и дополнительные промежуточные ребра, возникающие на уровне ветвления. Ребра без перерыва прослеживаются через наружную сторону, где они сильнее выдаются.

От близкого *A. ishmae* Keyserling отличается в основном лишь иным характером лопастной линии: меньшей рассеченностью ее наружного и первого бокового седел.

Нижний келловей бассейна р. Вилиги.

* Описание приводится по И. И. Тучкову.

Род *Cadoceras* Fischer, 1882

Подрод *Paracadoceras* Crickmay, 1930

Cadoceras (*Paracadoceras*) cf. *anabarensis* Bodylevsky, 1960

Табл. 107, фиг. 1

Раковина больших размеров, вздутая, с низкими и толстыми оборотами, с широкой округлой наружной стороной, с умеренно широким воронковидным и относительно глубоким пупком. Пупковая стенка наклонная, с отчетливо выраженным пупковым перегибом. Поверхность оборотов покрыта округлыми ребрами, слегка изгибающимися вперед. На конце оборота изгиб ребер становится незаметным. Ребра начинаются внутри пупковой воронки, по-видимому, с середины пупковой стенки, на пупковом перегибе и выше, перед разветвлением, они несколько утолщаются. Место разветвления ребер находится на незначительном удалении от пупкового перегиба. Иногда наблюдаются редкие единичные вставные ребра.

Нижняя часть келловейского яруса бассейнов среднего течения р. Колымы и Большого Анюя.

Род *Cardioceras* Neumayr et Uhlig, 1881

Cardioceras sp. indet.

Табл. 107, фиг. 2

Раковина дисковидная, с умеренно объемлющими оборотами, имеющими удлиненно-сердцевидное сечение. Боковые стороны уплощенные, на наружной стороне — зубчатый киль. Пупок узкий. Боковые стороны покрыты тонкими и частыми ребрами, начинающимися от пупкового шва. При переходе к наружной стороне они выступают резче и несколько отгибаются вперед. Кое-где близ наружной стороны наблюдается вставление дополнительных ребер.

Род известен из оксфордских отложений в бассейнах нижнего течения р. Яны, средних течений рек Индигирки, Колымы, Омолона и побережья залива Шелихова (Охотское море).

Род *Amoeboceras* Hyatt, 1900

Amoeboceras kitchini (Salfeld, 1915)

Табл. 107, фиг. 3, 4

Раковина дисковидная, обороты умеренно объемлющие, нарастают сравнительно медленно. Сечение оборота уплощенно-сердцевидное. Пупок узкий.

Размеры экземпляра, изображенного на фигуре 3:

диаметр раковины	45 мм
высота последнего оборота	14 мм
толщина последнего оборота	9 мм

Ребра сильные, начинаются от пупкового шва, на последнем обороте имеют сильно выступающие шиповидные бугорки: близ наружного края, на перегибе к пупку и примерно посредине боковой стороны. Вблизи наружной стороны происходит вставление отдельных ребер. На раковине хорошо заметен зубчатый киль, отделенный от отгибающихся в сторону устья наружных ребер гладкой бороздкой. Соотношение числа пупковых ребер, наружных ребер и бугорков киля на $\frac{1}{4}$ оборота у отпечатка, изображенного на фиг. 4, равно 8:11:22, что в пересчете на целый оборот соответственно равно 32:44:88.

Встречается в нижнем кимеридже бассейнов нижнего течения р. Яны, средних течений рек Индигирки, Колымы и Большого Анюя, на побережье залива Шелихова (Охотское море).

СЕМЕЙСТВО OPPELIIDAE H. Douvillè

Род *Bradfordia* Buckman, 1910

Bradfordia alaseica Repin, sp. nov.

Табл. 79, фиг. 1

Происхождение названия: по Алазейскому плато, откуда происходят остатки вида.

Голотип: табл. 79, фиг. 1 а—в.

Материал: ядро хорошей сохранности и два обломка других ядер.

Раковина сильно сжата с боков, дисковидная. Обороты быстро возрастают в высоту и сильно объемлют предыдущие. Боковые стороны незначительно выпуклые, плавно соединяющиеся с узкой, округлой и гладкой наружной стороной. Пупковый перегиб острый. Стенки пупка крутые, подвернутые внутрь оборота. Пупок узкий. Скульптура представлена многочисленными, часто расположенными ребрами. Ребра низкие, тонкие и округлые, проявляются только в верхней половине оборота и ослабевают на вентральной стороне до полного затухания. Лопастная линия сильно и глубоко рассечена.

Размеры голотипа в мм:

диаметр раковины	69 (100%)
боковая высота оборота	36,8 (52%)
толщина оборота	17,3 (25%)
ширина пупка	11,3 (16%)

Сравнение. От наиболее близкого вида *V. costidensa* Imlay новый вид отличается тонким сечением оборота, узкой вентральной стороной и более узким пупком. От *V. helenaе* (Renz) отличается слабее выраженными и менее отклоняющимися назад ребрами, а также меньшей толщиной оборотов. Нижний байос Алазейского плоскогорья.

СЕМЕЙСТВО PERISPHINCTIDAE Steinmann

Род *Chetaites* Schulgina, 1962

Chetaites (?) sp. indet.

Табл. 107, фиг. 5

Раковина с объемлющими оборотами, уплощенными с боков. Сечение оборотов довольно высокое, субовальное. Пупок сравнительно широкий. Боковые стороны покрыты тонкими, четкими и частыми ребрами, переходящими через наружную сторону. Примерно посредине боковой стороны ребра разветвляются каждое на два; на последнем обороте вместо ветвления происходит вставление ребер. Ребра почти прямые, на наружной стороне и в средней части боковой стороны слегка отгибаются вперед. Найден в отложениях верхнего волжского подъяруса бассейна среднего течения р. Большого Анюя.

ПОДКЛАСС ENDOCOSMIA. ВНУТРЕННЕРАКОВИННЫЕ

ОТРЯД DECAPODA. ДЕСЯТИНОГИЕ

СЕМЕЙСТВО BELEMNITIDAE Orbigny

Род *Dactyloteuthis* Bayle, 1878 emend. Stolley, 1919

Dactyloteuthis sp.

Табл. 55, фиг. 4

Ростр небольших размеров, субцилиндрический. Поперечное сечение трапециевидно-овальное, сжатое в спинно-брюшном направлении (104)*. Боковые стороны наклонены к спинной стороне, на них по всей длине проходят мелкие вдавленности. Брюшная сторона уплощенная. В средней части послеальвеолярной области роостр несколько расширяется преимущественно со спинной стороны, затем быстро приострается; роостр имеет ланцетовидную форму; острие смещено к спинной стороне. Альвеола занимает $\frac{2}{3}$ длины роостра, эксцентрична. Ее вершина и осевая линия сильно приближены к брюшной стороне.

Тоарский ярус бассейна рр. Омолона и Коркодона.

* Отношение бокового диаметра к спинно-брюшному, принятому за 100. Измерение диаметров произведено у острия альвеолы.

Род *Passaloteuthis* Lissajous, 1915

Passaloteuthis cf. *niger* Lister

Табл. 56, фиг. 1

Ро́стр крупных размеров, субцилиндрический. Поперечное сечение овальное, сжатое с боков (85). В 60 мм от конца ро́стр утолщается, после чего постепенно суживается и заканчивается центральным острием. Утолщение ро́стра в послеальвеолярной части придает ему веретенovidную форму. На острие видны три бороздки, причем две спинно-боковых выражены лучше брюшной. Альвеола занимает $\frac{1}{3}$ часть ро́стра, вершина ее и осевая линия смещены к брюшной стороне.

Тоарский ярус бассейнов верхнего течения р. Колымы, рр. Омолона и Коркодона.

Passaloteuthis *elongata* (Miller, 1826)

Табл. 56, фиг. 2

Ро́стр крупных размеров, субцилиндрический, постепенно суживающийся книзу. Поперечное сечение овальное, сжатое с боков (83). У вершины альвеолы ро́стр сжат несколько сильнее, чем в послеальвеолярной области. На острие, приближенном к брюшной стороне, две слабо выраженные спинно-боковые бороздки. Альвеола немного менее $\frac{1}{3}$ длины ро́стра. Вершина ее и осевая линия смещены к брюшной стороне.

Тоарские и нижнеааленские (?) отложения бассейнов рр. Омолона и Коркодона.

Passaloteuthis cf. *argillarum* Lang

Табл. 54, фиг. 3

Ро́стр средних размеров, субконический. Суживание ро́стра постепенное по всей длине. Поперечное сечение овально-трапециевидное, сжатое с боков (91). Боковые стороны наклонены к спинной стороне. Спинная сторона уже брюшной. Острие приближено к брюшной стороне. Бороздки не видны. Альвеола занимает $\frac{1}{3}$ часть длины ро́стра. Вершина ее и осевая линия приближены к брюшной стороне.

Тоарский ярус бассейнов рр. Омолона, Коркодона и Охотского побережья.

Passaloteuthis aff. *viluensis* Krimholz, 1960

Табл. 54, фиг. 4

Ро́стр средней величины, субцилиндрический, сдавлен с боков и незначительно расширен в средней части послеальвеолярной области. Заострение заднего конца постепенное, острие немного

приближено к брюшной стороне. Боковые стороны уплощены, у острия уплощена также и брюшная сторона. Сечение ро́стра приобретает субквадратное очертание. На острие видны две короткие спинно-боковые бороздки. Альвеола занимает несколько менее половины длины ро́стра, вершина ее и осевая линия приближены к брюшной стороне.

Тоарский ярус бассейнов рр. Омолона и Коркодона.

Passaloteuthis sp.

Табл. 57, фиг. 5

Ро́стр крупных размеров, субцилиндрический. Поперечное сечение овальное, сжатое с боков (85). Приострение ро́стра постепенное, острие приближено к спинной стороне. На нем отчетливо выражены короткие брюшная и спинно-боковые борозды, причем последние несколько длиннее. Альвеола занимает почти половину длины ро́стра. Ее острие и осевая линия смещены к брюшной стороне.

Тоарский ярус бассейнов рек Омолона и Коркодона.

Род *Hastites* Mayer-Eymar, 1883 emend. Krimholz, 1931

Hastites cf. *clavatus* (Schlotheim)

Табл. 57, фиг. 2

Ро́стр небольших размеров узкий, булавовидно расширяющийся книзу. Поперечное сечение округлое. На экземплярах хорошей сохранности видны боковые бороздки, начинающиеся от переднего края и не достигающие острия. Альвеола короткая.

Верхняя часть тоарского — ааленский ярусы Охотского побережья, бассейнов верхнего течения р. Колымы, рек Омолона и Коркодона.

Hastites *neumarkensis* (Oppel, 1858)

Табл. 57, фиг. 3

Ро́стр небольших размеров, узкий, веретенovidный или булавовидный. Наибольшее расширение опущено книзу. Приострение быстрое, задний конец ро́стра тупой. Бороздки не сохранились. Альвеола короткая.

Верхняя часть тоарского и нижняя часть ааленского ярусов бассейнов рр. Колымы, Индигирки и Охотского побережья.

Hastites cf. *bergensis* Kolb, 1942

Табл. 57, фиг. 4

Ро́стр небольших размеров, узкий, веретенovidный. Поперечное сечение округлое. Приострение заднего конца ро́стра довольно быстрое. Альвеола не сохранилась.

Верхняя часть тоарского — нижняя часть ааленского ярусом Северо-Востока СССР.

Hastites cf. milleri (Phillips, 1869)

Табл. 55, фиг. 1

Ростр небольших размеров, слабо веретеновидный, с несколько выпуклой спинной стороной. Поперечное сечение круглое. Приострение заднего конца быстрое, острие округло. Альвеолярная область не сохранилась. Обычно у хаститов она очень короткая.

Тоарский ярус бассейнов рр. Колымы, Индигирки и Охотского побережья.

Hastites sp.

Табл. 57, фиг. 1

Тонкий длинный ростр, субцилиндрический, веретеновидный. Поперечное сечение округлое. Вздутое место находится в $\frac{1}{3}$ части от острия. Альвеолярная часть не сохранилась. Осевая линия центральная.

Тоарско-ааленские отложения бассейна верхнего течения р. Колымы.

Род *Mesoteuthis* Lissajous, 1915

Mesoteuthis rostriformis (Theodori)

Табл. 55, фиг. 2

Ростр маленьких размеров, короткоконусный. Поперечное сечение овальное (81), сжатое с боков. Острие несколько приближено к спинной стороне. На острие видны спинно-боковые бороздки. Брюшная бороздка отсутствует или выражена очень слабо. Альвеола занимает $\frac{2}{3}$ длины ростра, ее вершина и осевая линия эксцентричны, приближены к брюшной стороне.

Тоарский ярус бассейнов рр. Омолон и Коркодона.

Mesoteuthis cf. subpyramidalis (Lissajous, 1927)

Табл. 55, фиг. 3

Ростр небольших размеров, субцилиндрический в передней части, конический в задней. Поперечное сечение овальное, сжатое с боков (90). Боковые стороны уплощены. На острие три слабо выраженные бороздки, спинно-боковые более четки. Альвеола глубокая, занимает более половины длины ростра. Осевая линия слабо приближена к брюшной стороне.

Тоарские и нижнеааленские (?) отложения бассейнов рр. Омолон и Коркодона.

Mesoteuthis aff. triscissa (Janensch, 1902)

Табл. 55, фиг. 5

Ростр средней величины, постепенно суживающийся к заднему концу. В верхней части суживание более медленное, чем в нижней. Поперечное сечение овальное, сжатое с боков (88). Острие несколько эксцентрично, приближено к спинной стороне. Хорошо выражены спинно-боковые бороздки. Брюшная бороздка отсутствует. Альвеола занимает немного более половины длины ростра, ее вершина и осевая линия эксцентричны.

Тоарские и нижнеааленские отложения бассейнов рр. Омолон, Коркодона, верхнего течения р. Колымы.

Mesoteuthis aff. subgracilis Kolb, 1942

Табл. 54, фиг. 1

Ростр средних размеров, стройный, равномерно и симметрично суживающийся; поперечное сечение овальное, сжатое с боков (83). На острие видны две спинно-боковые бороздки. Брюшная бороздка длиннее, но выражена слабее спинно-боковых. Альвеола занимает $\frac{1}{4}$ часть длины ростра. Ее вершина и осевая линия смещены к брюшной стороне.

Тоарский ярус бассейнов рр. Омолон и Коркодона.

Mesoteuthis cf. triscissiformis Kolb, 1942

Табл. 54, фиг. 2

Ростр средних размеров, в альвеолярной области постепенно, к заднему концу более быстро суживается и заканчивается острым концом. Поперечное сечение овальное, сжатое с боков, в альвеолярной области сжатие несколько большее. На острие отчетливая брюшная бороздка и две спинно-боковых, которые немного короче брюшной. Альвеола занимает $\frac{1}{3}$ часть длины ростра. Ее вершина и осевая линия приближены к брюшной стороне.

Тоарский ярус бассейнов рр. Омолон и Коркодона.

Род *Megateuthis* (Bayle, 1878) emend. Lissajous, 1915

Megateuthis elliptica (Miller, 1823)

Табл. 81, фиг. 1

Ростр средних размеров, слабоконический; суживание постепенное по всей длине ростра. Поперечное сечение овальное, сжатое с боков (70). На острие видны короткие морщинки. Альвеола обычно достигает $\frac{1}{5}$ — $\frac{1}{4}$ длины ростра.

Верхняя часть ааленского — батский (?) ярус Охотского побережья, бассейнов верхнего и среднего течения р. Колымы, р. Большого Анюя.

Род *Homaloteuthis* Stolley, 1919

Homaloteuthis cf. *breviformis* (Voltz, 1830)

Табл. 57, фиг. 6

Ростр небольшой, субконический, быстро суживающийся на заднем конце. Поперечное сечение округлое (100). Боковые стороны слабо уплощены. Задний конец незначительно приближен к спинной стороне. Альвеола занимает около половины длины ростра.

Верхняя часть тоарского — нижняя ааленского ярусов, бассейнов верхнего течения р. Колымы, рек Омолона и Коркодона.

Род *Holcobelus* Stolley, 1927

Holcobelus sp.

Табл. 69, фиг. 2

Ростр небольших размеров, субцилиндрический, слабо веретеновидный. Поперечное сечение овальное, сжатое в спинно-брюшном направлении (110). Брюшная сторона уплощена. С середины послеальвеолярной области ростр постепенно приостряется. Острие центрально. На брюшной стороне проходит глубокая бороздка, начинающаяся на острие, мелеющая и исчезающая у конца альвеолы. На боковых сторонах видны по паре полос, прослеживающихся по всей длине ростра. Альвеола занимает менее $\frac{1}{3}$ части ростра, острие ее и осевая линия незначительно приближены к брюшной стороне.

Верхняя часть тоарского яруса — байосский ярус бассейна р. Колымы и Охотского побережья.

Род *Cylindroteuthis* Bayle et Zeiller, 1878

Cylindroteuthis cf. *obelisca* (Phillips)

Табл. 108, фиг. 1

Тонкий длинный ростр средних размеров, субконический, постепенно суживающийся к заднему концу. Поперечное сечение овальное, сжатое с боков. На острие заметны две короткие спинно-боковые бороздки. Альвеола занимает $\frac{1}{3}$ длины ростра, острие ее и осевая линия центральны.

Оксфордский ярус Алазейского плоскогорья и бассейна р. Большого Анюя.

Род *Lagonibelus* Gustomesov, 1958

Lagonibelus cf. *kostromensis* (Gerasimov, 1960)

Табл. 108, фиг. 2

Крупный субцилиндрический ростр; поперечное сечение овально-субтрапецевидное. Боковые стороны уплощены и наклонены к спинной стороне, на них заметны слабые вдавленности, проходящие вдоль всего ростра. Альвеола короткая, занимает $\frac{1}{4}$ часть длины ростра; ее вершина и осевая линия приближены к брюшной стороне.

Оксфорд — кимеридж Алазейского плоскогорья.

PLANTAE — РАСТЕНИЯ

Порядок FILICALES — ПАПОРОТНИКИ

Род *Thaumatopteris* Goeppert, 1841

Thaumatopteris cf. *schenkii* Nathorst

Табл. 18, фиг. 1—3

Листья папоротника *Thaumatopteris schenkii* Nath. стоповидные, стержень листа вилкообразно разделяется на две ветви, от которых вовнутрь отходят перисто рассеченные перья. Часто в результате редукции развилка основания перьев сближаются, и в таком случае создается впечатление радиально-лучистого расхождения перьев. Подобное расхождение перьев видно на отпечатке (табл. 18, фиг. 2), который представляет собой основание более или менее полного небольшого листа. Отпечаток изолированного пера (табл. 18, фиг. 3) принадлежит, по-видимому, более крупному листу. Перышки продолговатые, до 25 мм в длину, при ширине около 5 мм, к стержню пера прикрепляются под углом 70°, в основании сросшиеся, край перышек крупногородчатый. Жилкование перисто-сетчатое. Средняя жилка прослеживается от основания перышка до его верхушки; вторичные жилки, отходящие от средней, и третичные образуют сеть из мелких ячеек.

По сложению листа и очертаниям сегментов (перышек) колымские отпечатки очень похожи на небольшие листья *Thaumatopteris schenkii* Nath.—виду, широко распространенному в лейасовых отложениях Гренландии и Скандинавии, однако плохая сохранность отпечатков не позволяет уверенно относить их к этому виду. Близкий вид *Th. brauniana* Popr отличается цельным краем перышек.

Нижнелейасовые отложения бассейнов рек Коркодона и Омолона.

Thamatopteris brauniana Popp ?

Табл. 18, фиг. 4

По форме пера и перышек вид имеет полное сходство с вышеописанным *Th. cf. schenkii* Nath., но отличается от него цельным краем перышек, то есть признаком, который сближает его с *Th. brauniana* Popp.

Нижнелейасовые отложения бассейнов рек Омолона и Коркодона.

Род *Cladophlebis* Brongniart, 1849

Cladophlebis aldanensis Vachrameev

Табл. 109, фиг. 1; табл. 110, фиг. 1; табл. 111, фиг. 1, 2

Листья (вайи) дважды перистые, крупные; иногда неполные отпечатки листьев достигают 250 мм длины, при ширине 210 мм. Перья широкие, линейные, к стержню прикреплены супротивно или почти супротивно под углом 45—50°, при этом они так сближены, что перышки соседних перьев перекрывают друг друга. Стержень широкий (до 7—10 мм), иногда несет продольные штрихи. Густо расположенные перышки длинные, относительно узкие, цельнокрайние, прямые или слегка серповидно изогнутые, постепенно суживающиеся к заостренной или притупленной верхушке. Наряду с цельнокрайними перышками имеются перья с лопастными перышками (табл. 109, фиг. 1). Длина вполне развитых перышек достигает 40 мм, ширина у основания не более 8 мм. Жилкование перистое. Средняя жилка толстая, входит в основание перышка ближе к его нижнему краю, дальше она занимает центральное положение, доходя до его верхушки. От нее под острым углом отходят боковые жилки, дважды дихотомирующие. Первый раз они делятся непосредственно у выхода из средней жилки, второй — на середине ширины перышка между средней жилкой и краем.

Очень близким видом является *C. raciborskii* Zeiller, отличающийся меньшей длиной (не более 30 мм) перышек, зубчатым краем и более густым жилкованием.

C. aldanensis — типичный представитель позднеюрской флоры на Северо-Востоке СССР и в бассейне р. Лены.

Cladophlebis denticulata (Brongniart) Fontaine

Табл. 114, фиг. 3

Листья дважды перистые, с тонким стержнем, к которому прикрепляются в очередном порядке длинные линейные перья. Перышки небольшие, слегка серповидно изогнутые, с приостренной, иногда притупленной верхушкой. Длина развитых сегмен-

тов 10—13 мм, ширина у основания 4—6 мм. Края перышек мелкозубчатые, иногда только вблизи верхушки. Жилкование перистое, средняя жилка отчетливая, доходит до верхушки перышка, боковые жилки в количестве 10—12 пар отходят от центральной под небольшим углом, дихотомируют один раз, в верхней части перышка простые. Приосновные жилки иногда дихотомируют дважды.

По форме перышек и простой дихотомии боковых жилок *C. denticulata* близок к *C. pebbensis* (Brongn.) Nath. и *C. argutula* (Heer) Font., отличаясь от последних зубчатым краем.

Юрские и нижнемеловые отложения Северо-Востока СССР.

Cladophlebis haiburnensis (Zindley et Hutton)

Табл. 109, фиг. 2; табл. 111, фиг. 3

Папоротник с крупными, дважды перистыми листьями. Перья линейные, несущие тесно расположенные перышки, располагаются на стержне в очередном порядке. Перышки цельнокрайние, языковидные, слегка изогнутые или прямые, обычно с закругленными и реже с чуть приостренными верхушками. К стержню подходят под углом, близким к прямому. Жилкование перистое. От средней жилки отходят боковые в количестве 6—13 пар, дважды дихотомирующие — первый раз у основания боковой жилки, второй раз ближе к боковому краю перышка. Приосновная пара жилок дихотомирует трижды.

Наиболее близкой формой является *C. serrulata* Samyl.

Этот вид имеет широкое геологическое и пространственное распространение, являясь обычным компонентом ископаемых флор на территории СССР от рэта до нижнемеловых отложений включительно. Часто встречается в верхнеюрских отложениях Северо-Востока СССР.

Cladophlebis serrulata Samylin

Табл. 113, фиг. 2

Листья этого папоротника перистые, крупные, с линейно-ланцетными перьями, несущими очередные или супротивные перышки. Последние языковидные, иногда с небольшим серповидным изгибом, с мелкопильчатым краем и приостренной верхушкой. К стержню пера перышки прикрепляются всем основанием, почти под прямым углом. Длина перьев более 120 мм, ширина до 40 мм. Длина вполне развитых перышек 20—25 мм, ширина до 10 мм, жилкование перистое. От центральной жилки, разветвляющейся у верхушки, отходят боковые, дихотомирующие дважды, и только нижние, приосновные — трижды. Расположение боковых жилок редкое: на 10 мм края перышек приходится 10—12 жилок.

C. seggulta отличается от близкого *C. haiburnensis* мелкозубчатым краем, более редким жилкованием и несколько большей приостренностью верхушки перышка.

Встречается в верхнеюрских отложениях бассейна р. Лены и левобережья р. Колымы в среднем течении.

Род *Raphaelia* Debey et Ettingshausen, 1859

Raphaelia diamensis Seward

Табл. 109, фиг. 3

Папоротник с крупными, дважды перистыми листьями. В отличие от вышеописанных папоротников перышки *R. diamensis* обладают перетянутым основанием. В очертаниях они почковидные или яйцевидные, цельнокрайние или с зазубренными краями (иногда лопастными). Своим суженным основанием перышки в очередном порядке прикрепляются к тонкому стержню пера. Выше к верхушке пера форма перышек изменяется, они становятся похожими на перышки рода *Cladophlebis* и почти под прямым углом прикрепляются к стержню пера всем основанием перышка. Жилкование перистое. От центральной жилки отходят боковые (4—6 пар), дихотомирующие 1—2 раза; верхушечные боковые жилки простые. Длина вполне развитых перышек до 10 мм, ширина у основания 5 мм.

Типичная форма позднеюрских флор Охотского побережья, бассейнов рр. Лены, среднего течения Колымы и Большого Анюя. В Южной Сибири встречается также и в среднеюрских отложениях.

Порядок CAYTONIALES — КЕЙТОННИЕВЫЕ

Род *Sagenopteris* Presl, 1838

Sagenopteris cf. *nilssoniana* (Brongniart) Ward

Табл. 38, фиг. 1—3

Листья сложные, состоящие из нескольких отдельных листочков (долей листа), сходящихся в одной точке на верхнем конце длинного рахиса (черешка). На табл. 38 изображены только обрывки крупных листочков, расширенных в верхней половине, с широко закругленной верхушкой и относительно широким клиновидным основанием (фиг. 1). Края листочков цельные. Средняя жилка в нижней части листочка широкая (1,5 мм) и выражена довольно четко. От нее под острым углом отходят вторичные дихотомически ветвящиеся жилки, соединенные редкими анастомозами. Последние к краю листочка наблюдаются чаще. Самый полный отпечаток (фиг. 1) имеет 60 мм в длину при наибольшей ширине от края до средней жилки

около 30 мм, то есть полная ширина листочка была около 60 мм. Имеются и более узкие асимметричные листочки, которые могут оказаться краевыми.

Недостаточная сохранность колымских образцов, а также отсутствие мелких листочков, которые наряду с крупными являются характерными для европейской *S. nilssoniana*, не допускают уверенного определения вида.

Средний лейас (плинсбахский ярус) бассейна р. Омолона.

Порядок СУСАДАLES — ЦИКАДОВЫЕ

Род *Heilungia* Prynada, 1956

Heilungia aldanensis Samylina *

Табл. 113, фиг. 1

Листья у этого вида крупные, сегментированные, с толстым стержнем (4—5 мм), несущим очередные или почти очередные, частично перекрывающие друг друга сегменты. Последние удлиненно-овальные (длина 90 мм, ширина 25 мм), суживающиеся к основанию и еще больше к приостренной верхушке. Основания сегментов несколько асимметричны — нижний край закругленный, верхний расширен наподобие ушка. К стержню сегменты прикрепляются под прямым углом. Жилки тонкие, редкие. В основание сегмента входит около 10 жилок, которые дихотомируют главным образом в приосновной части сегмента, далее, в направлении к верхушке листа, дихотомия жилок наблюдается реже. Нижние 3—4 жилки, вступающие в расширенную часть сегмента, сразу же отклоняются и выходят в край.

У изображенного экземпляра жилки редкие: на 10 мм ширины сегмента приходится 9 жилок.

Верхнеюрские отложения бассейнов рек Алдана, Большого Анюя.

Heilungia amurensis (Novopokrovsky) Prynada

Табл. 112, фиг. 1, 2

Листья крупные (до 750 мм в длину и около 500 мм в ширину), сегментированные. Сегменты лентовидные, постепенно суживающиеся к приостренной верхушке, в ископаемом состоянии они редко сохраняются. Основание сегментов асимметричное, нижний край перетянут, закруглен и расширен наподобие ушка, верхний также несколько расширен, вследствие взбегания на стержень листа. На табл. 112, фиг. 2 изображен неполный сегмент с сохранившимся основанием. Сегменты прикрепляются к стержню всем основанием под прямым углом, располага-

* Характеристика вида взята из работы В. А. Самылиной.

ются по бокам стержня супротивно и так близко, что несколько налегают друг на друга. Жилки тонкие, густые (на 5 мм приходится до 10—12 жилок); в центральной части сегмента они параллельные; краевые жилки отходят от стержня под углом и, несколько отклоняясь, выходят в края. Почти все жилки дихотомируют в приосновной части сегмента, чуть отступая от его начала.

Наиболее хорошо сохранившаяся часть отпечатка листа из найденных на Чукотке (табл. 112, фиг. 1) имеет следующие размеры: длина 210 мм, ширина 200 мм, длина сегментов 105 мм, ширина 16 мм. Этот образец с сегментами, лишенными верхушек и плохо сохранившимися основаниями, по-видимому, представляет центральную часть листа.

Верхнеюрские отложения бассейна р. Большого Анюя.

Род *Taeniopteris* Brongniart, 1828

Taeniopteris sp.

Табл. 38, фиг. 4

Имеется несколько обрывков различных частей листа; лучший из них, изображенный на табл. 38, фиг. 4, по-видимому, соответствует средней части листа. Судя по этим остаткам, лист был лентовидный с параллельными краями. На одном из отпечатков заметно незначительное сужение листа книзу. Листовая пластинка прикрепляется к краям верхней поверхности стержня. Жилкование перистое. Боковые жилки, простые и дихотомирующие, по отношению к стержню располагаются под углом, близким к прямому, и несколько избегают. Некоторые из них дихотомируют в точке выхода из стержня. Эта особенность жилкования резче выражена на нижней части отпечатка. Реже дихотомия жилок наблюдается на некотором расстоянии от точки выхода жилок в лист или даже у слияния соседних жилок.

Эти и другие (*Nilssonia* sp.) остатки цикадофитов встречены в среднелейасовых отложениях р. Русской (бассейн р. Омолона).

Порядок BENNETTITALES — БЕННЕТТИТОВЫЕ

Род *Ptilophyllum* Morris, 1840

Ptilophyllum sibiricum Samylin, sp. nov.*

Табл. 58, фиг. 1—8

Происхождение названия: *sibiricum* — сибирский.
Голотип: табл. 58, фиг. 6.

* Описание составлено В. А. Самылиной.

Материал: более десяти листьев различной сохранности, из нескольких местонахождений.

Диагноз. Листья узкие, длинные, линейные, шириной 12—16 мм. Сегменты 3,5—4 мм в ширину при длине 7—9 мм, почти линейные, тесно поставленные, немного перекрывающие друг друга, с тупо округлой, несколько асимметричной верхушкой; прикрепляются к верхней поверхности рахиса всей шириной основания. Жилки тонкие, дихотомирующие, выходят в края сегментов; на ширину сегмента в 3,5 мм приходится 11—13 жилок. Эпидермальные клетки имеют сильно извилистые стенки с крупными петлями. Кутикулярные образования на клетках отсутствуют. Устьица расположены только на нижней поверхности сегментов, ориентированы поперек направления жилок и собраны в устьичные полосы.

Описание. Листья узкие, линейные, шириной 12—16 мм, по-видимому, очень длинные; самый полный из имеющихся отпечатков части листа имеет длину 70 мм. Вполне развитые сегменты, почти линейные, с тупо закругленной, несколько асимметричной верхушкой, 3,5—4 мм в ширину при длине 7—9 мм. Верхний и нижний базальные углы слегка закруглены. К основанию листа сегменты постепенно укорачиваются до 4—5 мм и приобретают неправильно-ромбовидные очертания. Жилки тонкие, дихотомирующие, частые, выходят в края сегмента; до его верхушки доходят лишь средние жилки; на ширину сегмента в 3,5 мм приходится 11—13 жилок. Сегменты прикрепляются к верхней поверхности рахиса всем своим основанием под углом 50—70°, причем каждый нижележащий сегмент немного прикрывает вышележащий. Рахис круглый, около 1,5 мм в диаметре в верхней половине листа и до 5 мм в его основании. По морфологическим признакам листья из разных местонахождений почти не отличаются друг от друга.

Эпидермальное строение листа изучалось на обработанных кутикулярных препаратах углистой пленки, снятой с образца (табл. 58, фиг. 6). Кутикула была, по-видимому, довольно толстой. Эпидерма верхней поверхности состоит из четырехугольных, реже многоугольных клеток, образующих более или менее четкие ряды. Стенки клеток извилистые. Петли крупные, несколько удлиненные. Каких-либо кутикулярных образований на клетках верхней эпидермы нет. Устьица располагались только на нижней поверхности сегментов. Они сидетохейльного типа, ориентированы обычно перпендикулярно направлению жилок. Папилл (или волосков) ни на побочных клетках устьиц, ни на клетках, располагающихся между устьицами, не замечено. Судя по расположению устьиц, можно полагать, что на эпидерме нижней поверхности листа четко разграничились устьичные и безустьичные полосы. Изображенный на рисунке небольшой участок кутикулы без устьиц скорее всего приурочен к краевой зоне

сегментов. Здесь хорошо видны располагавшиеся рядами клетки с синусоидально-извилистыми стенками. Петли клеточных стенок очень крупные, иногда между петлями противоположных стенок остается лишь узкая полоска. Никаких кутикулярных образований здесь также не замечено.

С р а в н е н и е. По морфологическим признакам листья выделяемого вида имеют значительное сходство с *Ptilophyllum oldhami* K. Jacob et C. Jacob и *P. cutchense* Morris из юрских отложений Индии. Скорее всего, это лишь поверхностное сходство, на что указывает разница в эпидермальном строении. На эпидерме нижней поверхности сегментов листьев индийских видов сильно развиты кутикулярные образования (папиллы), отсутствующие на клетках сибирского вида.

Верхнелейасовые отложения бассейна р. Омолона.

Порядок CONIFERALES — ХВОЙНЫЕ

Род *Pityophyllum* Nathorst, 1899

Pityophyllum nordenskioldii (Heer) Nathorst

Табл. 114, фиг. 1, 2

Листья длинные, узкие, в верхней половине линейные, с приостренной верхушкой, к основанию постепенно суживающиеся. Ширина листьев 2—5 мм; известны отпечатки с максимальной видимой длиной около 80 мм. Единственная средняя жилка хорошо проявляется на одной стороне отпечатков в виде ребрышка, на другой стороне в виде желобка. Часто на отпечатках между средней жилкой и краем листа сохраняется тонкая поперечная морщинистость.

Встречается как в виде единичных отпечатков неполных листьев, так и в виде скоплений обрывков листьев различной длины и ширины (фиг. 1). По ширине листовой пластинки листья *Pityophyllum* относились к разным видам, в то время как фрагментарные отпечатки могут быть частями листьев одного и того же вида. Поэтому некоторые палеоботаники считают такие виды, как *P. longifolium* Nath., *P. angustifolium* (Nath.), и др. синонимами вида *P. nordenskioldii*.

Вид имеет широкий возрастной диапазон и ареал распространения, встречаясь в большом количестве фрагментарных отпечатков в верхнетриасовых, юрских и нижнемеловых отложениях. На Северо-Востоке СССР достоверно пока известен лишь в юрских и раннемеловых комплексах флоры.

Бодылевский В. И. Ауцеллы из бассейна р. Сюрюктях в хребте Черского. Изв. Геолкома, XLVII, № 6, 1929.

Бодылевский В. И. О некоторых фаунах из меловых отложений Колымского края и Западной Камчатки. 1. Ауцелловая фауна из бассейна р. Сеймчан. Материалы по изучению Охотско-Колымского края, серия 1, вып. 5, 1937.

Воронец Н. С. Находка юрской фауны в Охотско-Колымском крае. Материалы по изучению Охотско-Колымского края, серия 1, вып. 5, 1937.

Воронец Н. С. Фауна верхнеюрских отложений Верхне-Колымского края. Материалы по изучению Колымско-Индибирского края, серия 2, вып. 12, 1938.

Дагис А. А., Дагис А. С. О несостоятельности выделения плинсбахского яруса на Северо-Востоке СССР. «Геология и геофизика», 1964, № 2.

Дагис А. А. и Дагис А. С. О зональном расчленении тоарских отложений на Северо-Востоке СССР. В сб. «Стратиграфия и палеонтология мезозойских отложений Севера Сибири», 1965.

Ефимова А. Ф., Матвеев В. Т. О распространении *Inosegatus* группы *retrorsus* Keyserling в юрском разрезе р. Вилиги. Материалы по геологии и полезным ископаемым Северо-Востока СССР, вып. 9, 1955.

Захаров В. А. Новые *Monotidae* нижнего лейаса с побережья Охотского моря и их стратиграфическое значение. «Геология и геофизика», 1962, № 3.

Кипарисова Л. Д. Новые раннемезозойские монотисы Северо-Востока СССР. В сб. «Новые виды древних растений и беспозвоночных СССР», ч. II, 1960.

Крымголец Г. Я. Верхнелейасовый блемнит с р. Колымы. Материалы по изучению Охотско-Колымского края, серия 1, вып. 5, 1937.

Моисеев А. С. Юрские брахиоподы юго-восточной цепи хребта Черского. Материалы по изучению Колымско-Индибирского края, 1938.

Моисеев А. С. Тип *Molluscoidea*. Класс *Brachiopoda*. Атлас руководящих форм ископаемой фауны СССР, т. VIII, 1947.

Паракецов К. В. Новая позднеюрская ауцелла Северо-Востока СССР. В сб. «Новые виды древних растений и беспозвоночных СССР», 1968.

Полуботко И. В., Худoley К. М. О находке раннегеттангских аммонитов на Северо-Востоке СССР. «Палеонтологический журнал», 1960, № 3.

Полуботко И. В., Репин Ю. С. Стратиграфия и аммониты тоарского яруса центральной части Омолонского массива. Материалы по геологии и полезным ископаемым Северо-Востока СССР, вып. 19, 1966.

Полуботко И. В., Репин Ю. С. Зональное расчленение и аммониты нижнего лейаса Северо-Востока СССР. Материалы по геологии и полезным ископаемым Северо-Востока СССР, вып. 20 (в печати).

Рудич К. Н. Юрские отложения центральной части цепи Сарычева. Материалы по геологии и полезным ископаемым Северо-Востока СССР, вып. 7, 1949.

Тучков И. И. Среднелейасовый аммонит северо-восточного побережья Охотского моря (бассейн р. Вилиги). Материалы по геологии и полезным ископаемым Северо-Востока СССР, вып. 2, 1946.

Тучков И. И. Юрские аммониты и белемниты Северо-Востока СССР. Материалы по геологии и полезным ископаемым Северо-Востока СССР, вып. 8, 1954.

Литература по юрской флоре Северо-Востока СССР и соседних районов

Вахрамеев В. А. Стратиграфия и ископаемая флора юрских и меловых отложений Вилюйской впадины и прилегающей части Приверхоянского краевого прогиба. В сб. «Региональная стратиграфия СССР», т. 3, 1958.

Нейбург М. Ф. Юрские растения с р. Омолон. Труды сов. по изучению произв. сил, серия Якутская, вып. 2, 1933.

Самылина В. А. Мезозойская флора нижнего течения р. Алдана, «Палеоботаника», 1963, вып. IV.

ТАБЛИЦЫ И ОБЪЯСНЕНИЯ К НИМ

ВСЕ СНИМКИ, КРОМЕ ОТМЕЧЕННЫХ, ДАНЫ В НАТУРАЛЬНУЮ ВЕЛИЧИНУ

Коллекции изображенных форм хранятся в геологическом музее СВГУ в г. Магадане, за исключением особо отмеченных форм и брахиопод, хранящихся в ЦГМ в г. Ленинграде и музее ИГГ СО АН СССР в г. Новосибирске

ТАБЛИЦА 1

- Фиг. 1. *Pentacrinus ex gr. subangularis* Mill. Стр. 23
 Поверхность сочленения стебля, $\times 3$; р. Аркагала (бассейн р. Аян-Юряха); нижне-среднейасовые отложения (Ю. М. Бычков, 1959).
- Фиг. 2. То же Стр. 23
 Скопление стеблей, $\times 0,5$. Бассейн р. Вилиги; нижний лейас (Ю. М. Бычков, И. В. Полуботко, 1958).
- Фиг. 3. *Lobothyris punctata* (Sow.). Стр. 26
a — вид со стороны спинной створки; *b* — вид сбоку. Бассейн р. Вилиги; синемюрский ярус (А. С. Дагис, 1960).
- Фиг. 4. *Ochotorhynchia omolonensis* Dagys, gen. et sp. nov. Стр. 25
 Голотип: *a* — вид со стороны спинной створки; *b* — вид со стороны брюшной створки; р. Токур-Юрях (бассейн р. Коркодона); синемюрский ярус (А. С. Дагис, 1962).
- Фиг. 5. *Leda subvexillata* Polub., sp. nov. Стр. 29
 Голотип: *a* — отпечаток правой створки; *b* — то же, $\times 2$; р. Герба (бассейн р. Буюнды); синемюрский ярус (З. В. Орлова, 1962).
- Фиг. 6. То же Стр. 29
 Наружное ядро левой створки, $\times 2$; р. Правая Хета (бассейн р. Бохапчи); нижний лейас (И. В. Полуботко, 1961).

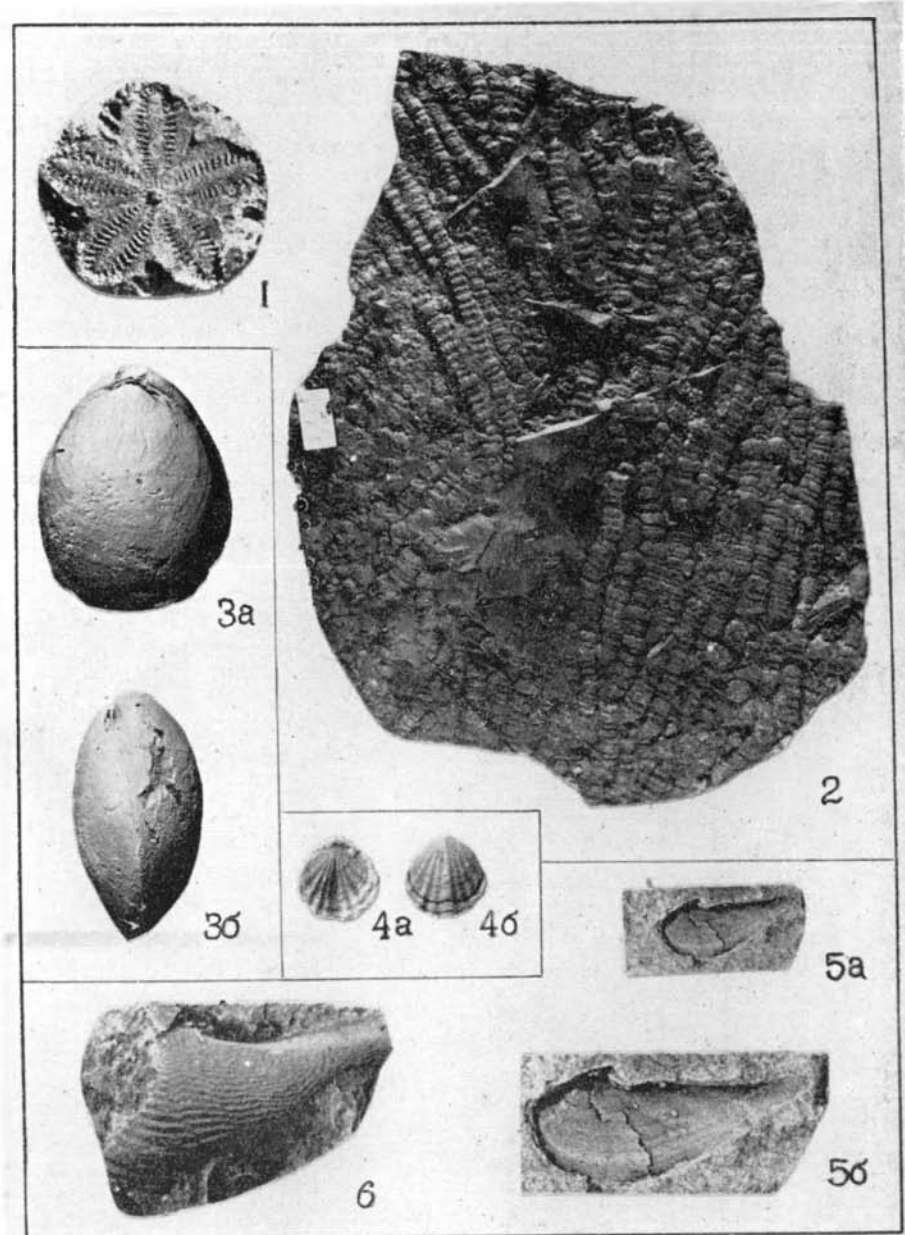


ТАБЛИЦА 2

Фиг. 1—5. *Monotis inopinata* Polub., sp. nov.

Стр. 32

1 — голотип: 1а — левая створка; 1б — правая створка; 1в — вид раковины с сомкнутыми створками спереди; 2а — левая створка, $\times 2$; 2б — правая створка, $\times 2$; 3 — правая створка; 4 — скопленные створки; 5 — левая створка. Верховье р. Визуальной (бассейн р. Коркодона); верхняя часть синемюрского яруса (А. С. Дагис, 1962; И. В. Полуботко, 1963).

Фиг. 6—8. *Meleagrinea subolifex* Polub., sp. nov.

Стр. 38

6 — голотип: внутреннее ядро левой створки, $\times 2$; 7 — внутреннее ядро левой створки, $\times 2$; 8 — паратип: внутреннее ядро правой створки, $\times 2$, видны нижняя и задняя части отпечатка левой створки этой же раковины; р. Кедон (бассейн р. Омолон); геттангский ярус (Ю. С. Репин, 1964).

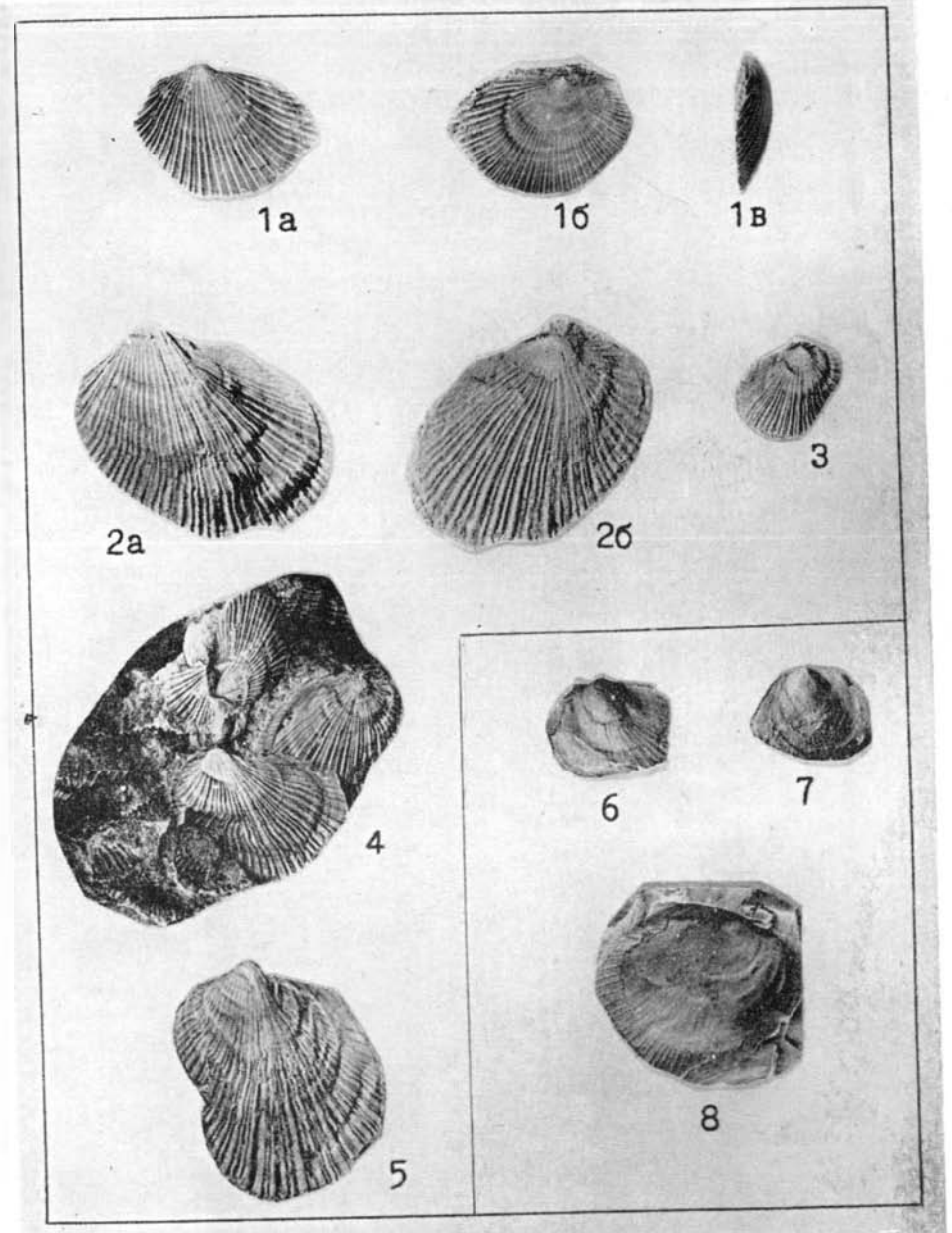
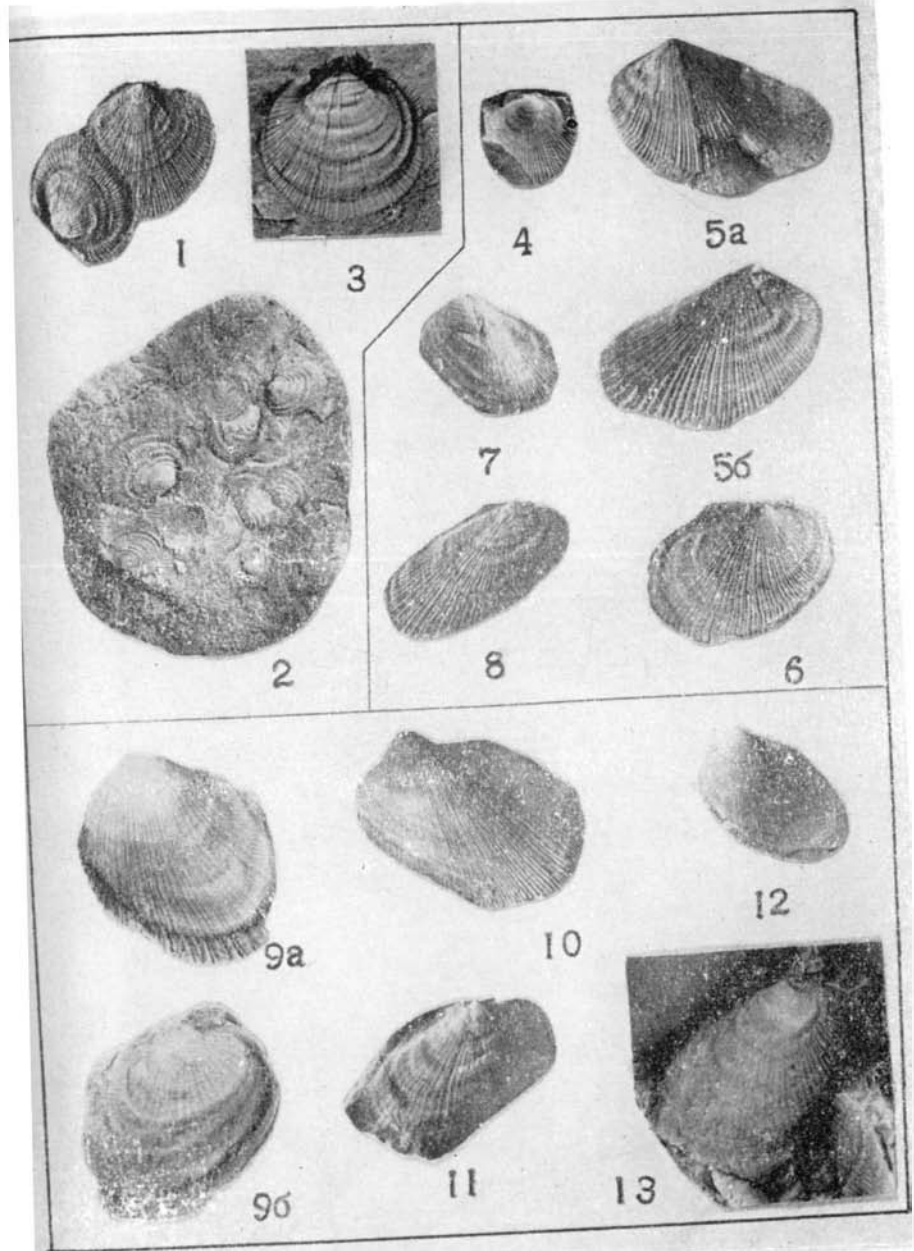


ТАБЛИЦА 3

- Фиг. 1. *Otariria ? originalis* (Kipar.)* Стр. 33
 Голотип: правая и левая створки, $\times 2$; р. Малый Тарын (бассейн р. Индигирки); нижний лейас (Н. Е. Круг, 1938).
- Фиг. 2. То же Стр. 33
 Скопление левых и правых створок. Бассейн р. Селерикана; нижний лейас (И. К. Кондратенко, 1957).
- Фиг. 3. То же Стр. 33
 Правая створка, $\times 2$; р. Вилига; геттангский ярус (Ю. М. Бычков, И. В. Полуботко, 1958).
- Фиг. 4—7. *Otariria pseudooriginalis* (Zakh.) Стр. 34
 4 — правая створка; 5a — левая створка, $\times 2$; 5б — правая створка, $\times 2$; 6 — правая створка, $\times 2$; 7 — левая створка; р. Кедон (бассейн р. Омолона); геттангский ярус (Ю. С. Репин, 1964).
- Фиг. 8. То же Стр. 34
 Правая створка, $\times 2$; р. Вилига; геттангский ярус (Ю. М. Бычков, И. В. Полуботко, 1958).
- Фиг. 9—10. *Otariria ex gr. marshalli* (Tsch.) Стр. 34
 9a — левая створка; 9б — правая створка; 10 — левая створка. Верховье р. Визуальной (бассейн р. Коркодона); синемюрский ярус (А. С. Дагис, 1962).
- Фиг. 11. То же Стр. 34
 Правая створка; р. Вилига; нижний лейас (Ю. М. Бычков, И. В. Полуботко, 1958).
- Фиг. 12, 13. То же Стр. 34
 12 — левая створка; 13 — правая створка, $\times 2$; р. Малая Туромча (бассейн р. Гижиги); синемюрский ярус (И. В. Полуботко, 1961).



* Голотип хранится в ЦГМ в г. Ленинграде.

ТАБЛИЦА 4

Фиг. 1—7. *Otaria limaeformis limaeformis* Tschk. Стр. 35

1 — левая створка; 2 — правая створка; 3 — левая створка; 4 — правая створка; 5 — левая створка, $\times 2$; 6 — правая створка, $\times 2$; 7 — отпечаток левой створки и внутреннее ядро правой створки; р. Влига; нижний лейас (А. С. Дагис, 1960).

Фиг. 8—9. *Otaria otolopica* Polub., sp. nov. Стр. 37

8a — левая створка; 8б — правая створка; 9a — левая створка; 9б — правая створка. Верховье р. Визуальной (бассейн р. Коркодона); синемюрский ярус (А. С. Дагис, 1962).

Фиг. 10. То же Стр. 37

Голотип: а — левая створка, $\times 2$; б — правая створка, $\times 2$; р. Кедон (бассейн р. Омолона); нижняя часть синемюрского яруса (Ю. С. Репин, 1964).

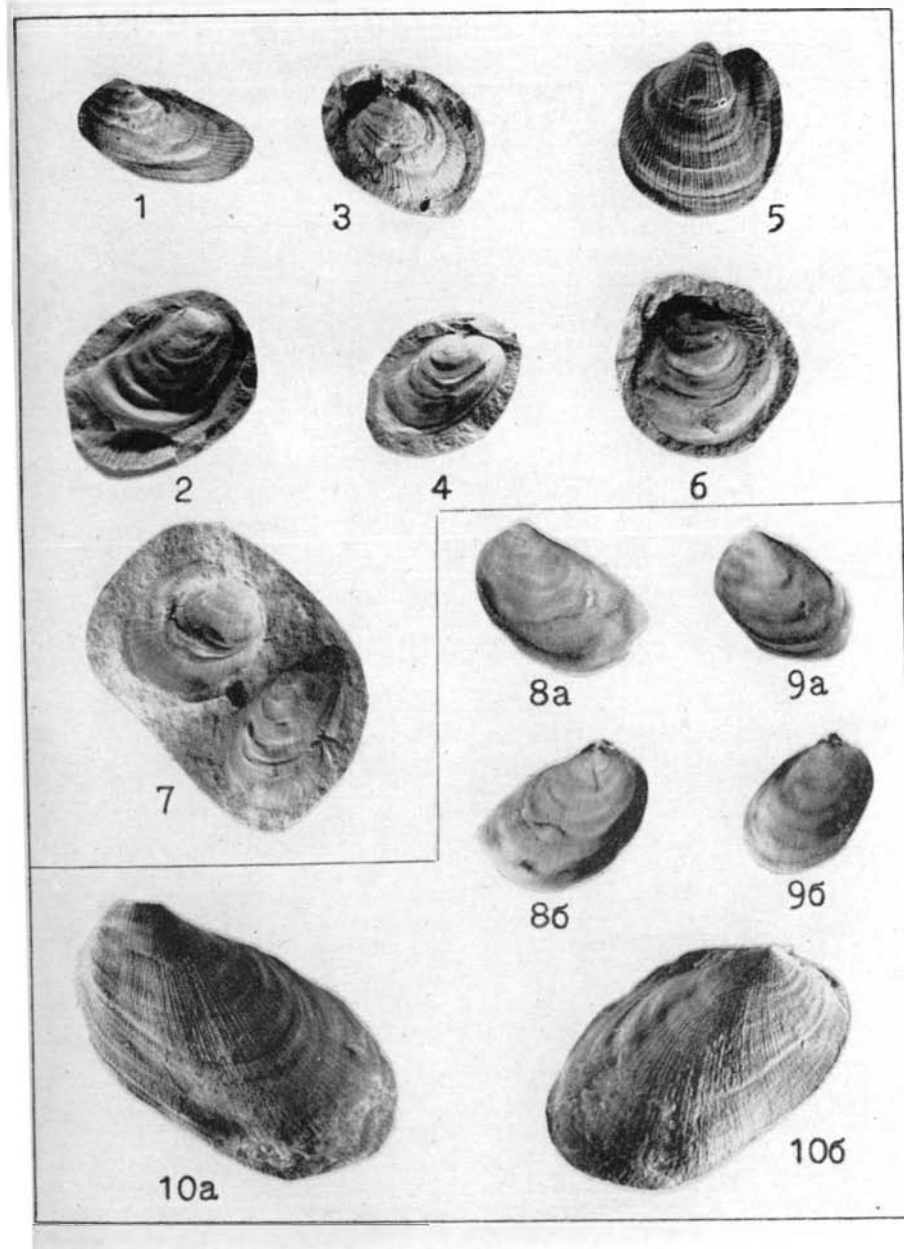


ТАБЛИЦА 5

- Фиг. 1—2. *Otariria limaeformis affecta* Polub., subsp. nov. Стр. 36
 1 — голотип: левая створка; 2 — левая створка. Верховье р. Визуальной (бассейн р. Коркодона); синемюрский ярус (И. В. Полуботко, 1962).
- Фиг. 3. То же Стр. 36
 3а — внутреннее ядро левой створки; 3б — внутреннее ядро правой створки; р. Герба (бассейн р. Буюнды); синемюрский ярус (З. И. Орлова, 1962).
- Фиг. 4—5. То же Стр. 36
 4 — паратип: 4а — правая створка; 4б — вид той же створки сверху, $\times 2$; 5 — правая створка; р. Малая Туромча (бассейн р. Гижиги); верхняя часть синемюрского яруса (И. В. Полуботко, 1961).
- Фиг. 6. То же Стр. 36
 Левая створка. Верховье р. Визуальной; синемюрский ярус (А. С. Дагис, 1962).
- Фиг. 7—8. *Oxytoma sinemuriense orientale* Polub., subsp. nov. Стр. 45
 7 — левая створка; 8 — паратип: правая створка; р. Кедон (бассейн р. Омолона); нижняя часть синемюрского яруса (Ю. С. Репин, 1964).
- Фиг. 9. То же Стр. 45
 Голотип: а — левая створка; б — та же створка, $\times 2$; р. Уляган (бассейн р. Омолона); синемюрский ярус (Ю. Р. Васильев, 1958).

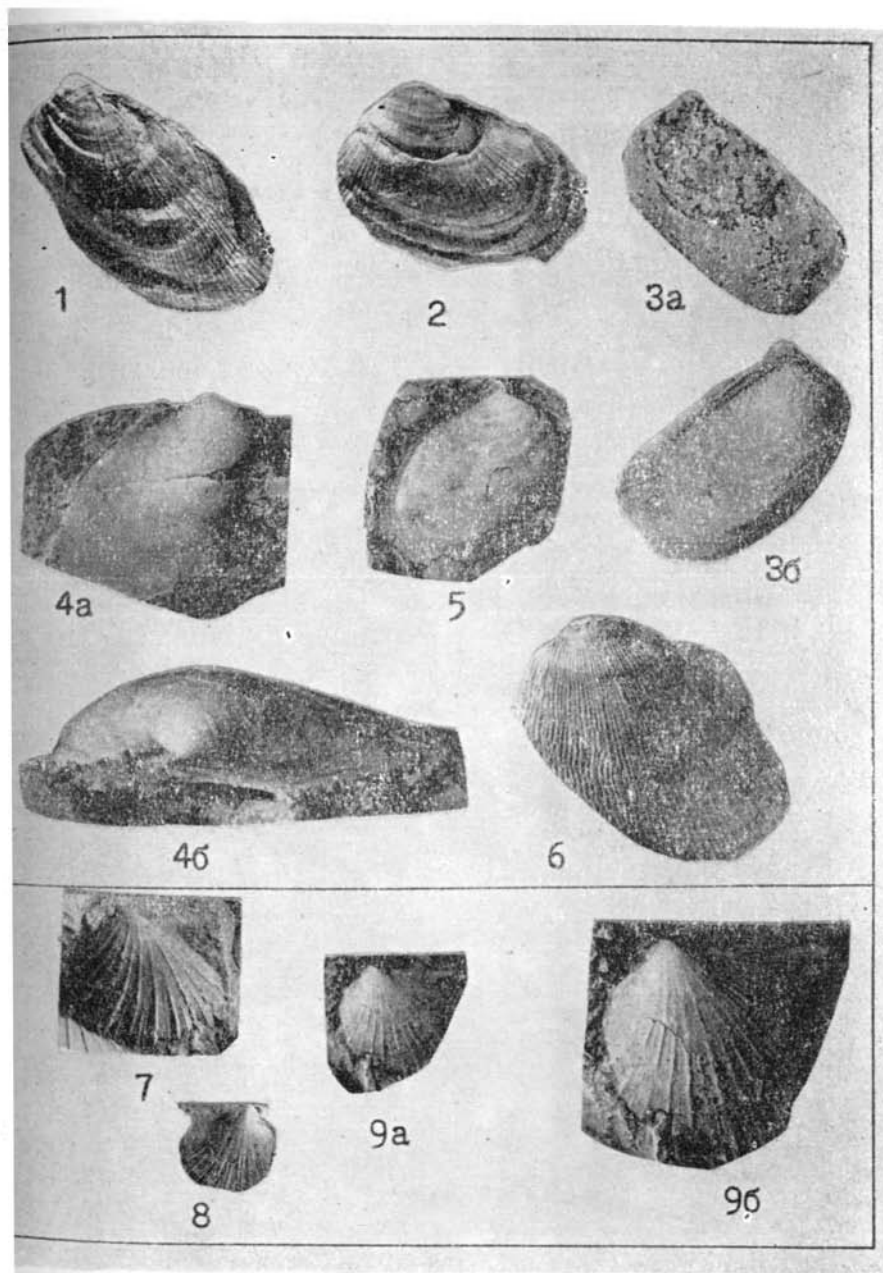


ТАБЛИЦА 6

- Фиг. 1—6. *Pseudomytiloides rassochaensis* Polub., sp. nov. Стр. 61
 1 — голотип: 1а — правая створка; 1б — та же створка, $\times 2$; 2 — правая створка; 3а — левая створка; 3б — правая створка; 4 — левая створка; 5 — вид ядра раковины сзади, $\times 2$, видны связочные ямки; 6а — левая створка; 6б — вид полного ядра той же раковины со стороны заднего края, $\times 3$. Верховье р. Визуальной (бассейн р. Коркодона); синемюрский ярус (А. С. Дагис, 1962; И. В. Полуботко, 1963).
- Фиг. 7. То же Стр. 61
 Правая створка; р. Вилига; нижний лейас (И. И. Тучков, 1945).
- Фиг. 8—9. *Pseudomytiloides latus* Polub., sp. nov. Стр. 62
 8 — голотип: наружное ядро правой створки, $\times 2$; 9 — внутреннее ядро левой створки с частично сохранившимся раковинным слоем; р. Вилига; геттангский ярус (Ю. М. Бычков, И. В. Полуботко, 1958).
- Фиг. 10. *Pseudomytiloides sinuosus* Polub., sp. nov. Стр. 62
 Голотип: правая створка; р. Токур-Юрях (бассейн р. Коркодона); нижний лейас (А. С. Дагис, 1962).
- Фиг. 11. То же Стр. 62
 Отпечаток левой створки; р. Малая Туромча (бассейн р. Гижиги); геттангский ярус (И. В. Полуботко, 1961).

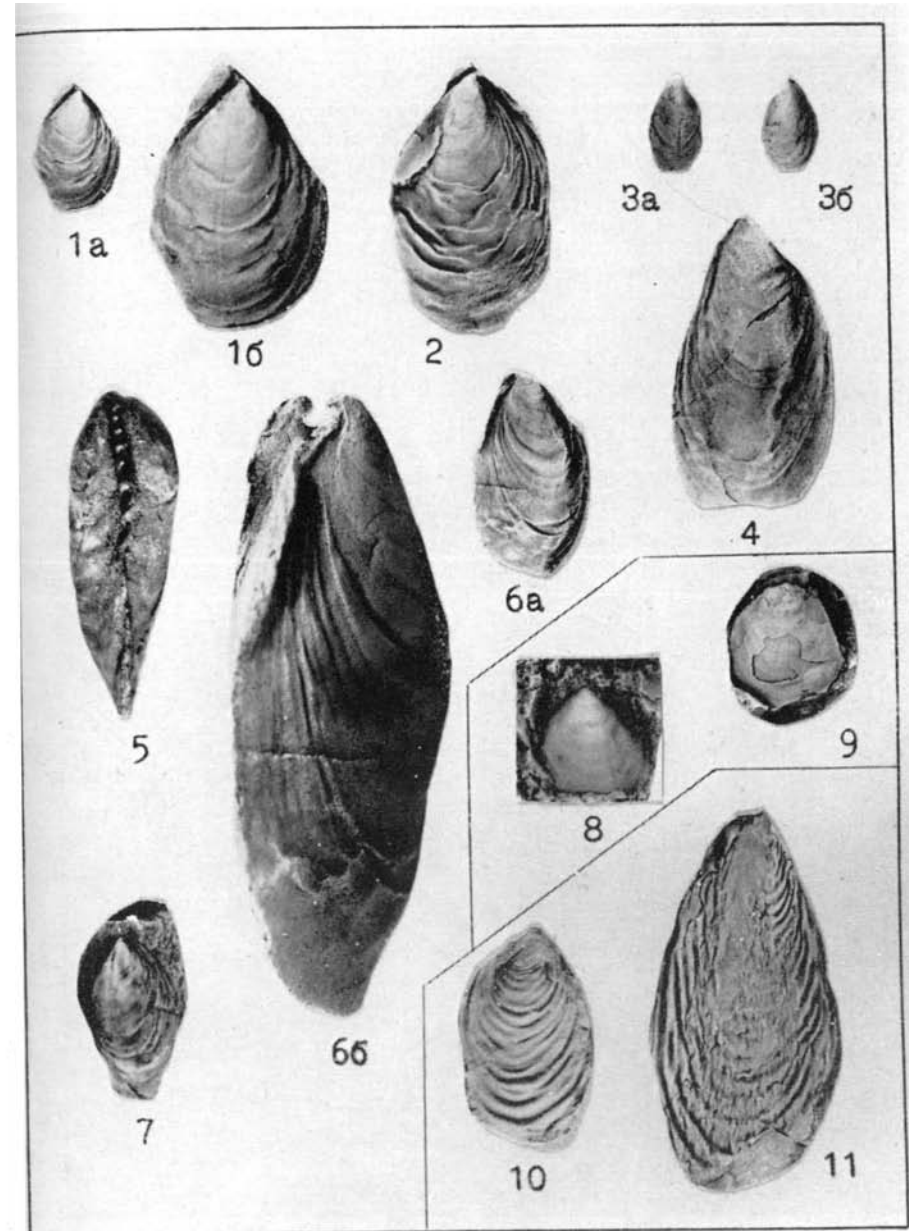


ТАБЛИЦА 7

Фиг. 1—5. *Aequipecten* (?) *staeschei* Polub., sp. nov. Стр. 80

1 — голотип; 1а — внутреннее ядро левой створки с обломанными ушками; 1б — наружное ядро правой створки (раковинный слой сохранился неполностью); 2 — наружное ядро левой створки с отломанным задним ушком; 3а — наружное ядро молодого экземпляра левой створки; 3б — та же створка, $\times 2$; 4 — внутреннее ядро правой створки; 5 — внутреннее ядро левой створки. Верховье р. Визуальной (бассейн р. Коркодона); синемюрский ярус (А. С. Дагис, 1962; И. В. Полуботко, 1963).

Фиг. 6. То же Стр. 80

Внутреннее ядро левой створки; р. Кедон (бассейн р. Омолона); синемюрский ярус (А. П. Шпетный, 1959).

Фиг. 7. То же Стр. 80

Отпечаток левой створки, $\times 2$; р. Уляган (бассейн р. Омолона); синемюрский ярус (Ю. Р. Васильев, 1958).

Фиг. 8—9. То же Стр. 80

8 — внутреннее ядро правой створки; 9 — наружное ядро левой створки; р. Вилига, нижний лейас (Ю. М. Бычков, И. В. Полуботко, 1958).

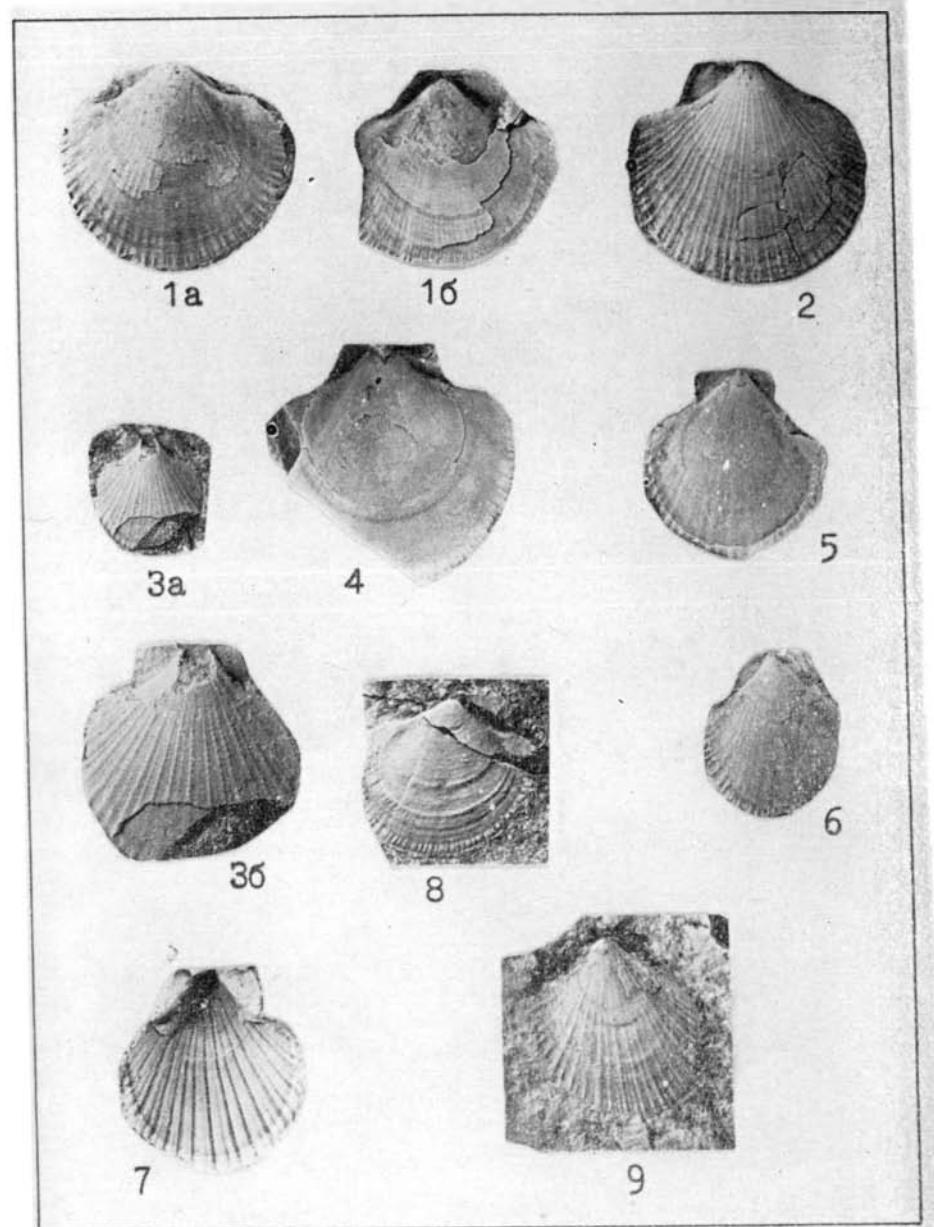


ТАБЛИЦА 8

Фиг. 1—3. *Posidonia ex gr. bronni* Voltz Стр. 76
 1 — скопление створок; 2 — левая створка; 3 — левая и правая створки раскрытой раковины. Бассейн р. Вилиги, синемюрский ярус (Ю. М. Бычков, И. В. Полуботко, 1958).

Фиг. 4. То же Стр. 76
 Правая створка; верховье р. Визуальной (бассейн р. Коркодона); синемюрский ярус (А. С. Дагис, 1962).

Фиг. 5—6. *Lima transversa* Polub. Стр. 84
 5а — внутреннее ядро левой створки; 5б — то же ядро, $\times 2$; 6а — левая створка; 6б — та же створка, $\times 2$. Верховье р. Визуальной (бассейн р. Коркодона); синемюрский ярус (А. С. Дагис, 1962).

Фиг. 7—8. *Anomia lemniscata* Polub., sp. nov. Стр. 89
 7 — голотип; 7а — отпечаток плоской правой створки; 7б — тот же отпечаток, $\times 2$; 8 — обломок выпуклой левой створки, $\times 2$. Верховье р. Визуальной (бассейн р. Коркодона); синемюрский ярус (А. С. Дагис, 1962).

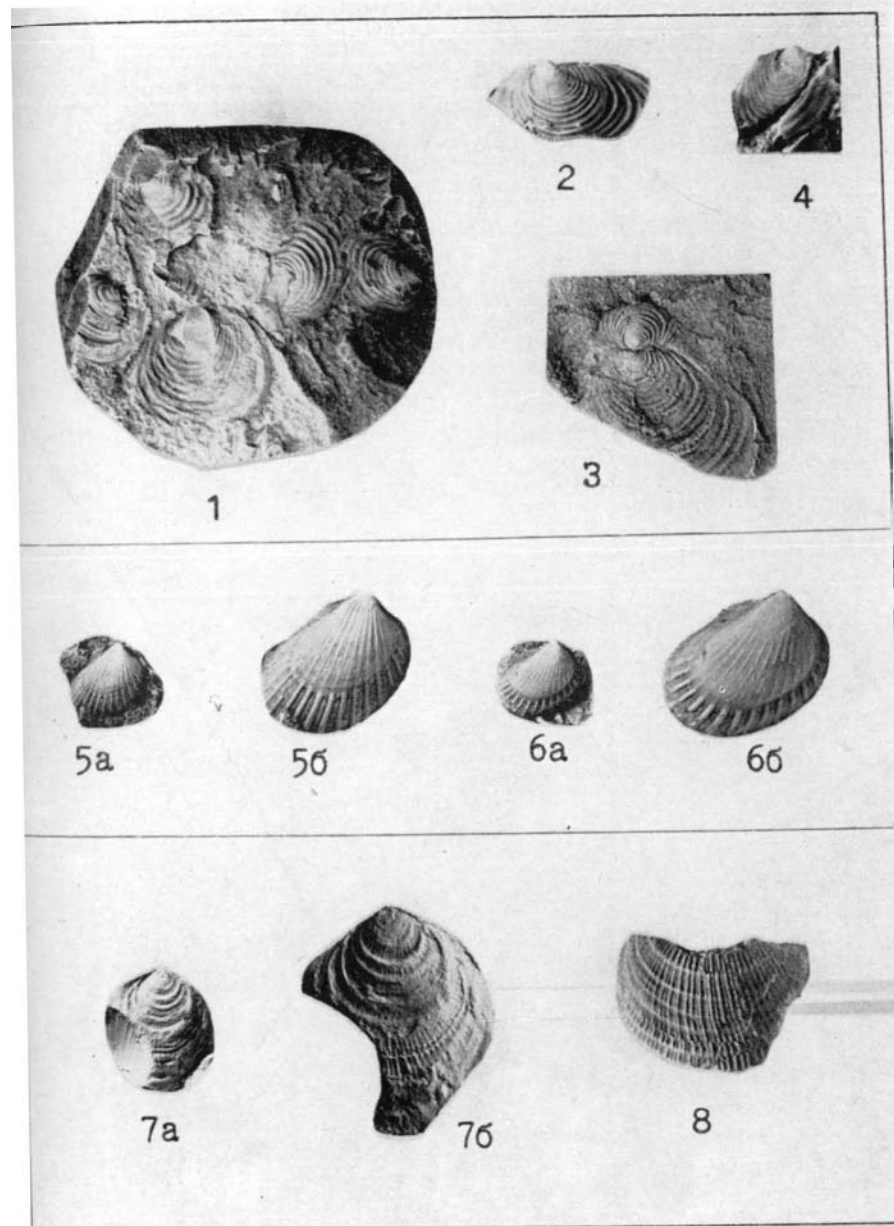
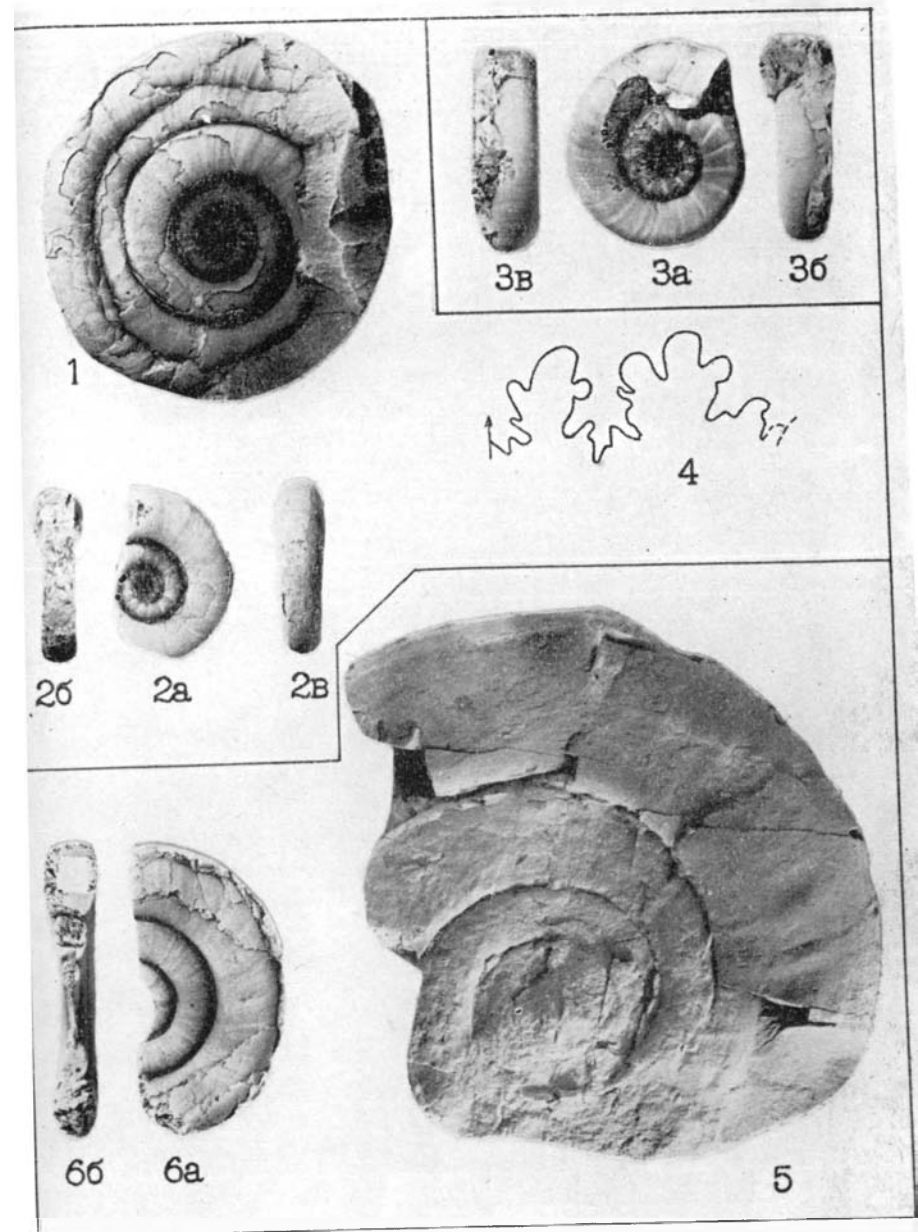


ТАБЛИЦА 9*

- Фиг. 1, 2, 4. *Psiloceras (Psiloceras) suberugatum* Chud. et Polub. Стр. 101
 1 — вид сбоку; 2 — голотип; 2а — вид сбоку; 2б — вид со стороны устья; 2в — вид с наружной стороны; 4 — лопастная линия, $\times 5$. Бассейн р. Вилиги; геттангский ярус, зона *Psiloceras planorbe* (Ю. М. Бычков, И. В. Полуботко, 1958).
- Фиг. 3. *Psiloceras (Psiloceras) viligense* Chud. et Polub. Стр. 102
 Голотип: а — вид сбоку; б — вид со стороны устья; в — вид с наружной стороны. Бассейн р. Вилиги; геттангский ярус, зона *Psiloceras planorbe* (Ю. М. Бычков, И. В. Полуботко, 1958).
- Фиг. 5. *Psiloceras (Psiloceras) cf. planorbe* (Sow.) Стр. 101
 Вид сбоку; р. Кедон (бассейн р. Омолона); геттангский ярус, зона *Psiloceras planorbe* (Ю. С. Репин, 1964).
- Фиг. 6. То же Стр. 101
 а — вид сбоку; б — вид со стороны устья. Бассейн р. Вилиги; геттангский ярус, зона *Psiloceras planorbe* (Ю. М. Бычков, И. В. Полуботко, 1958).



* Образцы, изображенные на фиг. 1, 2, 3, 6, хранятся в ЦГМ в г. Ленинграде.

ТАБЛИЦА 10

- Фиг. 1—2. *Psiloceras* (*Franziceras* ?) *primulum* Repin, sp. nov. Стр. 102
 1 — голотип: вид сбоку; 2 — вид сбоку; р. Кедон (бассейн р. Омолона); геттангский ярус, зона *Psiloceras planorbis* (Ю. С. Репин, 1964).
- Фиг. 3. *Schlotheimia* ? sp. Стр. 105
 а — вид сбоку; б — лопастная линия, $\times 4$; р. Кедон (бассейн р. Омолона); геттангский ярус, зона *Alsatites liasicus* (Ю. С. Репин, 1964).

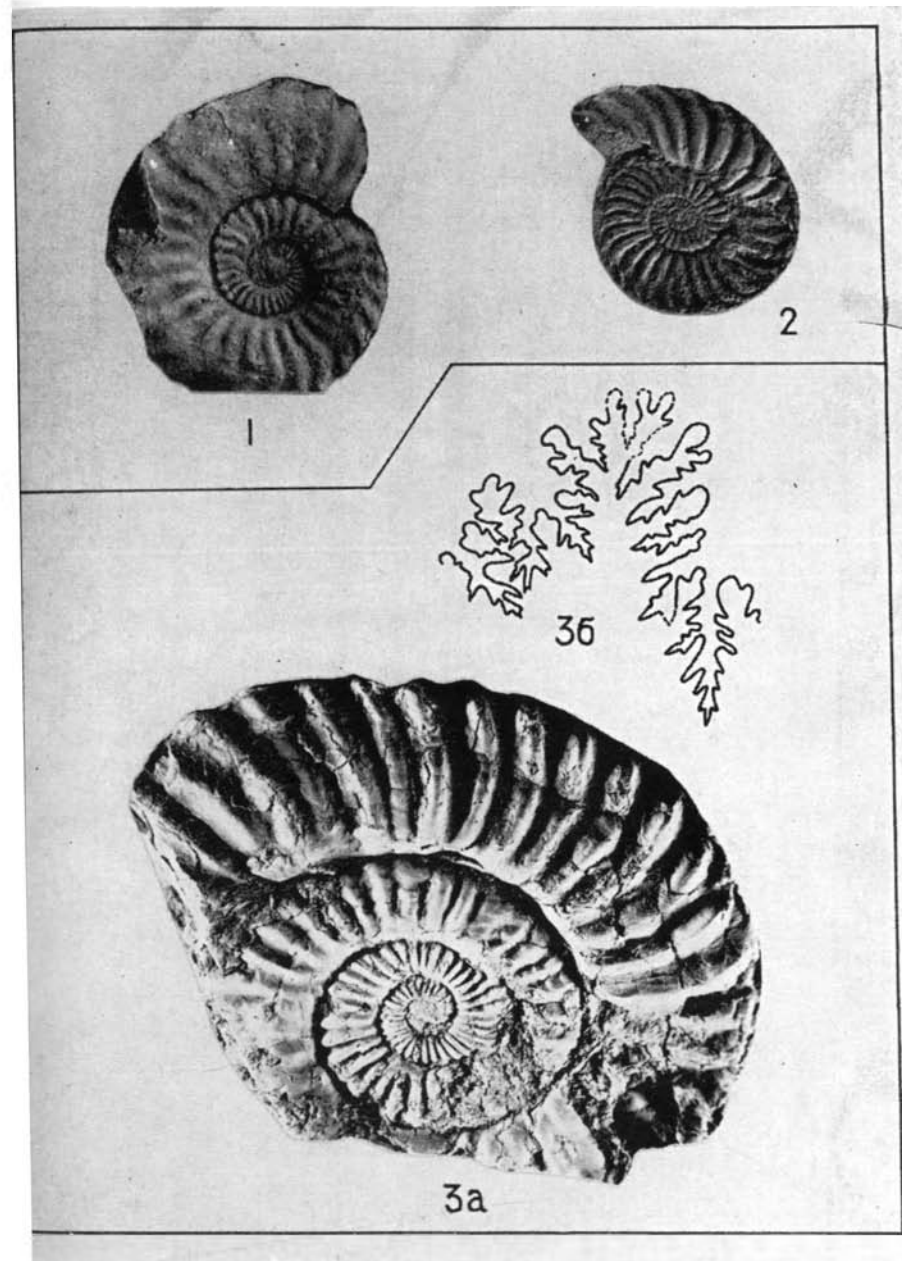


ТАБЛИЦА 11

Фиг. 1—3. *Waehneroceras angustum* A. Dagis

Стр. 103

1а — вид сбоку; 1б — лопастная линия при $D = 62$ мм, $B = 18$ мм, $\times 3$; 2а — молодая форма, вид сбоку; 2б — вид со стороны устья; 2в — вид с наружной стороны; 3а, б — вид сбоку; 3в — вид с наружной стороны. Бассейн р. Армани; геттангский ярус, зона *Alsatites liasicus* (И. В. Полуботко, 1962).

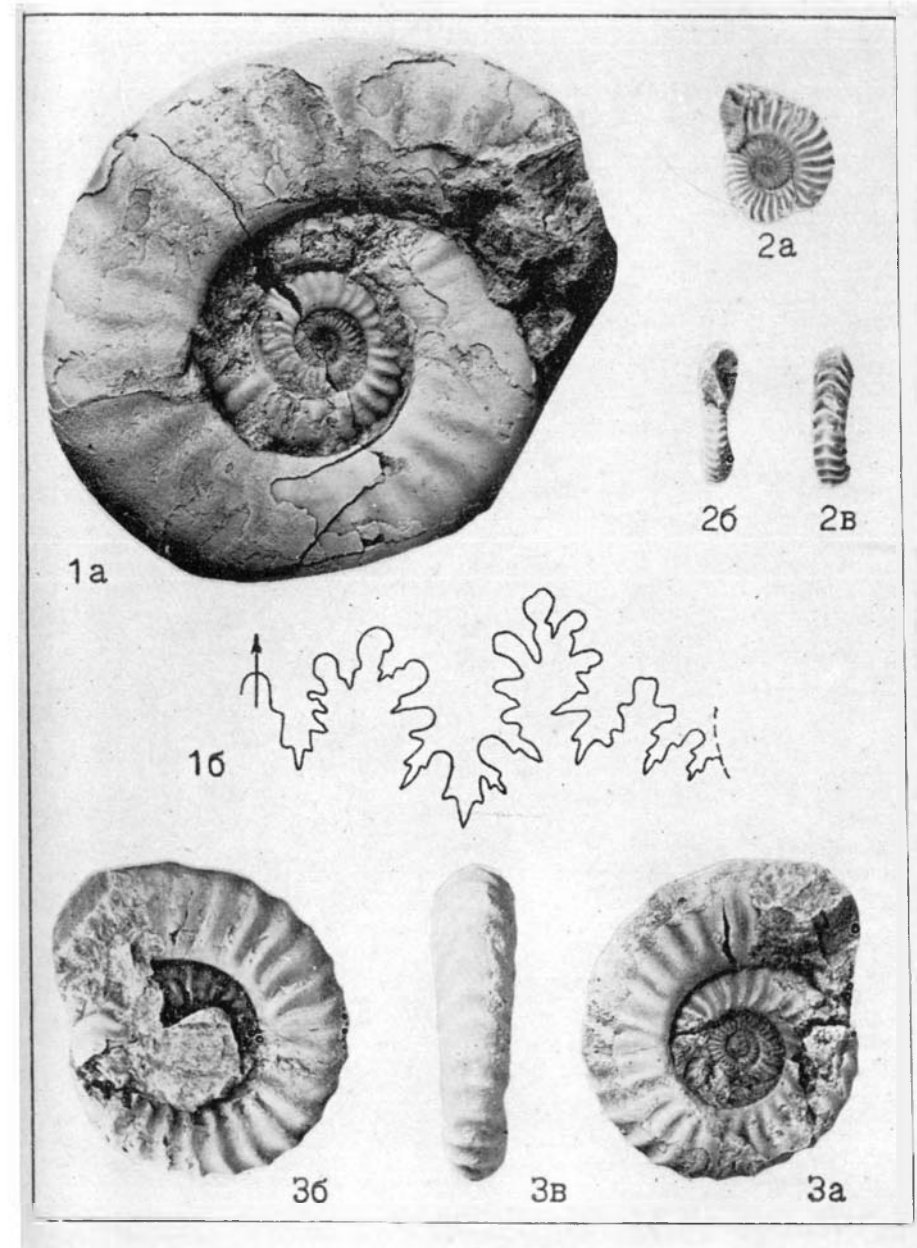


ТАБЛИЦА 12

Фиг. 1. *Waehneroceras arganense* Repin, sp. nov. Стр. 104

Голотип: *a*—вид сбоку; *b*—вид со стороны устья; *в*—вид с наружной стороны; *г*—лопастная линия при $D=69$ мм, $B=13$ мм, $\times 4.5$. Бассейн р. Армани; геттангский ярус, зона *Alsatites liasicus* (И. В. Полуботко, 1962).

Фиг. 2—4. *Schlotheimia* ex gr. *angulata* (Schloth.) Стр. 104

2a—обломок наружного оборота, вид сбоку; *2б*—вид с наружной стороны; *3*—вид сбоку; *4*—вид сбоку; р. Кедон (бассейн р. Омолон); геттангский ярус, зона *Schlotheimia angulata* (Ю. С. Репин, 1964).

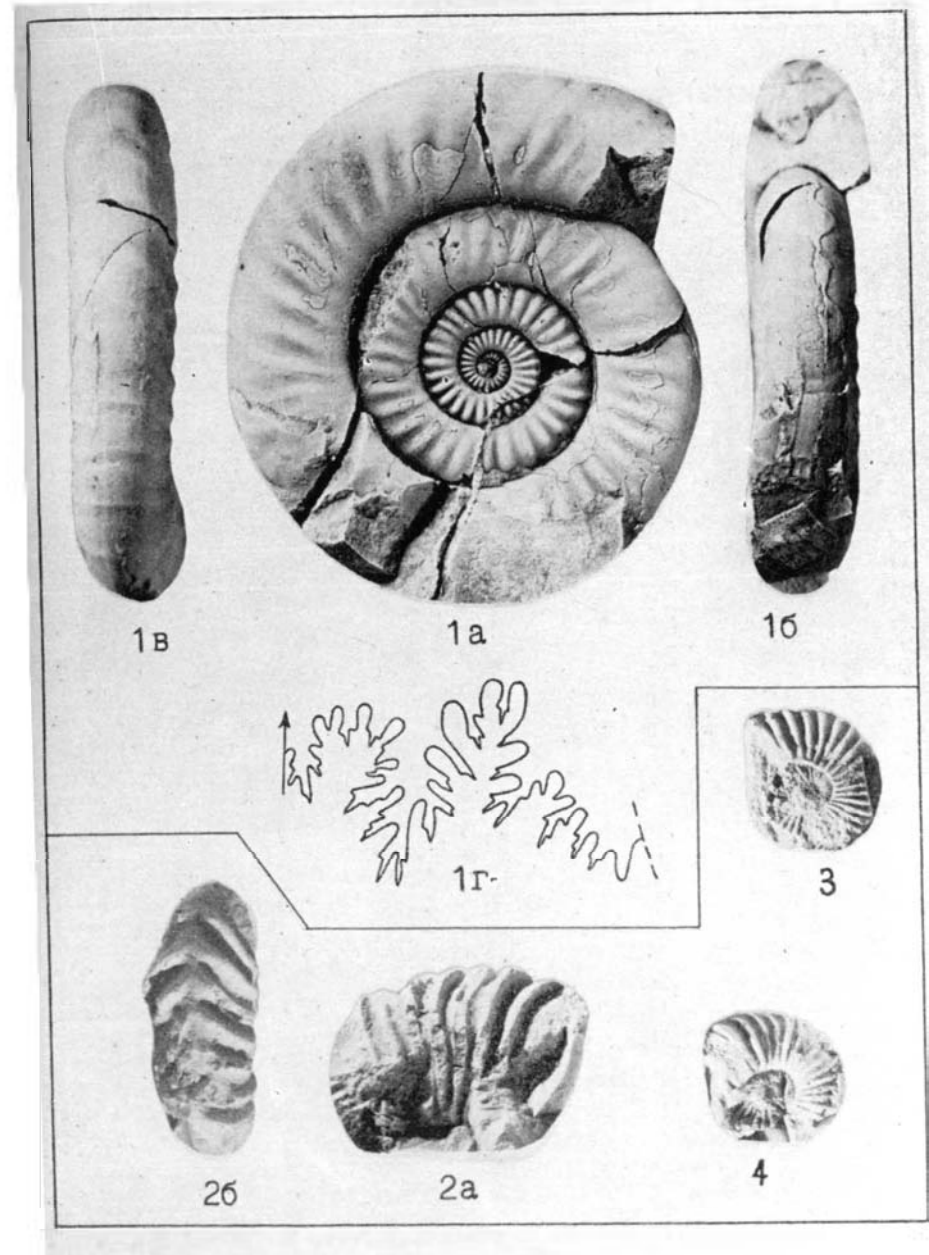


ТАБЛИЦА 13

Фиг. 1, 2. *Arietites libratus* Repin, sp. nov.

Стр. 106

1а — вид сбоку; $\times 0,8$; 1б — вид с наружной стороны, $\times 0,8$; 2а — вид сбоку; 2б — вид со стороны устья; р. Кедон (бассейн р. Омолона); синемюрский ярус, зона *Arietites bucklandi* (Ю. С. Репин, 1964).

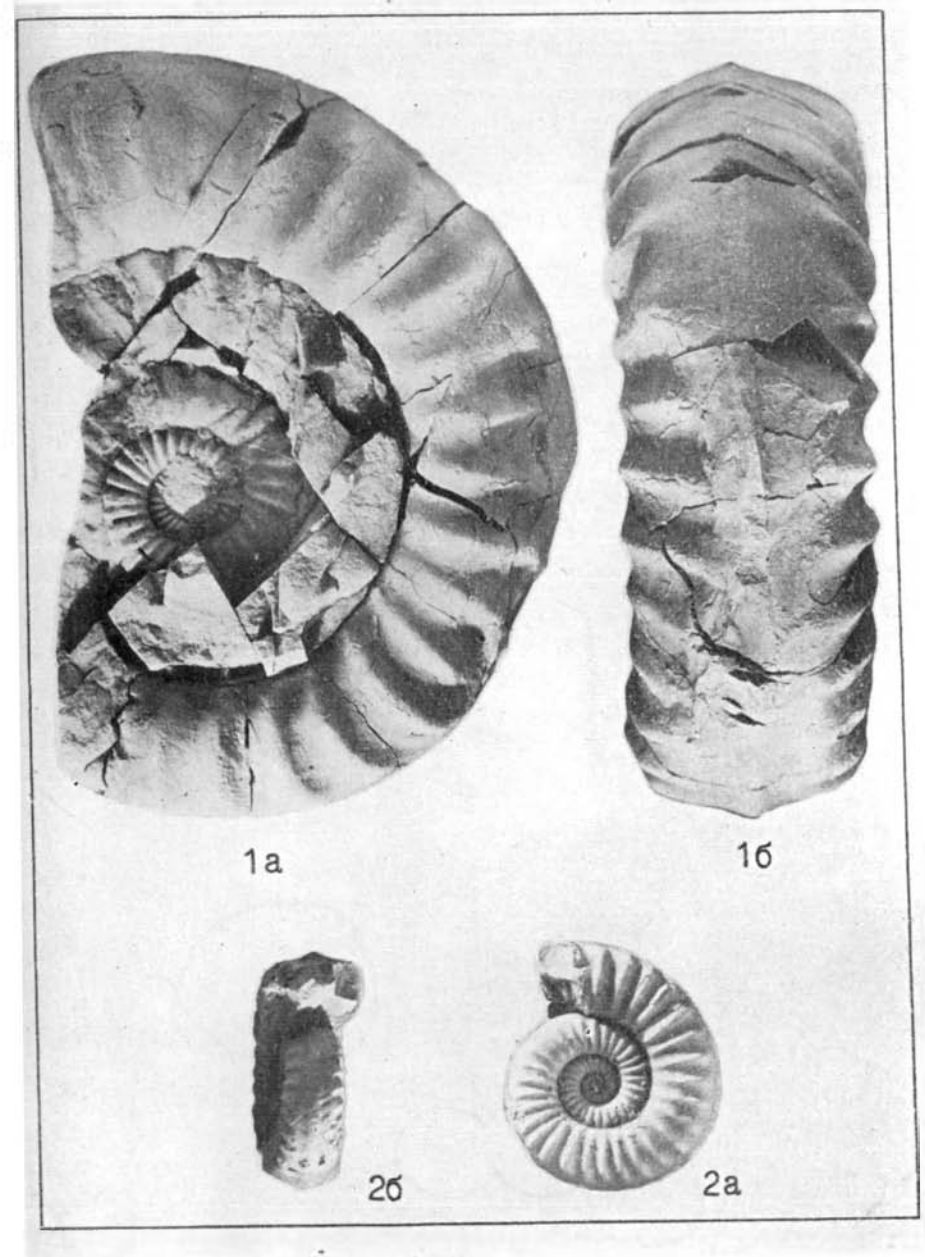


ТАБЛИЦА 14

Фиг. 1. *Arietites libratus* Repin, sp. nov.

Стр. 106

Голотип: вид сбоку, $\times 0,83$; р. Кедон (бассейн р. Омолона);
синемюрский ярус, зона *Arietites bucklandi* (Ю. С. Репин, 1964).

ТАБЛИЦА 15

Фиг. 1. *Coroniceras* (*Paracoroniceras*) *siverti* (Tschk.) Стр. 107
Вид сбоку, $\times 0,63$; р. Кедон (бассейн р. Омолона); синемюрский
ярус, зона *Coroniceras siverti* (Ю. С. Репин, 1964).

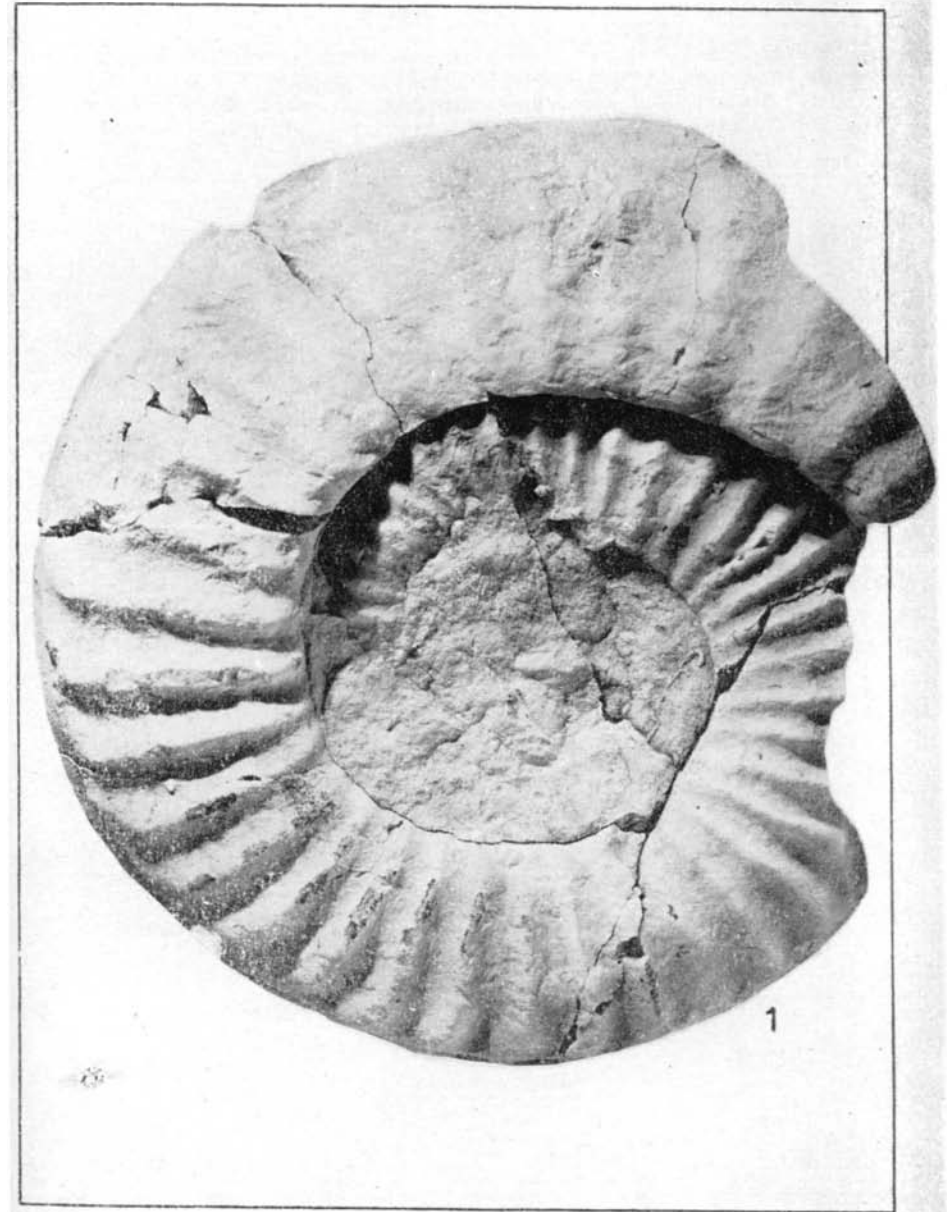


ТАБЛИЦА 16

- Фиг. 1. *Arietites libratus* Repin, sp. nov. Стр. 106
Голотип: вид с наружной стороны экземпляра, изображенного на табл. 14, $\times 0,83$.
- Фиг. 2. *Coroniceras* (*Paracorniceras*) *siverti* (Tuchk.) Стр. 107
Вид с наружной стороны экземпляра, изображенного на табл. 15, $\times 0,63$.

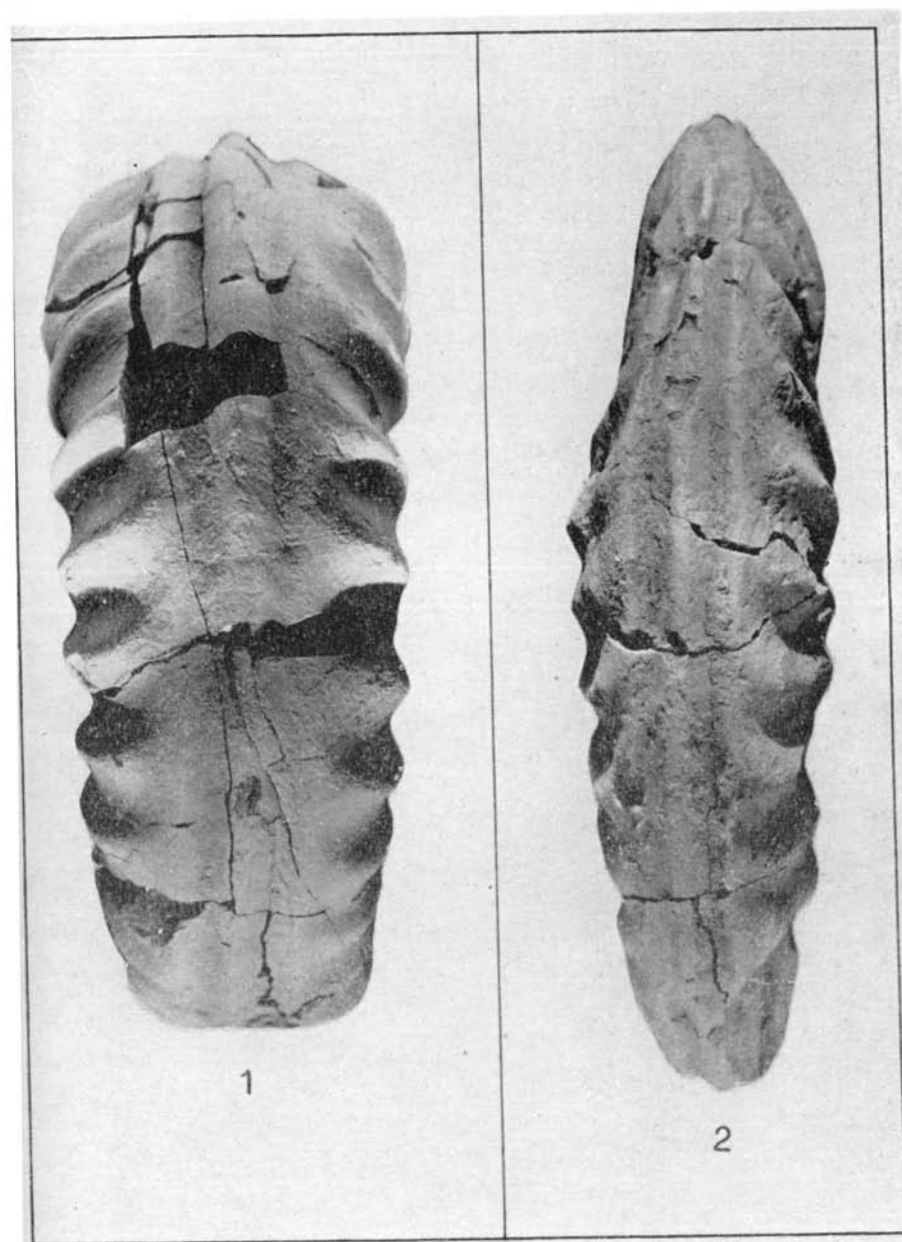


ТАБЛИЦА 17

- Фиг. 1. *Eparietites* cf. *denotatus* (Simps.) Стр. 107
Обломок наружного оборота, вид сбоку, $\times 0,74$. Верховье р. Визуальной (бассейн р. Коркодона); синемюрский ярус, зона *Cogniceras siverti* (И. В. Полуботко, 1963).
- Фиг. 2. *Angulaticeras kolymicum* Repin, sp. nov. Стр. 105
Пластилиновый слепок, вид сбоку; р. Талая (бассейн р. Бююнды); синемюрский ярус, зона *Angulaticeras kolymicum* (А. А. Федоренко, 1964).
- Фиг. 3. То же Стр. 105
Голотип: вид сбоку; верховье р. Визуальной (бассейн р. Коркодона); синемюрский ярус, зона *Angulaticeras kolymicum* (В. И. Павлов, 1964).
- Фиг. 4. То же Стр. 105
Вид сбоку; верховье р. Визуальной (бассейн р. Коркодона); синемюрский ярус, зона *Angulaticeras kolymicum* (И. В. Полуботко, 1963).

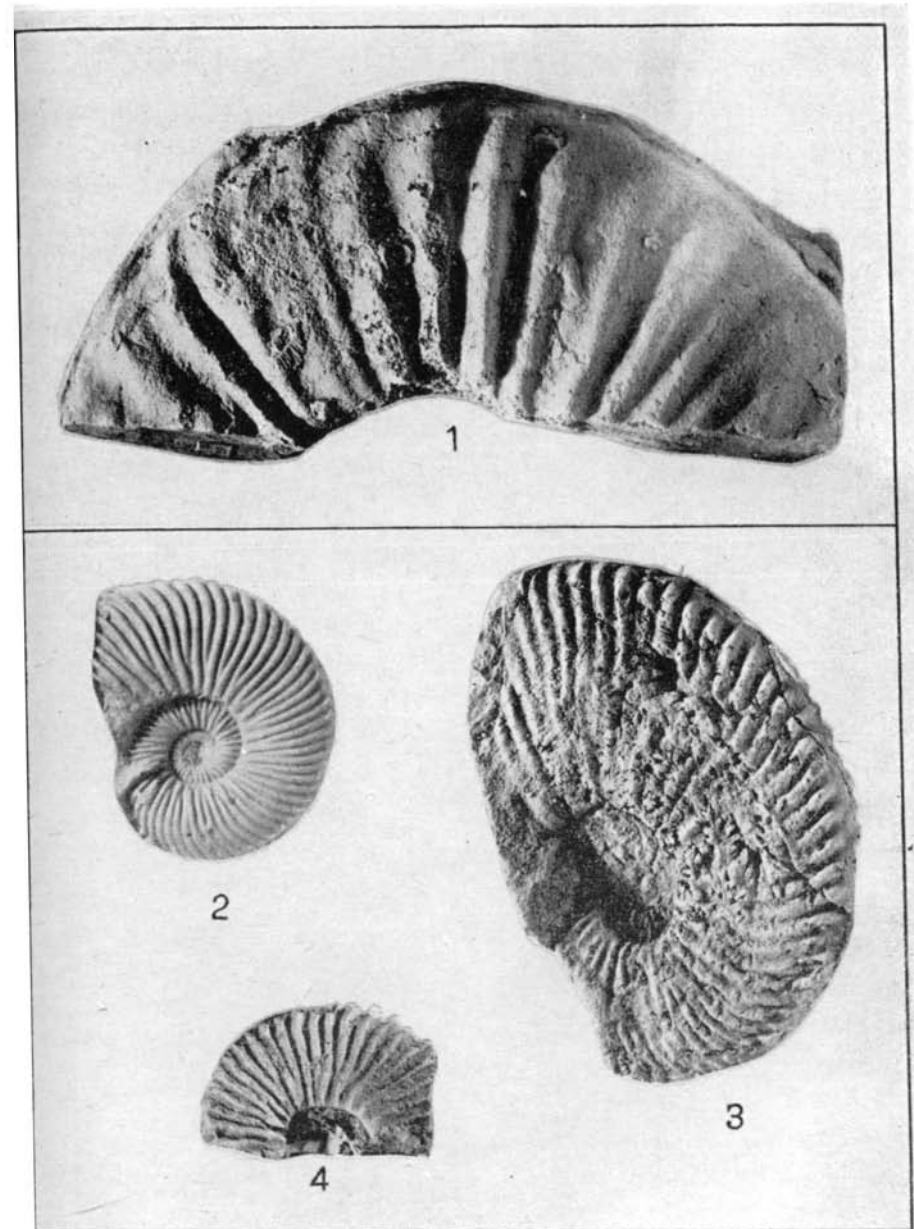


ТАБЛИЦА 18

Фиг. 1—3. *Thaumatopteris cf. schenkij* Nath. Стр. 135

1 — участок основания почти полного листа; 2 — рисунок того же экземпляра; 3 — перо более крупного листа. Верховье р. Визуальной (бассейн р. Коркодона); нижний лейас (И. В. Полуботко, 1963).

Фиг. 4. *Thaumatopteris brauniana* Popr ? Стр. 136

Перо листа; верховье р. Визуальной (бассейн р. Коркодона); нижний лейас (А. С. Дагис, 1962).

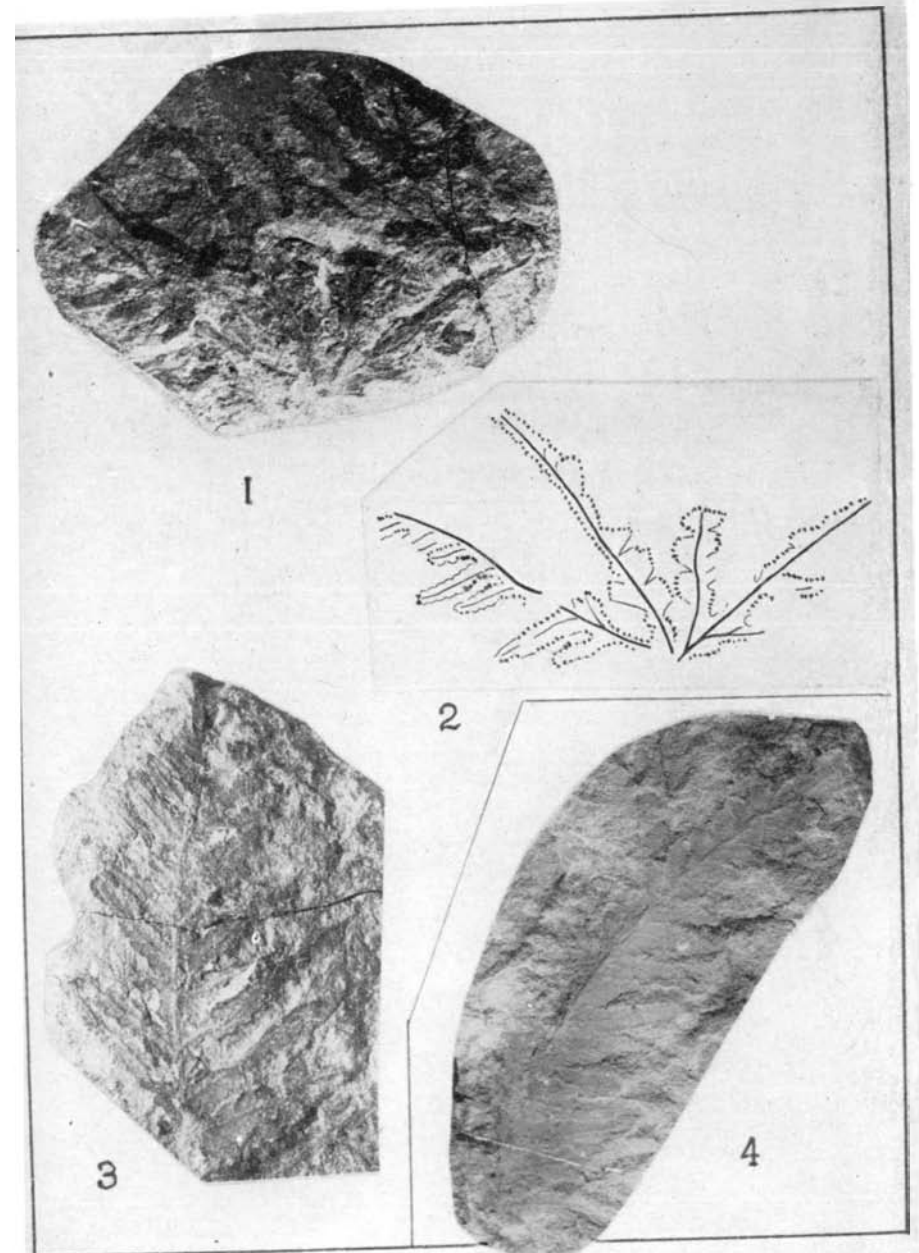


ТАБЛИЦА 19

- Фиг. 1. *Septaliphoria* ? *viligaensis* Moiss. Стр. 23
a — вид со стороны спинной створки; *b* — вид со стороны брюшной створки; бассейн р. Вилиги; верхняя часть плинсбахского яруса (А. С. Дагис, 1960).
- Фиг. 2. *Rimirhynchia maltanensis* Dagys, sp. nov. Стр. 24
 Голотип: *a* — вид со стороны спинной створки; *b* — вид со стороны брюшной створки; *в* — вид сбоку; *г* — вид со стороны лобного края; р. Малтан (бассейн р. Бохапчи); плинсбахский ярус (И. В. Полуботко, 1961).
- Фиг. 3. *Zeilleria darwini* (E.—Desl.) Стр. 28
 Вид со стороны спинной створки; бассейн р. Бол. Анюя; плинсбахский ярус (Б. Ф. Палымский, 1962).

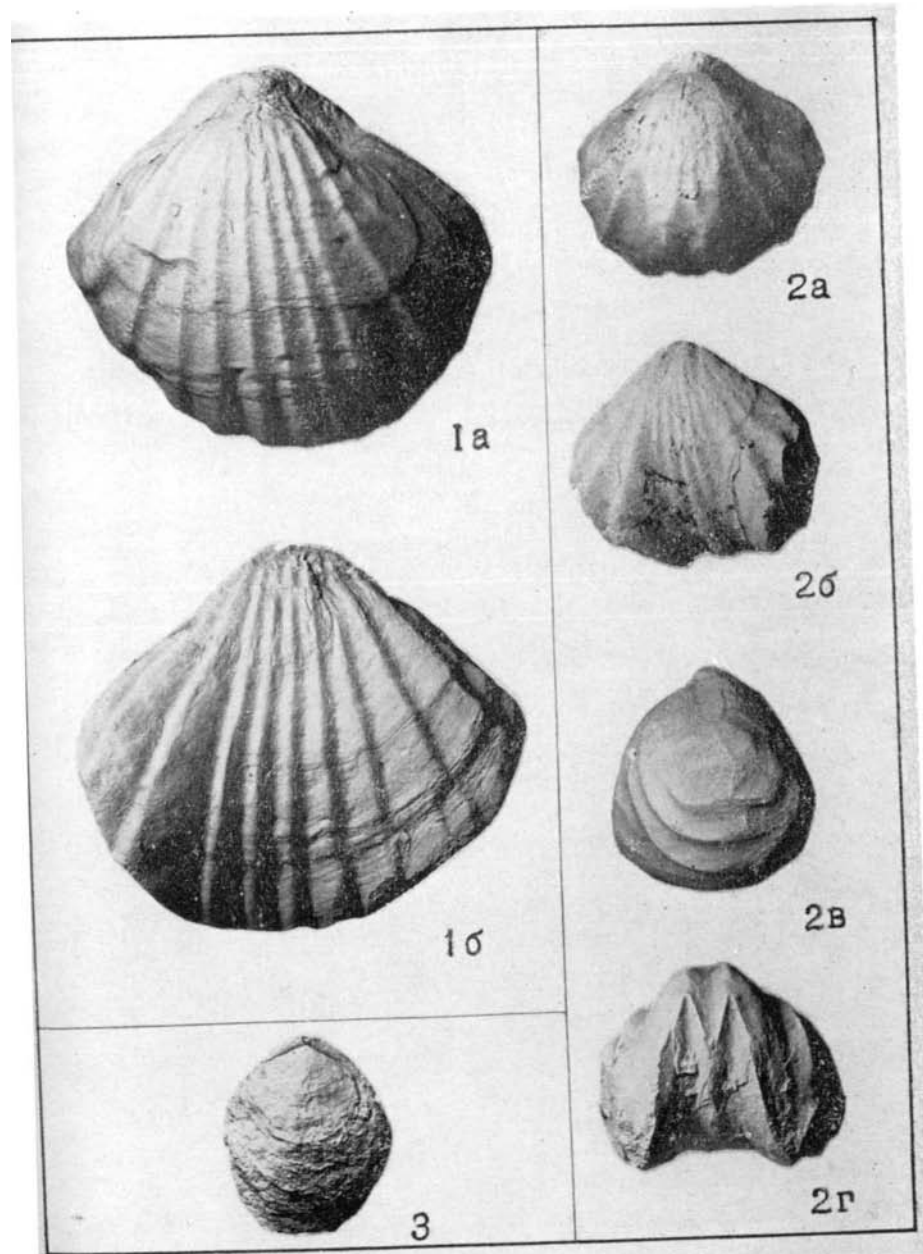


ТАБЛИЦА 20

- Фиг. 1. *Peregrinelloidea malkovi* Dagys, sp. nov. Стр. 25
 Голотип: *a* — вид со стороны спинной створки; *b* — вид со стороны брюшной створки; бассейн р. Бохалчи; плинсбахский ярус (Б. И. Мальков, 1962).
- Фиг. 2—4. *Rudirhynchia najahensis* (Moiss.) Стр. 24
2a — вид со стороны спинной створки; *2б* — вид со стороны брюшной створки; *2в* — вид со стороны лобного края; *3* — брюшная створка; *4* — брюшная створка. Бассейн р. Вилиги; верхняя часть плинсбахского яруса (А. С. Дагис, 1960).
- Фиг. 5. *Loboidothyris orientalis* Dagys, sp. nov. Стр. 26
 Голотип: *a* — вид со стороны спинной створки; *b* — вид со стороны брюшной створки. Бассейн р. Вилиги; верхняя часть плинсбахского яруса (А. С. Дагис, 1960).
- Фиг. 6—7. *Zeilleria ex gr. cornuta* (Sow.) Стр. 28
6a — вид со стороны спинной створки; *6б* — вид со стороны брюшной створки; *7* — брюшная створка. Бассейн р. Вилиги; верхняя часть плинсбахского яруса (А. С. Дагис, 1960).

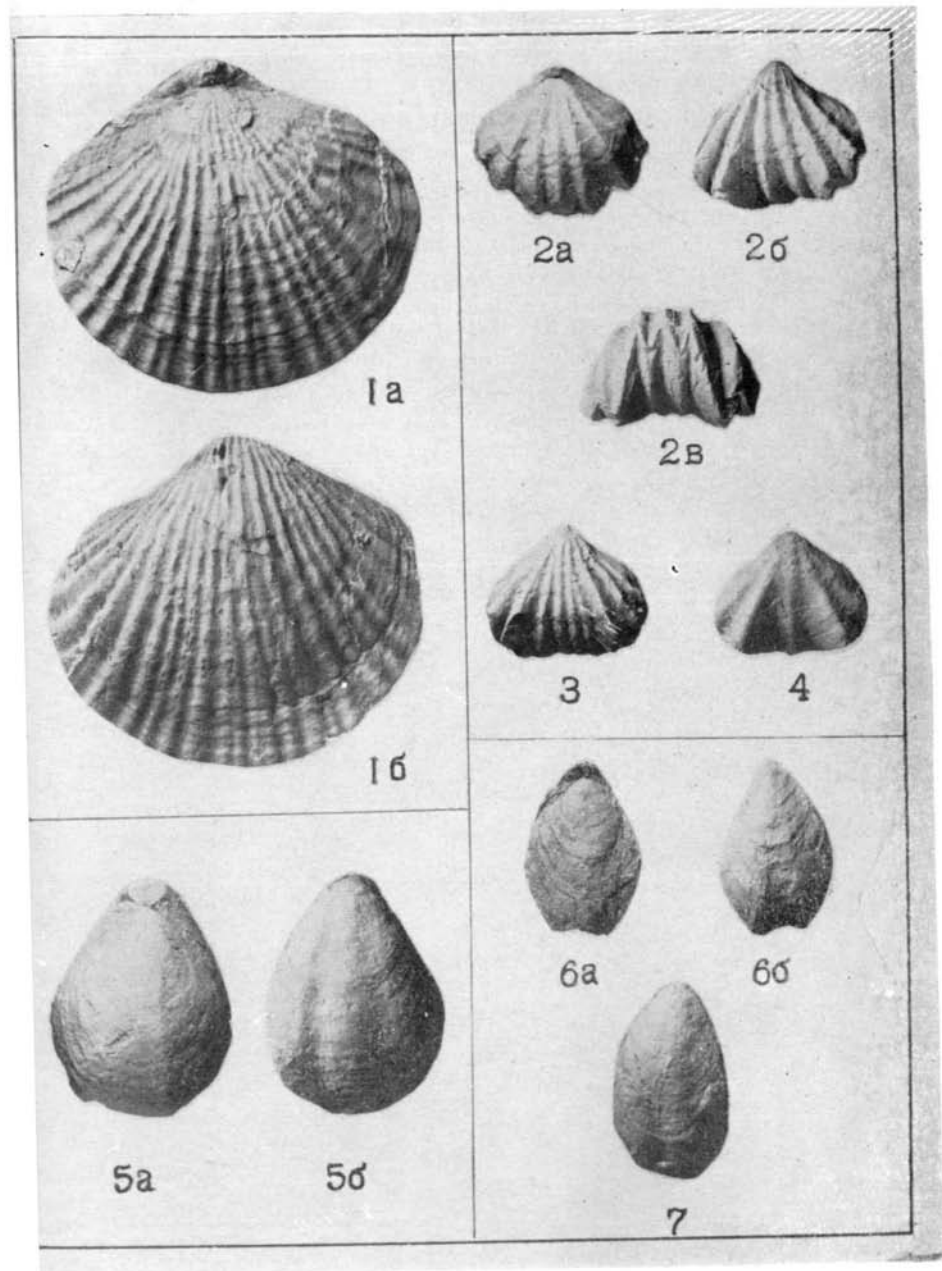


ТАБЛИЦА 21

- Фиг. 1, 2. *Leda formosa* Vor. (in litt.), sp. nov. Стр. 30
 1 — паратип: 1а — наружное ядро левой створки; 1б — та же створка, $\times 2$; 2 — наружное ядро правой створки с обломанным задним концом. Верховье р. Левого Кедона (бассейн р. Омолона); верхняя часть плинсбахского яруса (И. В. Полуботко, 1960).
- Фиг. 3—7. *Meleagrinella ansparisicosta* Polub., sp. nov. Стр. 41
 3а — левая створка; 3б — правая створка; 3в — вид спереди; 4 — голотип: 4а — внутреннее ядро левой створки; 4б — отпечаток правой створки; 5 — внутреннее ядро левой створки; 6 — наружное ядро левой створки; 7 — внутреннее ядро правой створки. Верховье р. Левого Кедона (бассейн р. Омолона); плинсбахский ярус (И. В. Полуботко, 1960).

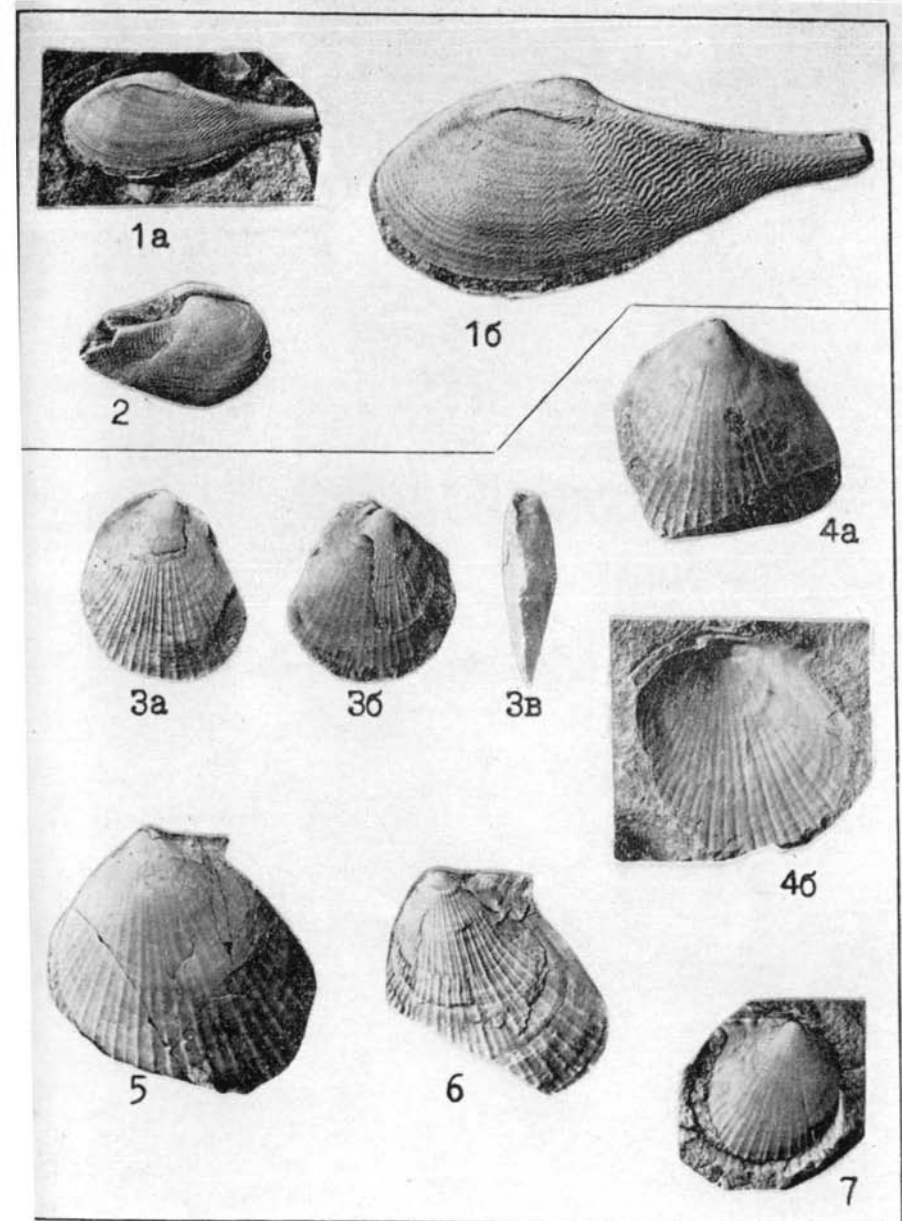


ТАБЛИЦА 22

Фиг. 1—5. *Meleagrinnella oxytomaeformis* Polub., sp. nov. Стр. 39

1 — голотип: внутреннее ядро левой створки; 2 — паратип: внутреннее ядро правой створки; 3 — левая створка с обломанным задним ушком и частично сохранившимся раковинным слоем, $\times 2$; 4 — внутреннее ядро правой створки, $\times 2$; 5 — внутреннее ядро левой створки с остатками раковинного слоя, $\times 2$; р. Русская (бассейн р. Омолона); верхняя часть плинсбахского яруса (И. В. Полуботко, 1960).

Фиг. 6—10. *Meleagrinnella ptchelincevae* Polub., sp. nov. Стр. 40

6 — наружное ядро левой створки; 7 — внутреннее ядро правой створки, $\times 3$; 8 — наружное ядро левой створки, $\times 2$; 9 — голотип: левая створка; 9б — та же створка, $\times 2$; 10 — паратип: внутреннее ядро правой створки. Верховье р. Левого Кедона (бассейн р. Омолона); верхняя часть плинсбахского яруса (И. В. Полуботко, 1960).

Фиг. 11, 12. *Oxytoma cygnipes* (Y. et V.) Стр. 46

11 — левая створка с обломанным задним ушком; 12 — внутреннее ядро левой створки. Алазейское плоскогорье; верхняя часть плинсбахского яруса (М. И. Терехов, 1960).

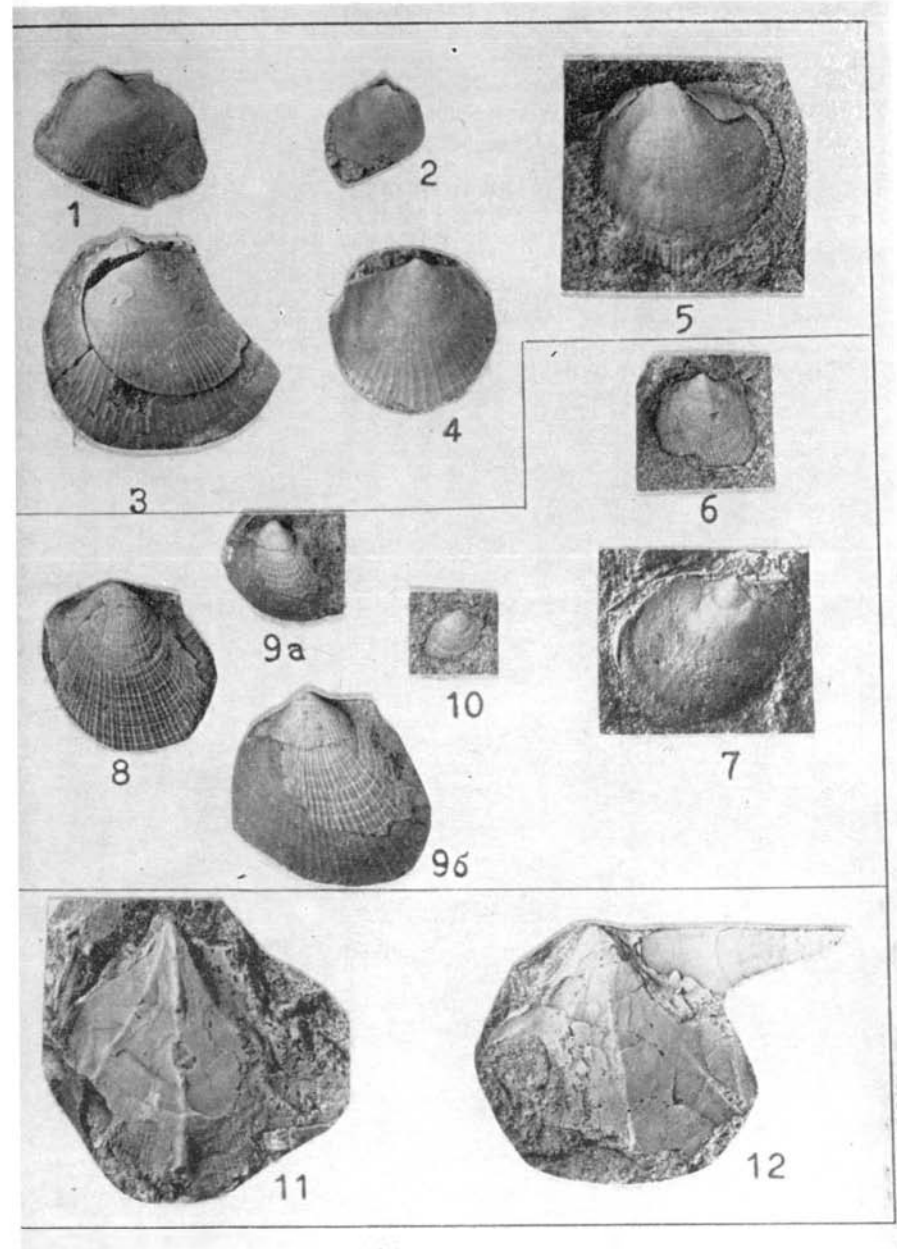


ТАБЛИЦА 23

Фиг. 1—4. *Aguilerella kedonensis* Polub., sp. nov. Стр. 59

1 — голотип: внутреннее ядро левой створки; 2 — фрагмент связочной площадки; 3 — наружное ядро левой створки с обломанными макушкой и частью крыла; 4а — внутреннее ядро правой створки с остатками раковинного слоя; 4б — вид полного ядра сзади. Верховье р. Левого Кедона (бассейн р. Омолона); верхняя часть плинсбахского яруса (И. В. Полуботко, 1960).

Фиг. 5, 6. *Chlamys ex gr. textoria* (Schloth.) Стр. 78

5 — отпечаток правой створки, $\times 3$; 6 — левая створка с обломанным задним ушком; р. Малая Туромча (бассейн р. Гижиги); плинсбахский ярус (И. В. Полуботко, 1961).

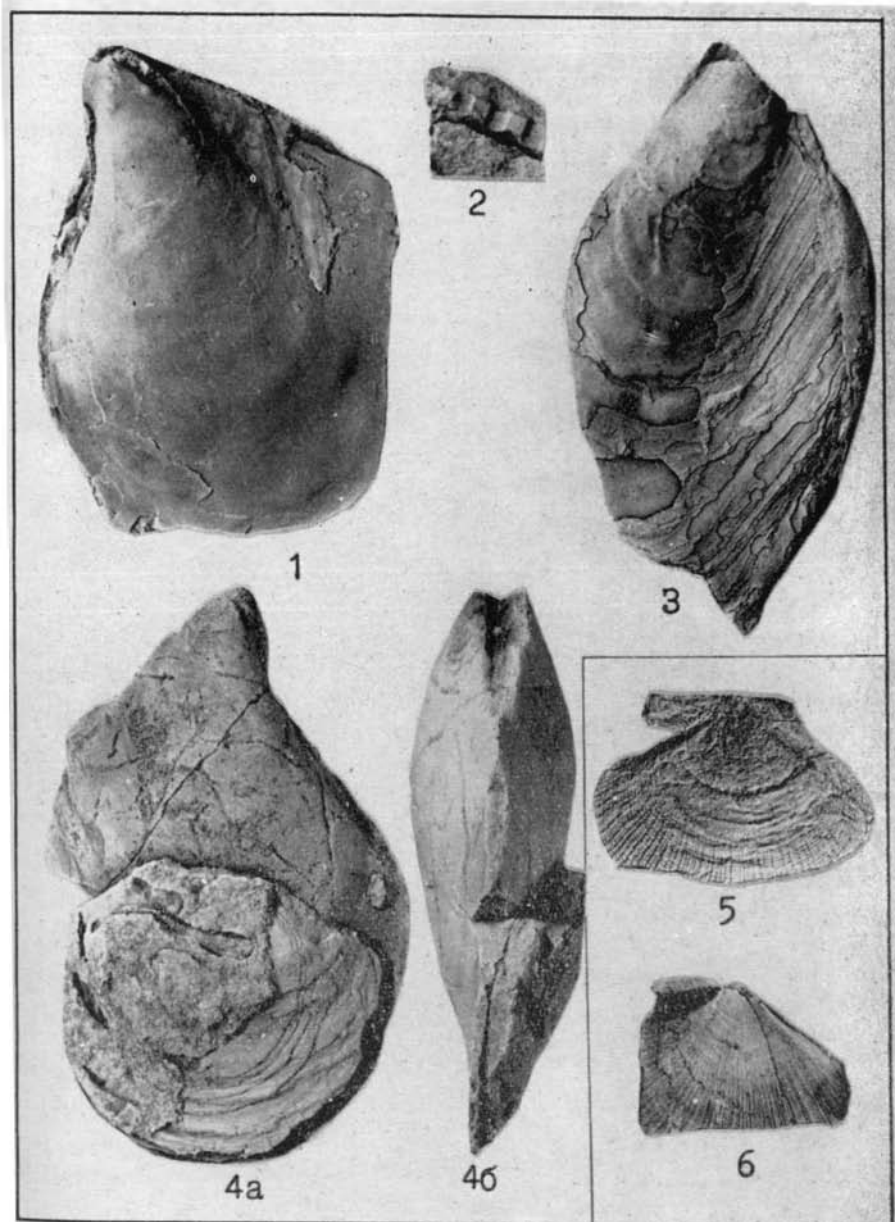


ТАБЛИЦА 24

Фиг. 1—5. *Radulonectites hayamii* Polub., sp. nov.

Стр. 82

1 — внутреннее ядро правой створки; 2 — голотип: внутреннее ядро левой створки; 3 — паратип: отпечаток правой створки; 4 — левая створка; 5а — внутреннее ядро левой створки; 5б — внутреннее ядро правой створки с обломанными ушками; 5в — вид полного ядра раковины сзади. Верховье р. Левого Кедона (бассейн р. Омолона); верхняя часть плинсбахского яруса (И. В. Полуботко, 1960).

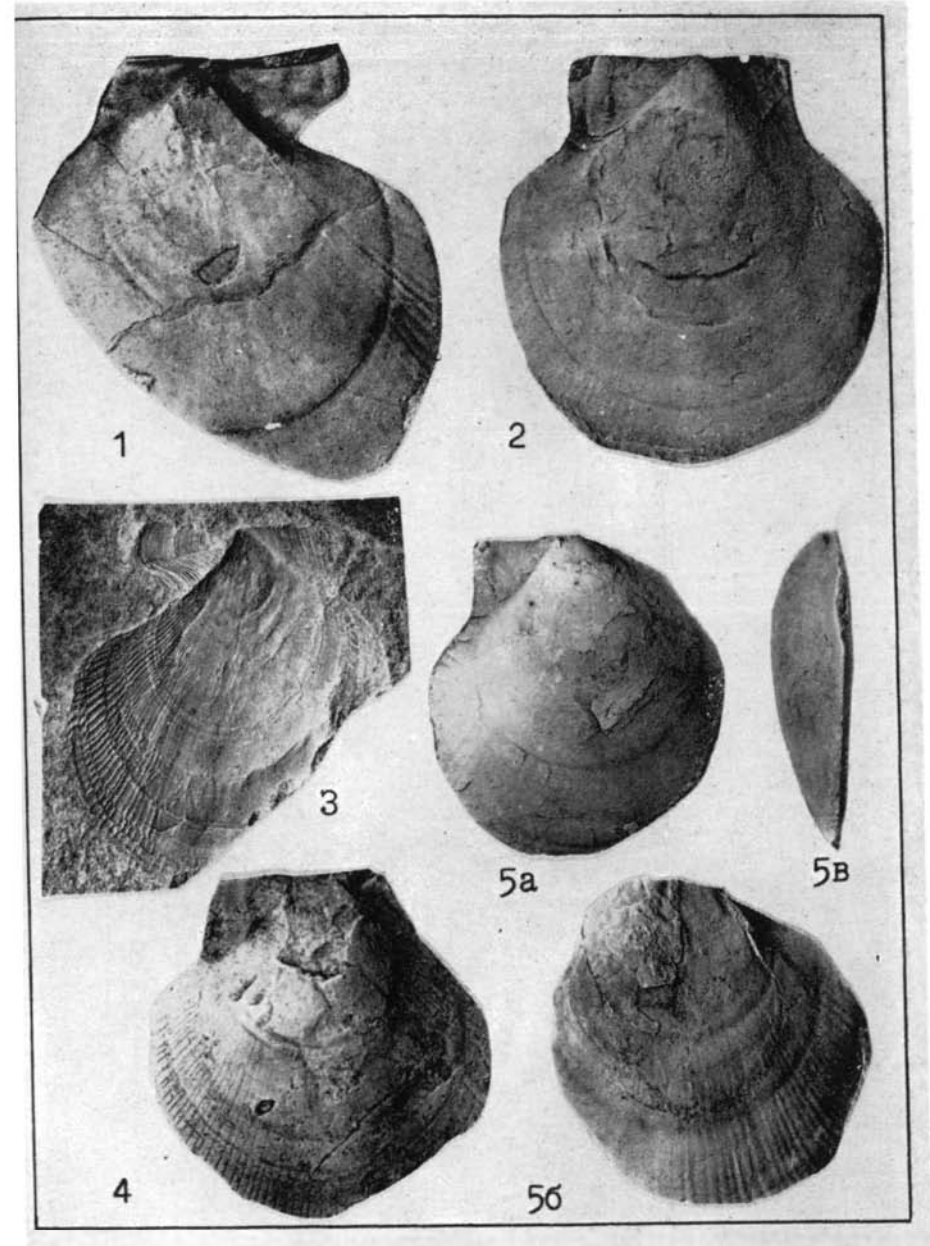


ТАБЛИЦА 25

Фиг. 1, 2. *Velata viligaensis* Tschk. (in litt.), sp. nov. Стр. 83
 1 — паратип: отпечаток плоской правой створки; 2a — внутреннее
 ядро правой створки с остатками толстого раковинного слоя; 2б —
 вид полного ядра этой же раковины сзади; р. Русская (бассейн
 р. Омолона); верхняя часть плинсбахского яруса (И. В. Полубот-
 ко, 1960).

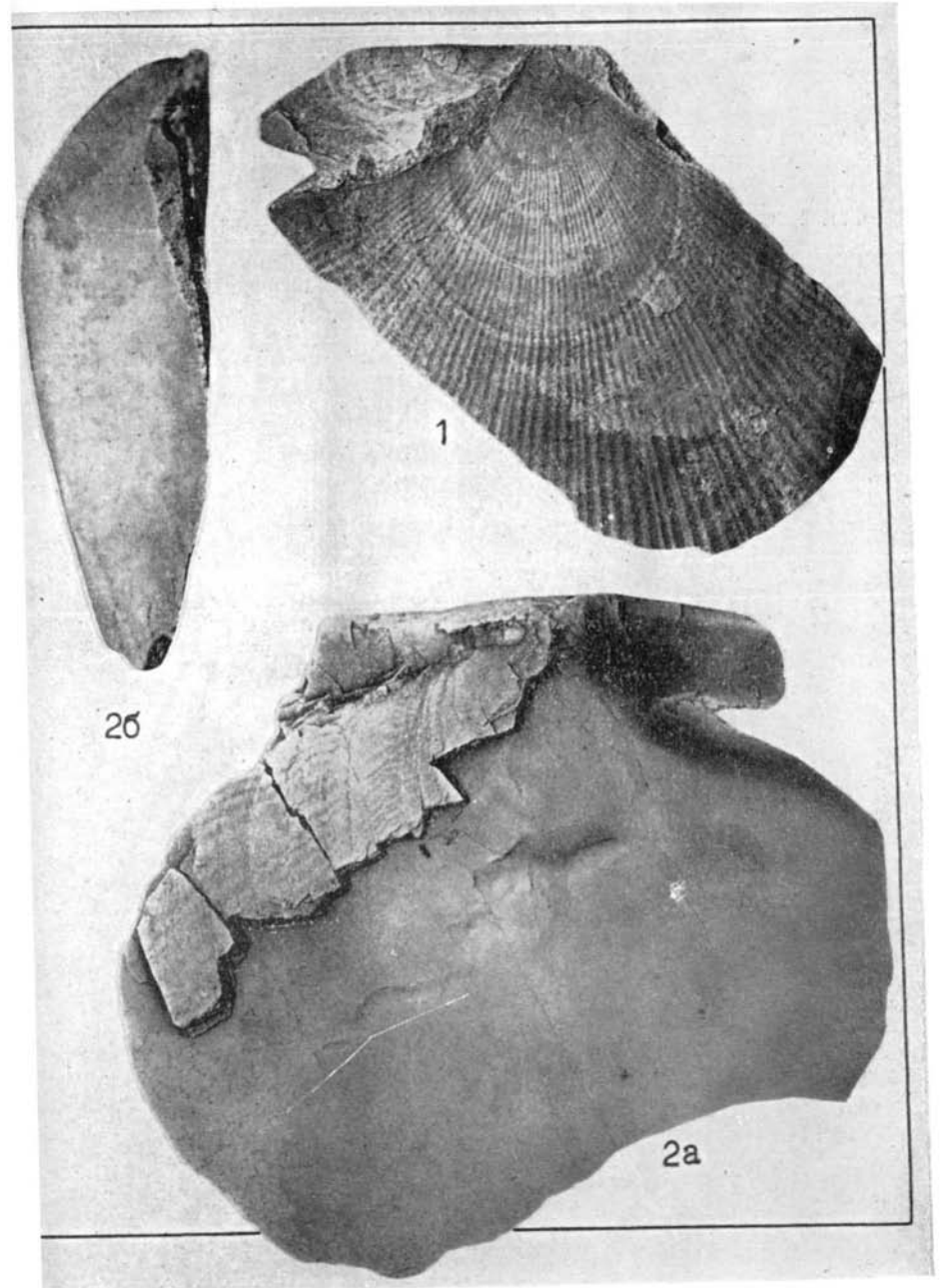


ТАБЛИЦА 26

Фиг. 1. *Velata viligaensis* Tschk. (in litt), sp. nov. Стр. 83

Голотип: отпечаток выпуклой левой створки; р. Атка (бассейн р. Бохапчи); плинсбахский ярус (И. И. Тучков, 1950).

Фиг. 2, 3. *Aequipecten* (?) *terekhovi* Polub., sp. nov. Стр. 81

2а — наружное ядро левой створки с обломанными ушками; 2б — наружное ядро правой створки того же экземпляра; 3 — голотип; 3а — наружное ядро левой створки; 3б — внутреннее ядро правой створки того же экземпляра; р. Седедема (Алазейское плоскогорье); верхняя часть плинсбахского яруса (М. И. Терехов, 1960).

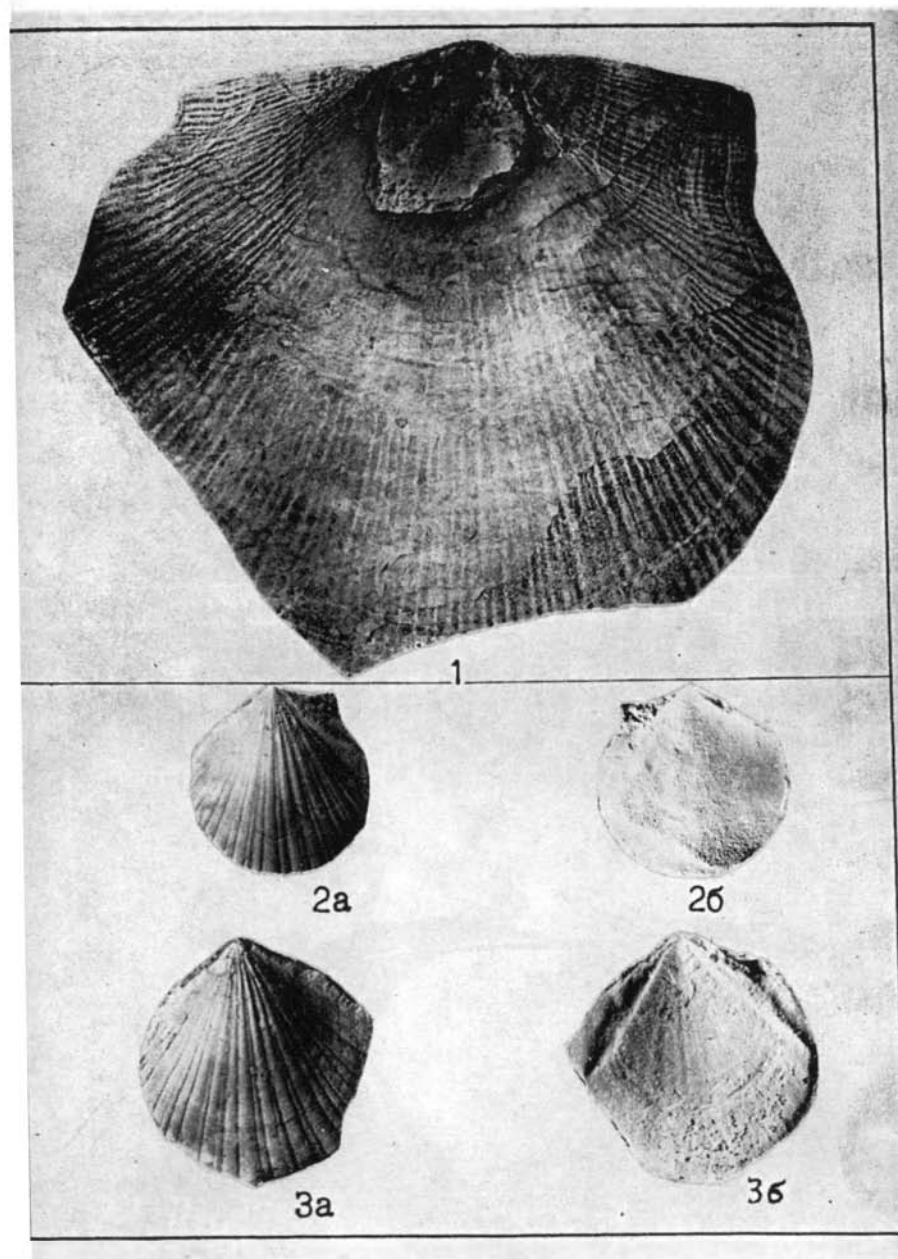


ТАБЛИЦА 27

Фиг. 1. *Velata viligaensis* Tschk. (in litt.), sp. nov. Стр. 83

Внутреннее ядро левой створки; р. Рассоха (бассейн р. Коркодо-на); верхняя часть плинсбахского яруса (М. И. Терехов, 1957).

Фиг. 2, 3. *Aequipecten* (?) *terekhovi* Polub., sp. nov. Стр. 81

2 — внутреннее ядро левой створки; 3 — внутреннее ядро левой створки с обломанными ушками; р. Седедема (Алазейское плоскогорье); плинсбахский ярус (М. И. Терехов, 1960).

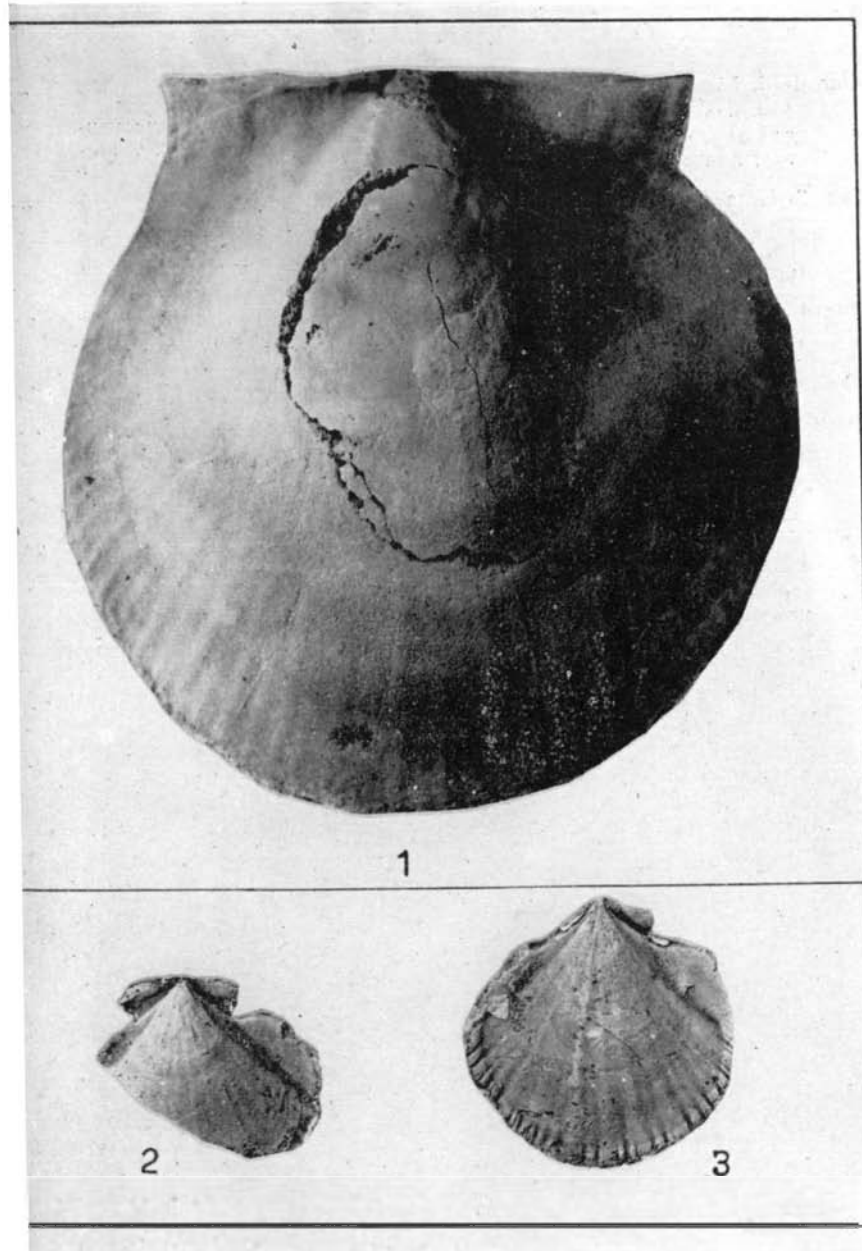


ТАБЛИЦА 28

- Фиг. 1—2. *Lima phylatovi* Polub., sp. nov. Стр. 85
 1 — голотип: внутреннее ядро левой створки; 2 — деформированное внутреннее ядро правой створки; р. Тап (бассейн р. Вилиги); плинсбахский ярус (С. И. Филатов, 1958).
- Фиг. 3. *Lima gizhigensis* Polub., sp. nov. Стр. 85
 Голотип: а — наружное ядро правой створки; б — та же створка, $\times 2$; р. Малая Туромча (бассейн р. Гижиги); плинсбахский ярус (И. В. Полуботко, 1961).
- Фиг. 4. *Naргах spinosus* (Sow.) Стр. 87
 а — отпечаток правой створки; б — отпечаток левой створки того же экземпляра; р. Большая Купка (бассейн среднего течения р. Колымы); плинсбахский ярус (Ю. Н. Симонов, 1961).
- Фиг. 5. То же Стр. 87
 Отпечаток левой створки с обломанной верхней частью; р. Вилига; нижняя часть плинсбахского яруса (Ю. М. Бычков, И. В. Полуботко, 1958).
- Фиг. 6—8. *Naргах podosus* Polub., sp. nov. Стр. 88
 ба — правая створка; бб — внутреннее ядро левой створки; 7 — голотип: 7а — правая створка; 7б — левая створка; 8а — внутреннее ядро правой створки с остатками раковинного слоя; 8б — левая створка; р. Булун (Рассоха) (бассейн р. Коркодона); нижняя часть плинсбахского яруса (М. И. Терехов, 1957; А. С. Дагис, 1962).

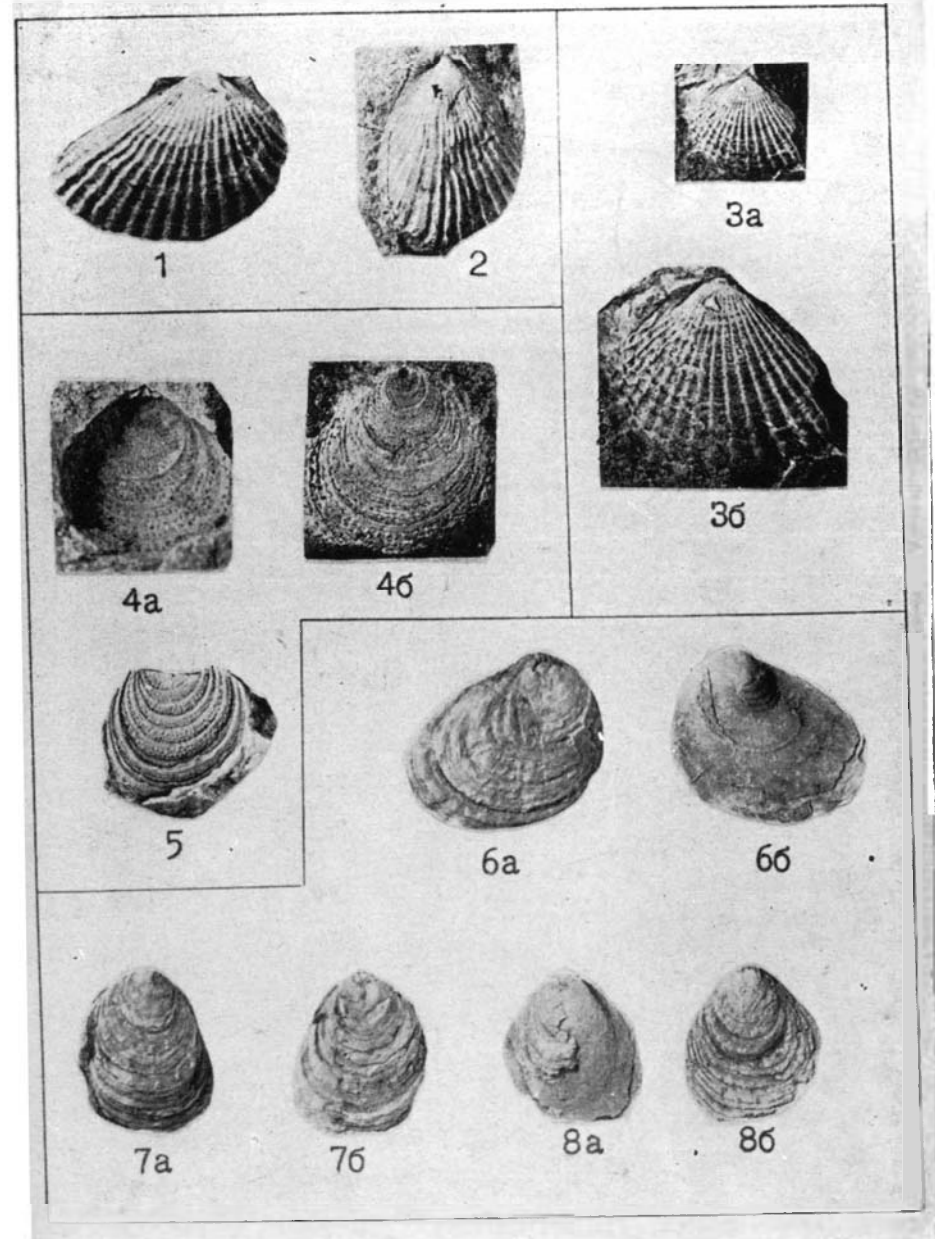


ТАБЛИЦА 29

- Фиг. 1—3. *Naupha laevigatus* (Orb.) Стр. 89
 1а — правая створка; 1б — внутреннее ядро левой створки; 2 —
 внутреннее ядро левой створки; 3 — внутреннее ядро левой створки.
 Верховье р. Левого Кедона (бассейн р. Омолона); верхняя
 часть плинсбахского яруса (И. В. Полуботко, 1960).
- Фиг. 4. То же Стр. 89
 Наружное ядро левой створки; р. Русская (бассейн р. Омолона);
 верхняя часть плинсбахского яруса (И. В. Полуботко, 1960).
- Фиг. 5. *Myophoria lingonensis* (Dum.) Стр. 91
 а — наружное ядро левой створки; б — вид сверху; в — вид сзади;
 р. Булун (Рассоха) (бассейн р. Коркодона); верхняя часть
 плинсбахского яруса (А. С. Дагис, 1962).

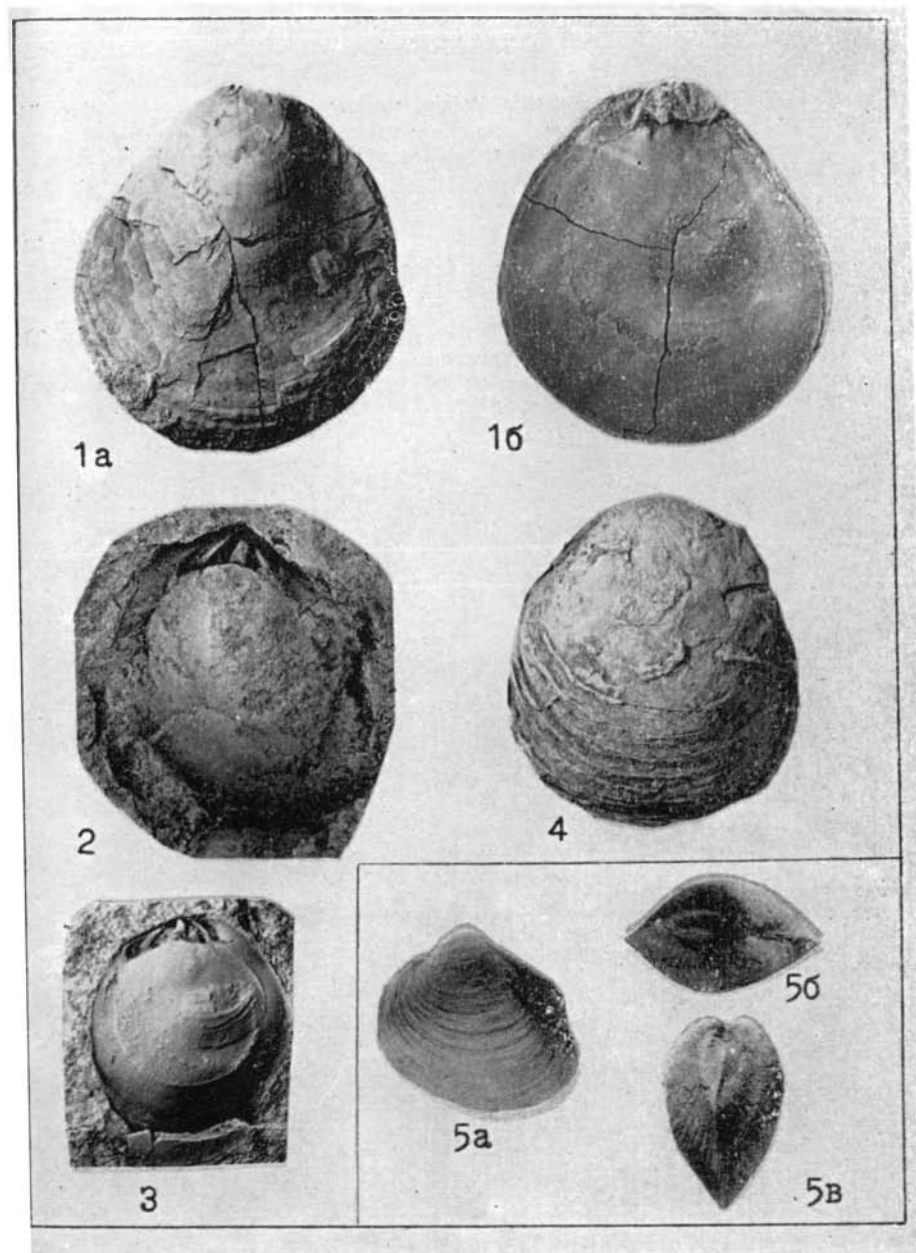


ТАБЛИЦА 30

Фиг. 1—3. *Tancredia omolonensis* Polub., sp. nov. Стр. 94

1—голотип: внутреннее ядро правой створки; 2—наружное ядро левой створки; 3—внутреннее ядро правой створки. Верховье р. Левого Кедона (бассейн р. Омолона); верхняя часть плинсбахского яруса (И. В. Полуботко, 1960).

Фиг. 4. *Tancredia* sp. Стр. 94

Наружное ядро левой створки; верховье р. Левого Кедона; верхняя часть плинсбахского яруса (И. В. Полуботко, 1960).

Фиг. 5. *Pholadomya idea* Orb. Стр. 95

а—вид наружного ядра раковины со стороны правой створки; б—вид той же раковины со стороны замочного края; верховье р. Левого Кедона; верхняя часть плинсбахского яруса (И. В. Полуботко, 1960).

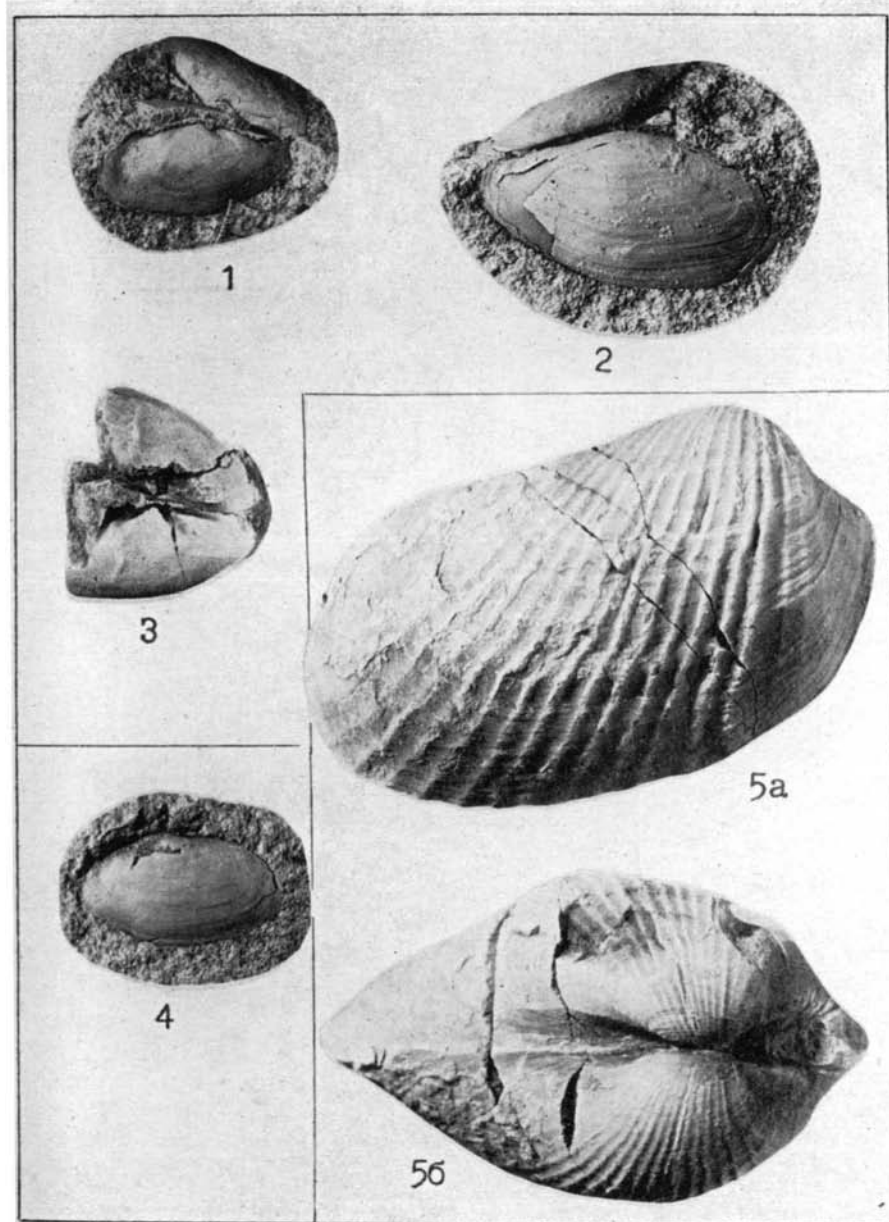


ТАБЛИЦА 31

Фиг. 1. *Pholadomya ambigua* Sow. Стр. 96

a — вид наружного ядра раковины со стороны левой створки;
b — вид той же раковины со стороны замочного края. Верховье
 р. Левого Кедона (бассейн р. Омолона); верхняя часть плинсбах-
 ского яруса (И. В. Полуботко, 1960).

Фиг. 2. *Pleuromya galathea* Agas. Стр. 99

a — левая створка; *b* — та же раковина со стороны замочного
 края; р. Русская (бассейн р. Омолона); верхняя часть плинсбах-
 ского яруса (И. В. Полуботко, 1960).

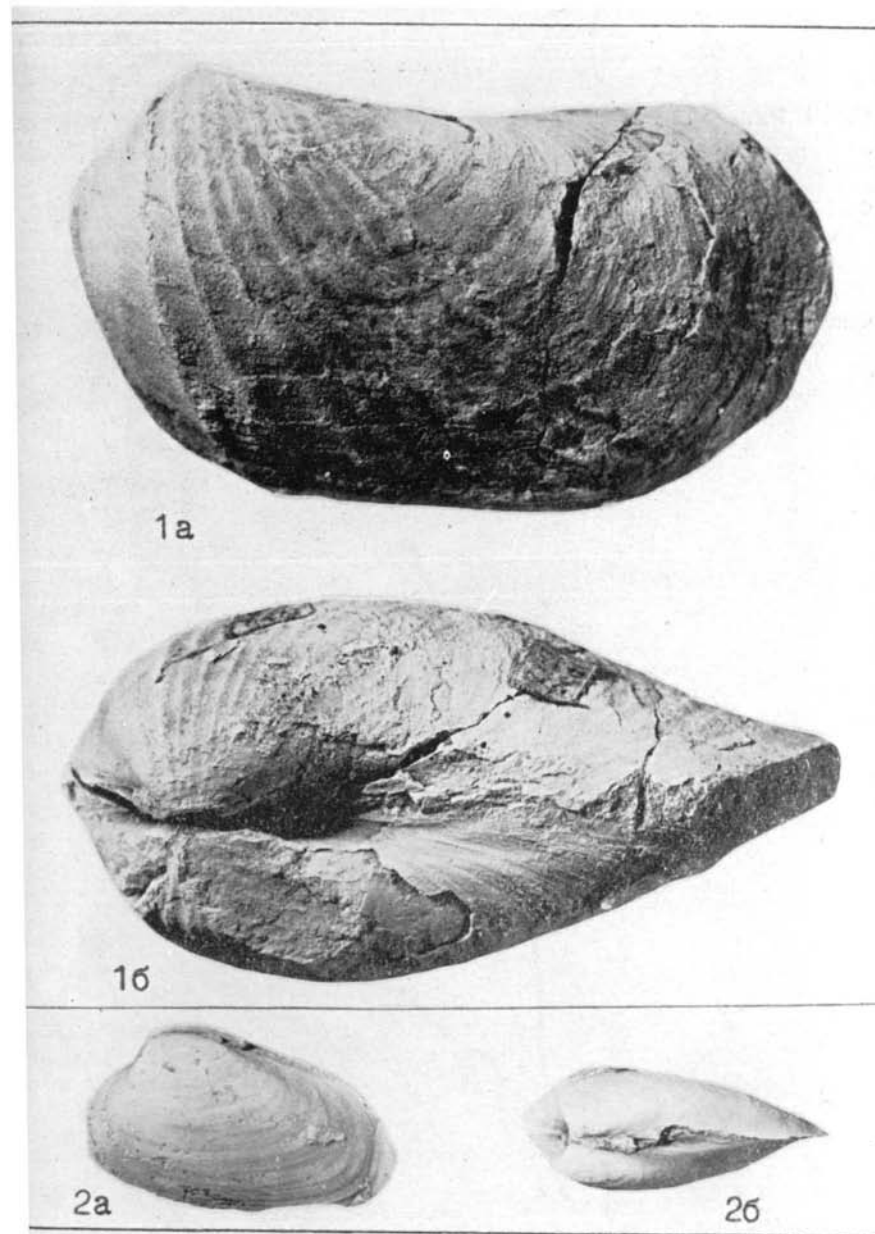


ТАБЛИЦА 32

- Фиг. 1. *Pleuromya galathea* Agas. Стр. 99
a — левая створка; *б* — вид раковины сверху; р. Вилига; плинсбахский ярус (Ю. М. Бычков, И. В. Полуботко, 1958).
- Фиг. 2. *Bureiatya ordinata* Polub., sp. nov. Стр. 96
 Голотип: *a* — левая створка; *б* — вид раковины спереди; верховье р. Левого Кедона (бассейн р. Омолона); верхняя часть плинсбахского яруса (И. В. Полуботко, 1960).
- Фиг. 3. *Bureiatya* sp. Стр. 97
a — правая створка; *б* — вид раковины сверху; *в* — вид спереди; р. Русская (бассейн р. Омолона); верхняя часть плинсбахского яруса (И. В. Полуботко, 1960).

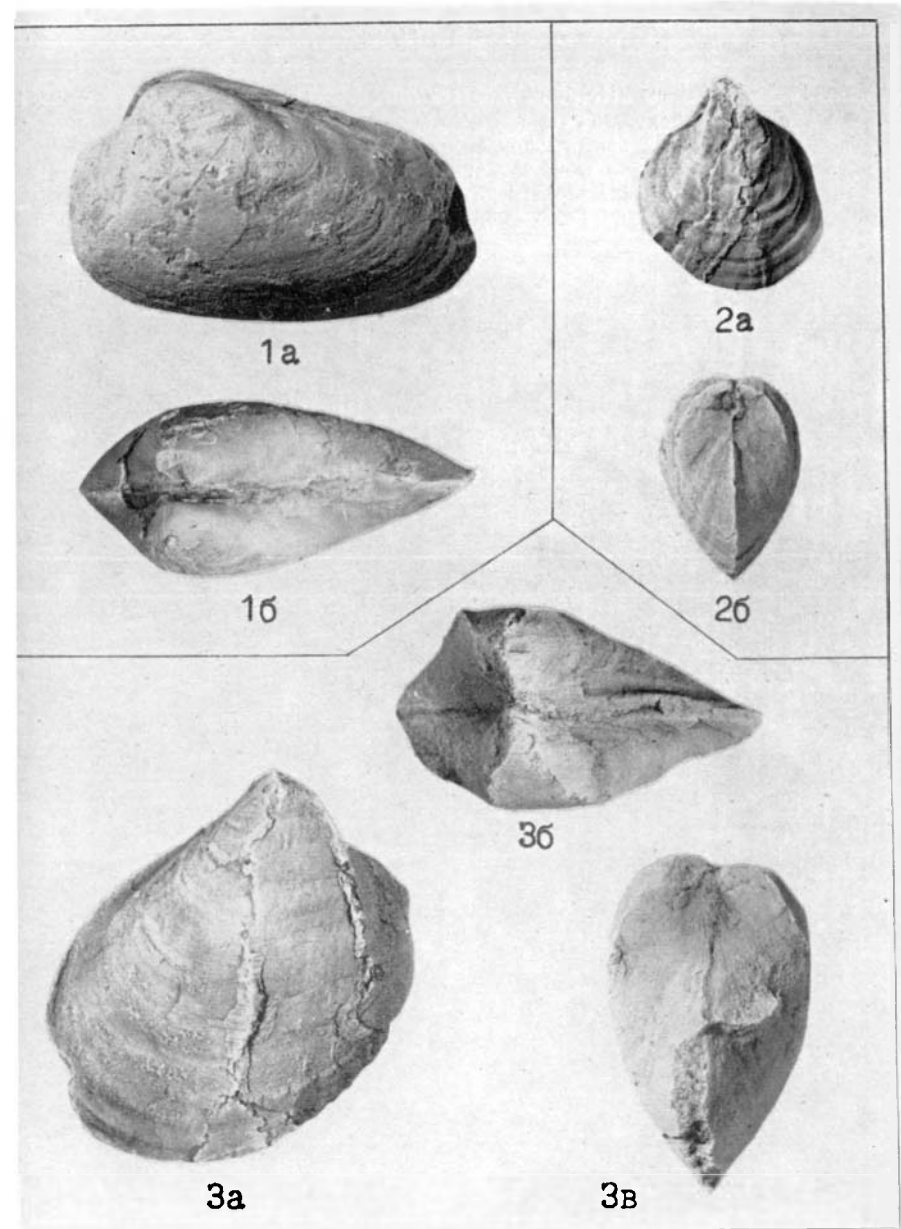


ТАБЛИЦА 33

Фиг. 1—5. *Amaltheus (Nordamaltheus) viligaensis* (Tuchk.) Стр. 111
 1а — вид сбоку; 1б — вид с вентральной стороны; 2а — вид сбоку; 2б — вид с вентральной стороны; 2в — лопастная линия, $\times 6$;
 3 — вид сбоку; 4 — вид сбоку; 5а — вид сбоку; 5б — вид с вентральной стороны. Верховье р. Левого Кедона (бассейн р. Омолонна); плинсбахский ярус, зона *Amaltheus talrosei* (Ю. С. Репин, 1964).

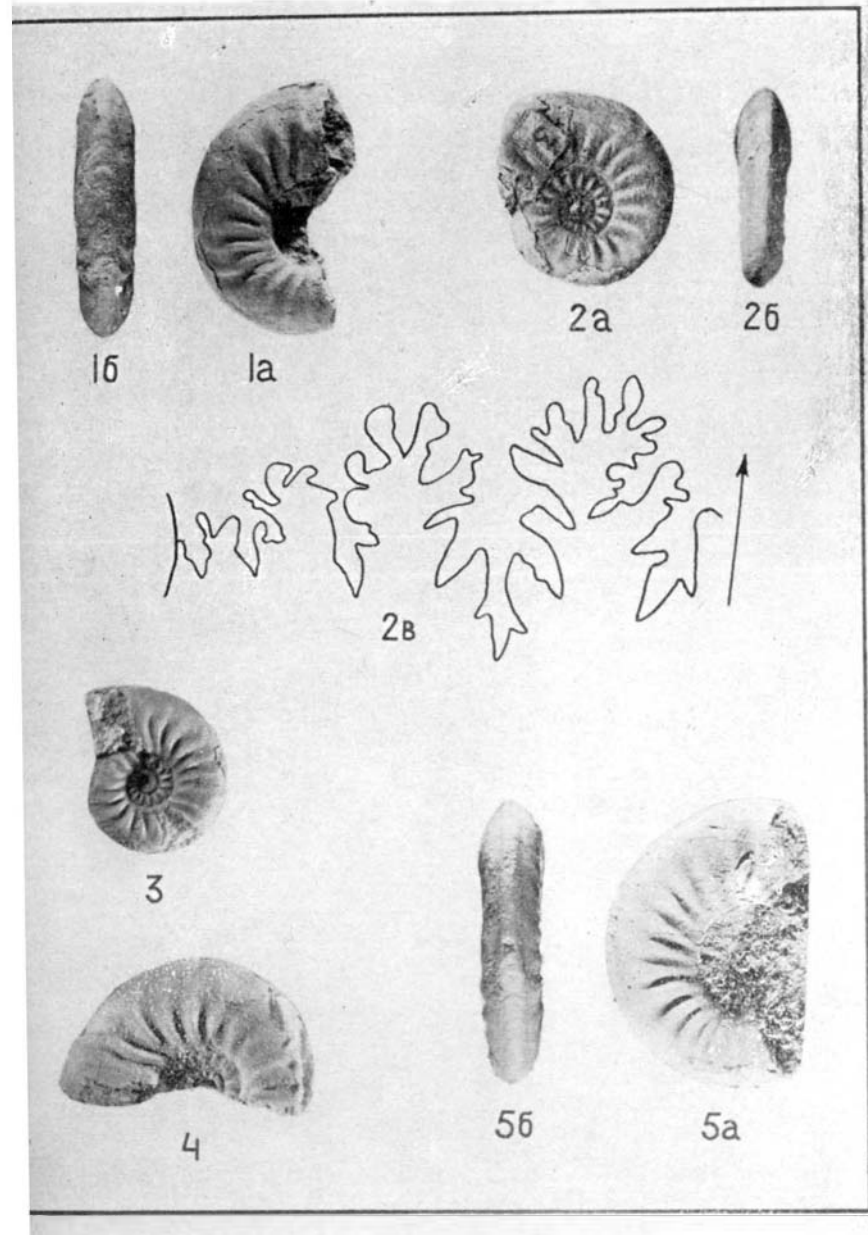


ТАБЛИЦА 34

- Фиг. 1. *Amaltheus (Amaltheus) subbifurcus* Repin, sp. nov. Стр. 109
 Голотип: *a* — вид сбоку; *b* — вид со стороны устья; *в* — вид с вентральной стороны; *г* — лопастная линия при $D = 57,6$ мм и $B = 13,2$ мм, $\times 3$. Верховье р. Левого Кедона (бассейн р. Омолонна); плинсбахский ярус, зона *Amaltheus stokesi* (И. В. Полуботко, 1960).
- Фиг. 2. *Amaltheus (Amaltheus) aff. talrosei* Repin, sp. nov. Стр. 109
a — вид сбоку; *b* — вид с вентральной стороны; *в* — вид со стороны устья; р. Большая Купка (бассейн р. Буюнды); плинсбахский ярус, зона *Amaltheus talrosei* (Ю. Н. Симонов, 1961).
- Фиг. 3. *Amaltheus (Amaltheus) aff. striatus* How. Стр. 111
a — вид сбоку; *b* — вид с вентральной стороны; верховье р. Левого Кедона (бассейн р. Омолонна); плинсбахский ярус, зона *Amaltheus talrosei* (И. В. Полуботко, 1960).

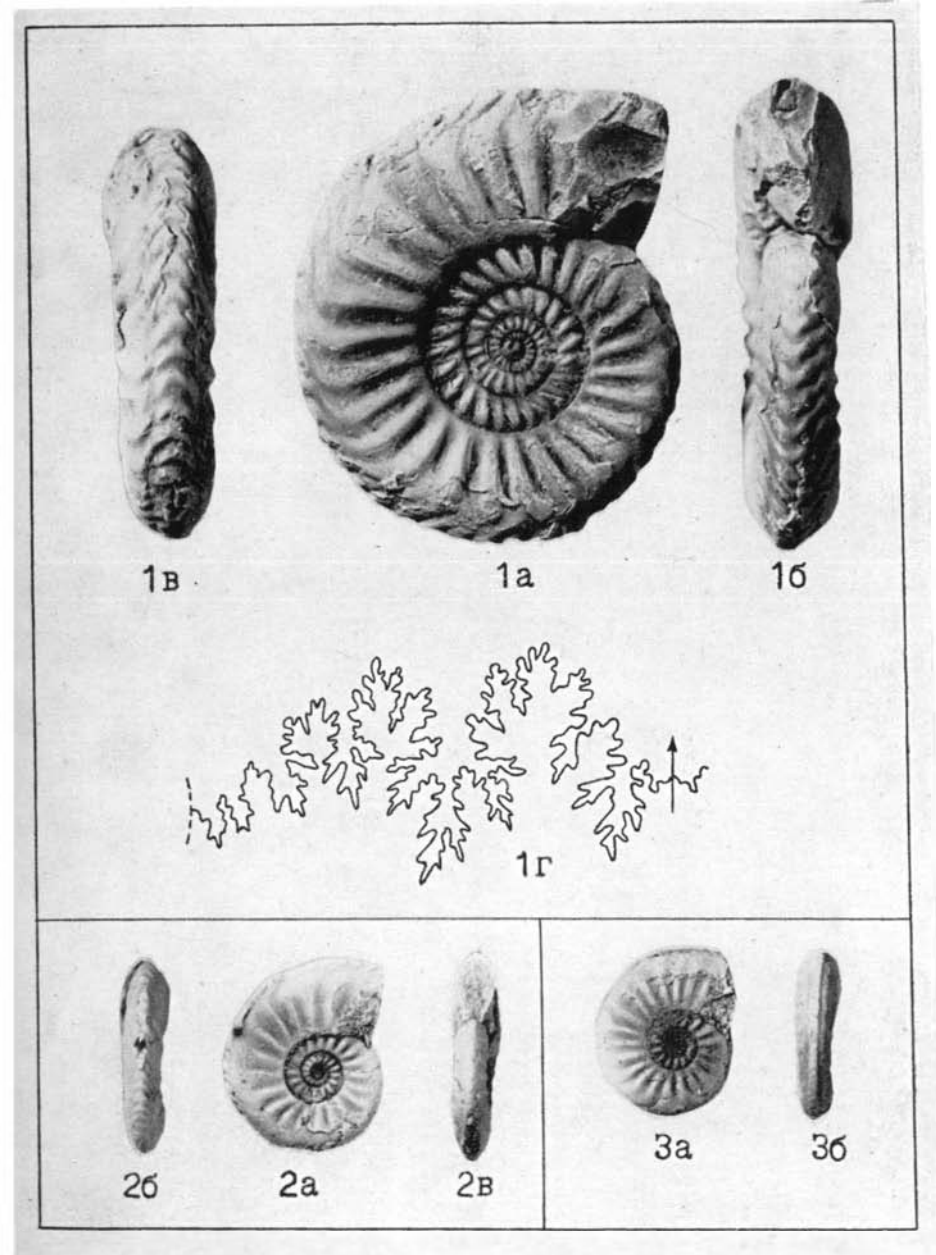


ТАБЛИЦА 35

- Фиг. 1. *Amaltheus (Amaltheus) extremus* Repin, sp. nov. Стр. 110
 Голотип: *a* — вид сбоку; *b* — вид с наружной стороны; *в* — вид со стороны устья; верховье р. Левого Кедона (бассейн р. Омолонна); плинсбахский ярус, зона *Amaltheus extremus* (И. В. Полуботко, 1960).
- Фиг. 2. *Amaltheus (Nordamaltheus ?) bulunensis* Repin, sp. nov. Стр. 111
 Голотип: *a* — вид сбоку; *b* — вид с наружной стороны; *в* — лопастная линия при $D=39$ мм, $V=17$ мм, $\times 4$; р. Булун (Рассоха) (бассейн р. Коркодона); плинсбахский ярус, зона *Amaltheus talrosei* (И. В. Полуботко, 1963).
- Фиг. 3. *Amaltheus (Amaltheus) cf. margaritatus* Montf. Стр. 108
a — обломок раковины, вид сбоку; *b* — вид с наружной стороны; бассейн р. Седедемы (Алазейское плоскогорье); плинсбахский ярус, зона *Amaltheus talrosei* (М. И. Терехов, 1960).

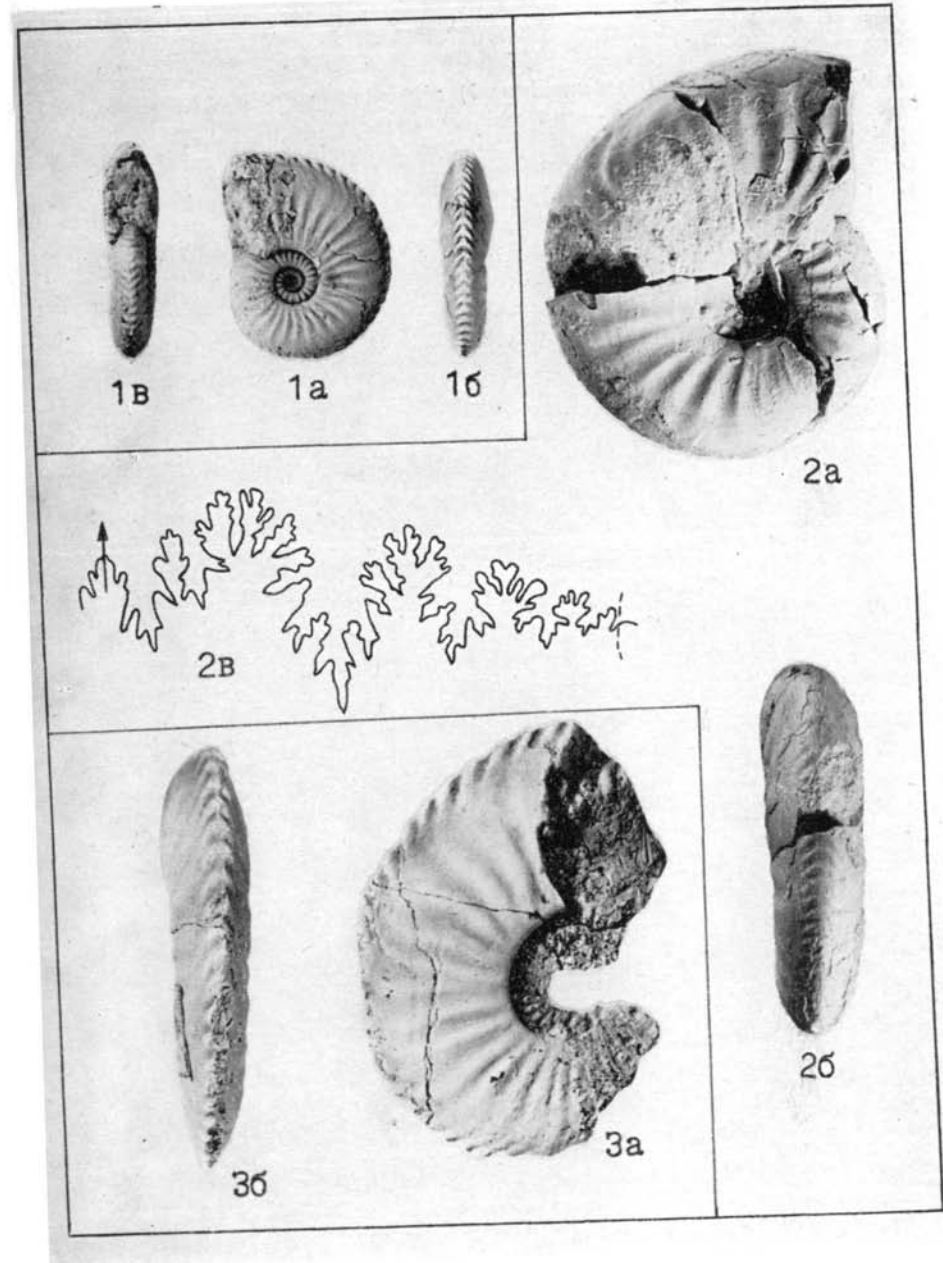


ТАБЛИЦА 36

Фиг. 1. *Amaltheus* (*Nordamaltheus* ?) *aff. bulunensis* Repin, sp. nov. Стр. 112
a — вид сбоку; *b* — вид со стороны устья; *в* — вид с наружной стороны; верховье р. Левого Кедона (бассейн р. Омолона); плинсбахский ярус, зона *Amaltheus talrosei* (И. В. Полуботко, 1960).

Фиг. 2. *Amaltheus* (*Amaltheus*) *stokesi* (Sow.) Стр. 108
a — вид сбоку; *b* — вид со стороны устья; *в* — вид с наружной стороны; бассейн р. Седедемы (Алазейское плоскогорье); плинсбахский ярус, зона *Amaltheus stokesi* (М. И. Терехов, 1960).

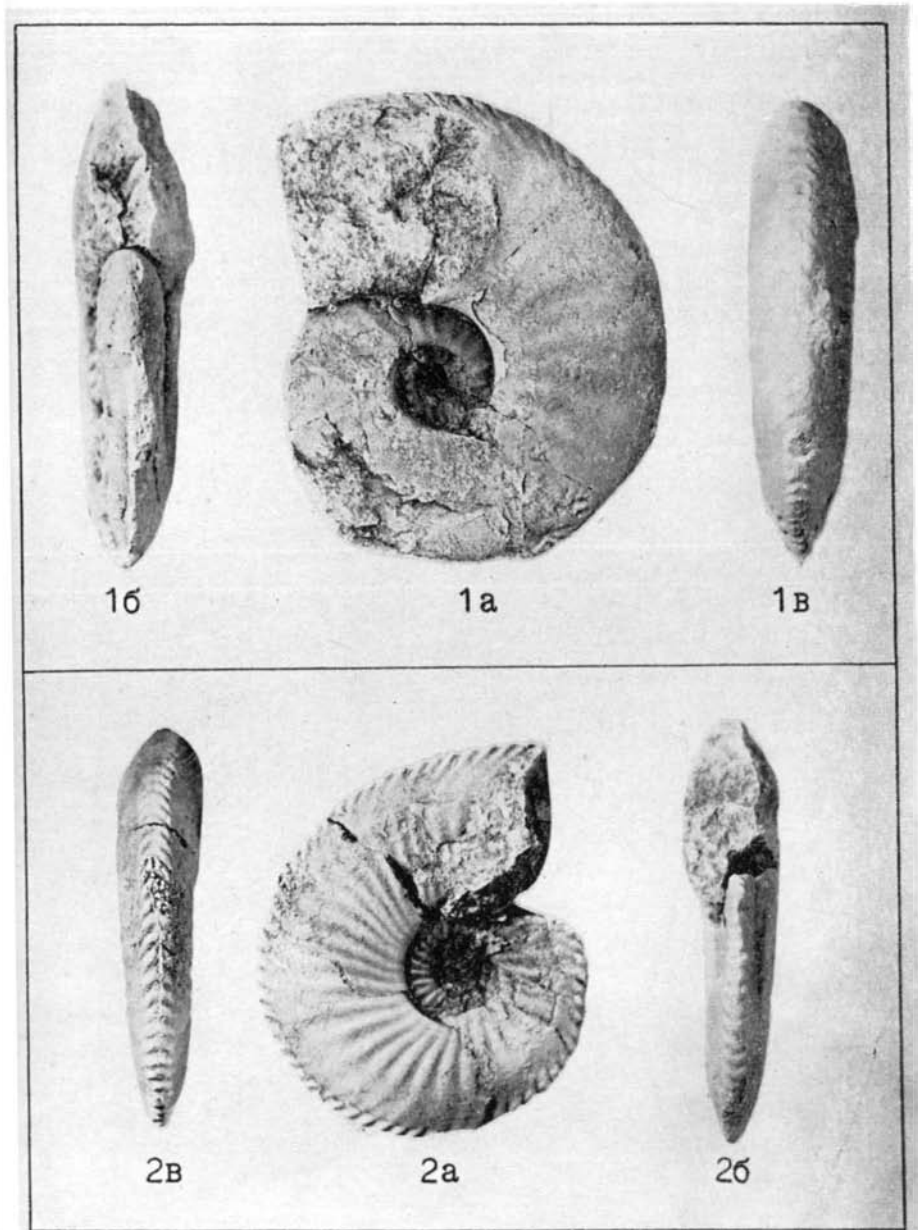


ТАБЛИЦА 37

Фиг. 1—2. *Amaltheus (Amaltheus) talrosei* Repin, sp. nov. Стр. 108

1а — вид сбоку; 1б — вид с наружной стороны; 2 — голотип; 2а — вид сбоку; 2б — лопастная линия при $D=47$ мм, $B=12$ мм, $\times 4,5$; р. Булун (Рассоха) (бассейн р. Коркодона); плинсбахский ярус, зона *Amaltheus talrosei* (И. В. Полуботко, 1963).

Фиг. 3. *Amaltheus (Nordamaltheus) viligaensis* (Tuchk.) Стр. 111

Вид сбоку; верховье р. Лев. Кедона (бассейн р. Омолона); плинсбахский ярус, зона *Amaltheus talrosei* (Ю. С. Репин, 1964).

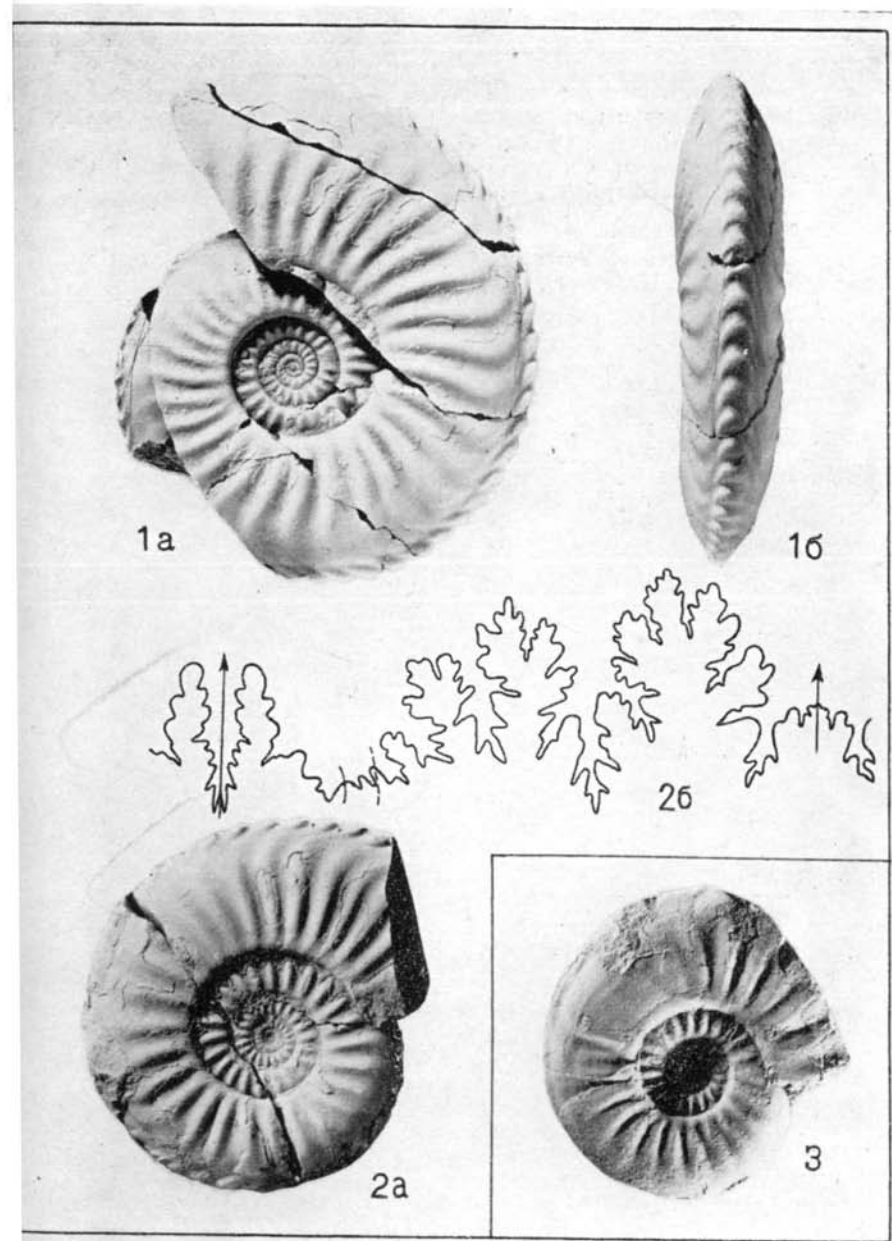


ТАБЛИЦА 38

Фиг. 1—3. *Sagenopteris* cf. *nilssoniana* (Brongn.) Ward Стр. 138

1 — неполный лист, $\times 2$; 2 — обрывок листа; 3 — верхняя часть крупного листа; р. Русская (бассейн р. Омолона); плинсбахский ярус (И. В. Полуботко, 1960).

Фиг. 4. *Taeniopteris* sp. Стр. 140

Часть листа; р. Русская (бассейн р. Омолона); плинсбахский ярус (И. В. Полуботко, 1960).

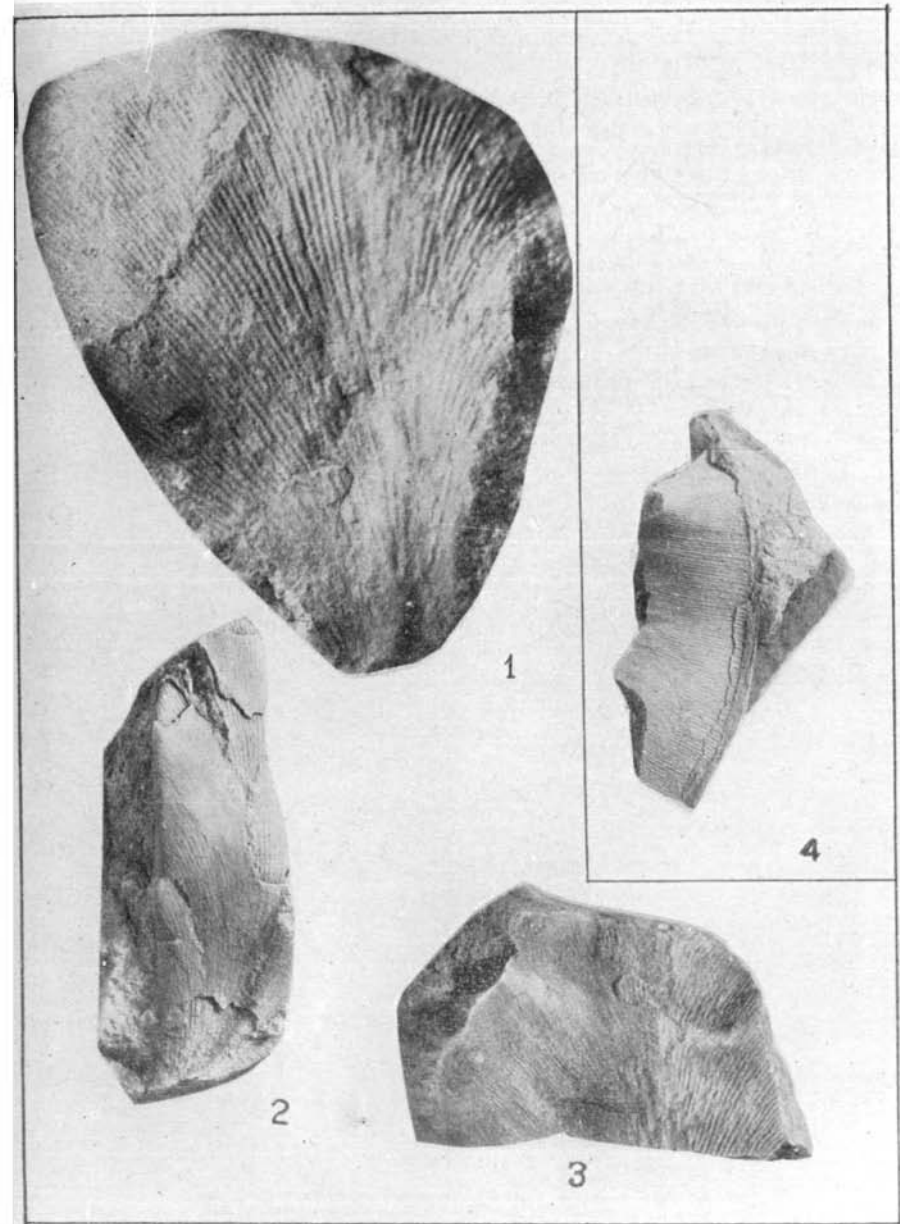


ТАБЛИЦА 39

- Фиг. 1—2. *Meleagrinella substriata* (Münst.) Стр. 42
 1 — скопление левых и правых створок; 2а — левая створка, $\times 2$;
 2б — правая створка того же экземпляра, $\times 2$; р. Мунугуджак
 (бассейн р. Омолона); верхняя часть плинсбахского или нижняя
 часть тоарского яруса (Б. А. Снятков, 1957).
- Фиг. 3. *Meleagrinella faminaestriata* Polub., sp. nov. Стр. 42
 Голотип: левая створка; р. Токур-Юрях (бассейн р. Коркодона);
 средняя часть тоарского яруса (М. И. Терехов, 1957).
- Фиг. 4. То же Стр. 42
 Правая створка; верховье р. Левого Кедона (бассейн р. Омоло-
 на); верхняя часть тоарского яруса (И. В. Полуботко, 1960).
- Фиг. 5. То же Стр. 42
 Паратип: правая створка; р. Вилига; средняя часть тоарского
 яруса (А. Д. Силинский, 1959).
- Фиг. 6—9. *Oxytoma startense* Polub., sp. nov. Стр. 47
 6 — левая створка, $\times 2$; 7 — левая створка молодой формы; 8 —
 паратип: обломок левой створки и отпечаток правой створки
 того же экземпляра; 9 — скопление левых створок; в правом верх-
 нем углу снимка — голотип. Верховье р. Левого Кедона; верхняя
 часть тоарского яруса (И. В. Полуботко, 1960).

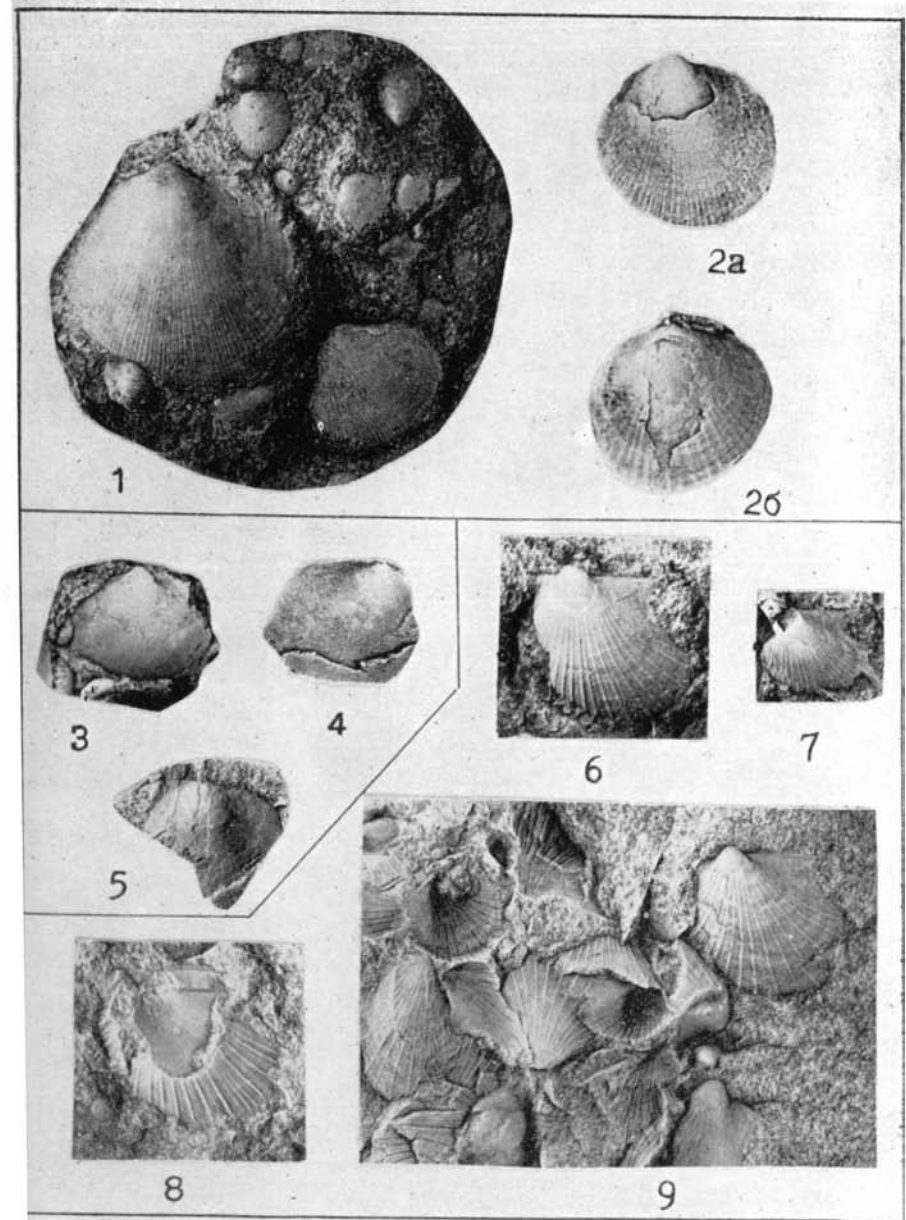


ТАБЛИЦА 40

- Фиг. 1—2. *Pseudomytiloides mytiliformis* Polub., sp. nov. Стр. 63
 1 — голотип; 1а — правая створка, $\times 2$; 1б — левая створка той же раковины, $\times 2$; 2 — правая створка; верховье р. Левого Кедона (бассейн р. Омолона); нижняя часть тоарского яруса (И. В. Полуботко, 1960).
- Фиг. 3. То же Стр. 63
 Правая створка; р. Мунугуджак (бассейн р. Омолона); тоарский ярус (Б. А. Снятков, 1957).
- Фиг. 4, 7. *Pseudomytiloides* aff. *jacuticus* (Petr.) Стр. 64
 4а — правая створка; 4б — левая створка той же раковины; 4в — вид наружного ядра с сомкнутыми створками спереди; 7а — внутреннее ядро правой створки, $\times 2$; 7б — внутреннее ядро левой створки, $\times 2$; р. Токур-Юрях (бассейн р. Коркодона); средняя часть тоарского яруса (М. И. Терехов, 1957).
- Фиг. 5. *Pseudomytiloides marchaensis* (Petr.) Стр. 64
 Правая створка; р. Будун (Рассоха); средняя часть тоарского яруса (А. С. Дагис, 1962).
- Фиг. 6. *Pseudomytiloides jacuticus* (Petr.) Стр. 64
 а — правая створка; б — вид той же раковины сверху, $\times 2$; р. Токур-Юрях; средняя часть тоарского яруса (М. И. Терехов, 1957).
- Фиг. 8. *Pseudomytiloides marchaensis* (Petr.) Стр. 64
 Правая створка, $\times 2$; левобережье р. Коркодона в среднем течении; тоарский ярус (А. И. Лобанов, 1966).
- Фиг. 9—10. *Pseudomytiloides* (?) aff. *amygdaloides* (Goldf.) Стр. 65
 9а — левая створка; 9б — вид раковины сзади; 10 — левая створка; руч. Головной (бассейн р. Левого Кедона); нижняя часть тоарского яруса (И. В. Полуботко, 1960).

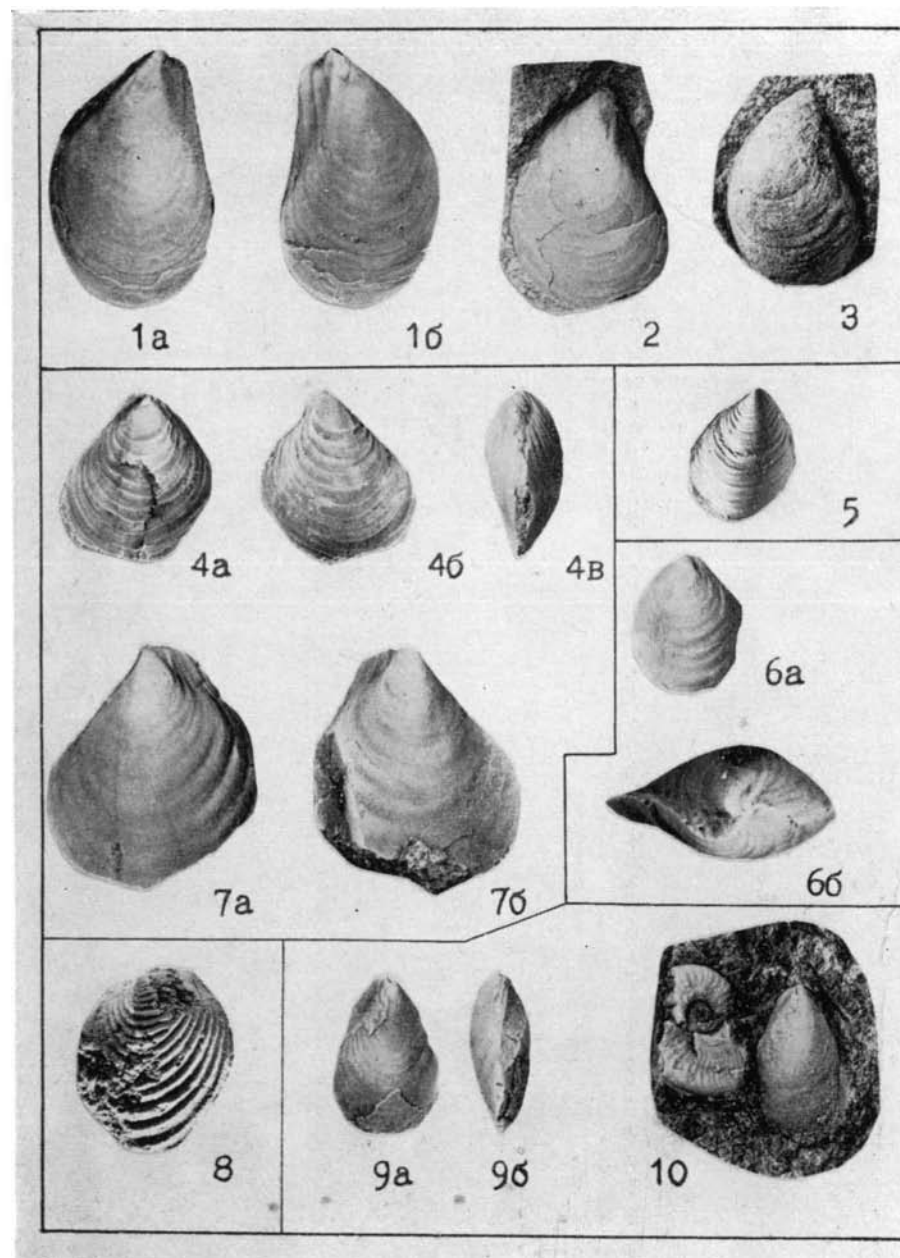


ТАБЛИЦА 41

- Фиг. 1—2. *Variamussium pumilum* (Lamk) Стр. 76
 1а — отпечаток левой створки, $\times 2$; 1б — отпечаток правой створки того же экземпляра, $\times 2$; 2 — внутреннее ядро правой створки; р. Токур-Юрях (бассейн р. Коркодона); средняя часть тоарского яруса (А. С. Дагис, 1962).
- Фиг. 3. *Variamussium waageni* Polub., sp. nov. Стр. 77
 Внутреннее ядро левой створки с остатками наружной поверхности; р. Левая Хета (бассейн р. Бохапчи); верхнетоарские — нижнеааленские отложения (Г. Н. Чертовских, 1961).
- Фиг. 4—6. То же Стр. 77
 4 — отпечаток наружной поверхности левой створки; 5 — голотип: 5а — внутреннее ядро левой створки с остатками наружной поверхности и обломанными ушками; 5б — правая створка того же экземпляра; 6 — наружное ядро правой створки; р. Тап (бассейн р. Вилиги); верхнетоарские — нижнеааленские отложения (С. И. Филатов, 1958).

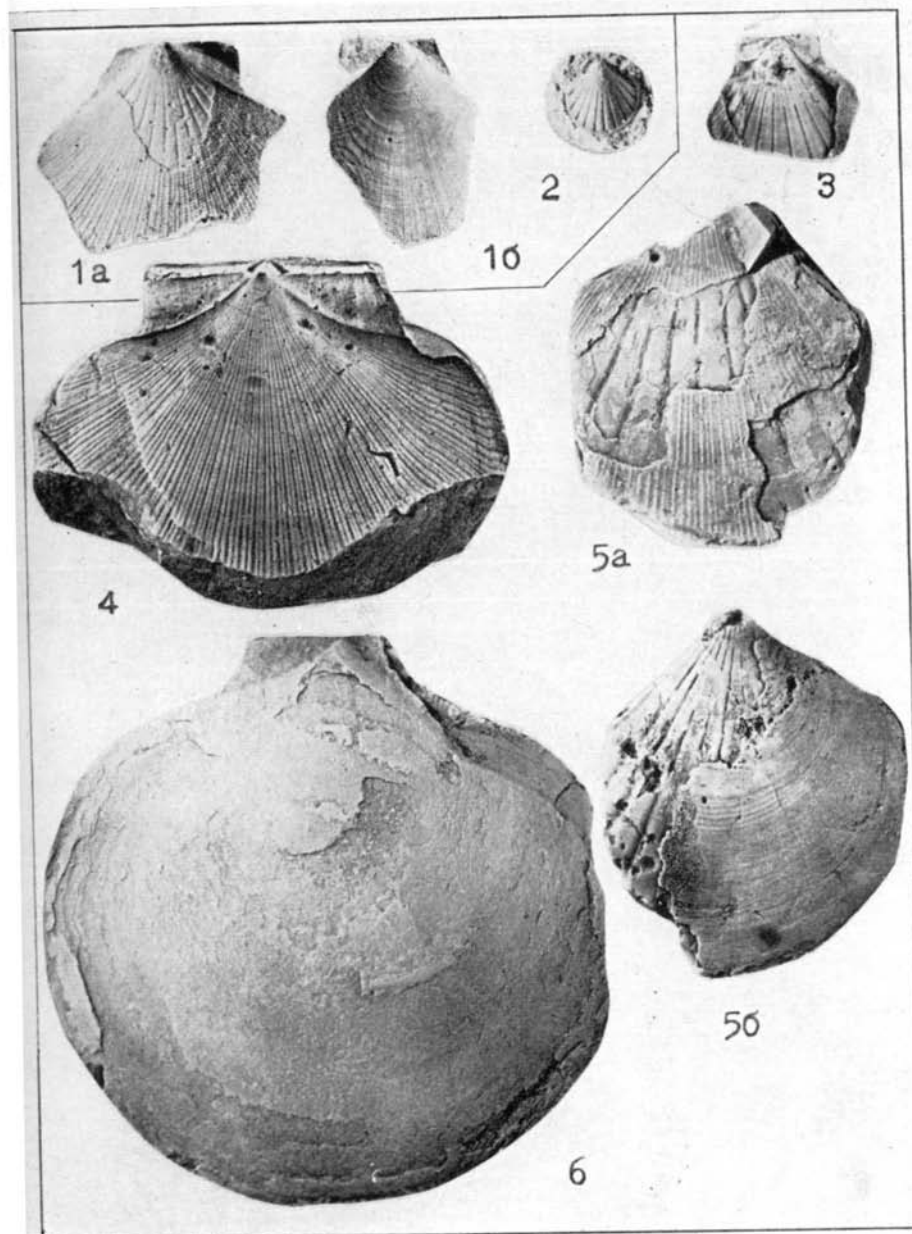


ТАБЛИЦА 42

- Фиг. 1—4. *Myophorella (Vaugonia) literata* (Y. et B.) Стр. 93
 1а — левая створка; 1б — правая створка того же экземпляра;
 2 — левая створка; 3 — правая створка; 4 — внутреннее ядро правой створки, в верхней части снимка видна арча левой створки этой же раковины. Верховье р. Левого Кедона (бассейн р. Омолона); тоарский ярус, зона *Reponoceras spinatum* (И. В. Полуботко, 1960).
- Фиг. 5. То же Стр. 93
 Правая створка; р. Мунугуджак (бассейн р. Омолона); верхняя часть тоарского яруса (Б. А. Снятков, 1957).
- Фиг. 6—7. *Protocardia striatula* (Phill.) Стр. 95
 6а — правая створка; 6б — та же створка, $\times 2$; 7 — правая и левая створки; верховье р. Левого Кедона; верхняя часть тоарского яруса (И. В. Полуботко, 1960).
- Фиг. 8. *Goniomya rhombifera* (Goldf.) Стр. 98
 а — левая створка молодого экземпляра; б — вид той же раковины сверху; р. Токур-Юрях (бассейн р. Коркодона); тоарский ярус (М. И. Терехов, 1957).
- Фиг. 9. *Goniomya* sp. Стр. 98
 Правая створка; р. Токур-Юрях; тоарский ярус (М. И. Терехов, 1957).

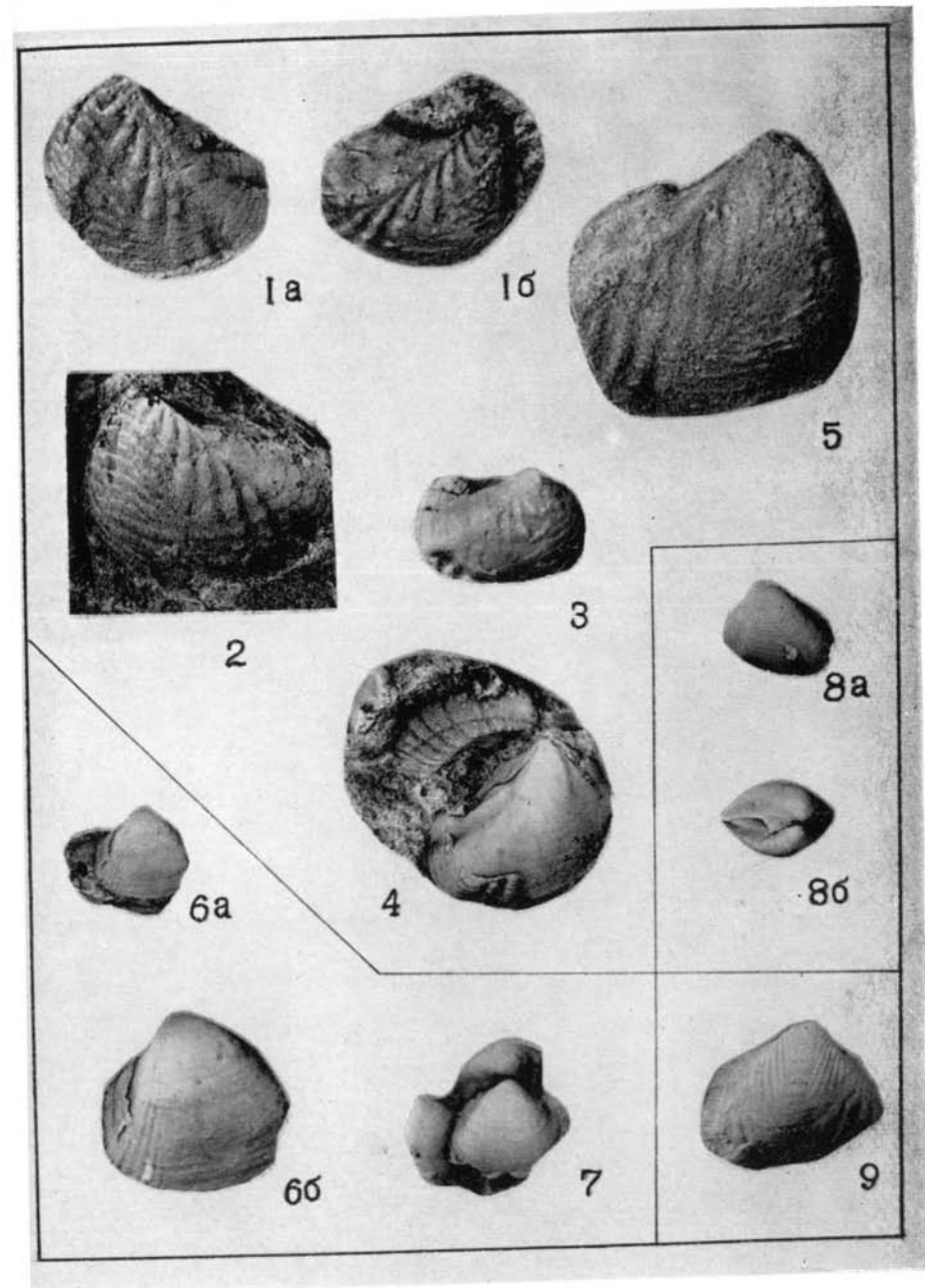


ТАБЛИЦА 43

Фиг. 1. *Arctomercaticeras costatum* Repin Стр. 119

Голотип: *a* — вид сбоку; *b* — вид со стороны устья; *в* — вид с наружной стороны; верховье р. Левого Кедона (бассейн р. Омолонна); тоарский ярус, зона *Ovaticeras propinquum* (Ю. С. Репин, 1964).

Фиг. 2. То же Стр. 119

a — вид сбоку; *b* — вид с наружной стороны; *в* — лопастная линия при $D = 25$ мм, $B = 7$ мм, $\times 4,5$. Верховье р. Левого Кедона (бассейн р. Омолонна); тоарский ярус, зона *Ovaticeras propinquum* (Ю. С. Репин, 1964).

Фиг. 3. *Arctomercaticeras tenue* Repin Стр. 119

Голотип: *a* — вид сбоку; *b* — вид со стороны устья; *в* — вид с наружной стороны; верховье р. Левого Кедона (бассейн р. Омолонна); тоарский ярус, зона *Ovaticeras propinquum* (Ю. С. Репин, 1964).

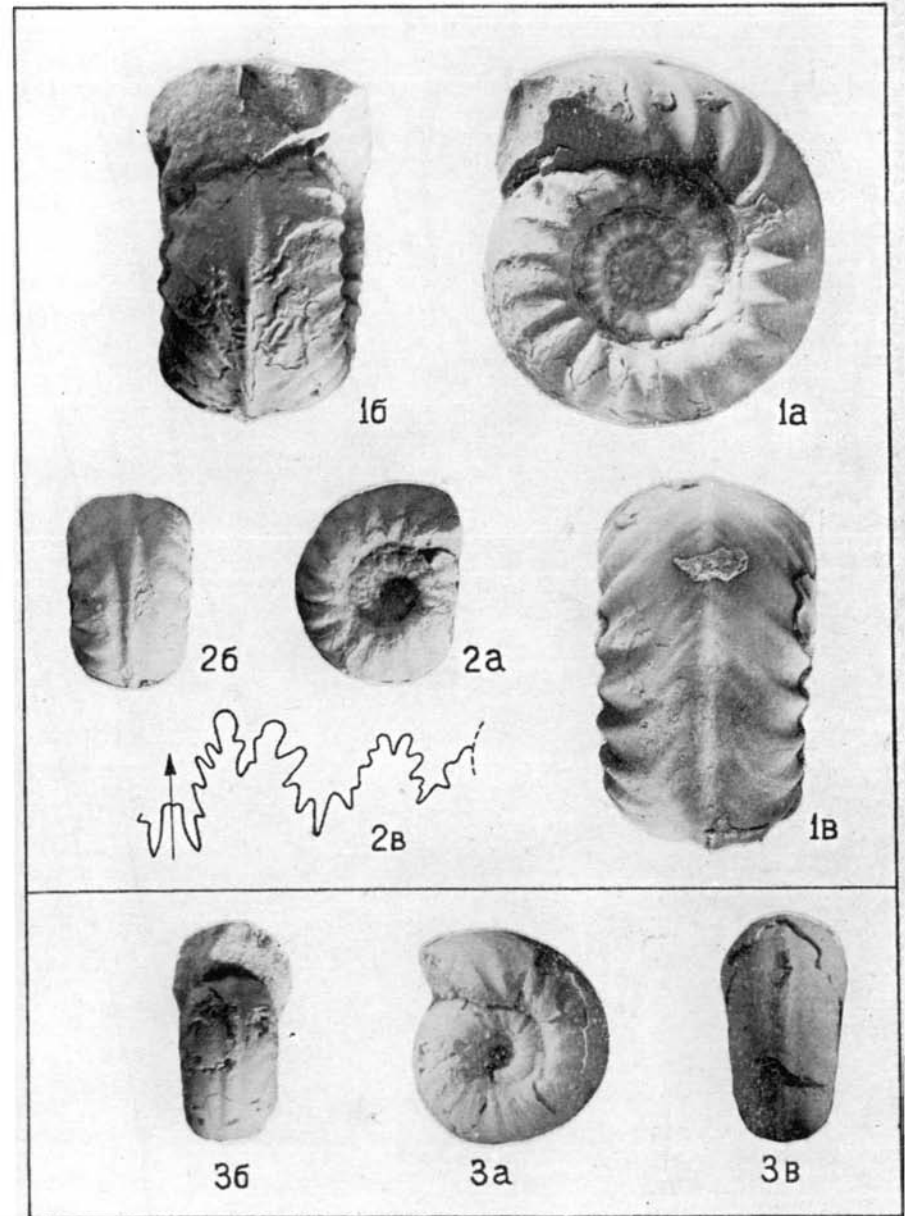


ТАБЛИЦА 44

- Фиг. 1. *Ovaticeras propinquum* Whit. Стр. 116
a — вид сбоку; *b* — вид с наружной стороны; верховье р. Левого Кедона (бассейн р. Омолона); тоарский ярус, зона *Ovaticeras propinquum* (Ю. С. Репин, 1964).
- Фиг. 2. *Tiltoniceras* sp. Стр. 116
a — вид сбоку; *b* — вид с наружной стороны; верховье р. Левого Кедона; тоарский ярус, зона *Ovaticeras propinquum* (Ю. С. Репин, 1964).
- Фиг. 3. То же Стр. 116
 Вид сбоку; верховье р. Левого Кедона (бассейн р. Омолона); тоарский ярус, зона *Ovaticeras propinquum* (И. В. Полуботко, 1960).

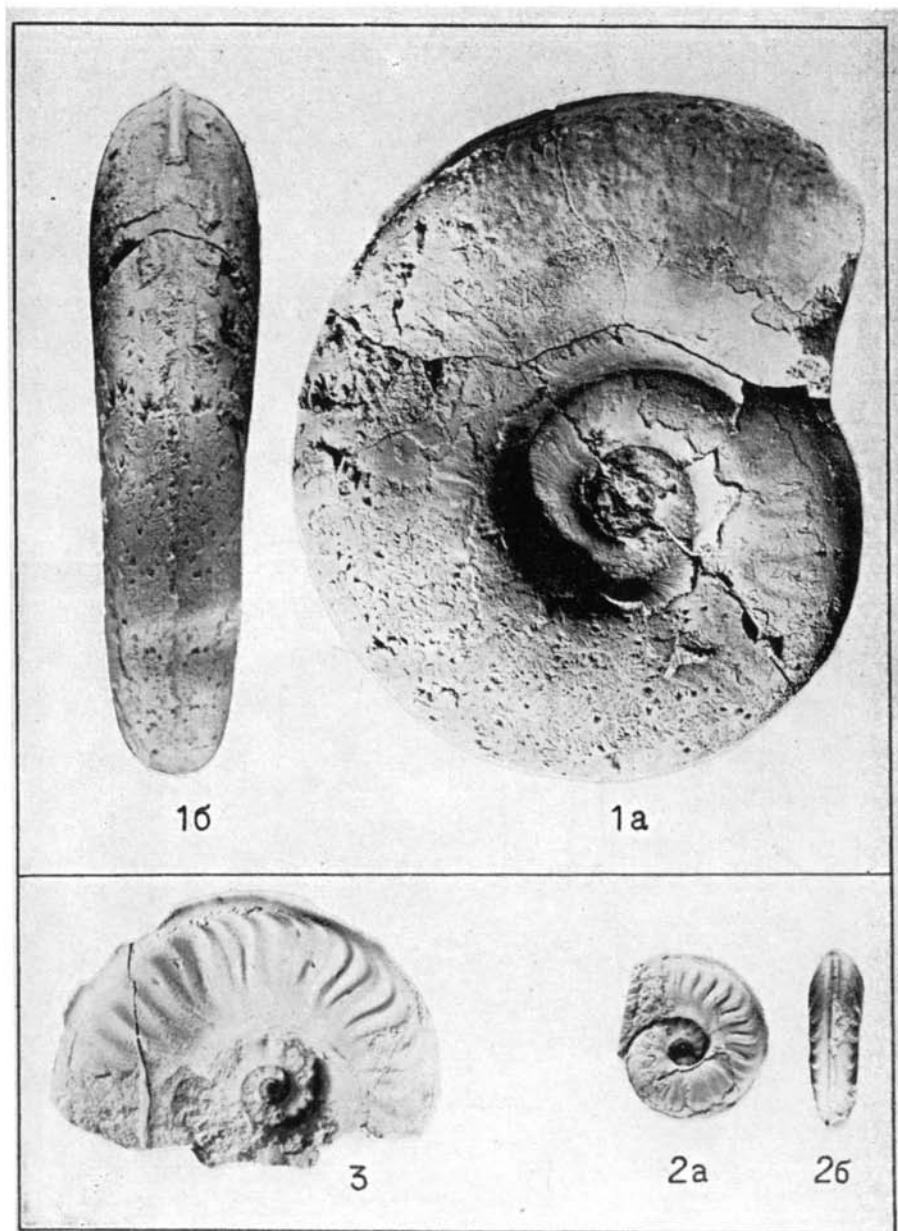


ТАБЛИЦА 45

- Фиг. 1. *Ovaticeras propinquum* Whit. Стр. 116
 а — вид сбоку; б — вид со стороны устья; верховье р. Левого Кедона (бассейн р. Омолона); тоарский ярус, зона *Ovaticeras propinquum* (Ю. С. Репин, 1964).
- Фиг. 2—3. *Nauroceratoides planus* Repin, sp. nov. Стр. 117
 2 — голотип; 2а — вид сбоку; 2б — вид со стороны устья; 3 — вид сбоку; верховье р. Левого Кедона (бассейн р. Омолона); тоарский ярус, зона *Nauroceratoides alajaensis* (Ю. С. Репин, 1964).
- Фиг. 4. *Nauroceratoides alajaensis* Repin Стр. 116
 Вид сбоку; верховье р. Левого Кедона (бассейн р. Омолона); тоарский ярус, зона *Nauroceratoides alajaensis* (Ю. С. Репин, 1964).

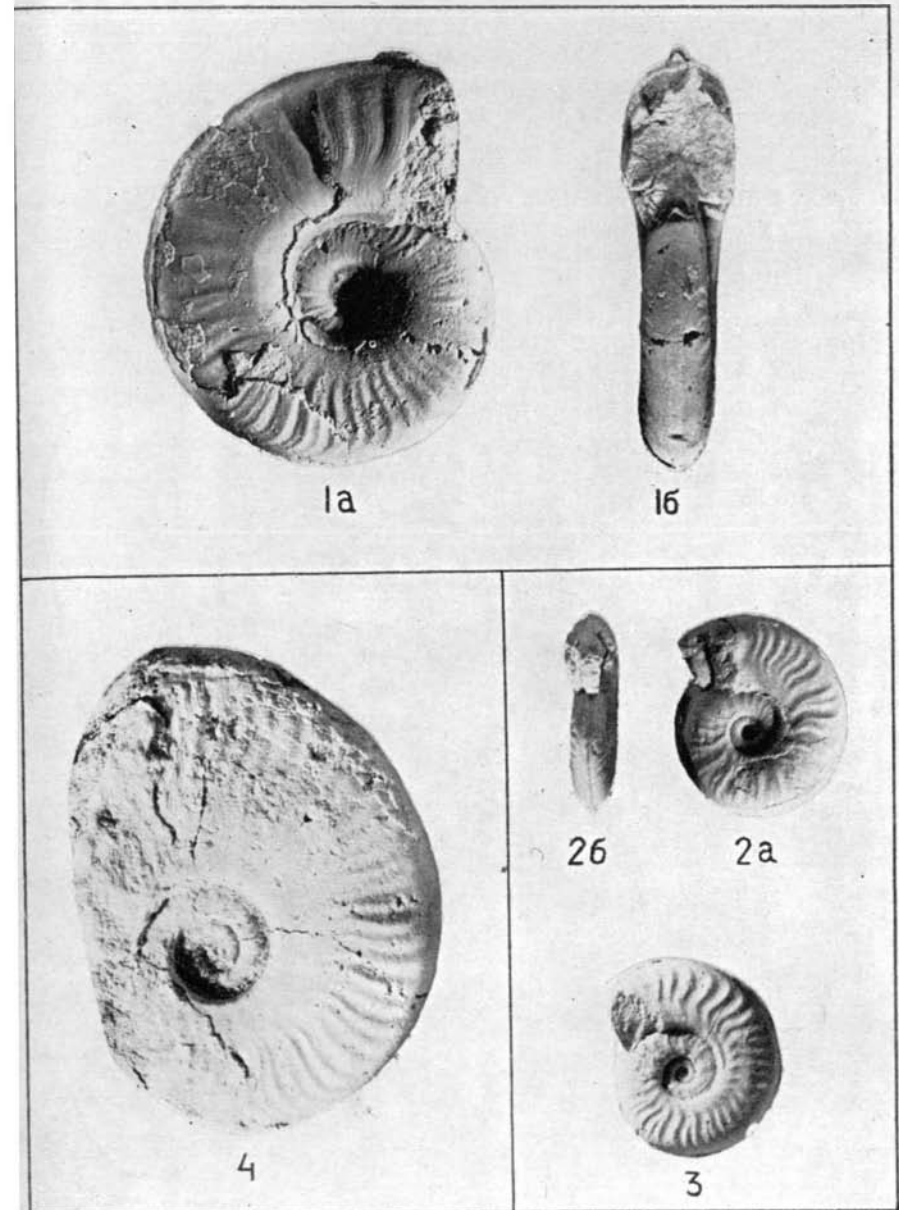


ТАБЛИЦА 46

- Фиг. 1—2. *Ovaticeras facetum* Repin Стр. 115
 1 — вид сбоку; 2а — вид сбоку; 2б — вид со стороны устья; верховье р. Левого Кедона (бассейн р. Омолона); тоарский ярус, зона *Ovaticeras propinquum* (Ю. С. Репин, 1964).
- Фиг. 3. *Nauroceras exaratum* (Y. et B.) Стр. 117
 Неполная раковина, вид сбоку; верховье р. Левого Кедона (бассейн р. Омолона); тоарский ярус, зона *Nauroceras exaratum* (Ю. С. Репин, 1964).
- Фиг. 4—5. *Ovaticeras facetum* Repin Стр. 115
 4а — вид сбоку; 4б — вид со стороны устья; 4в — вид с наружной стороны; 5 — голотип; 5а — вид сбоку; 5б — лопастная линия при $D=32$ мм, $V=9$ мм, $\times 4,5$; верховье р. Левого Кедона (бассейн р. Омолона); тоарский ярус, зона *Ovaticeras propinquum* (И. В. Полуботко, 1960).

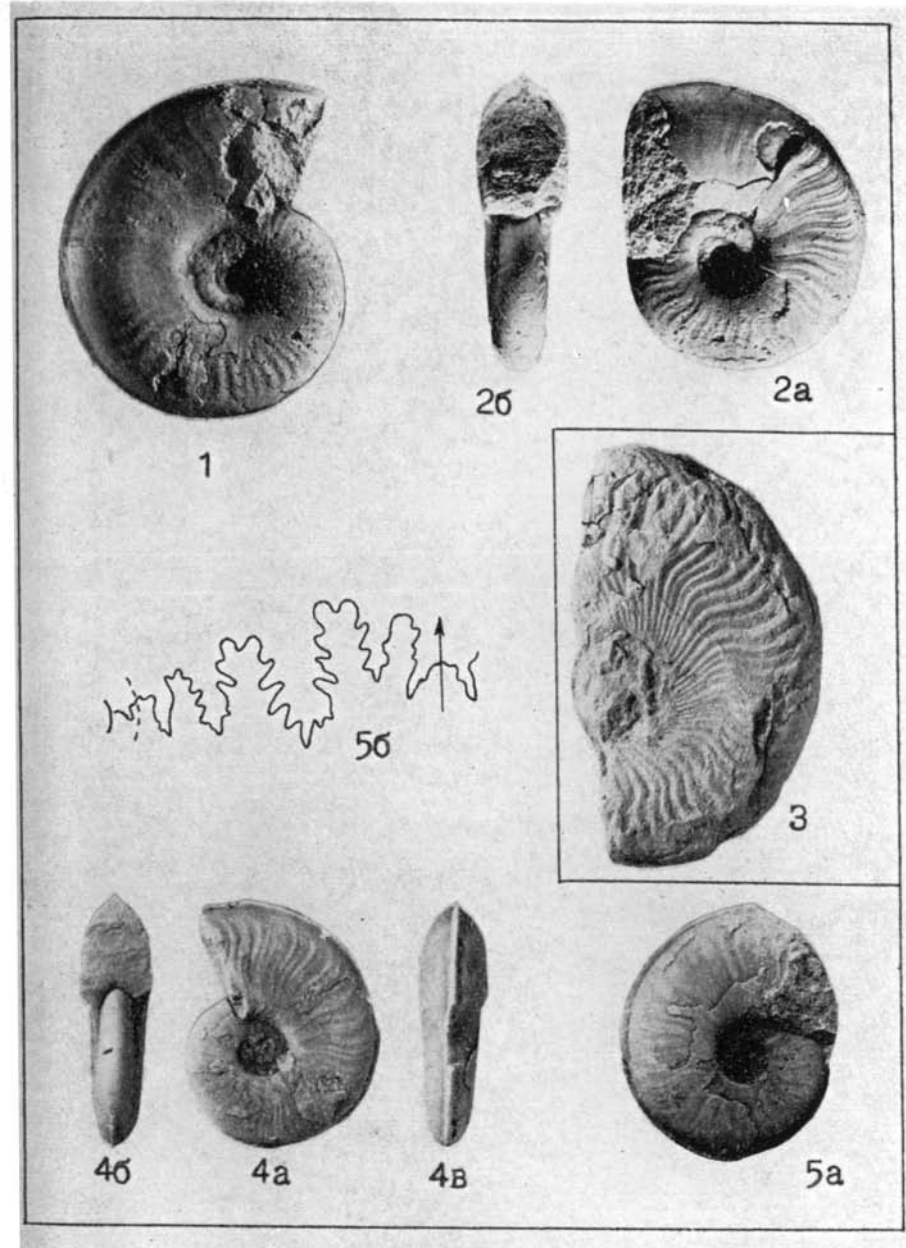


ТАБЛИЦА 47

Фиг. 1—2. *Harposeratoides alajaensis* Repin Стр. 116

1а — вид сбоку; 1б — вид со стороны устья; 2 — голотип: 2а — вид сбоку; 2б — вид со стороны устья; 2в — лопастная линия при $D=28$ мм, $B=8$ мм, $\times 4,5$; верховье р. Левого Кедона (бассейн р. Омолона); тоарский ярус, зона *Harposeratoides alajaensis* (Ю. С. Репин, 1964).

Фиг. 3. *Harposeras exaratum* (Y. et V.) Стр. 117

Вид сбоку. Верховье р. Левого Кедона (бассейн р. Омолона); тоарский ярус, зона *Harposeras exaratum* (Ю. С. Репин, 1964).

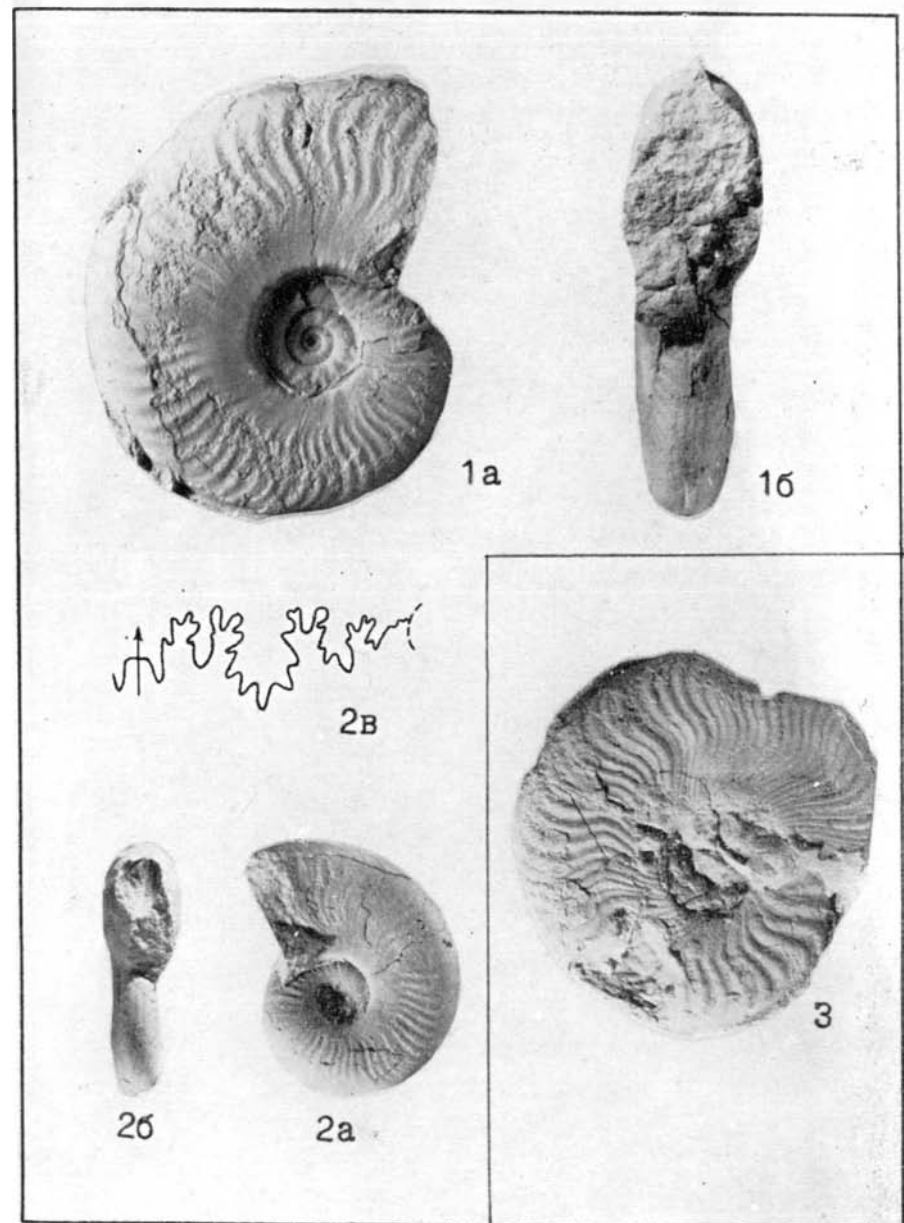


ТАБЛИЦА 48

Фиг. 1. *Hildaides grandis* Repin

Стр. 118

Голотип: *a* — вид сбоку, $\times 0,5$; *b* — лопастная линия при $D = 250$ мм, $B = 67$ мм, $\times 0,5$; верховье р. Левого Кедона (бассейн р. Омолона); тоарский ярус, зона *Dactylioseras commune* (Ю. С. Репин, 1964).

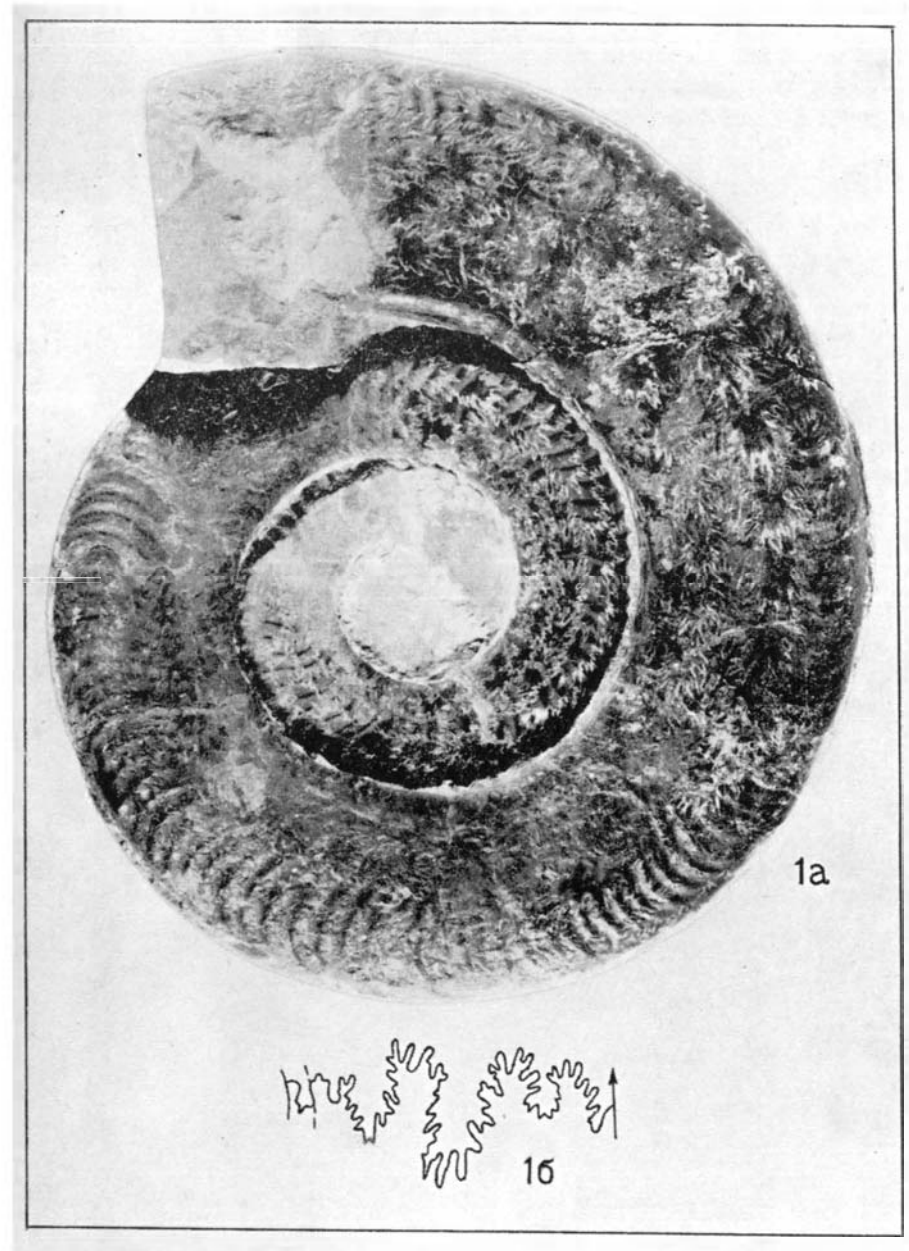


ТАБЛИЦА 49

- Фиг. 1. *Dactylioceras commune* (Sow.) Стр. 114
a — вид сбоку; *b* — вид со стороны устья; *в* — лопастная линия при $D = 34$ мм, $V = 8$ мм, $\times 5$; верховье р. Левого Кедона (бассейн р. Омолона); тоарский ярус, зона *Dactylioceras commune* (И. В. Полуботко, 1960).
- Фиг. 2. *Zugodactylites braunianus* (Orb.) Стр. 114
a — вид сбоку; *b* — вид с наружной стороны; верховье р. Левого Кедона (бассейн р. Омолона); тоарский ярус, зона *Zugodactylites braunianus* (И. В. Полуботко, 1960).
- Фиг. 3. *Dactylioceras aff. athleticum* (Simps.) Стр. 114
 Обломок раковины, вид сбоку; верховье р. Левого Кедона (бассейн р. Омолона); тоарский ярус, зона *Dactylioceras commune* (И. В. Полуботко, 1960).
- Фиг. 4. *Zugodactylites* sp. Стр. 115
a — вид сбоку; *b* — вид с наружной стороны; *в* — вид со стороны устья; р. Токур-Юрях (бассейн р. Коркодона); тоарский ярус, зона *Zugodactylites braunianus* (М. И. Терехов, 1957).
- Фиг. 5. *Zugodactylites aff. braunianus* (Orb.) Стр. 115
a — вид сбоку; *b* — вид со стороны устья; *в* — вид с наружной стороны. Верховье р. Левого Кедона (бассейн р. Омолона); тоарский ярус, зона *Zugodactylites braunianus* (И. В. Полуботко, 1960).

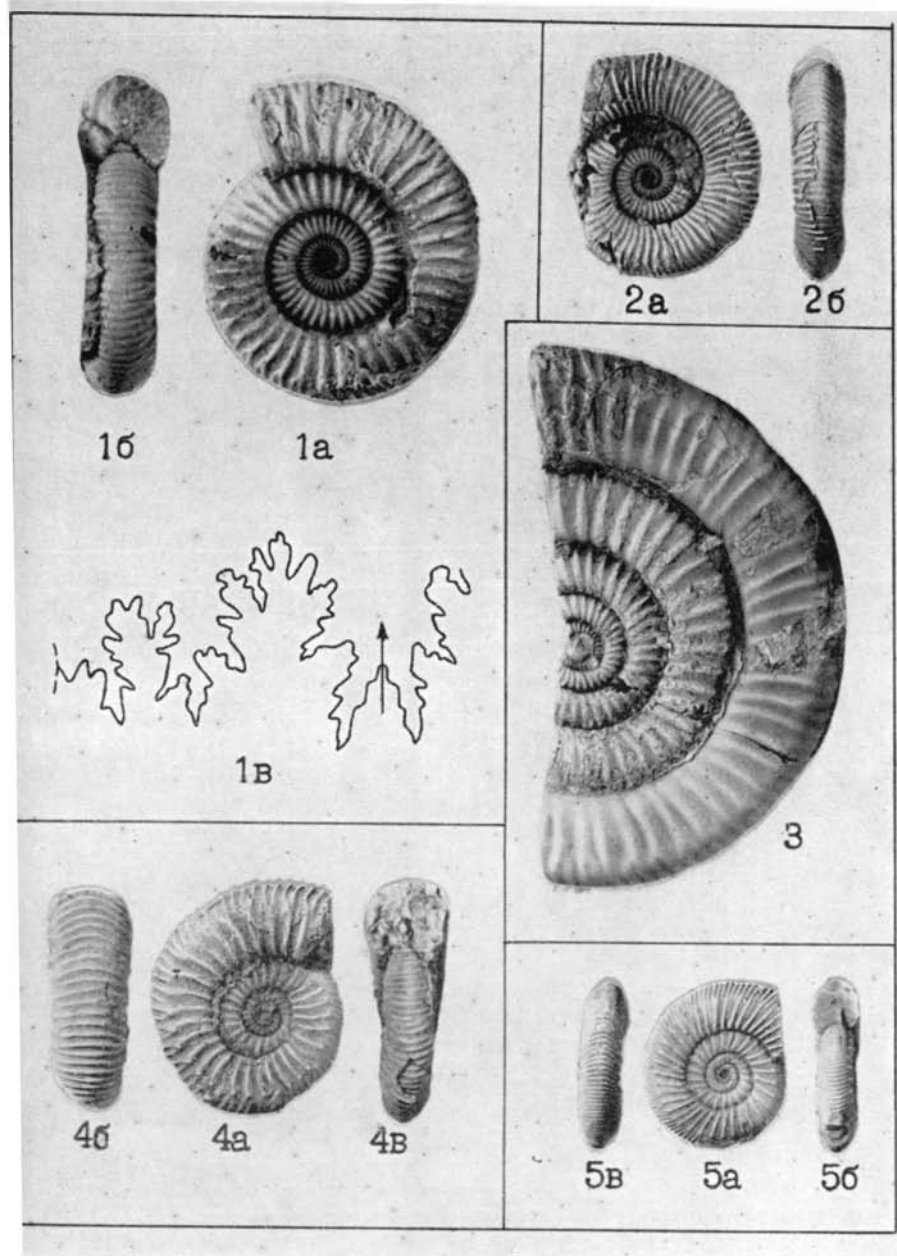


ТАБЛИЦА 50

Фиг. 1—2. *Pegopoceras spinatum* (Freb.) Стр. 113

1а — вид сбоку; 1б — вид со стороны устья; 2 — вид сбоку; р. Булун (Рассоха) (бассейн р. Коркодона); тоарский ярус, зона *Pegopoceras spinatum* (И. В. Полуботко, 1963).

Фиг. 3. *Pegopoceras polare* (Freb.) Стр. 113

а — вид сбоку; б — вид с наружной стороны; верховье р. Левого Кедона (бассейн р. Омолона); тоарский ярус, зона *Pegopoceras spinatum* (И. В. Полуботко, 1960).

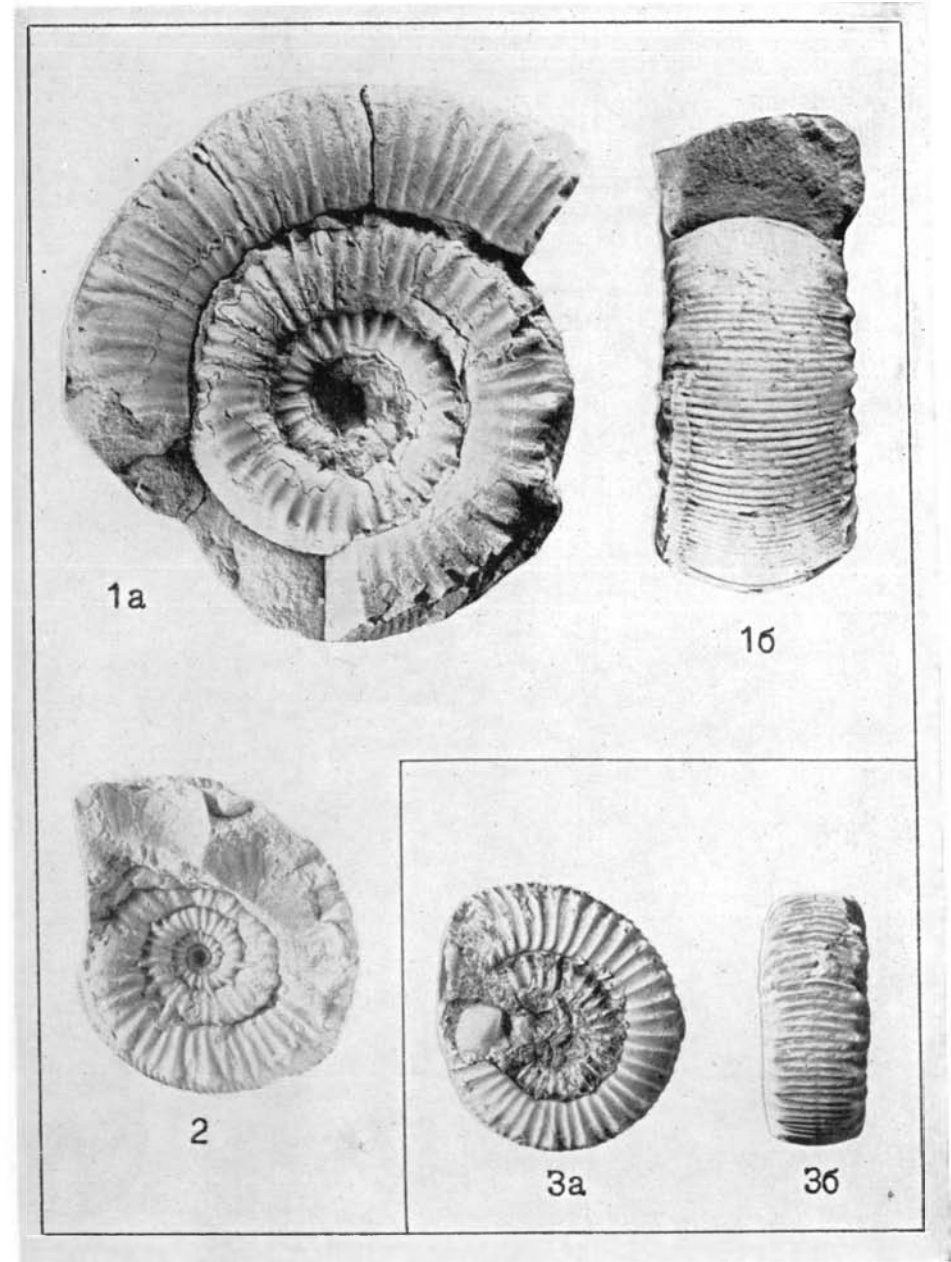


ТАБЛИЦА 51

Фиг. 1—3. *Pseudolioceras rosenkrantzi* A. Dagus Стр. 122

1а — вид сбоку; 1б — вид с наружной стороны; 2а — вид сбоку; 2б — вид с наружной стороны; 2в — лопастная линия при $D=32$ мм, $V=11$ мм, $\times 4,5$; 3а — вид сбоку; 3б — вид с наружной стороны. Верховье р. Левого Кедона (бассейн р. Омолона); тоарский ярус, зона *Pseudolioceras rosenkrantzi* (И. В. Полуботко, 1960).

Фиг. 4—6. *Pseudolioceras kedonense* Repin Стр. 121

4 — голотип: 4а — вид сбоку; 4б — лопастная линия при $D=39$ мм, $V=12$ мм, $\times 4$; 5а — вид сбоку; 5б — вид со стороны устья; 5в — вид с наружной стороны; 6а — вид сбоку; 6б — вид с наружной стороны. Верховье р. Левого Кедона (бассейн р. Омолона); тоарский ярус, зона *Zugodactylites braunianus* (И. В. Полуботко, 1960; Ю. С. Репин, 1964).

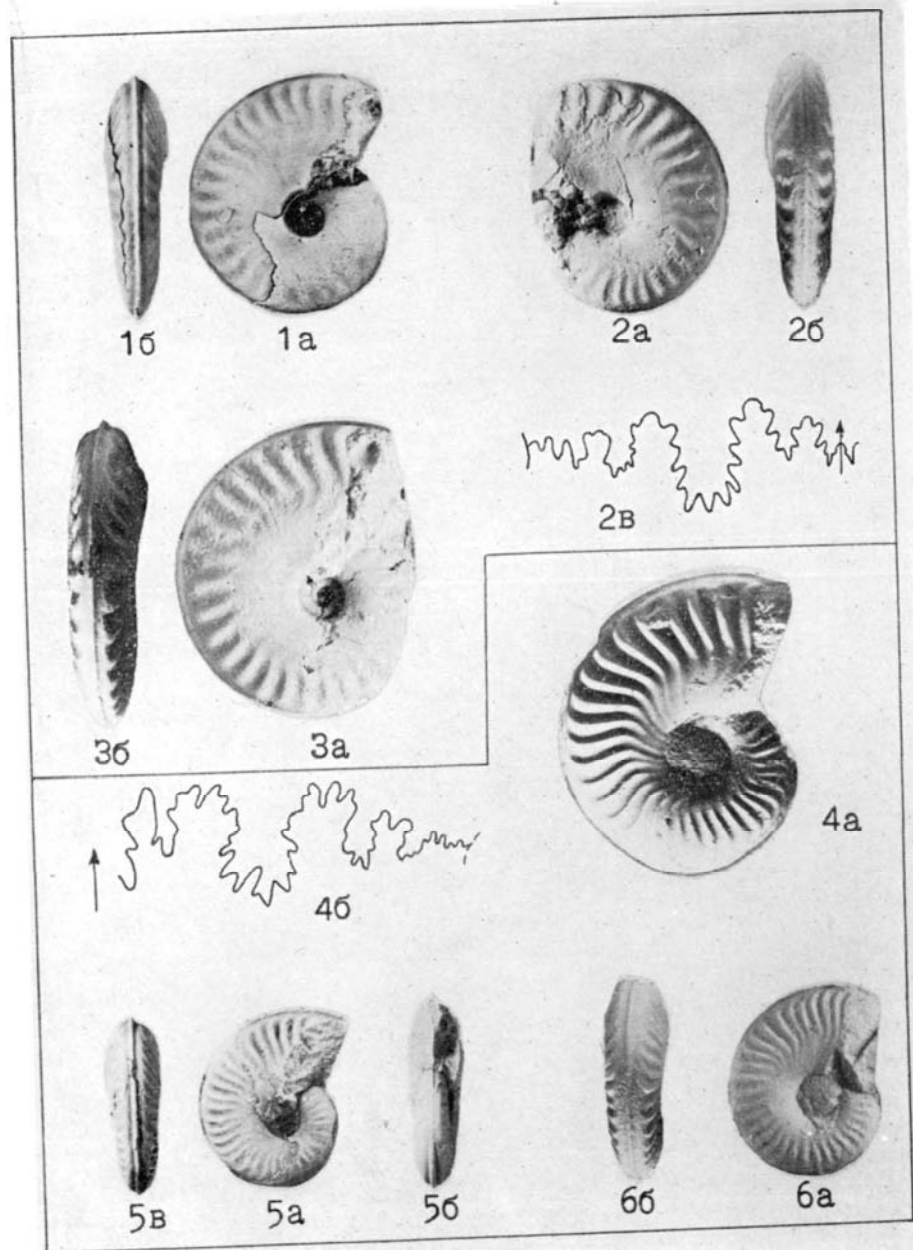


ТАБЛИЦА 52

Фиг. 1. *Pseudolioceras lythense* (Y. et B.)

Стр. 120

a — вид сбоку; *b* — вид с наружной стороны; *з* — лопастная линия при $D = 115$ мм, $B = 38$ мм, $\times 2$. Верховье р. Левого Кедона (бассейн р. Омолона); тоарский ярус, зона *Zugodactylites braunianus* (И. В. Полуботко, 1960).

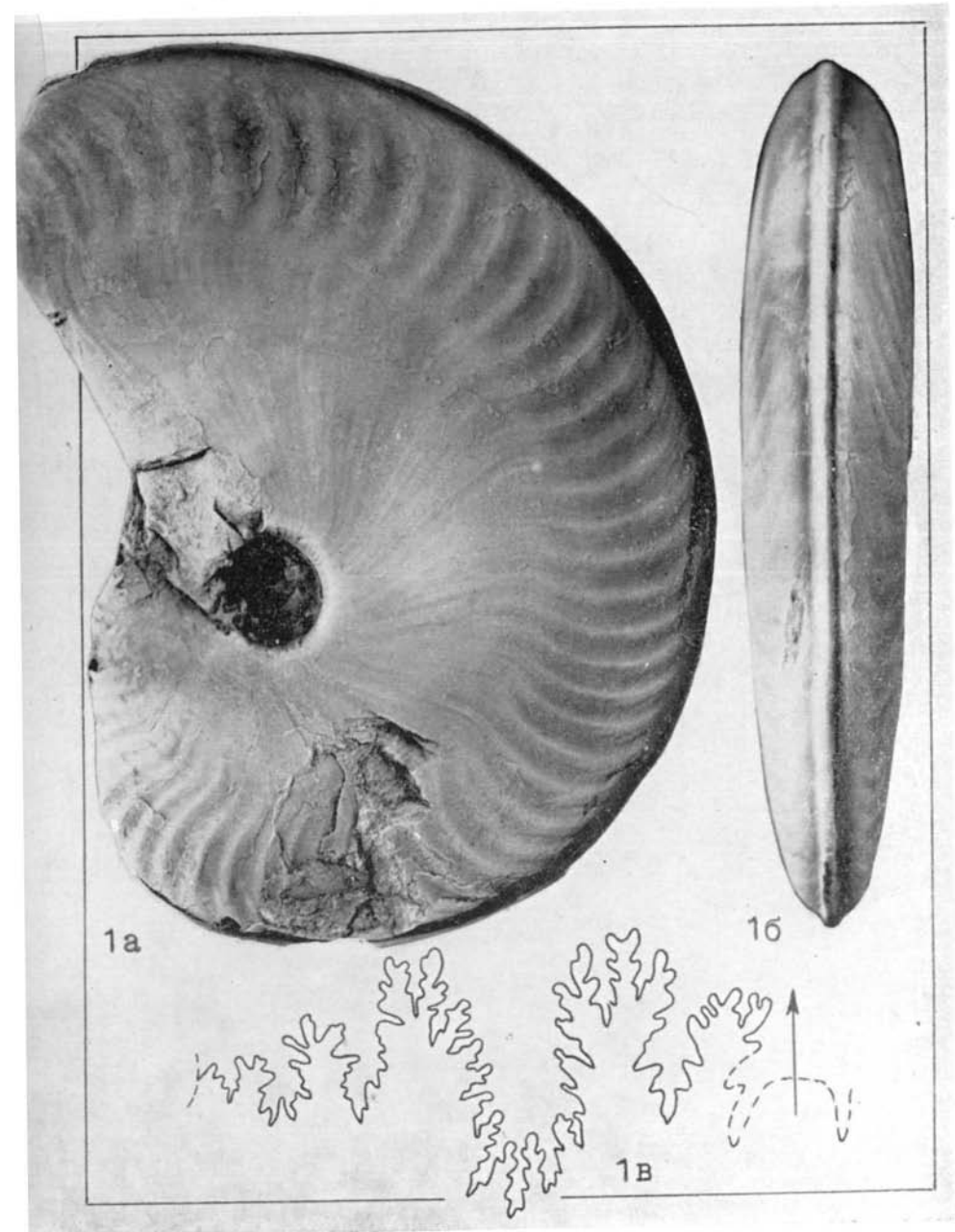


ТАБЛИЦА 53

- Фиг. 1. *Pseudolioceras compactile* (Simps.) Стр. 121
 а — вид сбоку; б — вид со стороны устья; р. Летняя (правобережье р. Колымы в нижнем течении); тоарский ярус, зона *Pseudolioceras rosenkrantzi* (К. Ф. Колотилин, 1964).
- Фиг. 2, 3. То же Стр. 121
 2 — вид сбоку; 3 — вид сбоку. Юные формы; верховье р. Левого Кедона (бассейн р. Омолона); тоарский ярус, зона *Pseudolioceras rosenkrantzi* (И. В. Полуботко, 1963)
- Фиг. 4. *Pseudolioceras lythense* (Y. et V.) Стр. 120
 Вид сбоку; верховье р. Левого Кедона (бассейн р. Омолона); тоарский ярус, зона *Zugodactylites braunianus* (Ю. С. Репин, 1964).
- Фиг. 5. *Osperleioceras* sp. Стр. 124
 а — вид сбоку; б — вид с наружной стороны; верховье р. Левого Кедона (бассейн р. Омолона); тоарский ярус, зона *Zugodactylites braunianus* (Ю. С. Репин, 1964).
- Фиг. 6. *Pseudolioceras gradatum* Buckm. Стр. 122
 а — вид сбоку; б — вид с наружной стороны; верховье р. Левого Кедона (бассейн р. Омолона); тоарский ярус, зона *Peropoceras spinatum* (Ю. С. Репин, 1964).

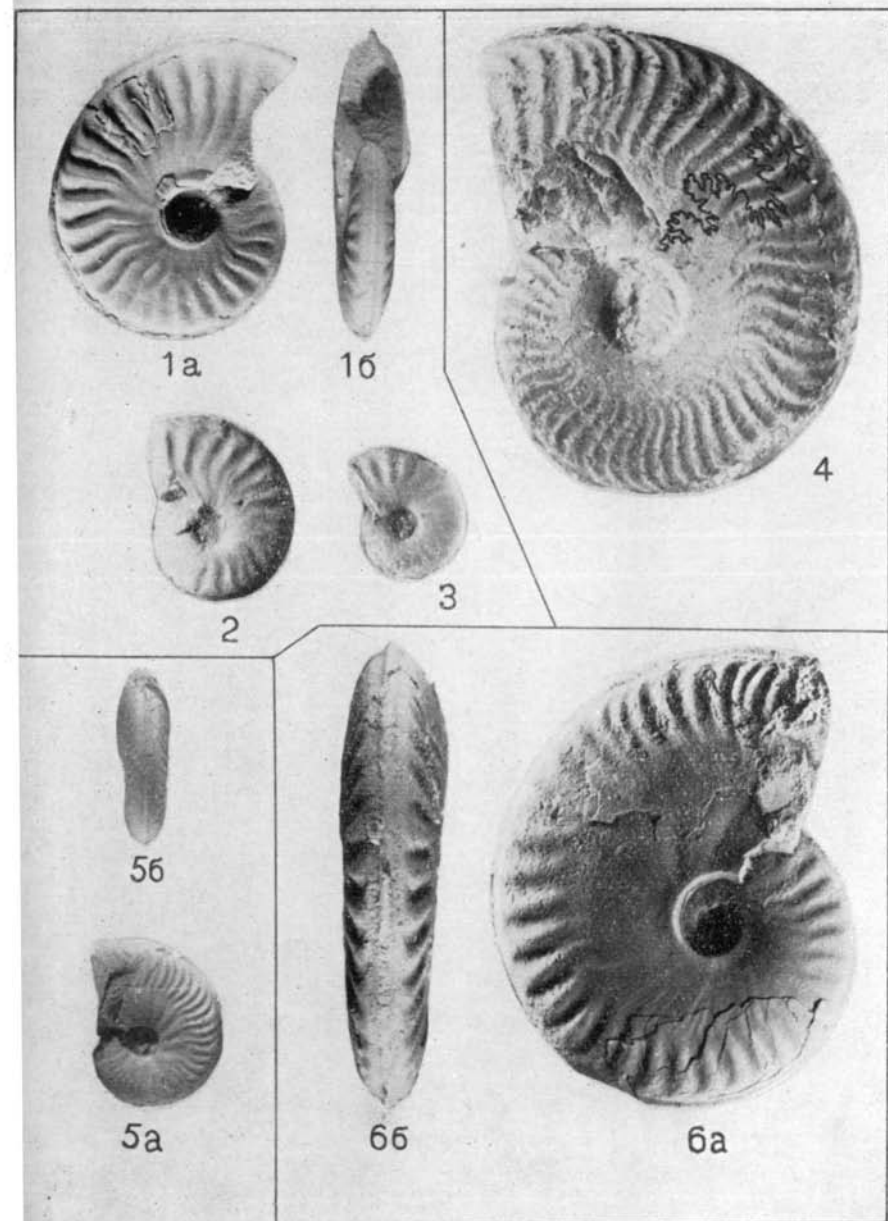


ТАБЛИЦА 54

- Фиг. 1. *Mesoteuthis* aff. *subgracilis* Kolb Стр. 133
a — вид с брюшной стороны; *b* — вид сбоку; *в* — поперечное сечение; верховье р. Левого Кедона (бассейн р. Омолона); средняя часть тоарского яруса (Ю. С. Репин, 1964).
- Фиг. 2. *Mesoteuthis* cf. *triscissiformis* Kolb Стр. 133
a — вид с брюшной стороны; *b* — вид сбоку; *в* — поперечное сечение; верховье р. Левого Кедона; средняя часть тоарского яруса (Ю. С. Репин, 1964).
- Фиг. 3. *Passaloteuthis* cf. *argillarum* Lang Стр. 130
a — вид сбоку; *б* — поперечное сечение; верховье р. Левого Кедона; нижняя часть тоарского яруса (Ю. С. Репин, 1964).
- Фиг. 4. *Passaloteuthis* aff. *viluiensis* Krimh. Стр. 130
a — вид сбоку, $\times 0,9$; *б* — поперечное сечение, $\times 0,9$; верховье р. Левого Кедона; нижняя часть тоарского яруса (Ю. С. Репин, 1964).

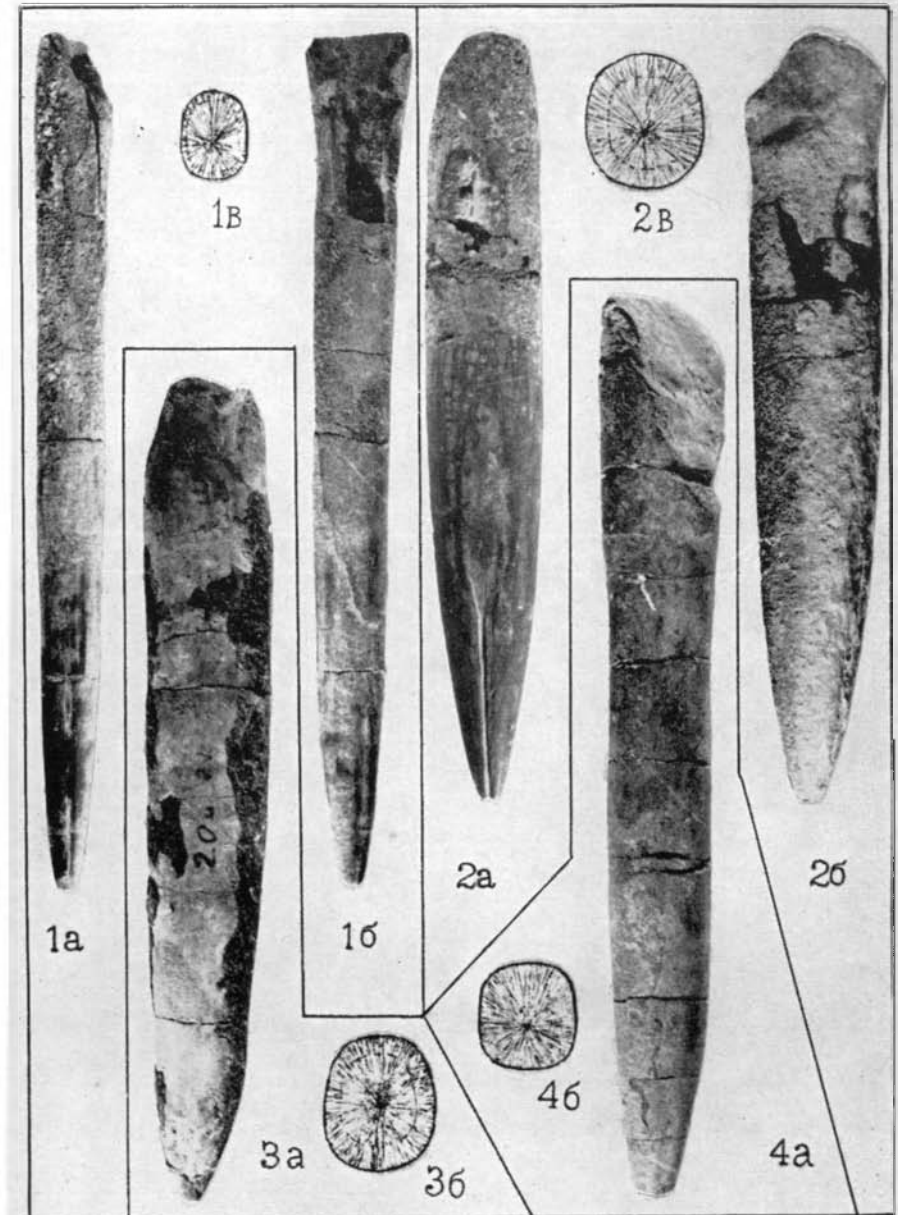


ТАБЛИЦА 55

- Фиг. 1. *Hastites cf. milleri* (Phill.) Стр. 132
a — вид с брюшной стороны; *б* — вид сбоку; р. Артык (бассейн верхнего течения р. Индигирки); тоарский ярус (Ю. М. Бычков, 1960).
- Фиг. 2. *Mesoteuthis rostriformis* (Theod.) Стр. 132
a — вид с брюшной стороны; *б* — вид сбоку; *в* — поперечное сечение; верховье р. Левого Кедона (бассейн р. Омолона); верхняя часть тоарского яруса (Ю. С. Репин, 1964).
- Фиг. 3. *Mesoteuthis cf. subpiramidalis* (Liss.) Стр. 132
a — вид с брюшной стороны; *б* — вид сбоку; *в* — поперечное сечение; верховье р. Левого Кедона; верхняя часть тоарского яруса (И. В. Полуботко, 1960).
- Фиг. 4. *Dactyloteuthis* sp. Стр. 129
a — вид с брюшной стороны; *б* — вид сбоку; *в* — поперечное сечение; верховье р. Левого Кедона; верхняя часть тоарского яруса (Ю. С. Репин, 1964).
- Фиг. 5. *Mesoteuthis aff. triscissa* (Jan.) Стр. 133
a — вид с брюшной стороны; *б* — вид сбоку; *в* — поперечное сечение; верховье р. Левого Кедона; верхняя и средняя части тоарского яруса (И. В. Полуботко, 1960).

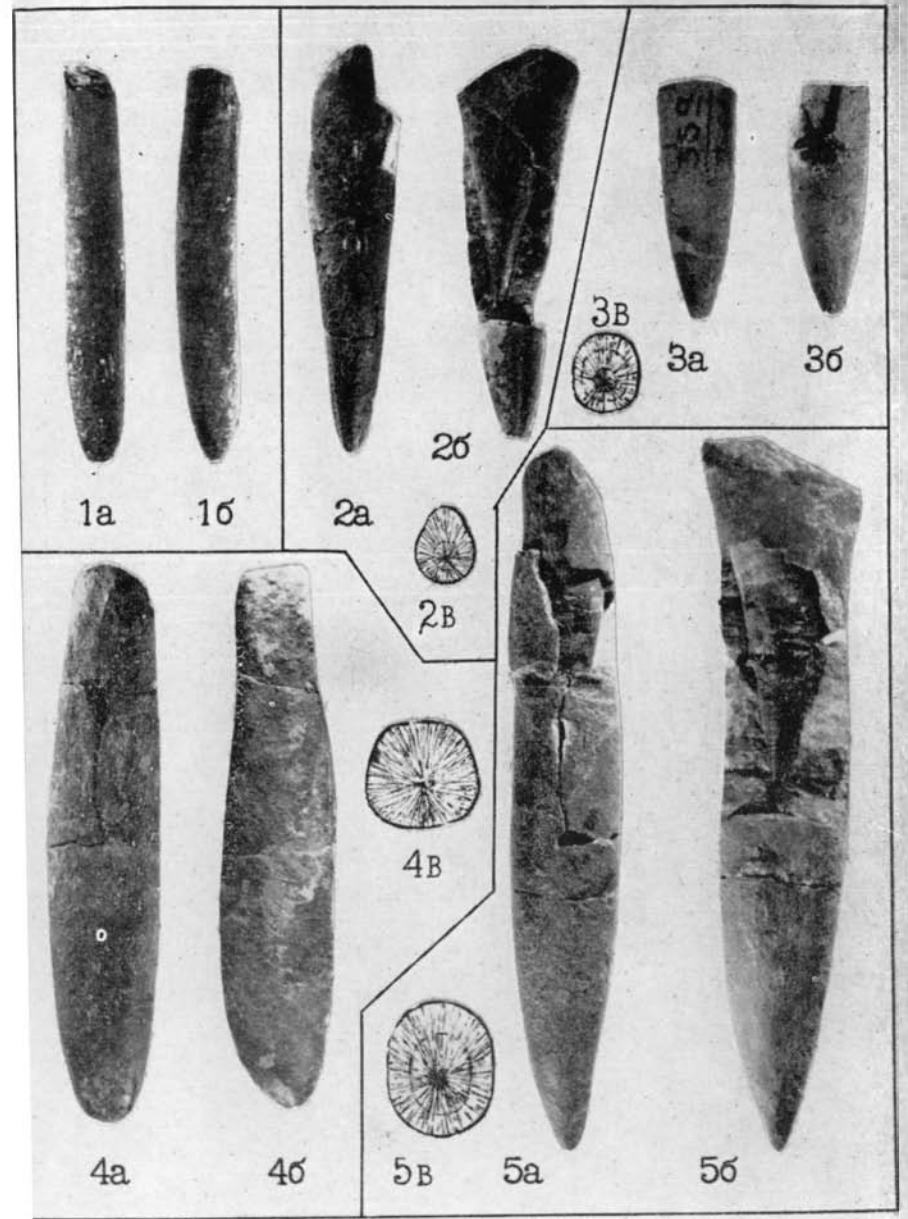


ТАБЛИЦА 56

Фиг. 1. *Passaloteuthis cf. niger* Lister Стр. 130

a — вид с брюшной стороны, $\times 0,6$; *b* — вид сбоку, $\times 0,6$; *в* — поперечное сечение, $\times 0,6$; верховье р. Левого Кедона; средняя часть тоарского яруса (И. В. Полуботко, 1960).

Фиг. 2. *Passaloteuthis elongata* (Mill.) Стр. 130

a — вид с брюшной стороны, $\times 0,7$; *b* — вид сбоку, $\times 0,7$; *в* — поперечное сечение, $\times 0,7$; верховье р. Левого Кедона; средняя часть тоарского яруса (И. В. Полуботко, 1960).

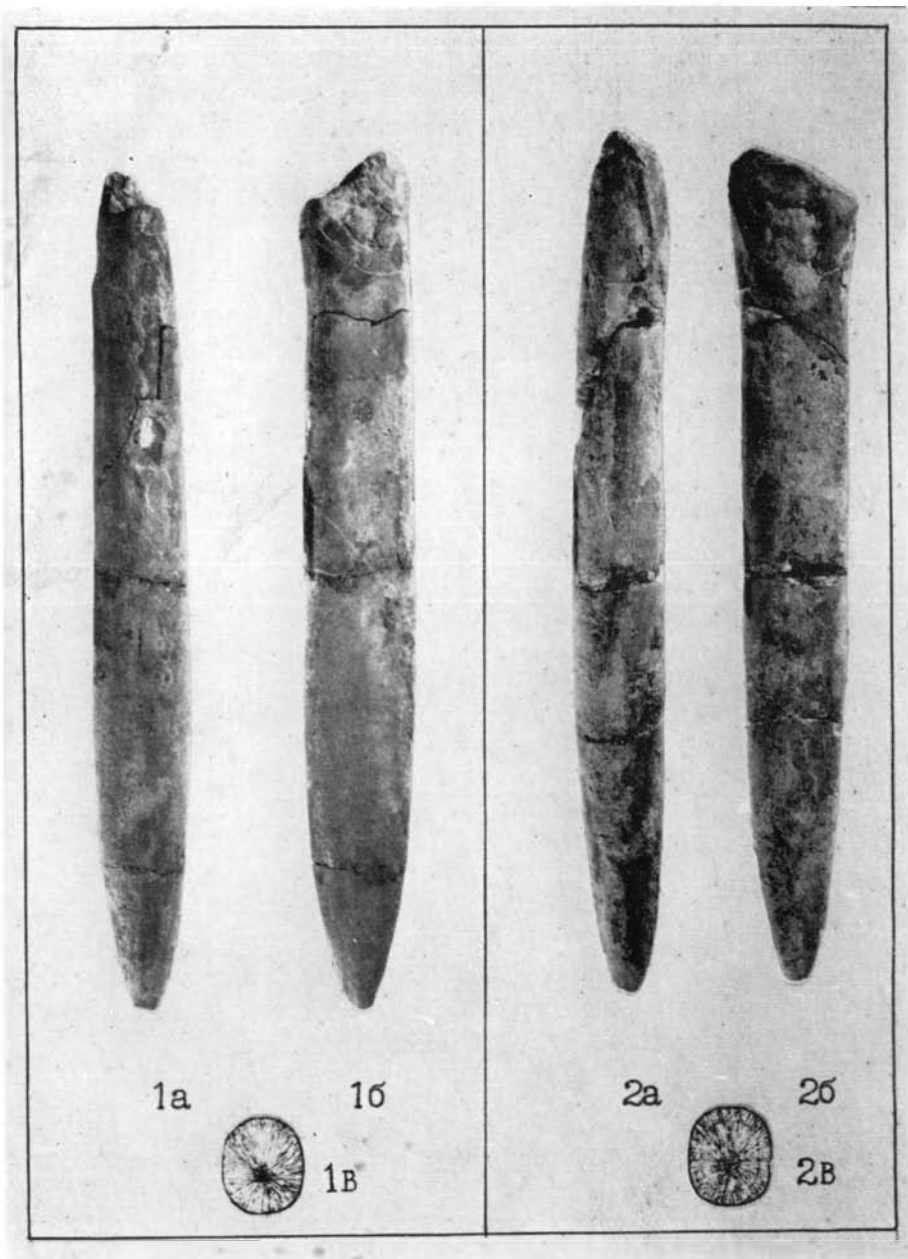


ТАБЛИЦА 57

- Фиг. 1. *Hastites* sp. Стр. 132
Вид сбоку; р. Левая Хета (бассейн р. Бохапчи); верхнегоарские —
нижнеааленские отложения (Г. Н. Чертовских, 1961).
- Фиг. 2. *Hastites* cf. *clavatus* (Schloth.) Стр. 131
Вид сбоку; верховья р. Коркодона; верхняя часть тоарского яру-
са (К. Л. Львов, 1962).
- Фиг. 3. *Hastites neumarktensis* (Opp.) Стр. 131
a — вид с брюшной стороны; *b* — вид сбоку; бассейн верхнего
течения р. Коркодона; верхняя часть тоарского яруса (К. Л. Львов,
1960).
- Фиг. 4. *Hastites* cf. *bergensis* Kolb Стр. 131
a — вид с брюшной стороны, $\times 0,7$; *b* — вид сбоку, $\times 0,7$; бассейн
верхнего течения р. Коркодона; верхняя часть тоарского яруса
(К. Л. Львов, 1960).
- Фиг. 5. *Passaloteuthis* sp. Стр. 131
a — вид с брюшной стороны; *b* — вид сбоку; верховье р. Левого
Кедона (бассейн р. Омолона); средняя часть тоарского яруса
(Ю. С. Репин, 1964).
- Фиг. 6. *Homaloteuthis* cf. *breviformis* (Voltz) Стр. 134
a — вид с брюшной стороны; *b* — вид сбоку; *в* — поперечное сече-
ние; р. Булун (Рассоха) (бассейн р. Коркодона); верхняя часть
тоарского — нижняя часть ааленского ярусов (И. В. Полуботко,
1963).

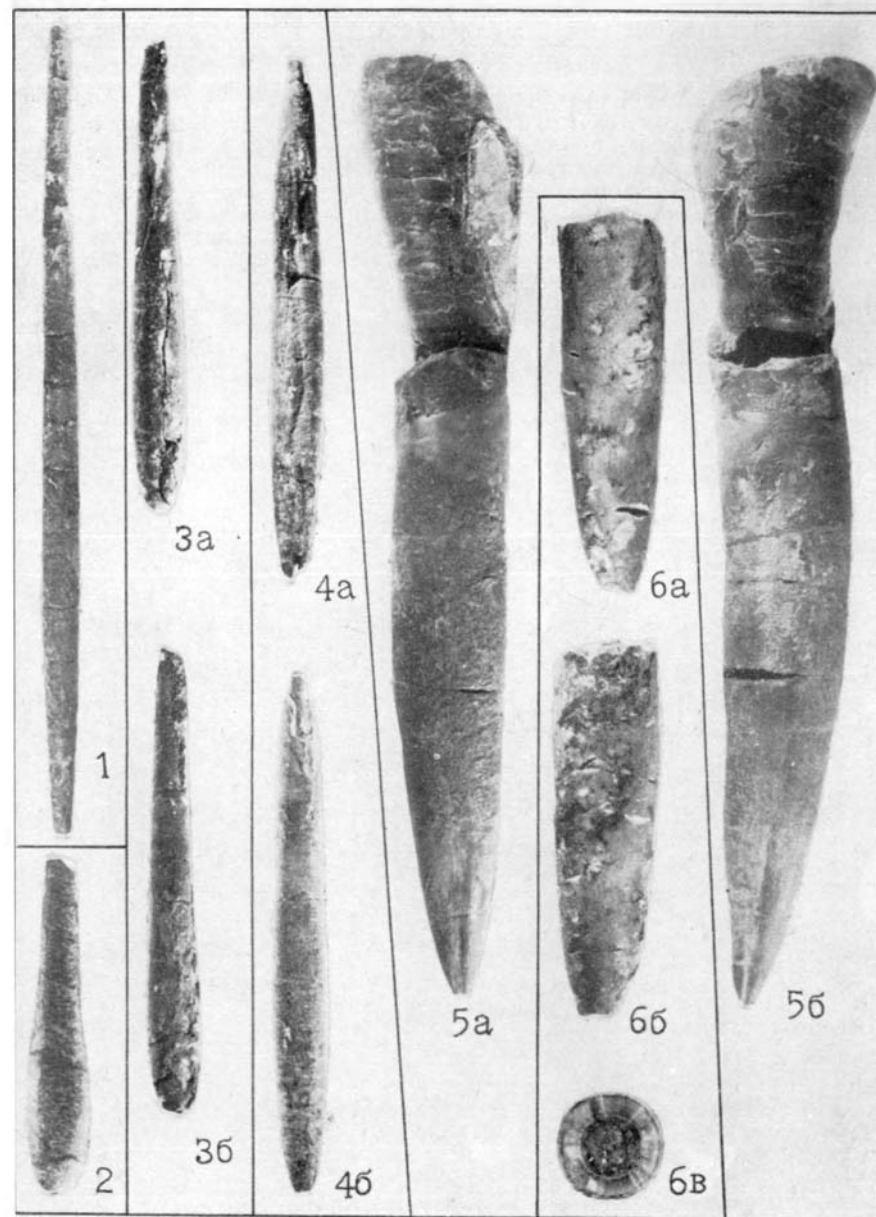


ТАБЛИЦА 58

Фиг. 1—8. *Ptilophyllum sibiricum* Samyl., sp. nov. Стр. 140
 1, 2, 3 — участки одного и того же листа; 4 — поперечный разрез того же листа; 5 — центральная часть листа; 6 — голотип: участок нижней части листа; с этого отпечатка снята углистая пленка и исследовано эпидермальное строение; 7 — зарисовка участка эпидермы нижней поверхности сегмента (фиг. 6), $\times 200$; 8 — основание листа, $\times 2$. Верховье р. Левого Кедона (бассейн р. Омолона); тоарский ярус (И. В. Полуботко, 1960; Ю. С. Репин, 1964).

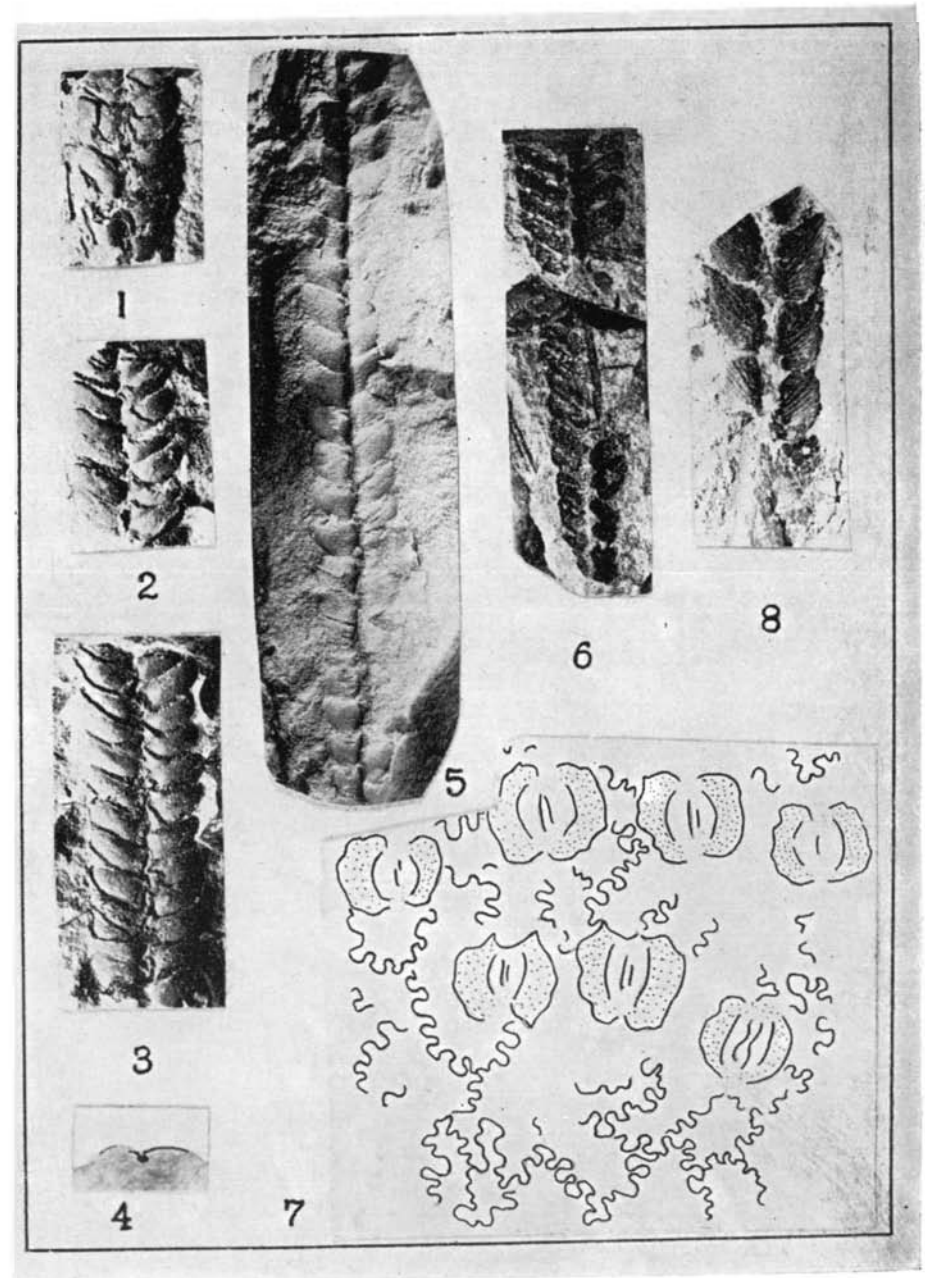


ТАБЛИЦА 59

- Фиг. 1. *Nucula amygdaloides* Sow. Стр. 29
 а — внутреннее ядро правой створки; б — та же створка, $\times 3$; в — вид ядра сверху, $\times 3$; р. Левая Хета (бассейн р. Бохалчи); верхне-тоарские — нижеааленские отложения (И. В. Полуботко, 1961).
- Фиг. 2. *Nucula* aff. *palmae* Sow. Стр. 29
 а — внутреннее ядро правой створки; б — та же створка, $\times 3$; р. Левая Хета; верхне-тоарские — нижеааленские отложения (И. В. Полуботко, 1961).
- Фиг. 3—5. *Leda subjacutica* Polub., sp. nov. Стр. 31
 3 — голотип; 3а — внутреннее ядро левой створки; 3б — та же створка, $\times 3$; 3в — вид сверху, $\times 3$; 4а — внутреннее ядро левой створки; 4б — та же створка, $\times 3$; 5а — внутреннее ядро правой створки; 5б — та же створка, $\times 3$; р. Левая Хета; верхне-тоарские — нижеааленские отложения (И. В. Полуботко, 1961).
- Фиг. 6. *Oxytoma ferrugineum* Roll. Стр. 48
 Левая створка молодой формы; р. Мунугуджак (бассейн р. Омолон); нижеааленские отложения (Б. А. Снятков, 1957).
- Фиг. 7, 8. То же Стр. 48
 7 — левые створки; 8 — левая створка; р. Левая Хета; верхне-тоарские — нижеааленские отложения (И. В. Полуботко, 1961).

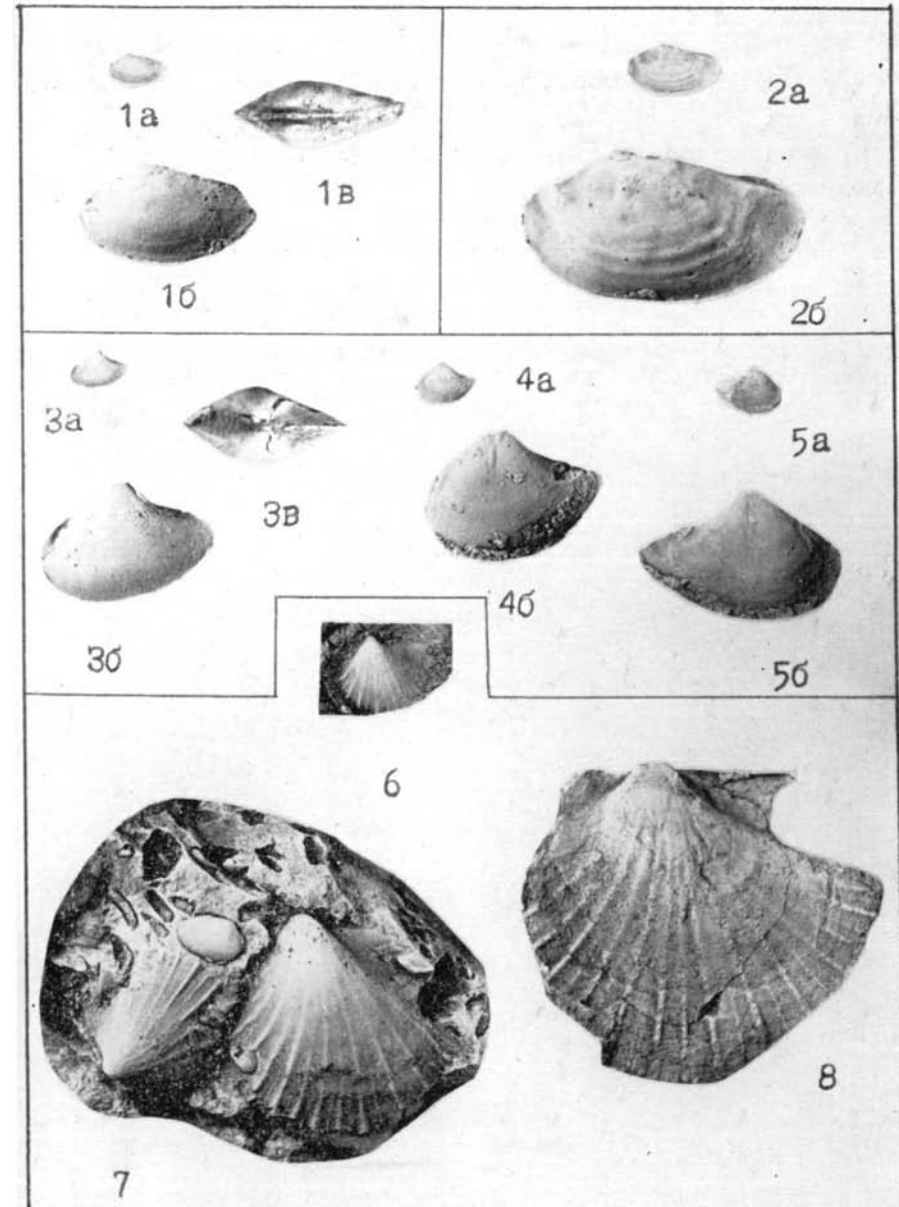


ТАБЛИЦА 60

- Фиг. 1. *Oxytoma* aff. *jacksoni* (Pomr.) Стр. 48
 а — отпечаток левой створки; б — отпечаток правой створки
 того же экземпляра. Бассейн верхнего течения р. Гижиги; ниж-
 няя часть ааленского яруса (В. М. Демьянов, 1962).
- Фиг. 2. *Oxytoma* cf. *jacksoni* (Pomr.) Стр. 49
 Обломок наружного ядра левой створки; р. Вилига; нижняя часть
 ааленского яруса (Ю. М. Бычков, И. В. Полуботко, 1958).

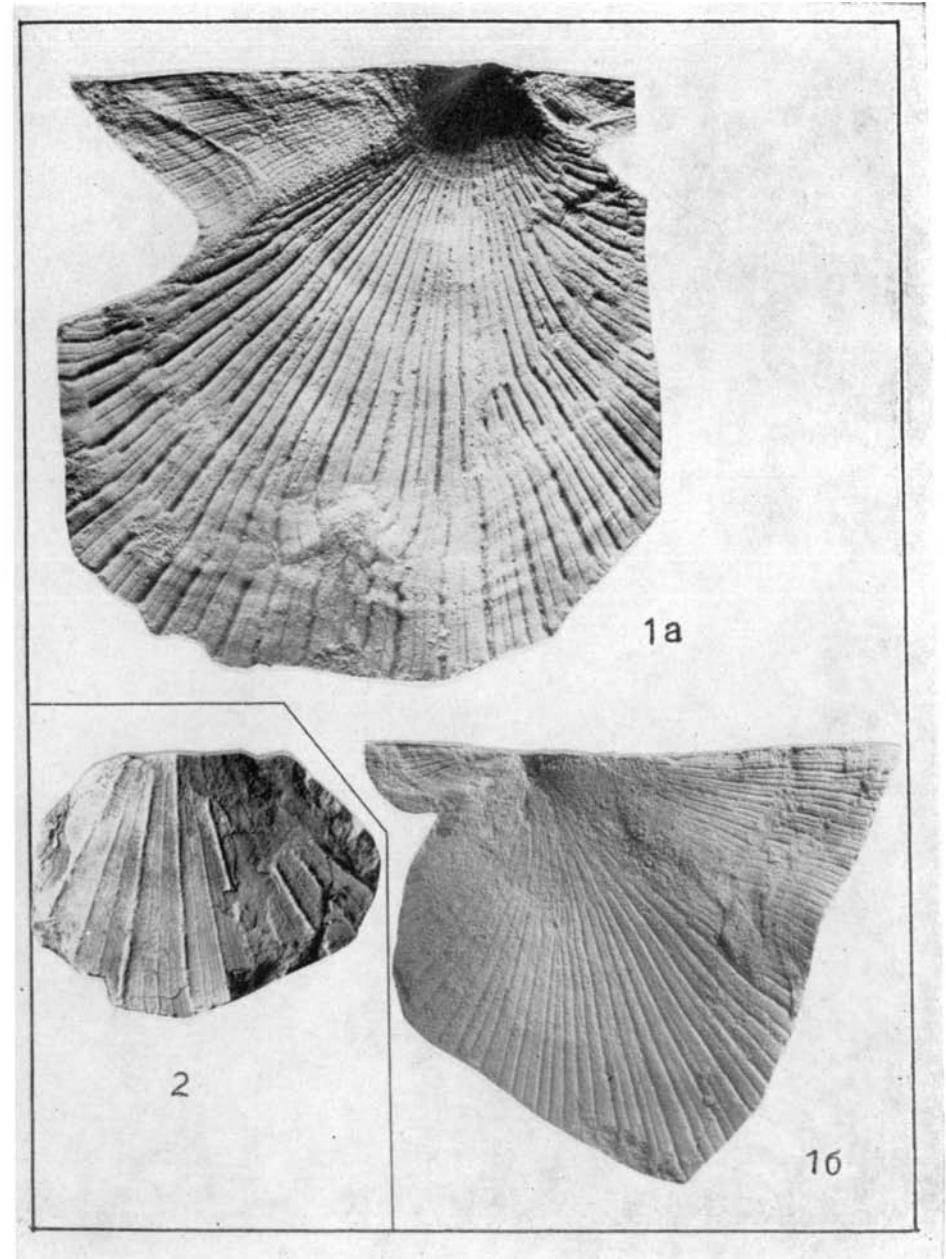


ТАБЛИЦА 61

- Фиг. 1. *Retroceramus menneri* Kosch. Стр. 66
Внутреннее ядро левой створки с обломанным нижним краем;
р. Лебязь Хета (бассейн р. Бохапчи); верхний аален (И. В. По-
луботко, 1961).
- Фиг. 2. *Retroceramus cf. menneri* Kosch. Стр. 66
Правая створка неполной сохранности; полуостров Тайгонос;
ааленский ярус (М. С. Марков, 1963).

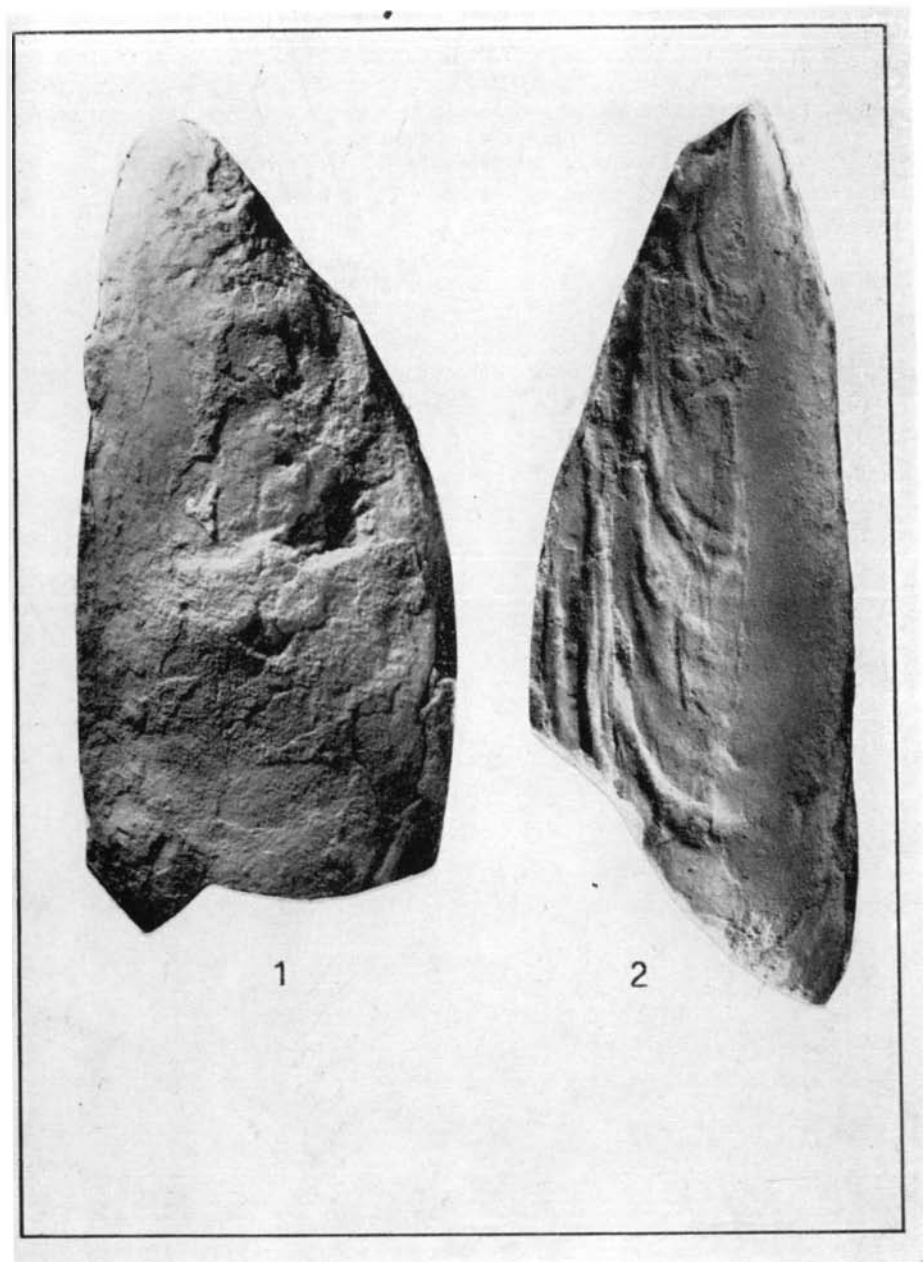


ТАБЛИЦА 62

Фиг. 1. *Retroceramus* aff. *porovi* Kosch. Стр. 66
а — правая створка, $\times 0,8$; б — вид той же створки спереди, $\times 0,8$;
верховье р. Гижиги; ааленский ярус (М. И. Терехов, 1962).

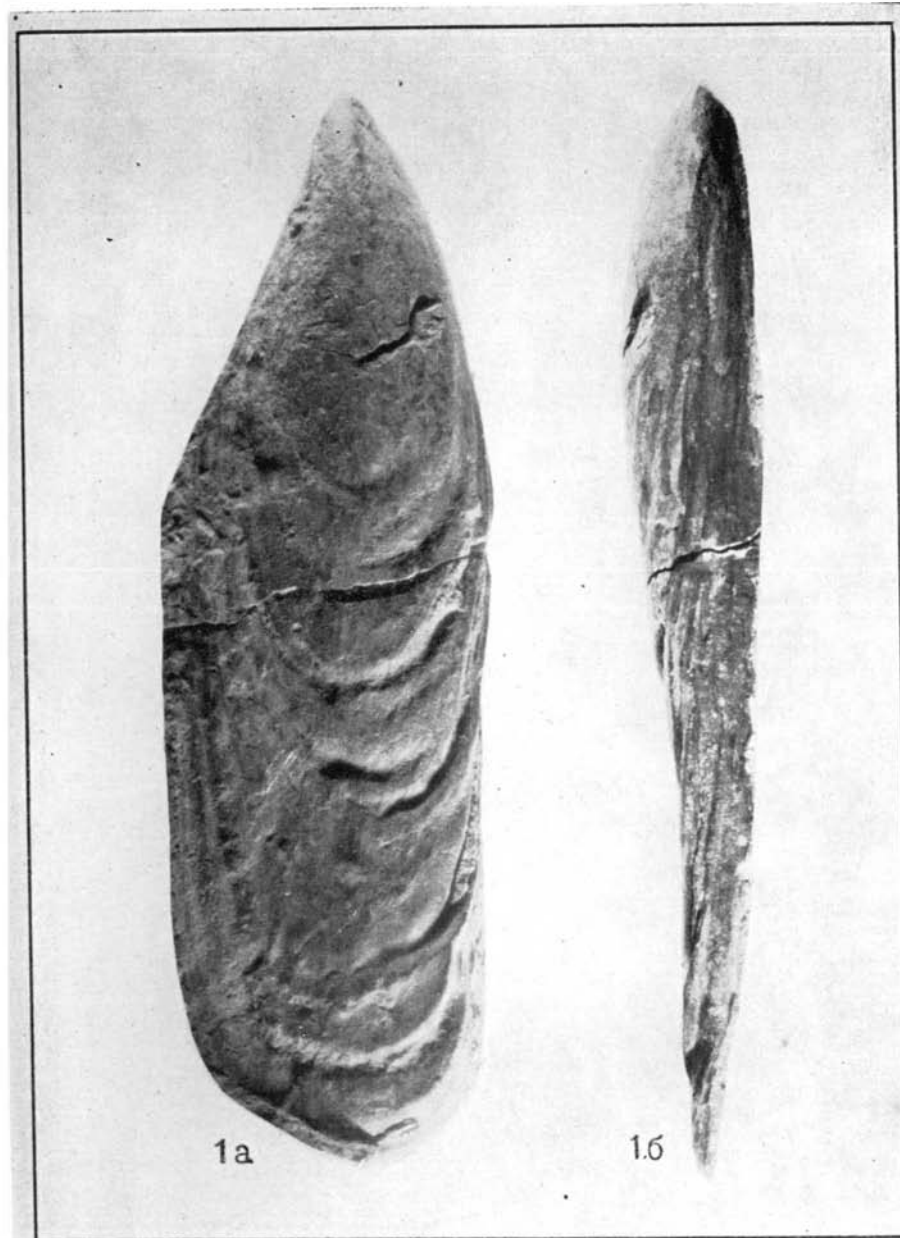


ТАБЛИЦА 63

Фиг. 1. *Retroceramus sibiricus* Kosch. Стр. 67

Вид полного ядра раковины со стороны левой створки; р. Круглокаменная (бассейн р. Анадыря); верхний аален (Г. П. Терехова, 1966).

Фиг. 2, 3. *Retroceramus elegans* Kosch. Стр. 67

2 — правая створка с обломанной макушкой; 3 — левая створка молодого экземпляра. Верховье р. Левого Кедона (бассейн р. Омолона); верхний аален (И. В. Полуботко, 1960).

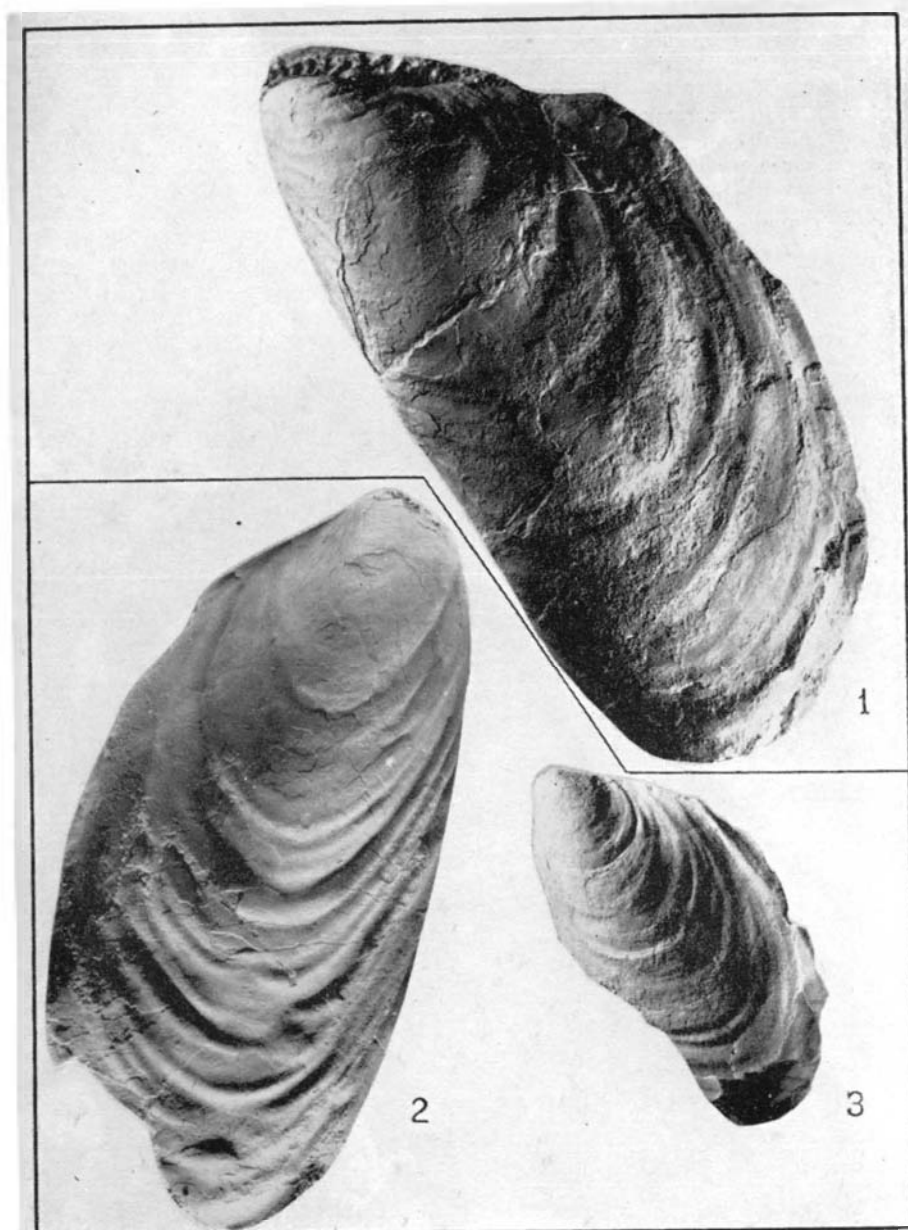


ТАБЛИЦА 64

Фиг. 1, 2. *Retroceramus lungershauseni* Kosch. Стр. 68

1 — правая створка; 2 — левая створка молодого экземпляра. Верховье р. Левого Кедона (бассейн р. Омолона); верхний аален (И. В. Полуботко, 1960).

Фиг. 3. *Retroceramus sibiricus* Kosch. Стр. 67

Левая створка, $\times 0,85$, р. Круглокаменная (бассейн р. Анадыря); верхний аален (Г. П. Терехова, 1966).

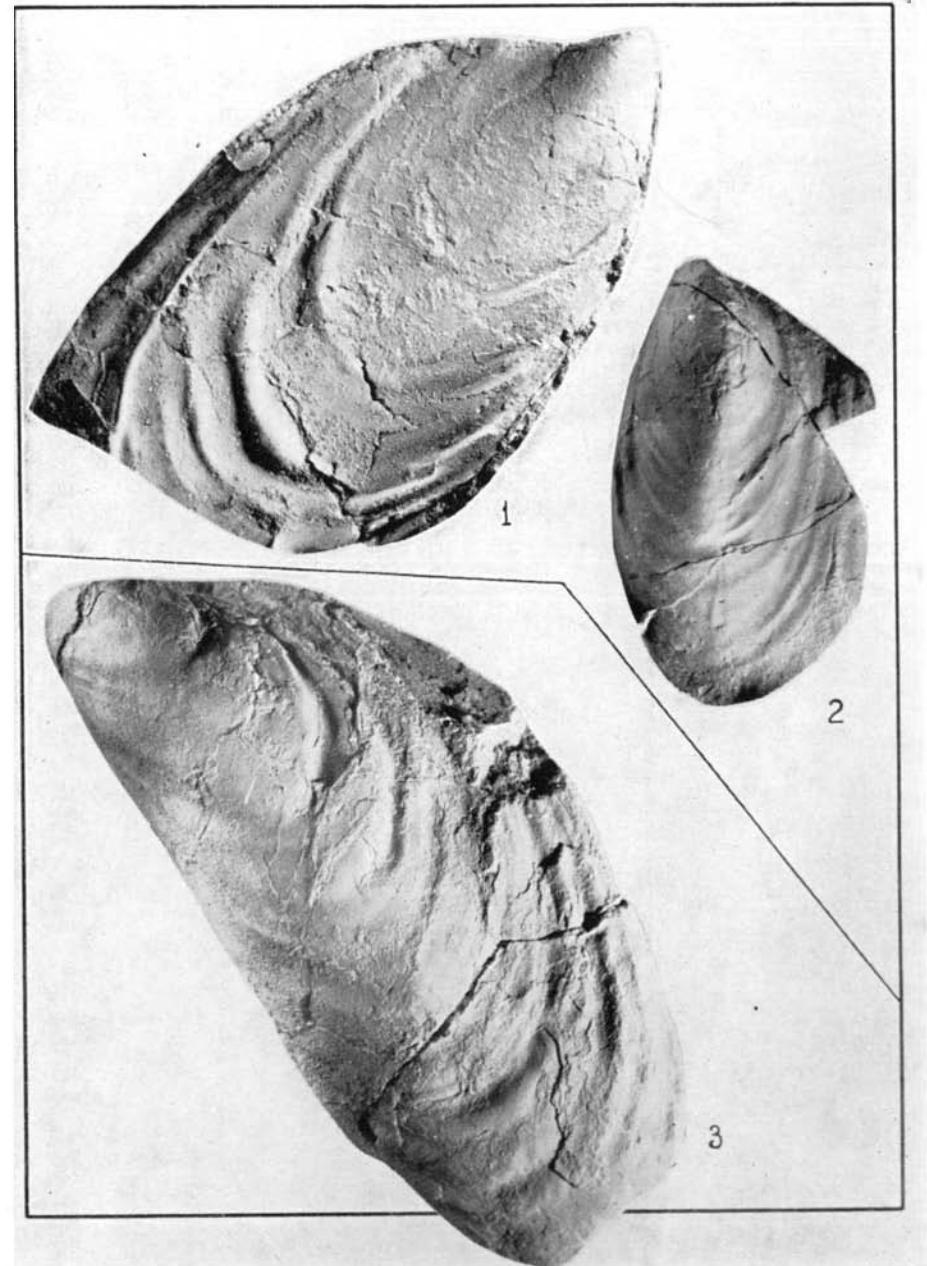


ТАБЛИЦА 65

Фиг. 1, 2. *Retroceramus lungershauseni* Kosch.

Стр. 68

1 — левая створка; 2 — правая створка с обломанным крылом;
верховье р. Левого Кедона (бассейн р. Омолона); верхний аален
(И. В. Полуботко, 1960).

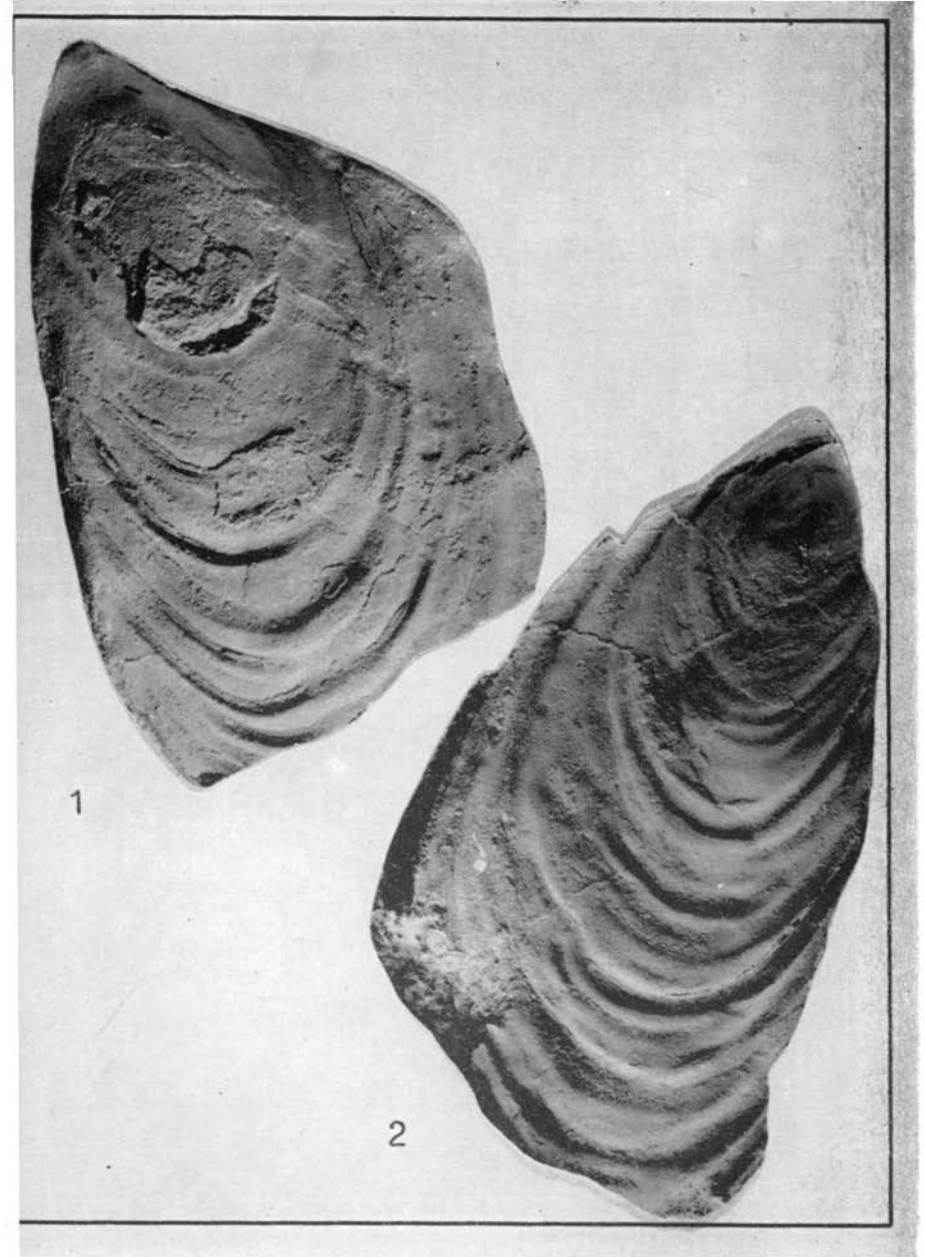


ТАБЛИЦА 66

- Фиг. 1. *Variamussium* sp. Стр. 78
a — наружное ядро левой створки; *b* — внутреннее ядро той же створки; р. Булун (Рассоха); нижний аален (А. С. Дагис, 1962).
- Фиг. 2. *Trigonia* aff. *hemisphaerica* Lys. Стр. 92
 Наружное ядро правой створки; п-ов Кони; верхнеааленские — нижнеааленские отложения (Ю. М. Бычков, И. В. Полуботко, 1958).
- Фиг. 3. То же Стр. 92
a — внутреннее ядро раковины со стороны правой створки; *b* — вид того же ядра спереди; р. Вилига; верхнеааленские — нижнеааленские отложения (Ю. М. Бычков, И. В. Полуботко, 1958).

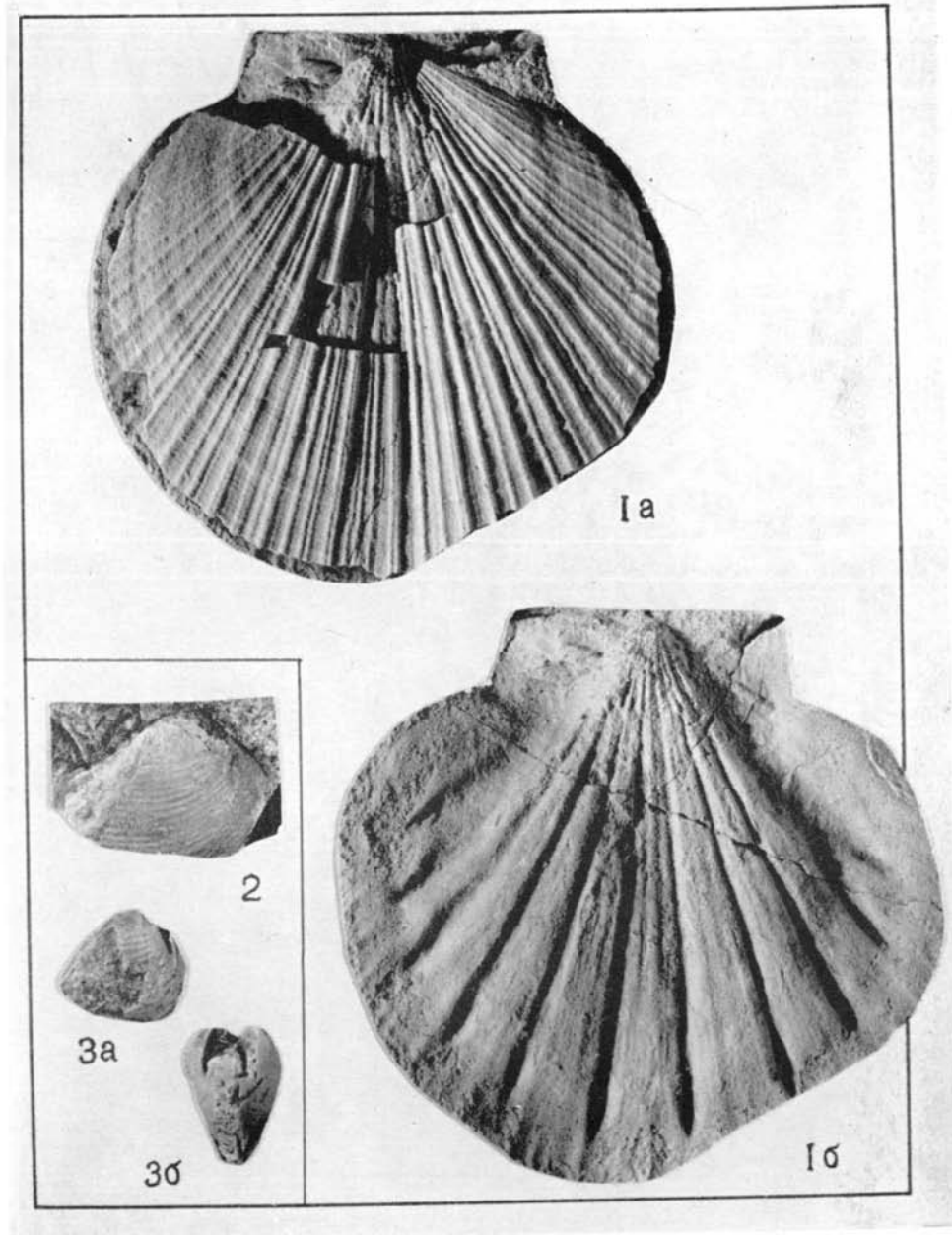


ТАБЛИЦА 67

Фиг. 1—6. *Pseudolioceras* aff. *m'clintocki* (Haugh.)

Стр. 123

1 — вид сбоку; 2a — вид сбоку; 2б — вид с наружной стороны;
 3a — вид сбоку (юная форма); 3б — вид с наружной стороны;
 4a — вид сбоку; 4б — вид со стороны устья; 5 — вид сбоку; 6 —
 вид сбоку. Междуречье Яны (Охотской) и Детрина; нижний аален
 (И. Н. Малиновский, 1965).

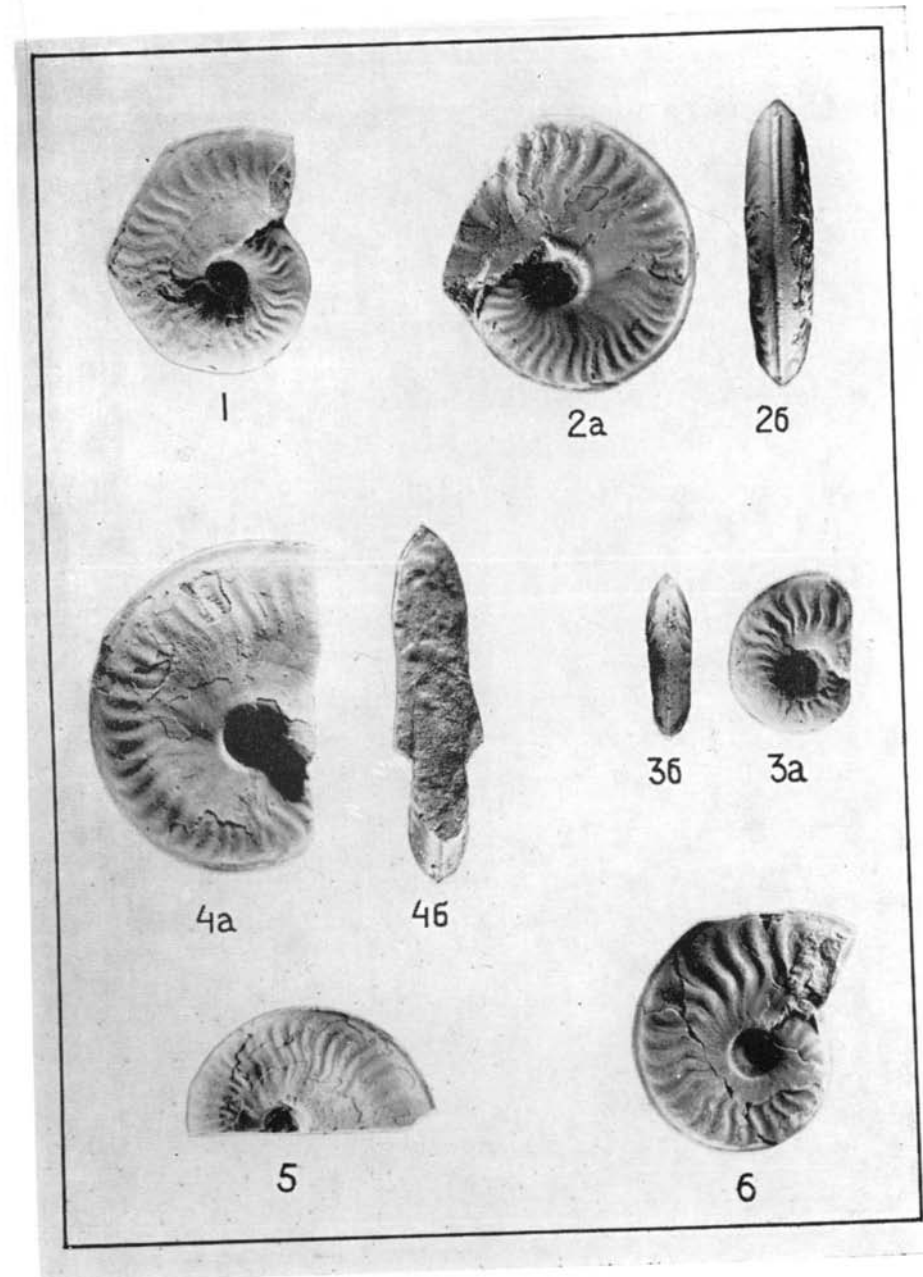


ТАБЛИЦА 68

- Фиг. 1. *Pseudolioceras beyrichi* (Schloenb.) Стр. 122
a — вид сбоку; *b* — вид с вентральной стороны; р. Малая Кутинская (бассейн р. Анадыря); нижний аален (Г. П. Терехова, 1958).
- Фиг. 2. *Pseudolioceras m'clintocki* (Haugh.) Стр. 123
a — вид сбоку; *b* — вид со стороны устья; *в* — вид с вентральной стороны. Междуречье Пенжины и Пальматкиной; нижний аален (И. М. Мигович, 1958).
- Фиг. 3. *Leioceras* sp. Стр. 124
a — вид сбоку; *b* — вид с вентральной стороны; р. Круглокаменная (бассейн р. Анадыря); ааленский ярус (Г. П. Терехова, 1966).

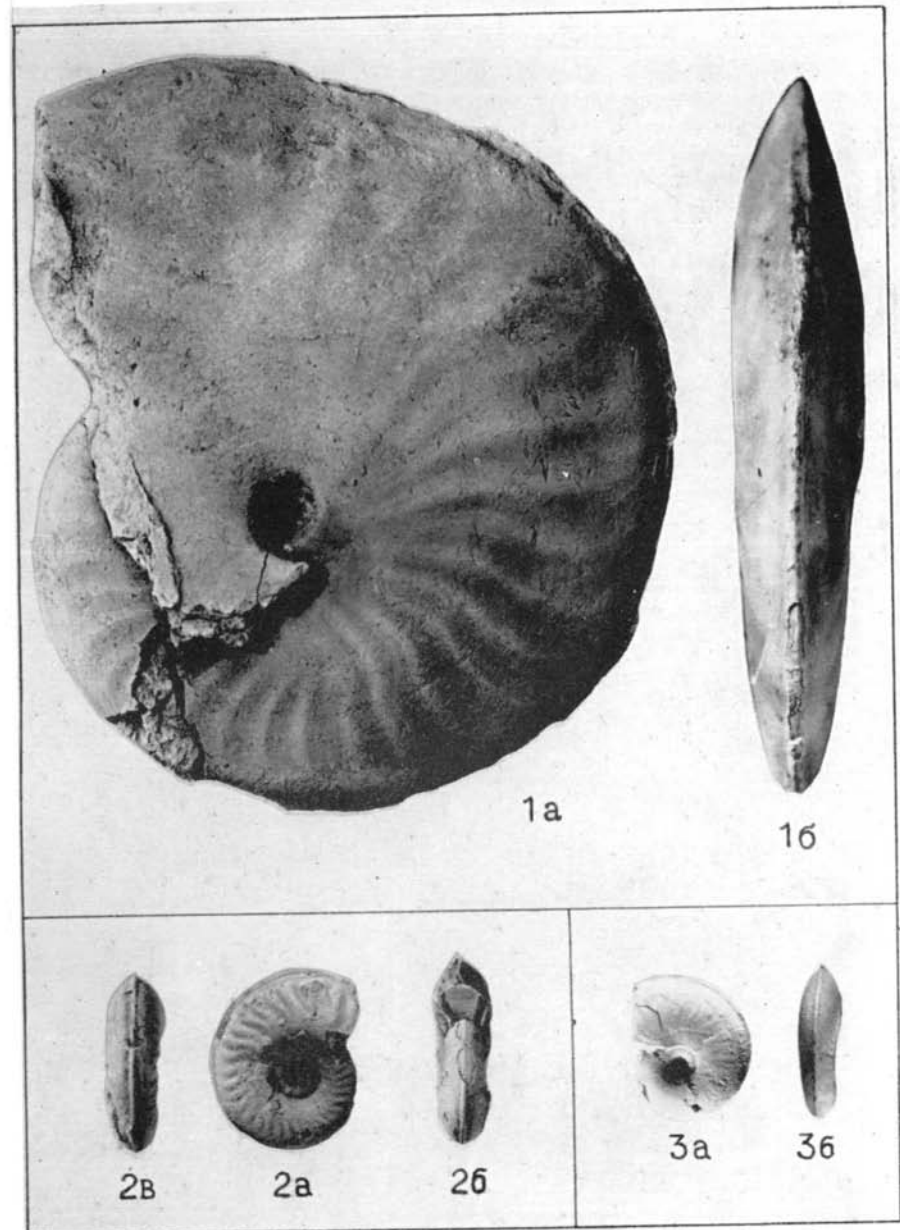


ТАБЛИЦА 69

Фиг. 1. *Pseudolioceras* cf. *bcyrichi* (Schloenb.) Стр. 123

a — вид сбоку; *b* — вид той же раковины с другой боковой стороны. Междуречье Пенжины и Пальматкиной; нижний аален (И. М. Мигович, 1958).

Фиг. 2. *Holcobelus* sp. Стр. 134

a — вид с брюшной стороны; *b* — вид сбоку; *в* — поперечное сечение; р. Булун (Рассоха) (бассейн р. Коркодона); ааленский ярус (И. В. Полуботко, 1963).

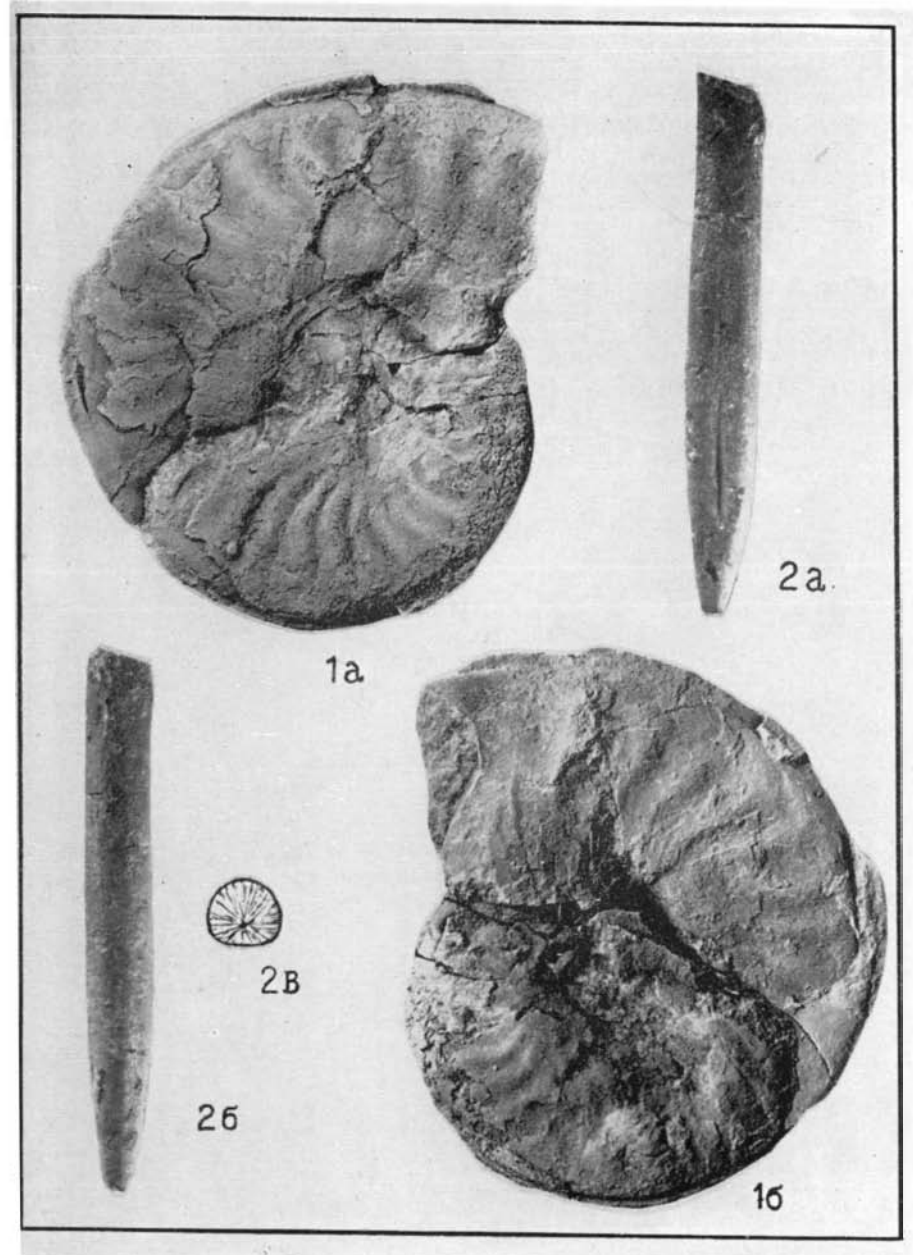


ТАБЛИЦА 70

Фиг. 1—4. *Arctotis sublaevis* Bodyl.

Стр. 44

1 — отпечаток левой створки молодого экземпляра; 2 — внутреннее ядро левой створки; 3 — отпечаток левой створки молодого экземпляра; 4 — внутреннее ядро левой створки. Верховье р. Левого Кедона (бассейн р. Омолона); верхняя часть байосского яруса (И. В. Полуботко, 1960).

Фиг. 5. *Retroceramus lucifer* Lucifer (Eichw.)

Стр. 69

а — наружное ядро левой створки; б — вид полной раковины спереди. Бассейн р. Седедемы (Алазейское плоскогорье); нижний байос (М. И. Терехов, 1960).

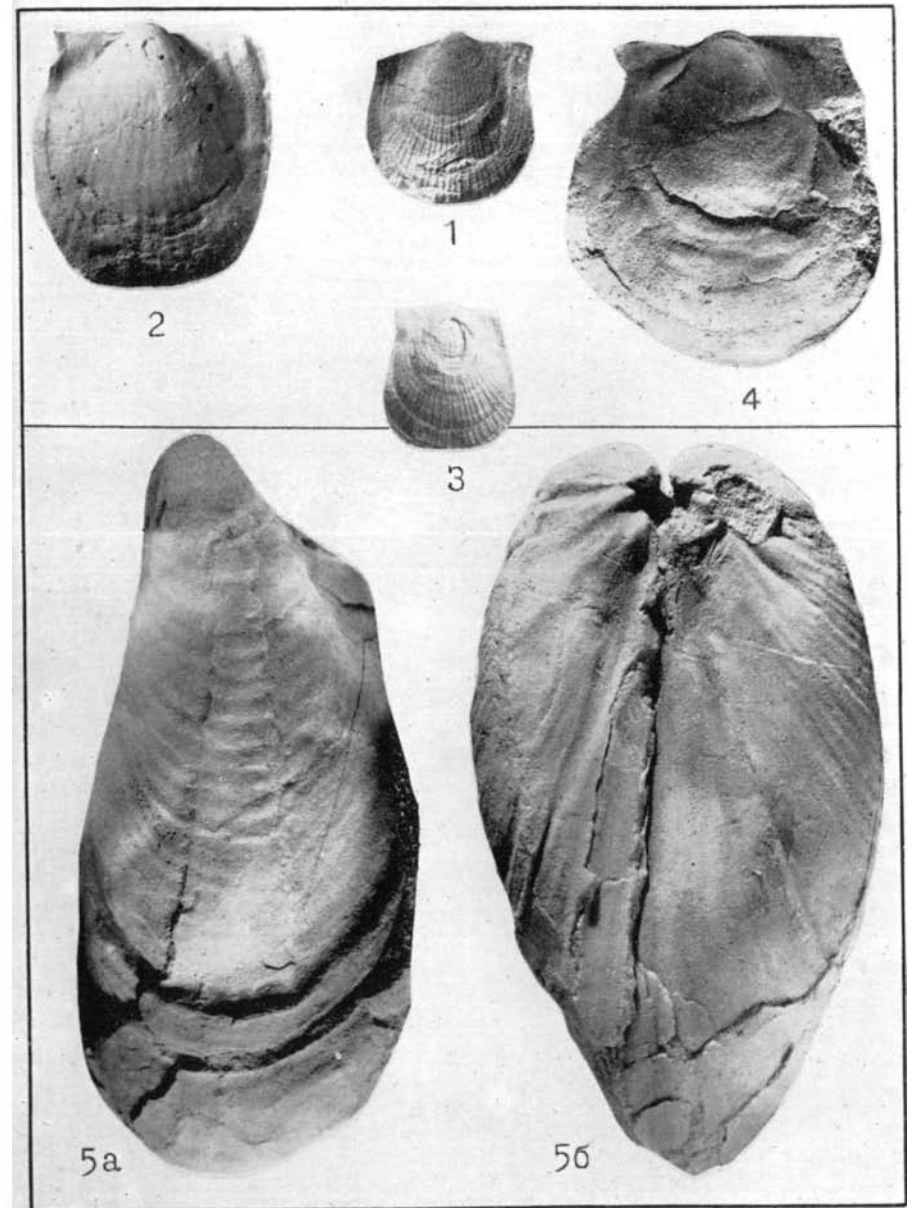


ТАБЛИЦА 71

Фиг. 1, 2. *Retroceramus lucifer lucifer* (Eichw.) Стр. 69
 1 — вид наружного ядра раковины со стороны правой створки;
 2 — связочная площадка правой створки; бассейн р. Седедемы
 (Алазейское плоскогорье); нижний байос (М. И. Терехов, 1960).

Фиг. 3. *Retroceramus lucifer omolonensis* Polub., subsp. nov. Стр. 69
 Голотип: а — внутреннее ядро правой створки с остатками призматического слоя; б — вид полного ядра раковины сзади; р. Левый Кедон в верхнем течении (бассейн р. Омолона); байосский ярус (И. В. Полуботко, 1960).

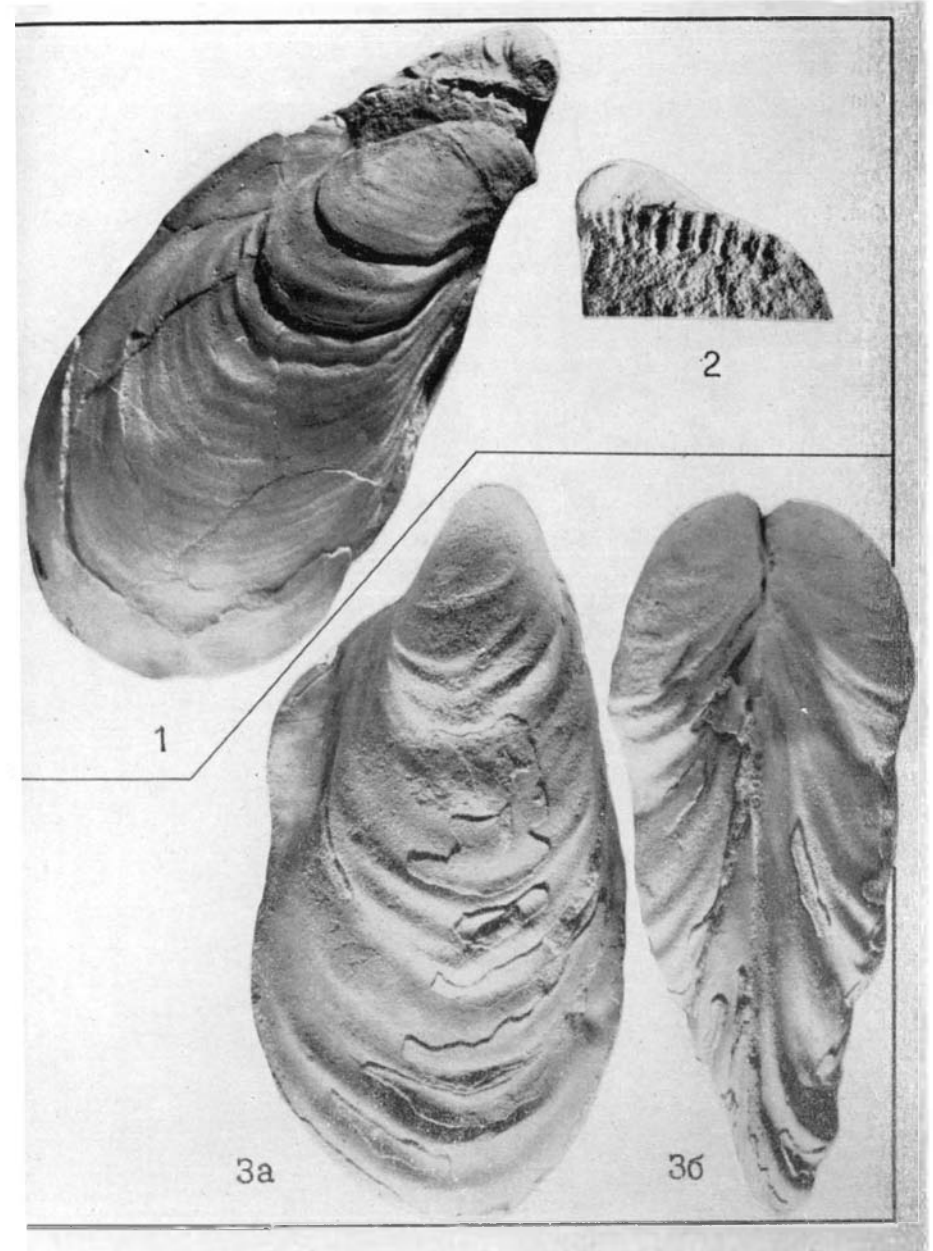


ТАБЛИЦА 72

- Фиг. 1. *Retroceramus lucifer lucifer* (Eichw.) Стр. 69
 Вид внутреннего ядра раковины со стороны левой створки; р. Левый Кедон в верхнем течении (бассейн р. Омолона); байосский ярус (И. В. Полуботко, 1960).
- Фиг. 2, 3. То же Стр. 69
 2 — наружное ядро правой створки; 3 — наружное ядро правой створки. Бассейн р. Седемы (Алазейское плоскогорье); нижний байос (М. И. Терехов, 1960).

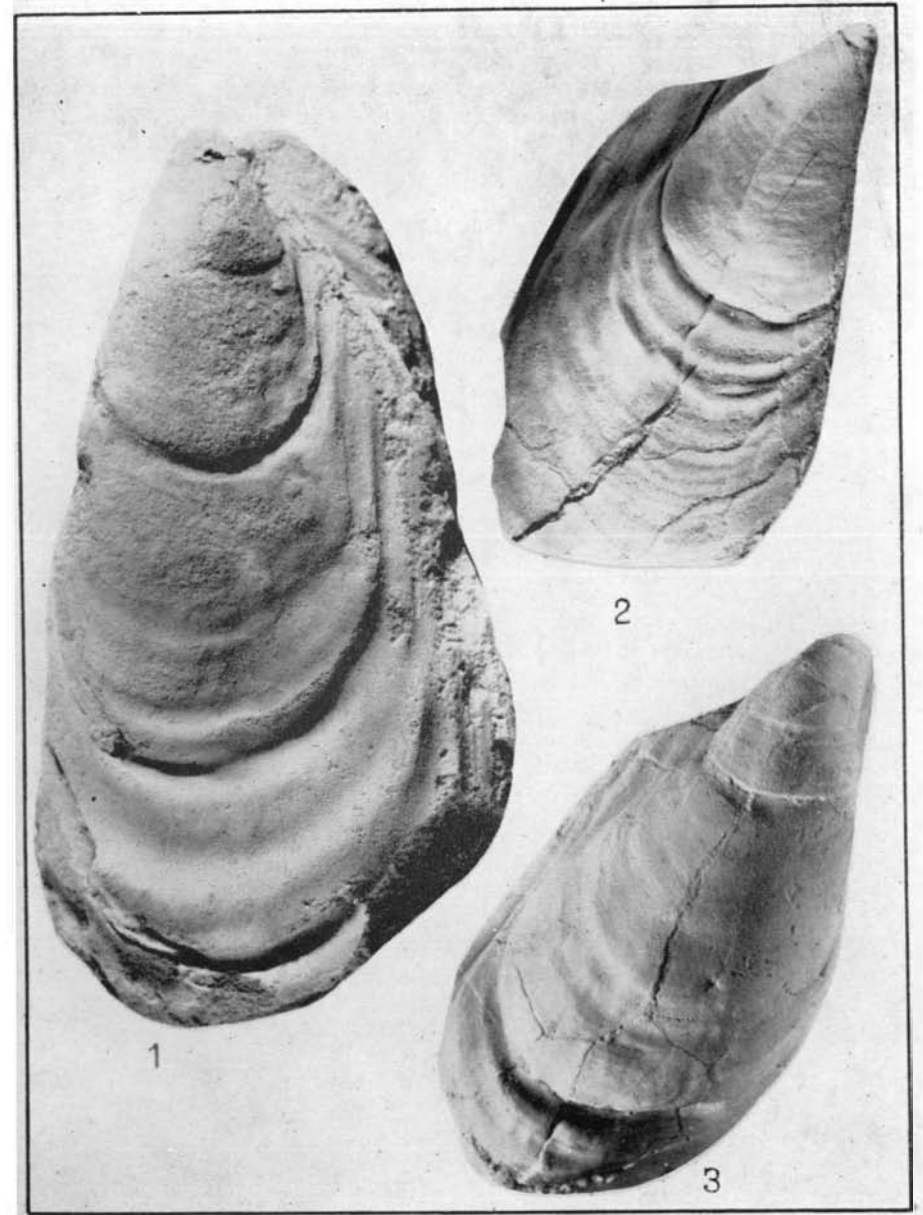


ТАБЛИЦА 73

Фиг. 1. *Retroceramus lucifer lucifer* (Eichw.) Стр. 69
а — внутреннее ядро правой створки; б — вид спереди; р. Левый
Кедон в верхнем течении (бассейн р. Омолона); байосский ярус
(И. В. Полуботко, 1960).

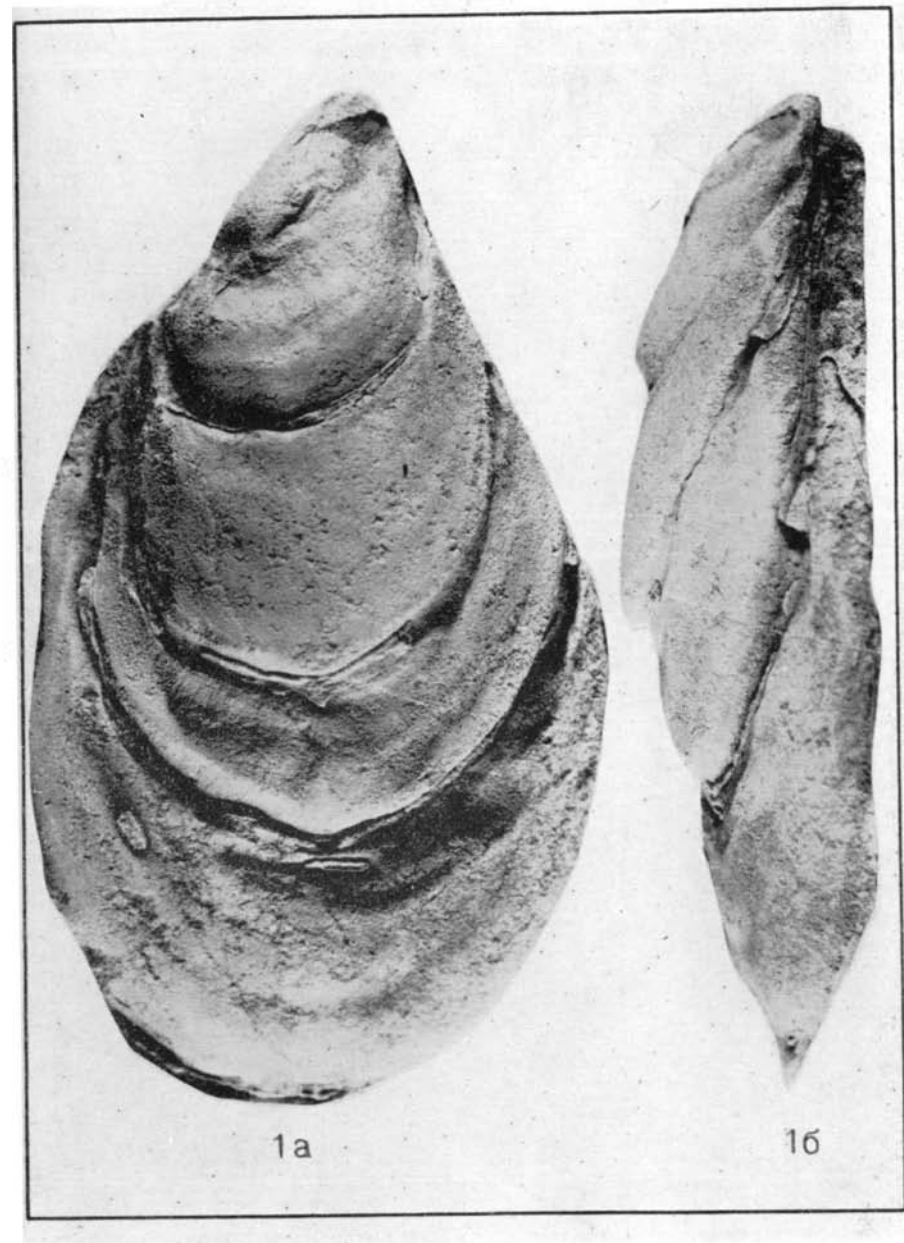


ТАБЛИЦА 74

- Фиг. 1. *Retroceramus lucifer omolonensis* Polub., subsp. nov. Стр. 69
 Внутреннее ядро правой створки; р. Левый Кедон в верхнем
 течении; байосский ярус (И. В. Полуботко, 1960).
- Фиг. 2. *Phacoides* sp. Стр. 93
 Внутреннее ядро правой створки; р. Левый Кедон в верхнем
 течении; байосский ярус (И. В. Полуботко, 1960).
- Фиг. 3. *Retroceramus elongatus* Kosch. Стр. 70
 Правая створка; р. Левый Кедон в верхнем течении; байосский
 ярус (И. В. Полуботко, 1960).

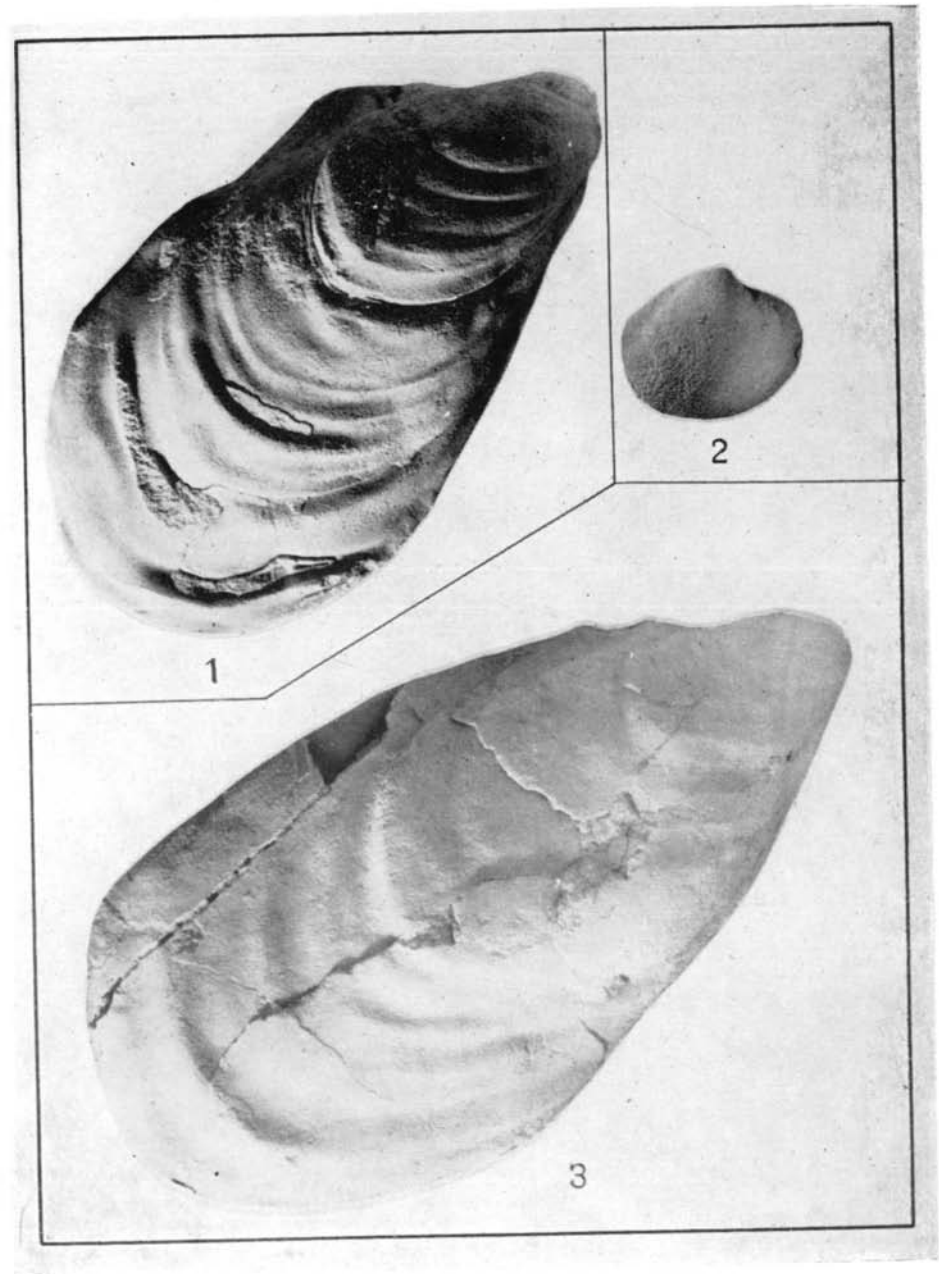


ТАБЛИЦА 75

Фиг. 1. *Retroceramus elongatus* Kosch.

Стр. 70

a — внутреннее ядро левой створки с остатками призматического слоя; *b* — вид створки сзади; р. Лезый Кедон в верхнем течении; байосский ярус (И. В. Полуботко, 1960).

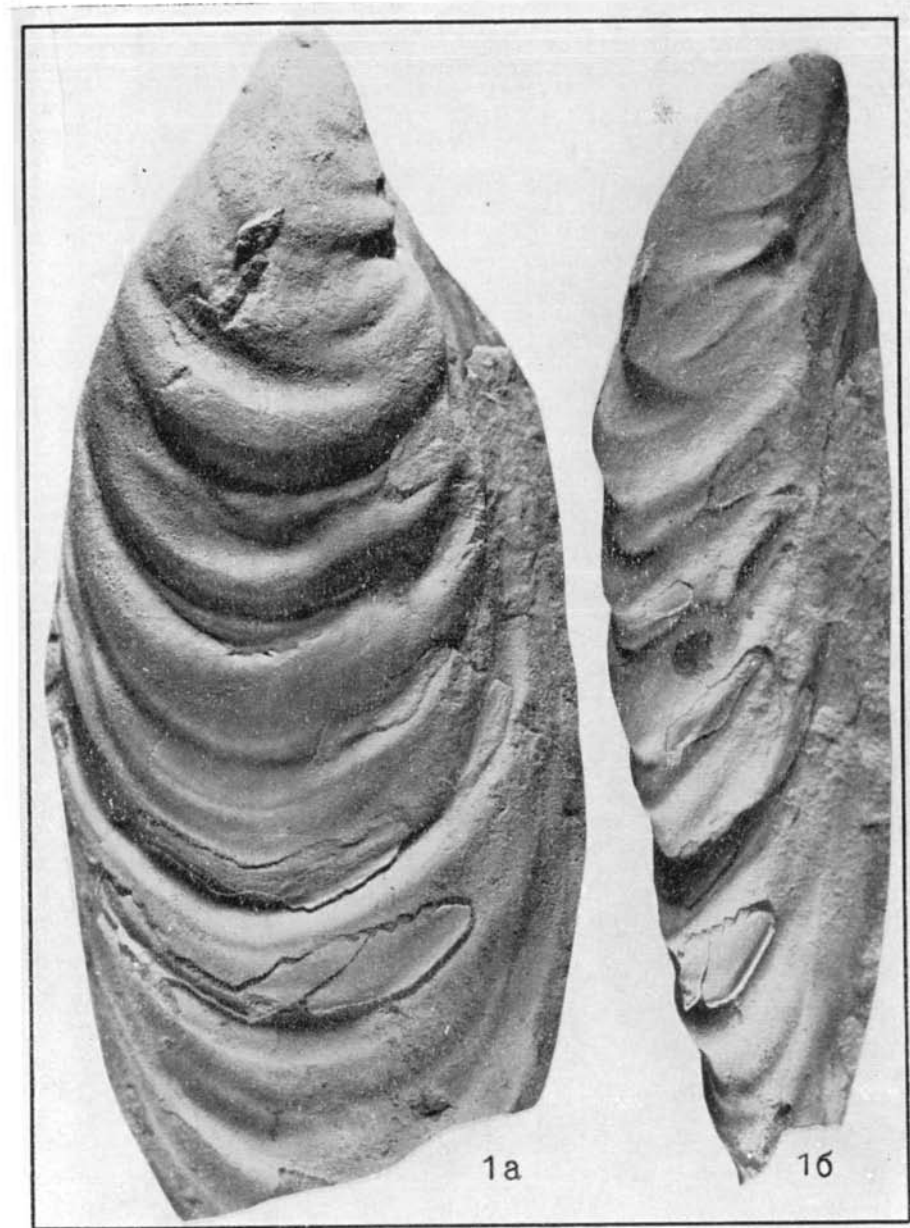


ТАБЛИЦА 76

Фиг. 1. *Retroceramus elongatus* Kosch. Стр. 70

Внутреннее ядро левой створки (деформированное). Бассейн верхнего течения р. Левого Кедона; верхняя часть байосского яруса (И. В. Полуботко, 1960).

Фиг. 2. *Retroceramus eximius* (Eichw.) Стр. 70

а — вид ядра раковины со стороны правой створки; б — вид ядра раковины с обломанными макушками сзади. Побережье Охотского моря в районе устья р. Туманы; байос-батские отложения (Ж. С. Кекелия, 1963).

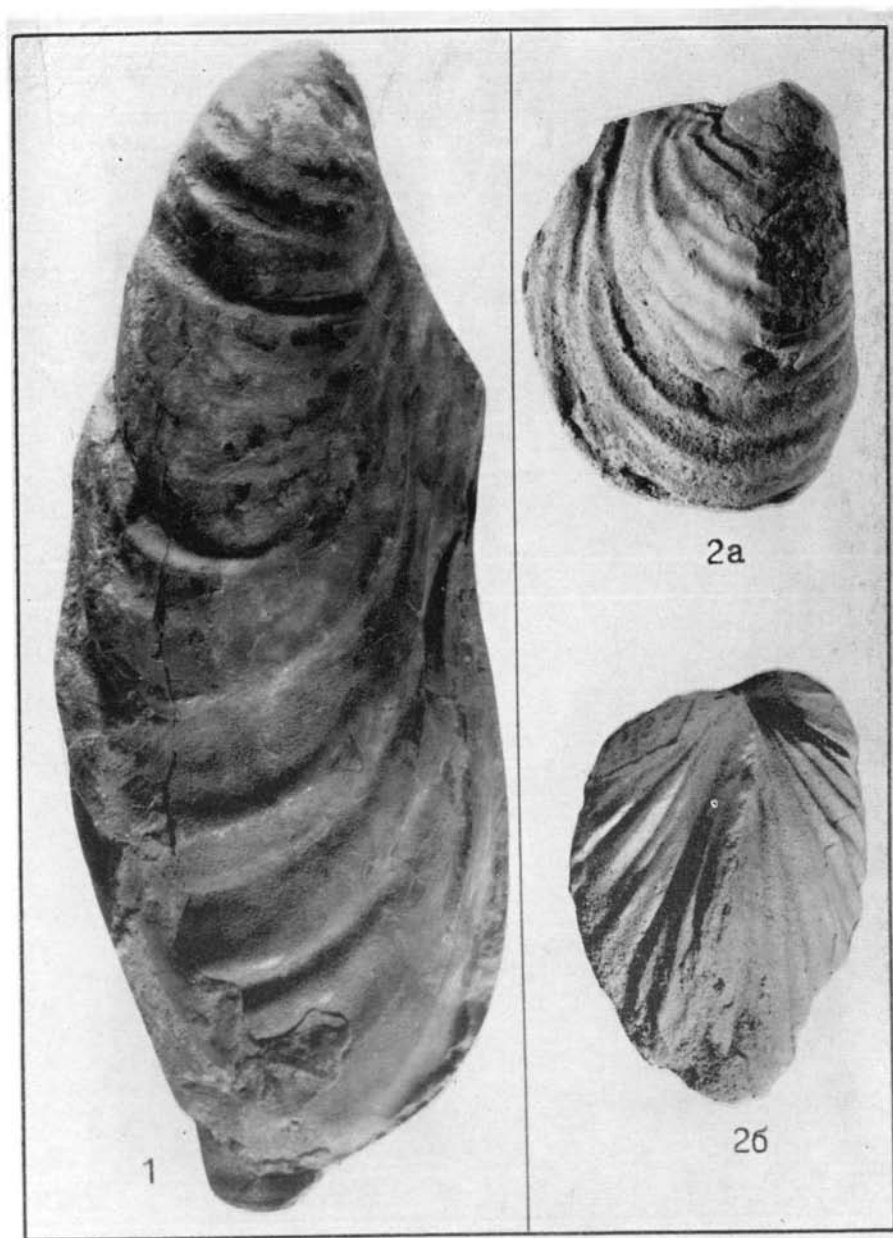


ТАБЛИЦА 77

Фиг. 1. *Retroceramus elongatus* Kosch.

Стр. 70

Вид сзади полного ядра экземпляра, изображенного на табл. 76.



ТАБЛИЦА 78

Фиг. 1, 2. *Retroceramus eximius* (Eichw.) Стр. 70

1 — левая створка; 2a — левая створка с обломанной макушкой;
2б — вид ядра той же раковины спереди. Побережье Охотского
моря в районе устья р. Туманы; байос-батские отложения
(Ж. С. Кекелия, 1963).

Фиг. 3. То же Стр. 70

Левая створка; бассейн р. Седедемы (Алазейское плоскогорье);
байосский ярус (М. И. Терехов, 1960).

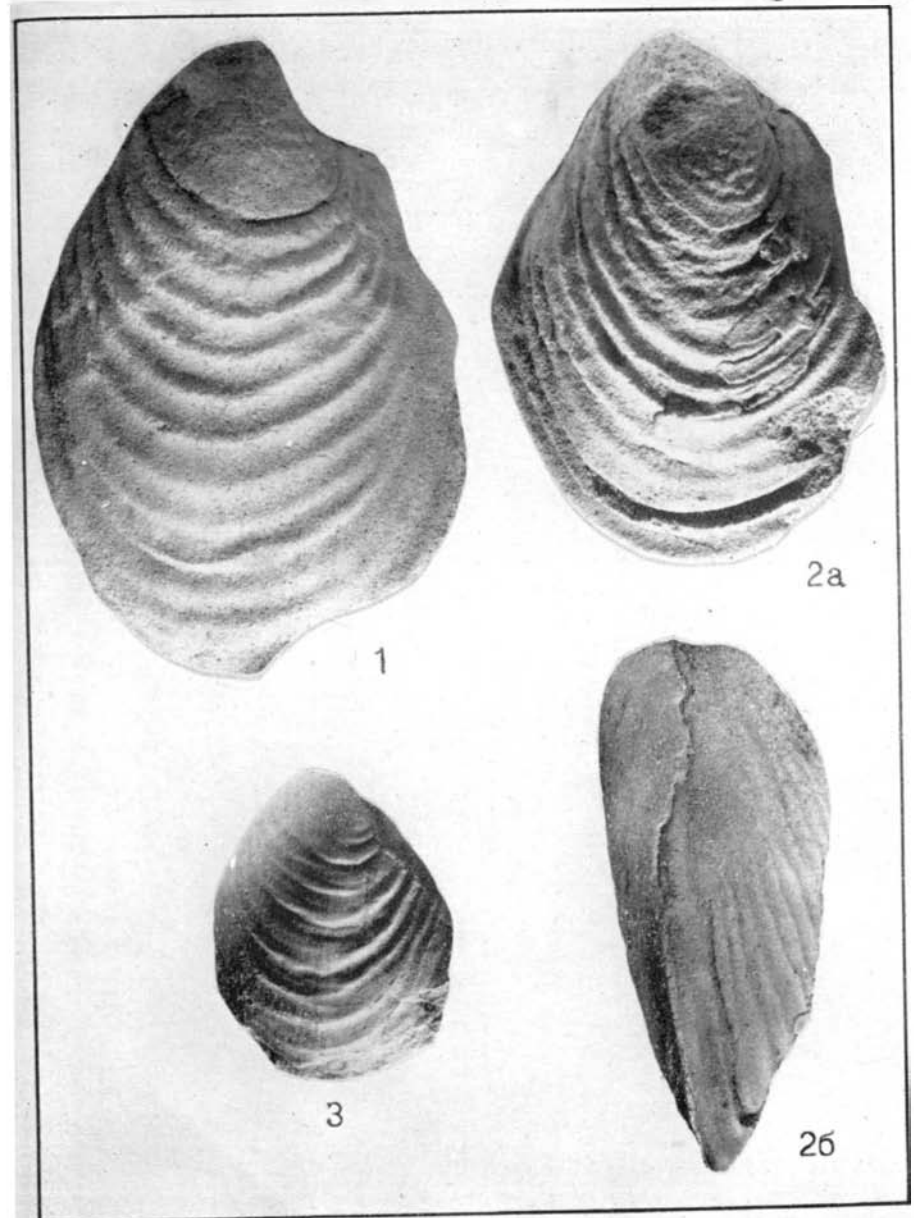


ТАБЛИЦА 79

Фиг. 1. *Bradfordia alaseica* Repin, sp. nov. Стр. 128

Голотип: *a* — вид сбоку; *b* — вид со стороны устья; *в* — лопастная линия при $D = 64$ мм, $V = 33$ мм, $\times 3$. Бассейн р. Седедемы (левобережье р. Колымы в нижнем течении); нижний байос (М. И. Терехов, 1960).

Фиг. 2, 3. *Arkelloceras* ? sp. Стр. 125

2 — вид сбоку; *3* — обломок боковой поверхности аммонита. Бассейн р. Седедемы; нижний байос (М. И. Терехов, 1960).

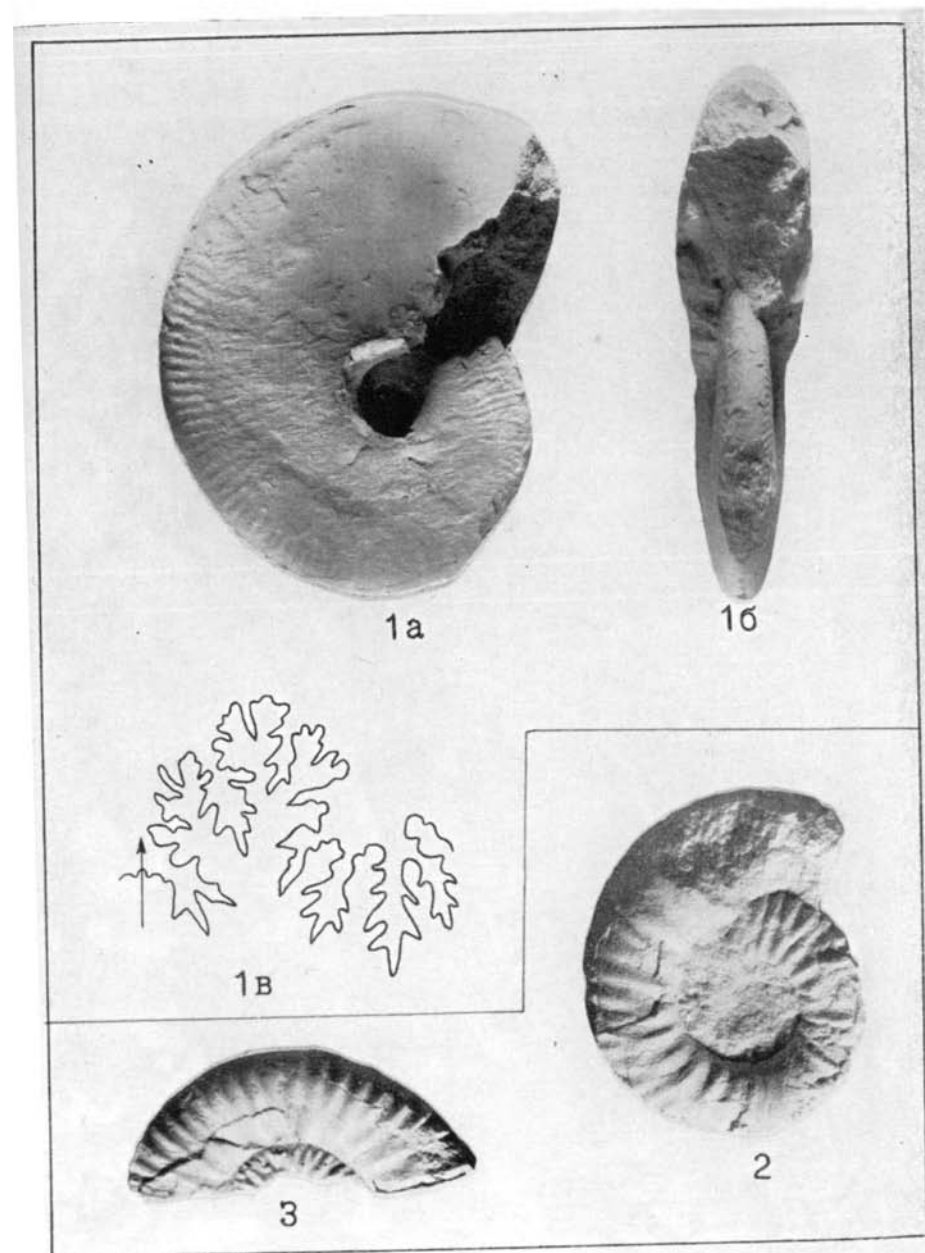


ТАБЛИЦА 80

Фиг. 1. *Arkelloceras* aff. *mclearnii* Freb.

Стр. 124

a — вид сбоку; *b* — вид со стороны устья; *в* — вид с вентральной стороны; р. Круглокаменная (бассейн р. Анадыря); нижний байос (Г. П. Терехова, 1966).

Фиг. 2, 3. *Chondroceras* cf. *marshalli* (McLearn)

Стр. 125

2 — юная форма, $\times 2,3$; *2a* — вид сбоку; *2б* — вид со стороны устья; *3a* — вид сбоку; *3б* — вид с вентральной стороны; р. Бачкина (бассейн р. Анадыря); нижний байос (Г. П. Терехова, 1965).

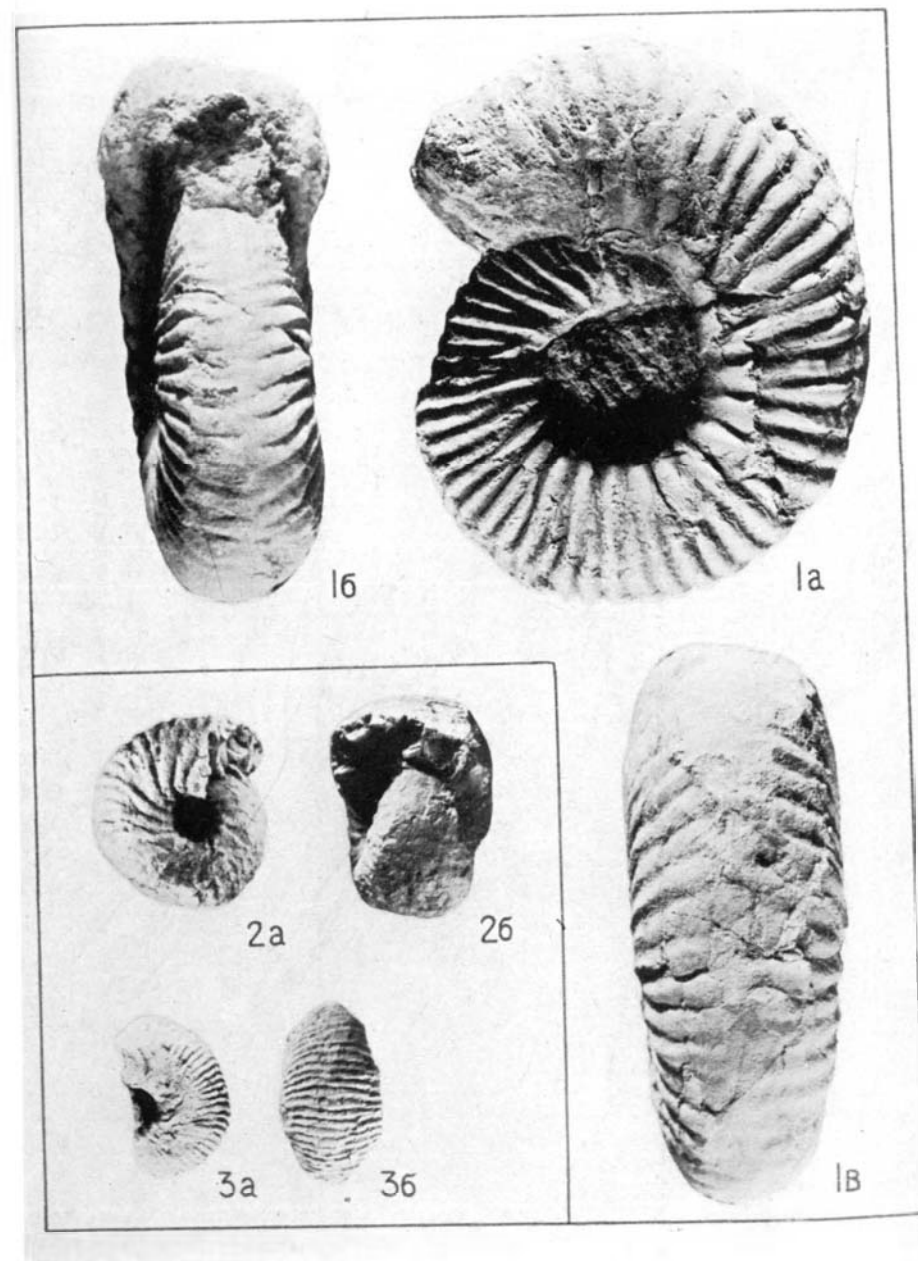


ТАБЛИЦА 81

- Фиг. 1. *Megateuthis elliptica* (Mill.) Стр. 133
a — вид с брюшной стороны; *b* — вид сбоку; *в* — поперечное сечение; р. Артык (бассейн р. Индигирки); байосский ярус (Ю. М. Бычков, 1960).
- Фиг. 2, 3. *Calliphylloceras* sp. Стр. 100
2 — вид сбоку; *3* — молодой экземпляр, вид сбоку; бассейн р. Седедемы (Алазейское плоскогорье); байосский ярус (М. И. Терехов, 1960).
- Фиг. 4. *Holcophylloceras* cf. *costisparsum* Imlay Стр. 101
 Вид сбоку; Алазейское плоскогорье; байосский ярус (М. И. Терехов, 1960).

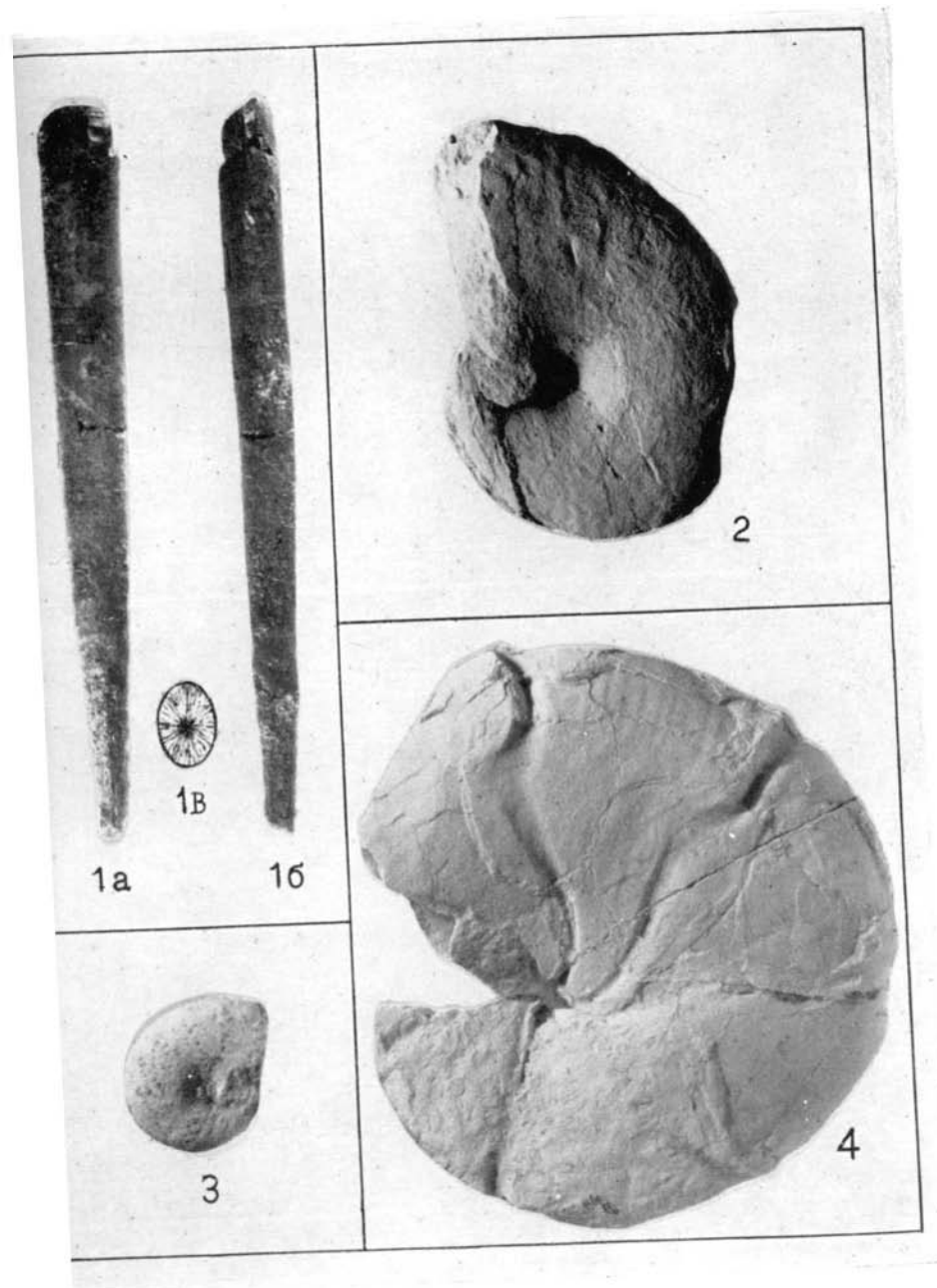


ТАБЛИЦА 82

- Фиг. 1. *Arctotis cf. lenaensis* (Lah.) Стр. 44
Ядро левой створки (несколько деформированное); бассейн верхнего течения р. Русской (Коркодонской); батский ярус (И. В. Полуботко, 1960).
- Фиг. 2. *Retroceramus kystatymensis* Kosch. Стр. 71
Правая створка, $\times 0,6$; р. Джугаджак (бассейн р. Коркодона); батский ярус (И. В. Полуботко, 1963).

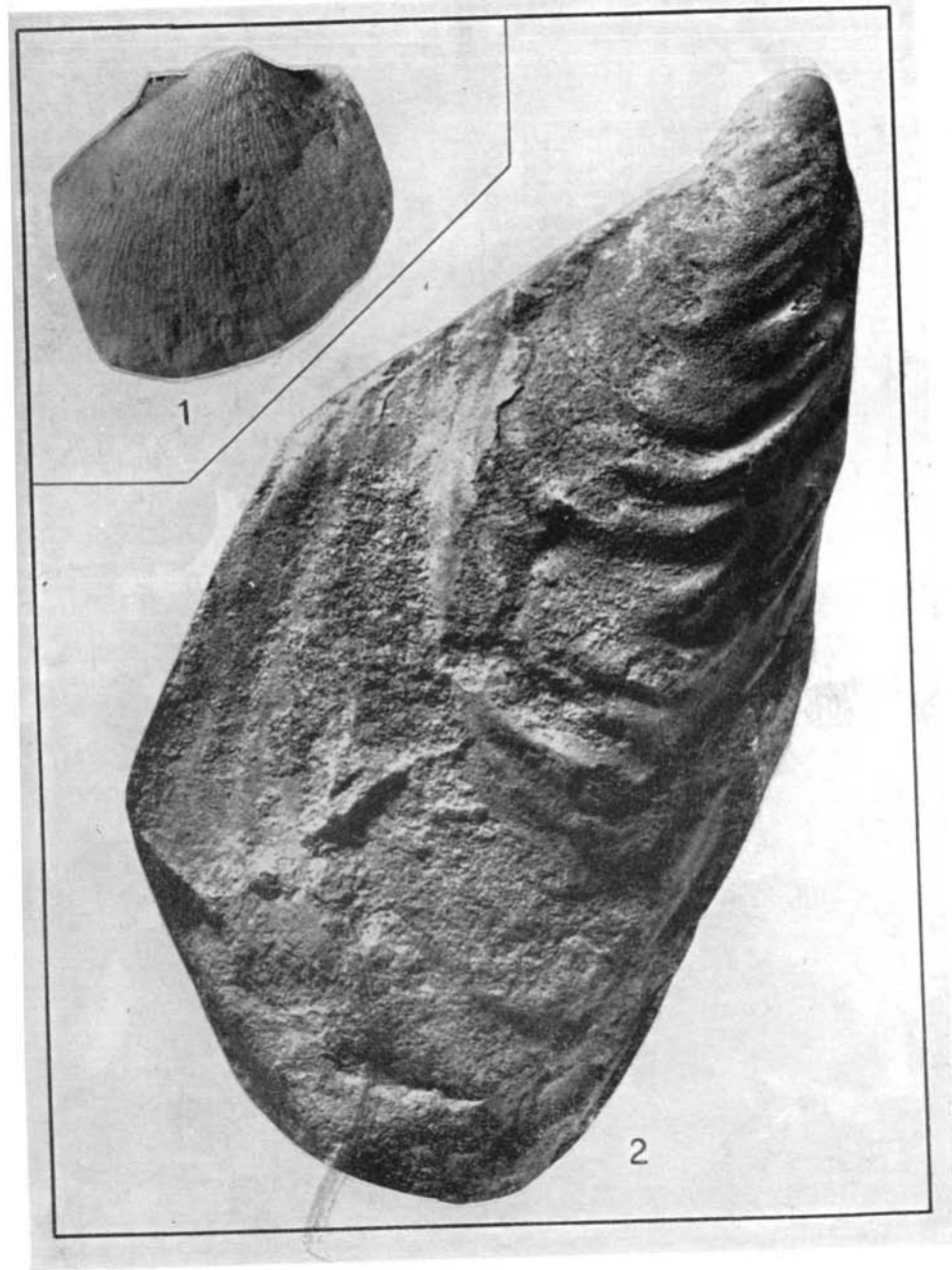


ТАБЛИЦА 83

- Фиг. 1. *Retroceramus kystatymensis* Kosch. Стр. 71
Обломок левой створки; бассейн р. Инн (северо-западное побережье Охотского моря); батский ярус (И. М. Сперанская, 1959).
- Фиг. 2, 3. *Samptonectes* sp. Стр. 84
2 — правая, более плоская створка; 3а — левая створка с обломанным передним ушком; 3б — правая створка того же экземпляра; бассейн верхнего течения р. Вилиги; верхний бат (Б. А. Снятков, 1958).

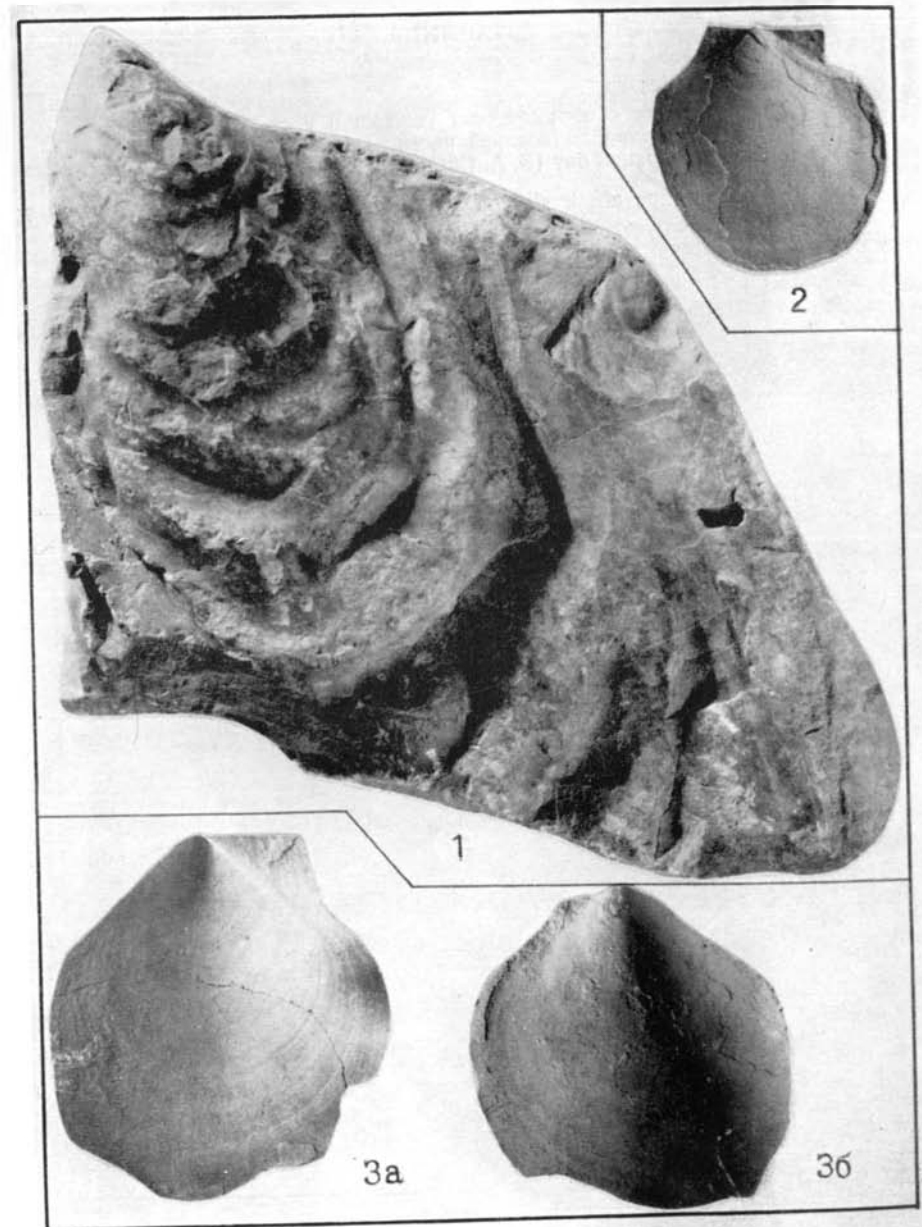


ТАБЛИЦА 84

Фиг. 1. *Camptonectes* sp.

Стр. 84

Левая створка с обломанными ушками и с сохранившейся сетчатой скульптурой в верхней части. Бассейн верхнего течения р. Вилиги; верхний бат (Б. А. Снятков, 1958).

Фиг. 2. *Retroceramus* aff. *kustatymensis* Kosch.

Стр. 72

Внутреннее ядро левой створки; бассейн верхнего течения р. Гижиги; батский ярус (М. И. Терехов, 1962).

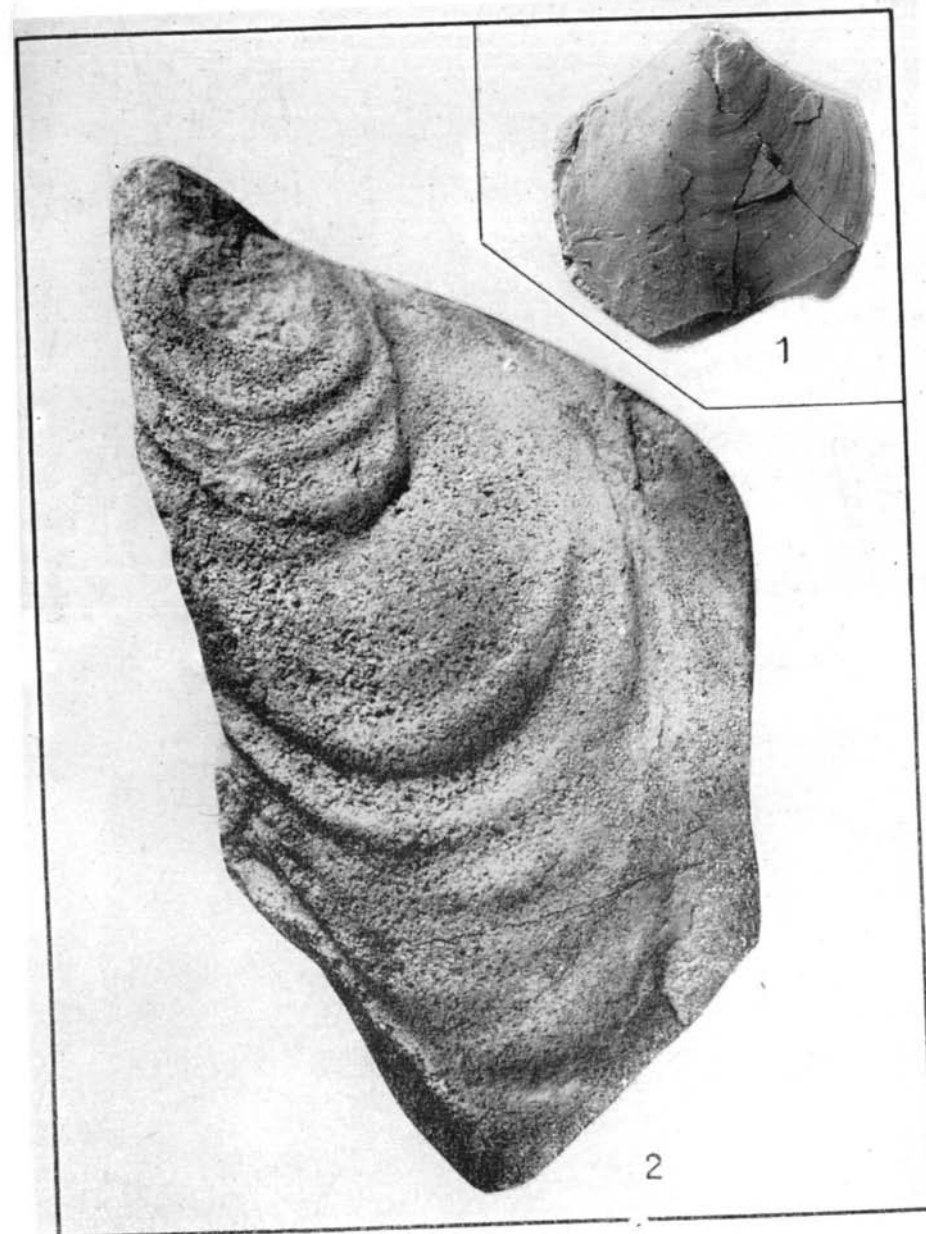


ТАБЛИЦА 85

- Фиг. 1. *Retroceramus porrectus* (Eichw.) Стр. 72
Левая створка с обломанной макушкой; бассейн верхнего течения
р. Гижиги; батский ярус (В. М. Демьянов, 1962).
- Фиг. 2. То же Стр. 72
Правая створка; бассейн р. Армани; батский ярус (В. В. Зakan-
дырин, 1960).

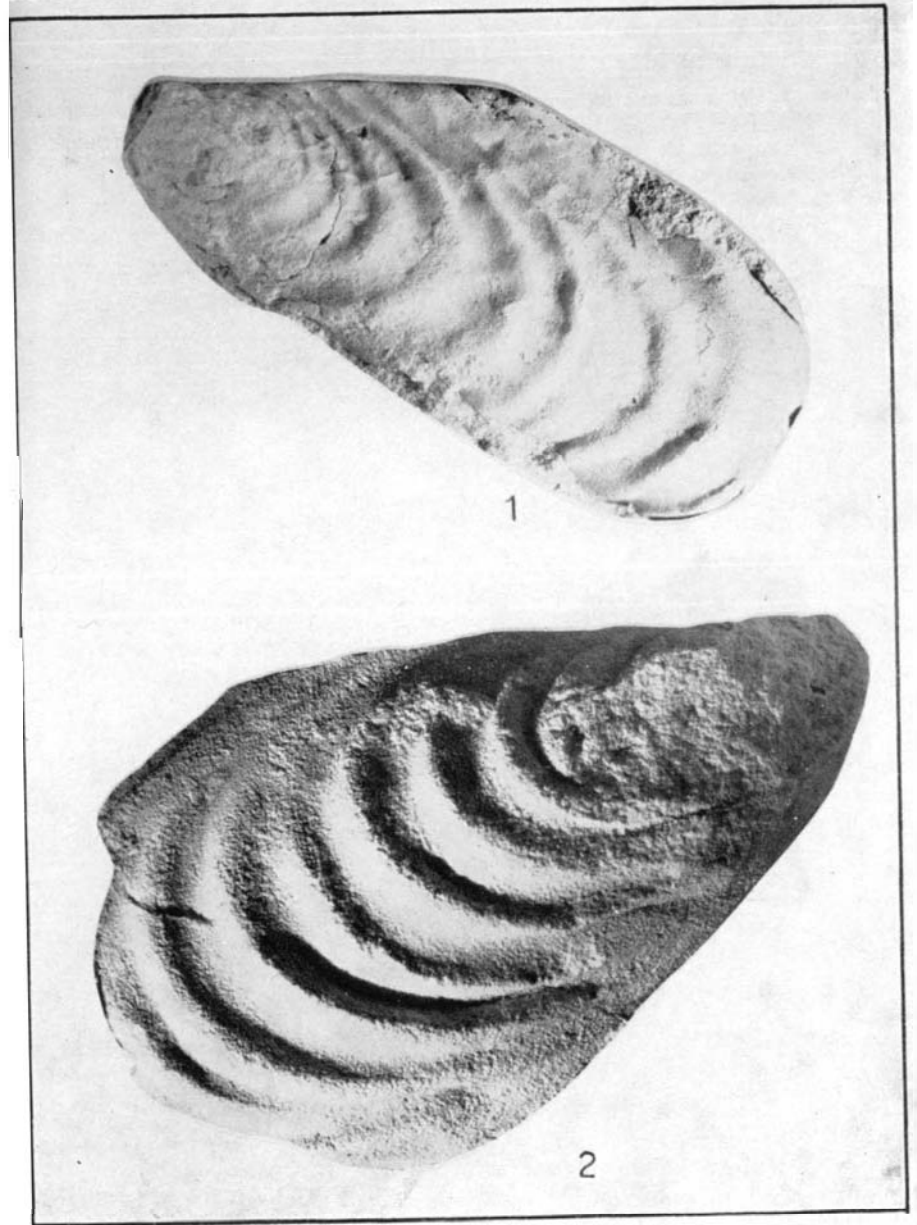


ТАБЛИЦА 86

Фиг. 1. *Retroceramus tongusensis* (Lah.)

Стр. 77

Левая створка, $\times 0,7$; р. Татынгычан (бассейн р. Олы); батский ярус (И. В. Полуботко, 1961).

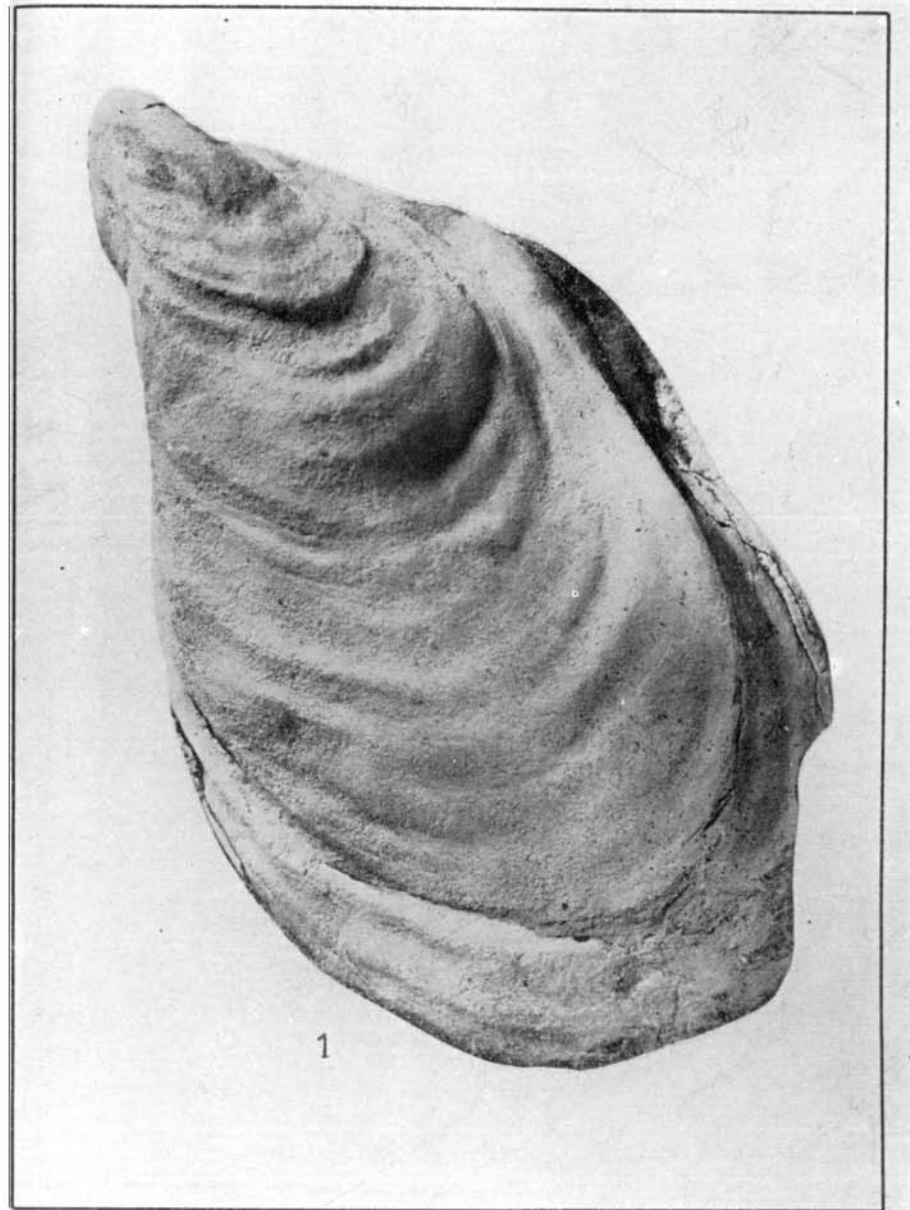


ТАБЛИЦА 87

Фиг. 1, 2. *Retroceramus retrorsus* (Keys.)

Стр. 72

1а — правая створка с обломанным крылом; 1б — вид полного ядра той же раковины сзади; 2 — правая створка молодого экземпляра; р. Татынгычан (бассейн р. Олы); батский ярус (И. В. Полуботко, 1961).

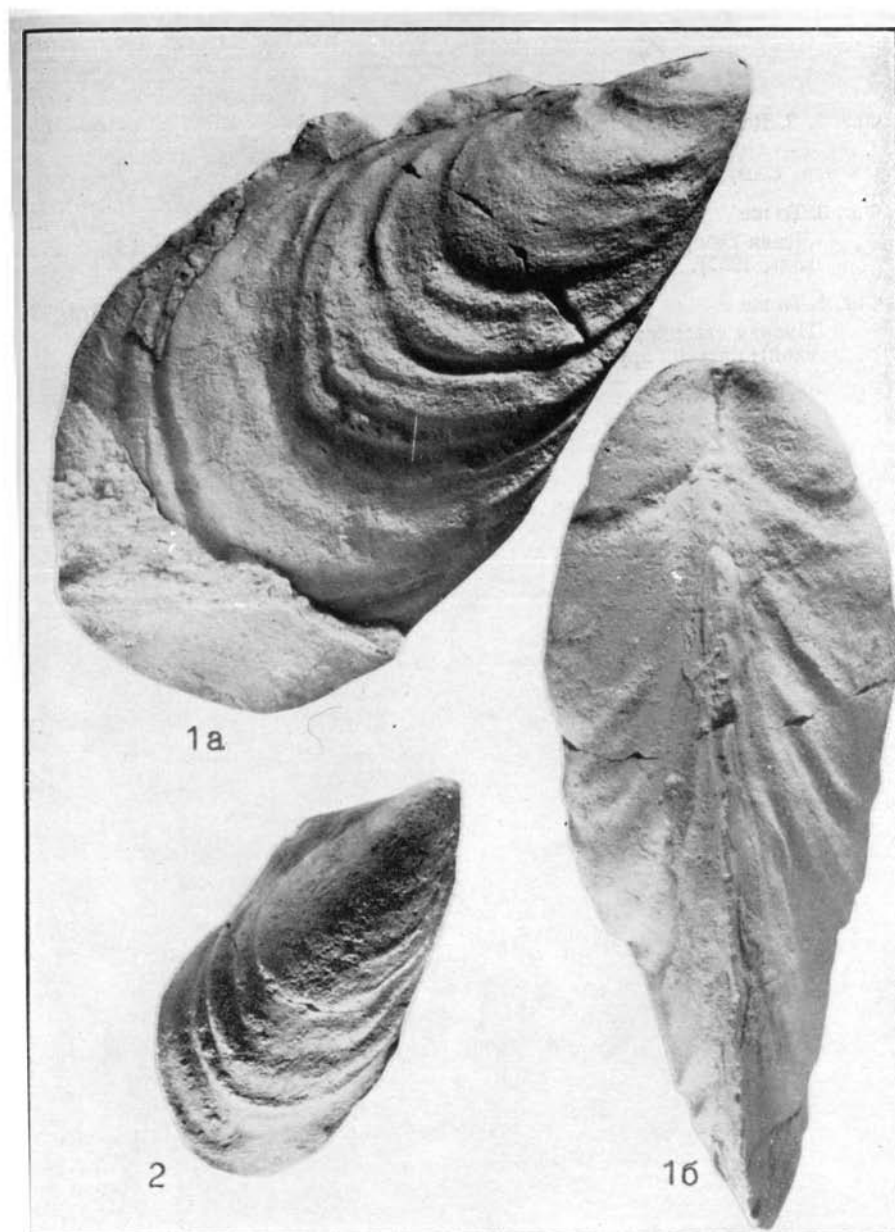


ТАБЛИЦА 88

- Фиг. 1, 2. *Retroceramus retrorsus* (Keys.) Стр. 72
 1 — левая створка; 2 — левая створка; р. Татынгычан (бассейн
 р. Олы); батский ярус (И. В. Полуботко, 1961).
- Фиг. 3. То же Стр. 72
 Левая створка; бассейн р. Бол. Анюя; батский ярус (Ю. М. Дов-
 галь, 1960).
- Фиг. 4. То же Стр. 72
 Правая створка; бассейн верхнего течения р. Русской (Коркдон-
 ской); батский ярус (И. В. Полуботко, 1960).

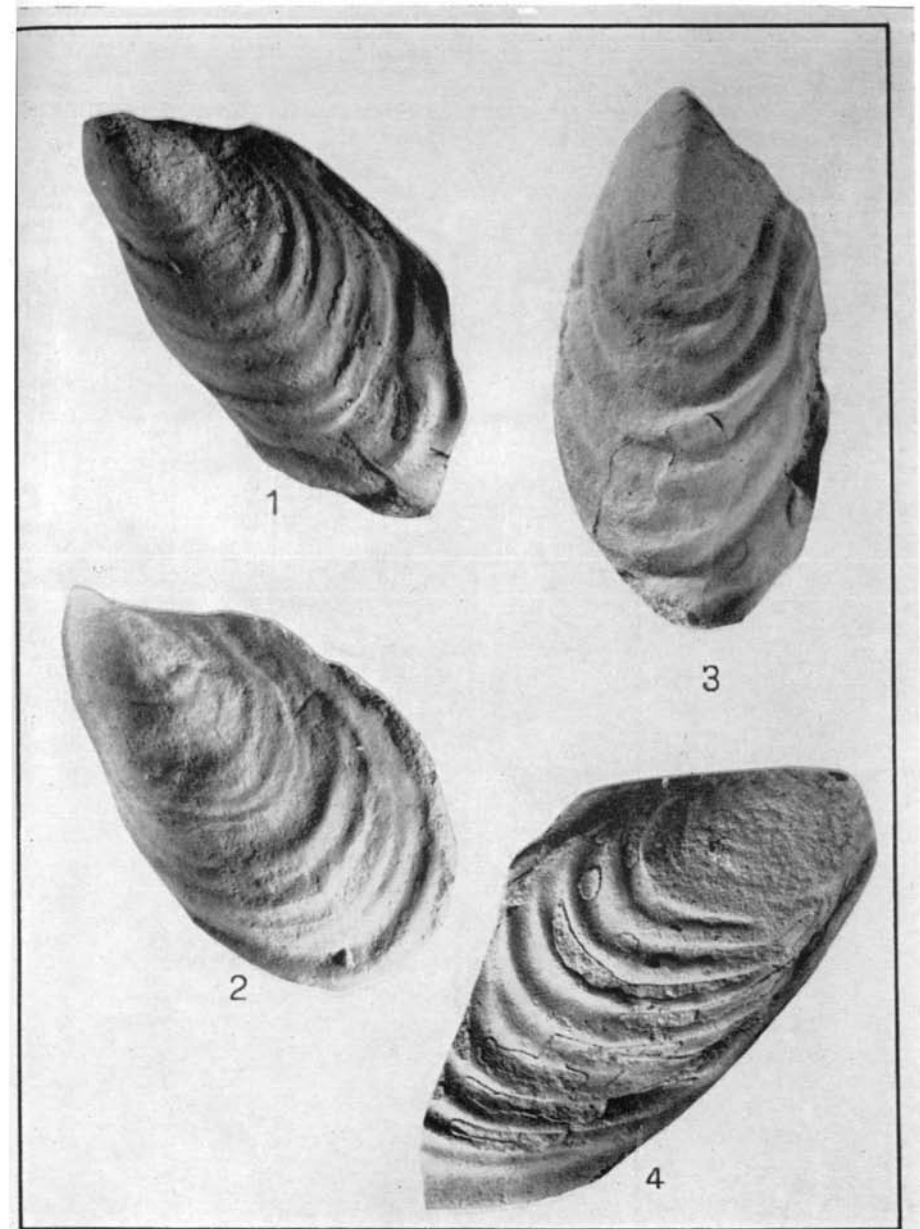


ТАБЛИЦА 89

- Фиг. 1. *Retroceramus tuchkovi* Polub., sp. nov. Стр. 74
 Голотип: правая створка; бассейн верхнего течения р. Гижиги;
 верхнебатские — нижнекелловейские отложения (В. М. Демьянов,
 1962).
- Фиг. 2. То же Стр. 74
 Правая створка; левобережье р. Бол. Анюя в верхнем течении;
 нижний келловей (Л. Ф. Головач, 1963).
- Фиг. 3. То же Стр. 74
 Левая створка; левобережье р. Колымы в среднем течении; верхнебатские — нижнекелловейские отложения (П. П. Сыркин, 1963).

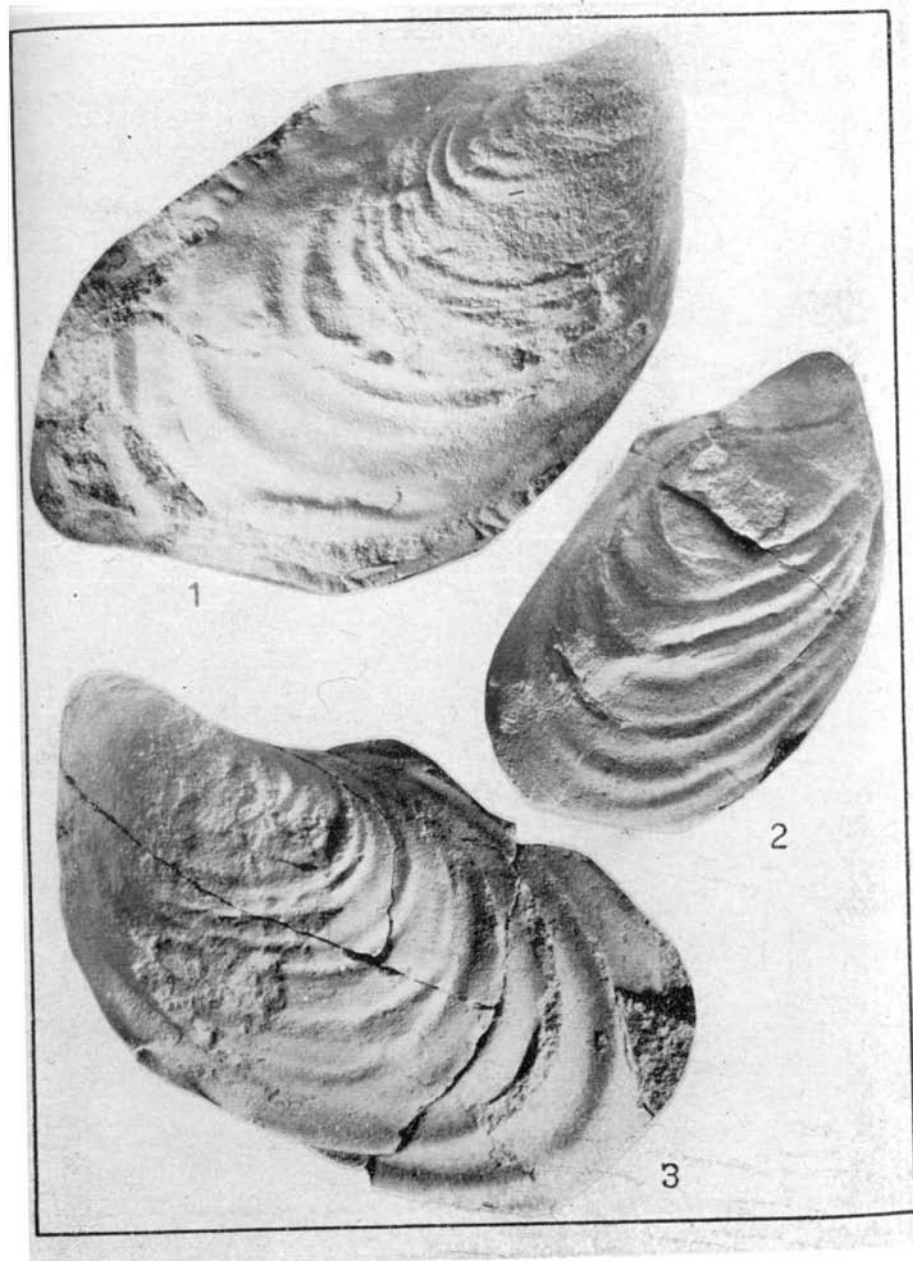


ТАБЛИЦА 90

- Фиг. 1. *Retroceramus bulunensis* Kosch. Стр. 75
Левая створка молодого экземпляра. Правобережье р. Бол. Анюя
в среднем течении; нижний келловей (А. И. Афицкий, 1961).
- Фиг. 2. То же Стр. 75
Правая створка, $\times 0,9$; бассейн верхнего течения р. Вилги;
верхний бат (Б. А. Снятков, 1958).

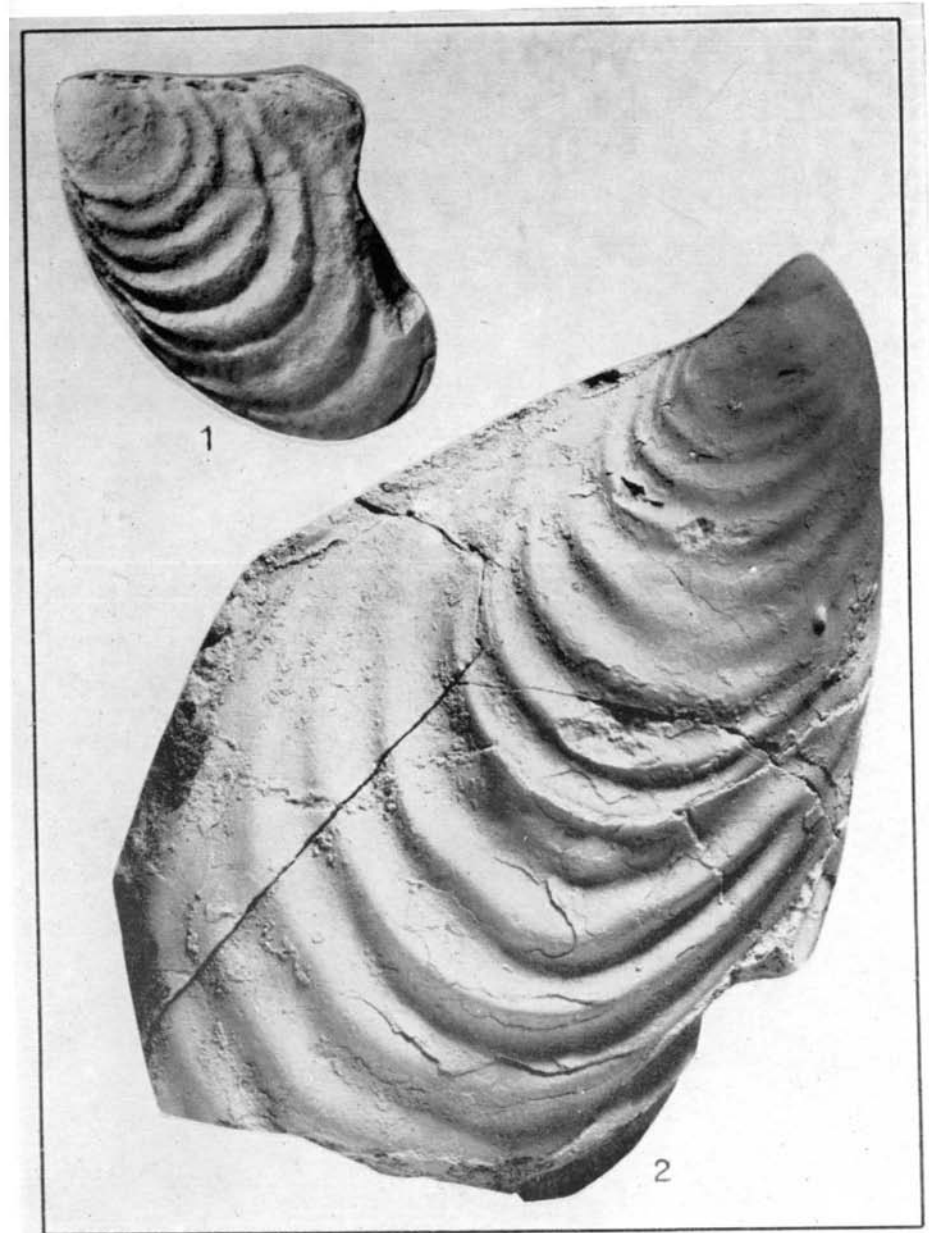


ТАБЛИЦА 91

Фиг. 1. *Retroceramus bulunensis* Kosch.

Стр. 75

Вид ядра раковины с раскрытыми створками со стороны левой створки, $\times 0,9$; бассейн верхнего течения р. Вилиги; верхний бат (Л. В. Иевлев, 1962).

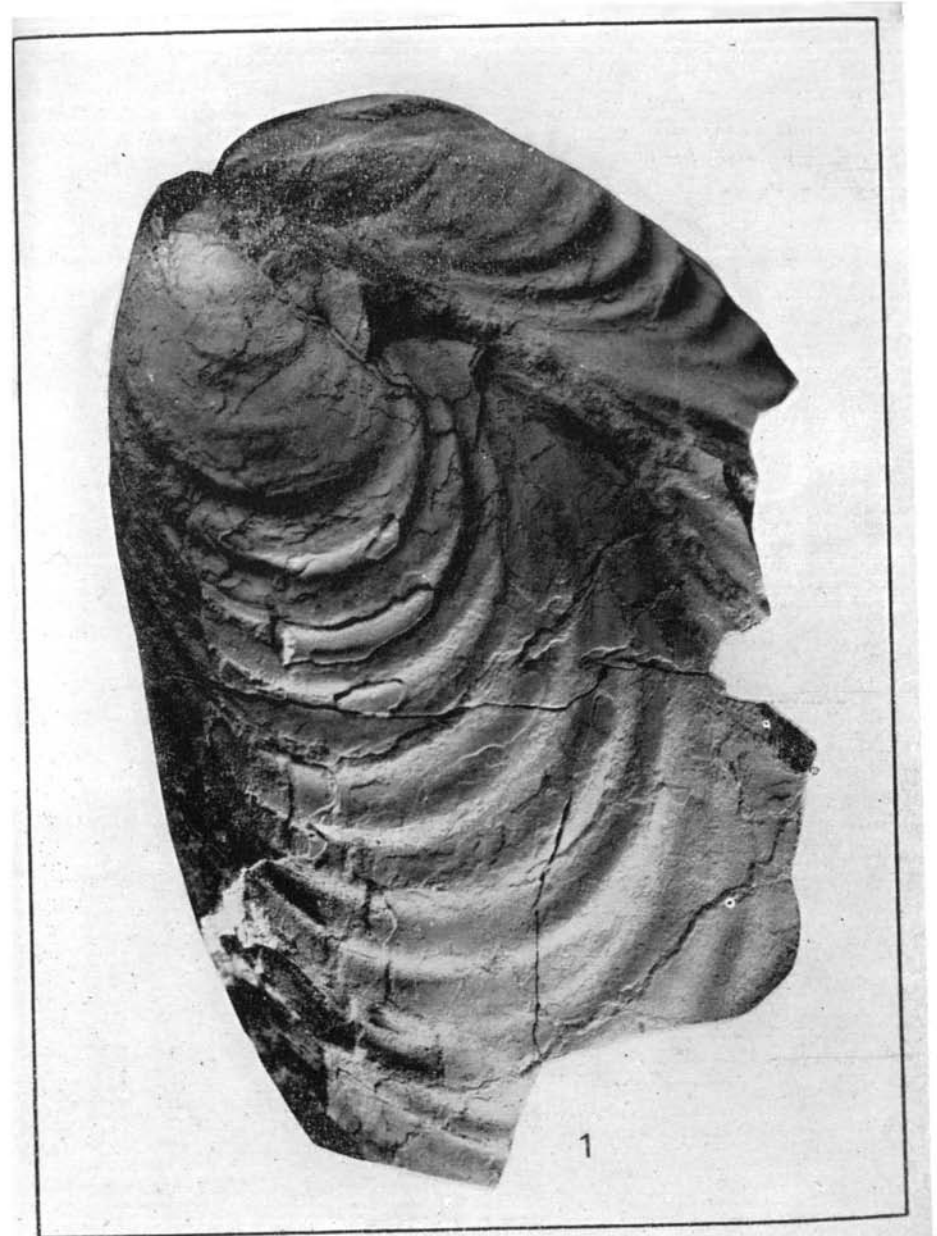


ТАБЛИЦА 92

Фиг. 1. *Retroceramus vagt* Kosch. Стр. 75
Правая створка, $\times 0,8$; бассейн верхнего течения р. Гижиги; верхнебабатские — нижнекелловейские отложения (М. И. Терехов, 1962).

Фиг. 2. То же Стр. 75
Правая створка молодого экземпляра; левобережье р. Бол. Анюя в верхнем течении; нижний келловей (Л. Ф. Головач, 1963).

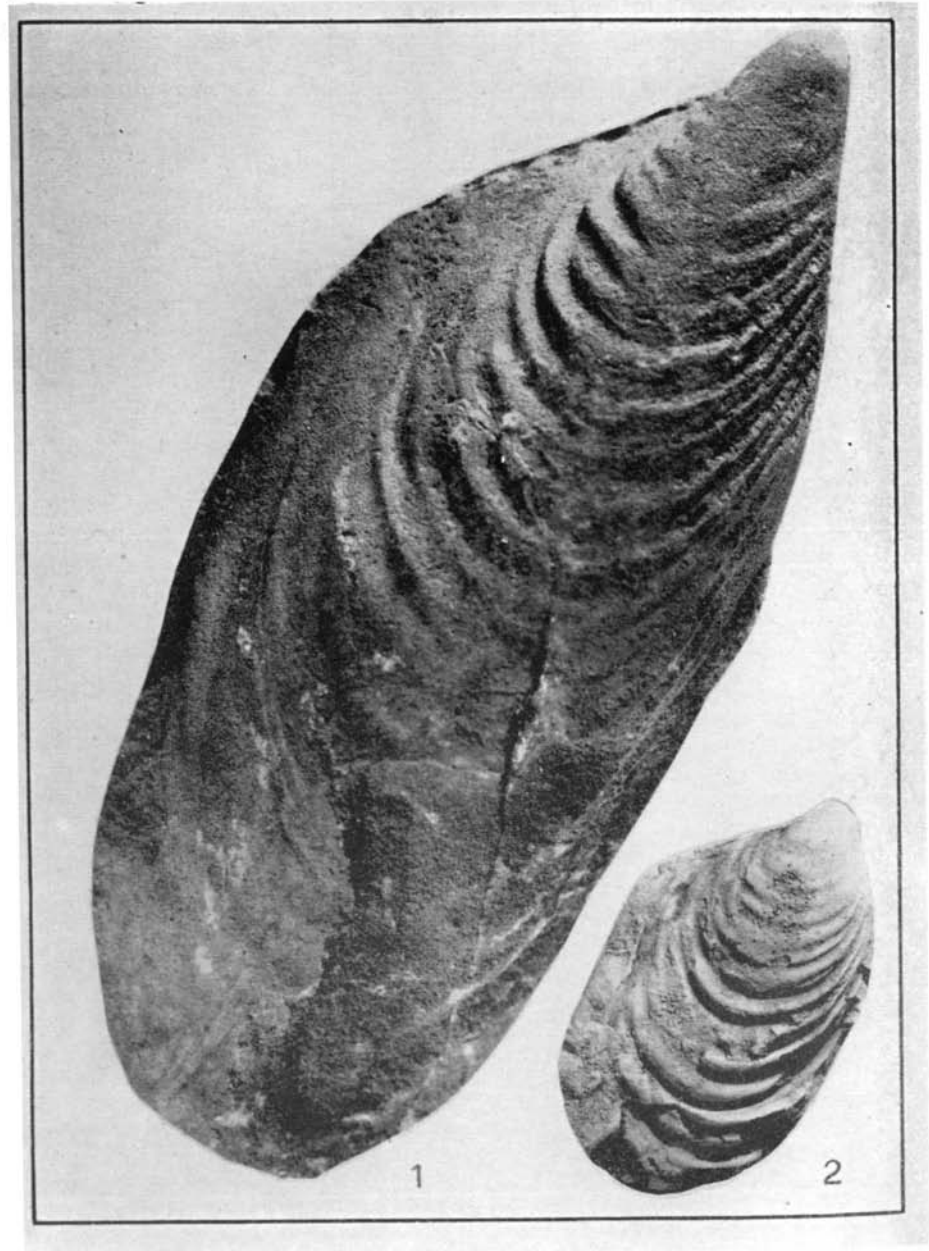


ТАБЛИЦА 93

Фиг. 1. *Retroceramus vagt* Kosch. Стр. 75
Вид сзади экземпляра, изображенного на табл. 92, фиг. 1, $\times 0,8$.

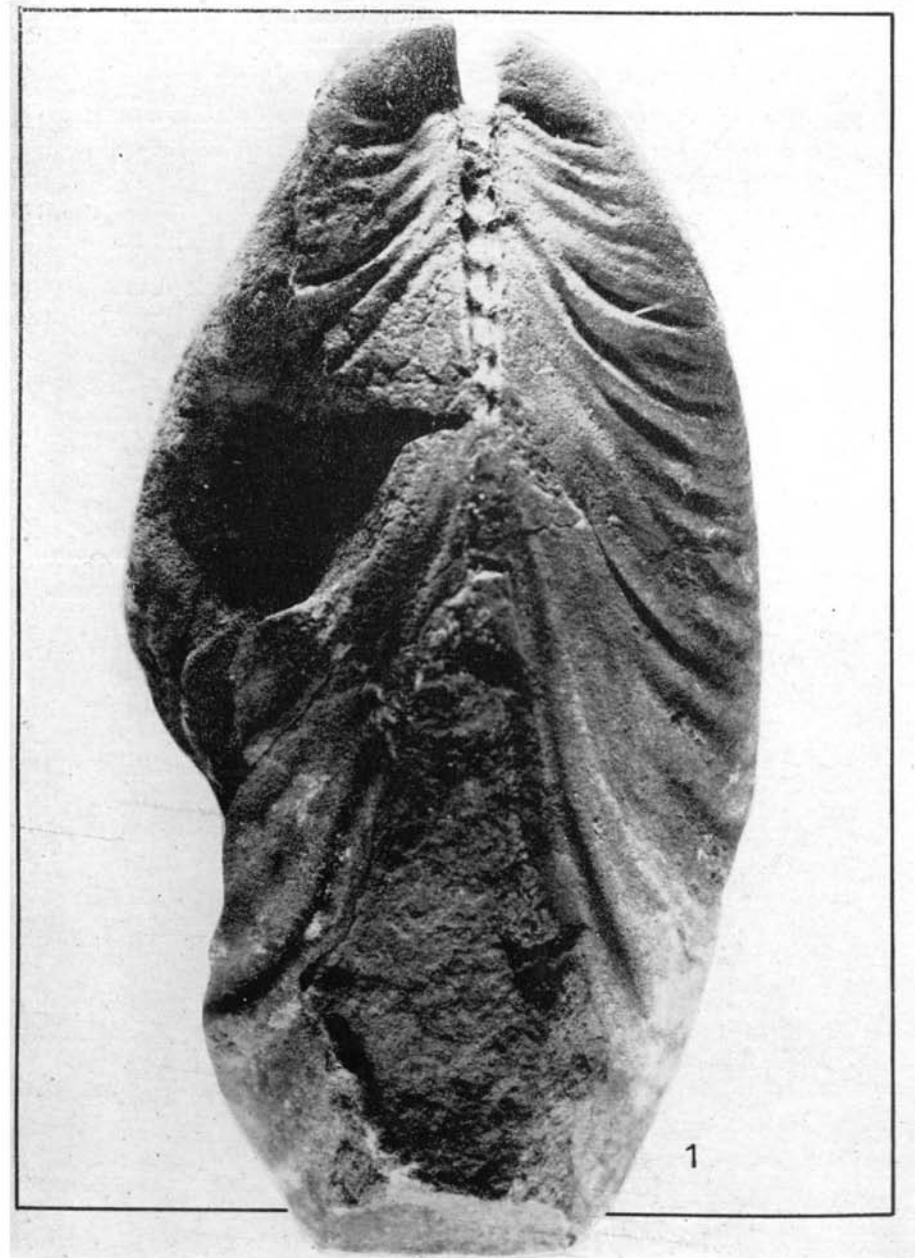


ТАБЛИЦА 94

Рис. 1. *Arctocephalites* aff. *elegans* Spath Стр. 125
a — вид сбоку; *б* — вид с вентральной стороны; бассейн р. Вилиги, верхний бат (Л. В. Иевлев, 1962).

Фиг. 2. То же Стр. 125
a — вид с боку; *б* — вид со стороны устья; *в* — вид с вентральной стороны; бассейн р. Вилиги, верхний бат (Б. А. Снятков, 1958).

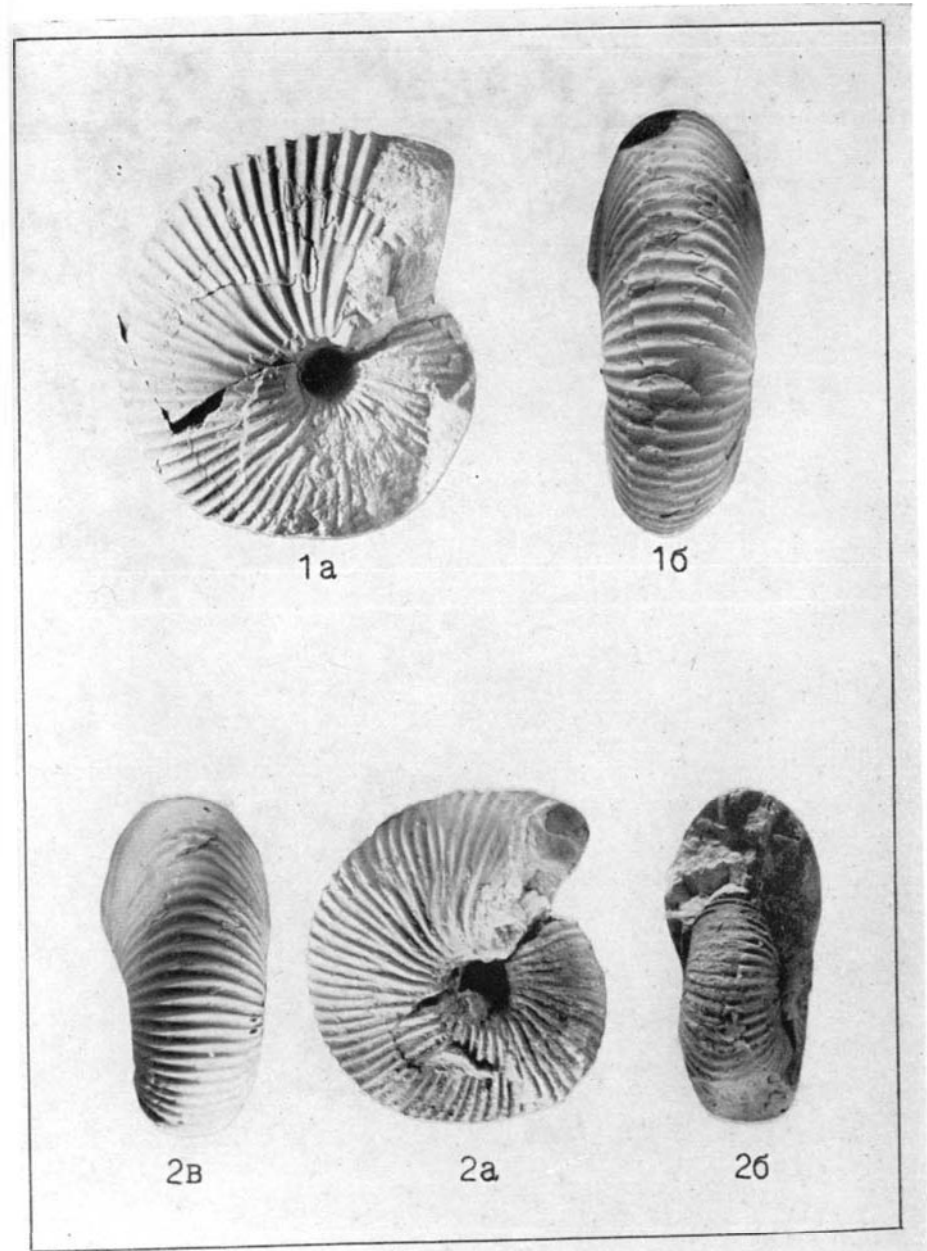


ТАБЛИЦА 95

Фиг. 1. *Arcticoceras stepankovi* Tschk.

Стр. 126

Голотип: *a* — вид сбоку; *b* — вид со стороны устья; *в* — лопастная линия, $\times 1,2$ (по И. И. Тучкову, 1954). Бассейн верхнего течения р. Вилиги; нижняя часть келловейского яруса (П. С. Степанков, 1954).

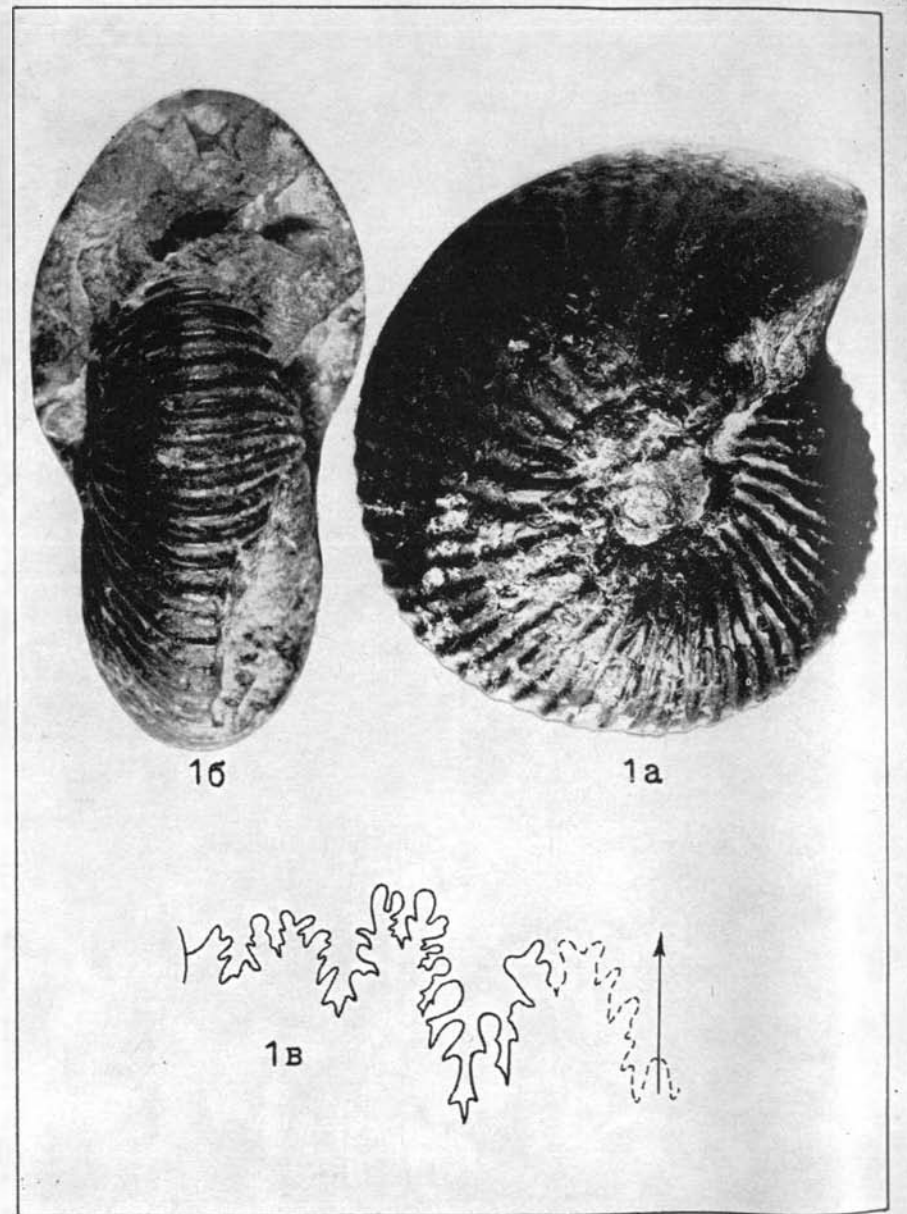


ТАБЛИЦА 96

Фиг. 1. *Boreiothyris zimkini* (Moiss.)

Стр. 27

a — вид со стороны спинной створки; *б* — вид сбоку; *в* — вид с лобного края (фотография оригинала из работы А. С. Моисеева, 1938). Бассейн верхнего течения р. Зырянки; келловей-оксфордские отложения (А. В. Зимкин, 1936).

Фиг. 2. *Boreiothyris pelecypodaeformis* (Moiss.)

Стр. 27

Вид со стороны спинной створки (фотография оригинала из работы А. С. Моисеева, 1938). Бассейн верхнего течения р. Зырянки; келловей-оксфордские отложения (А. В. Зимкин, 1936).

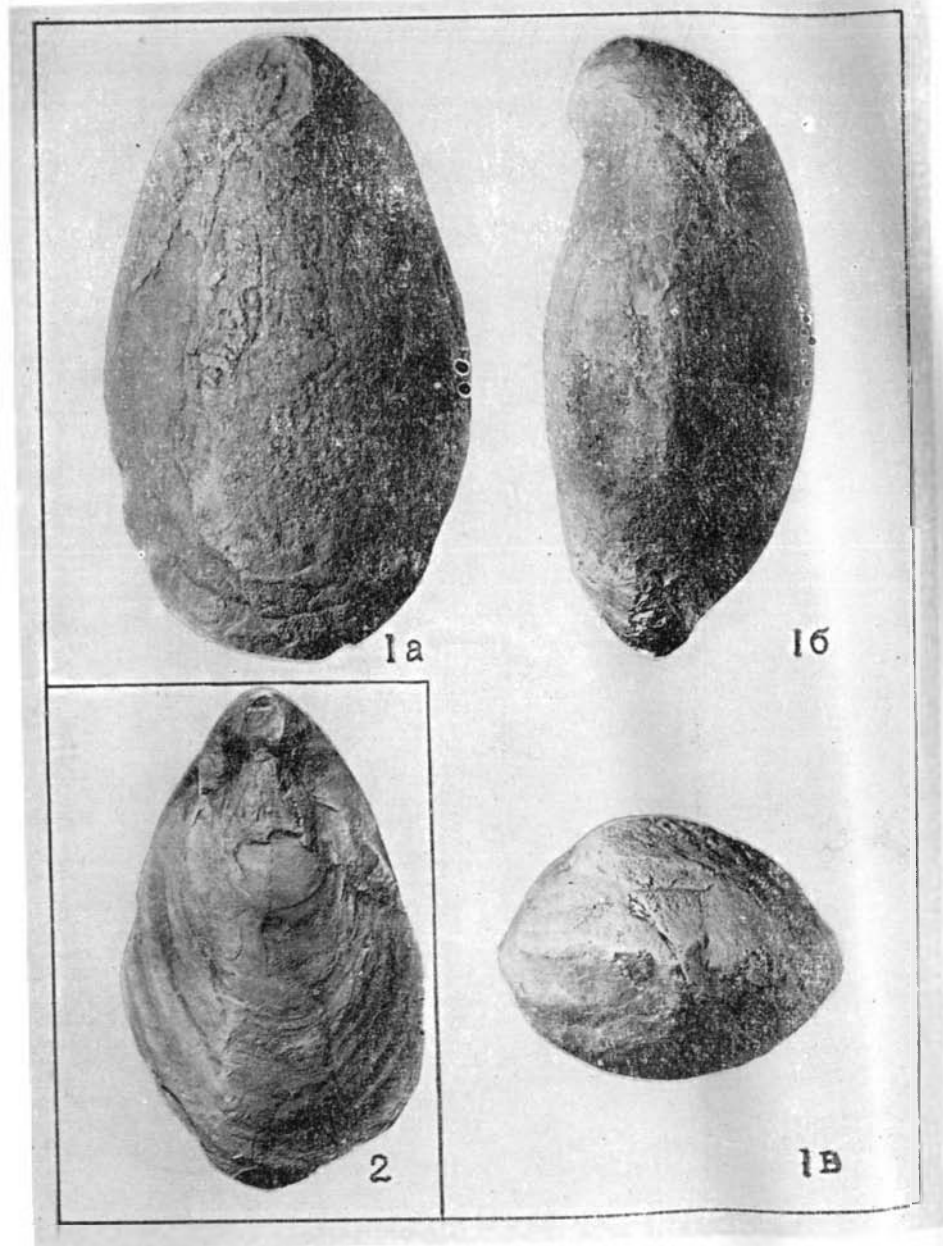


ТАБЛИЦА 97

Фиг. 1. *Boreiothyris goliensis* (Moiss.) Стр. 28

a — вид со стороны спинной створки; *б* — вид сбоку (фотография оригинала из работы А. С. Моисеева, 1938). Бассейн верхнего течения р. Зырянки; келловей-оксфордские отложения (А. В. Зимкин, 1936).

Фиг. 2. *Boreiothyris lamutkaensis* (Moiss.) Стр. 27

a — вид со стороны спинной створки; *б* — вид сбоку (фотография оригинала из работы А. С. Моисеева, 1938). Бассейн верхнего течения р. Зырянки; келловей-оксфордские отложения (А. В. Зимкин, 1936).

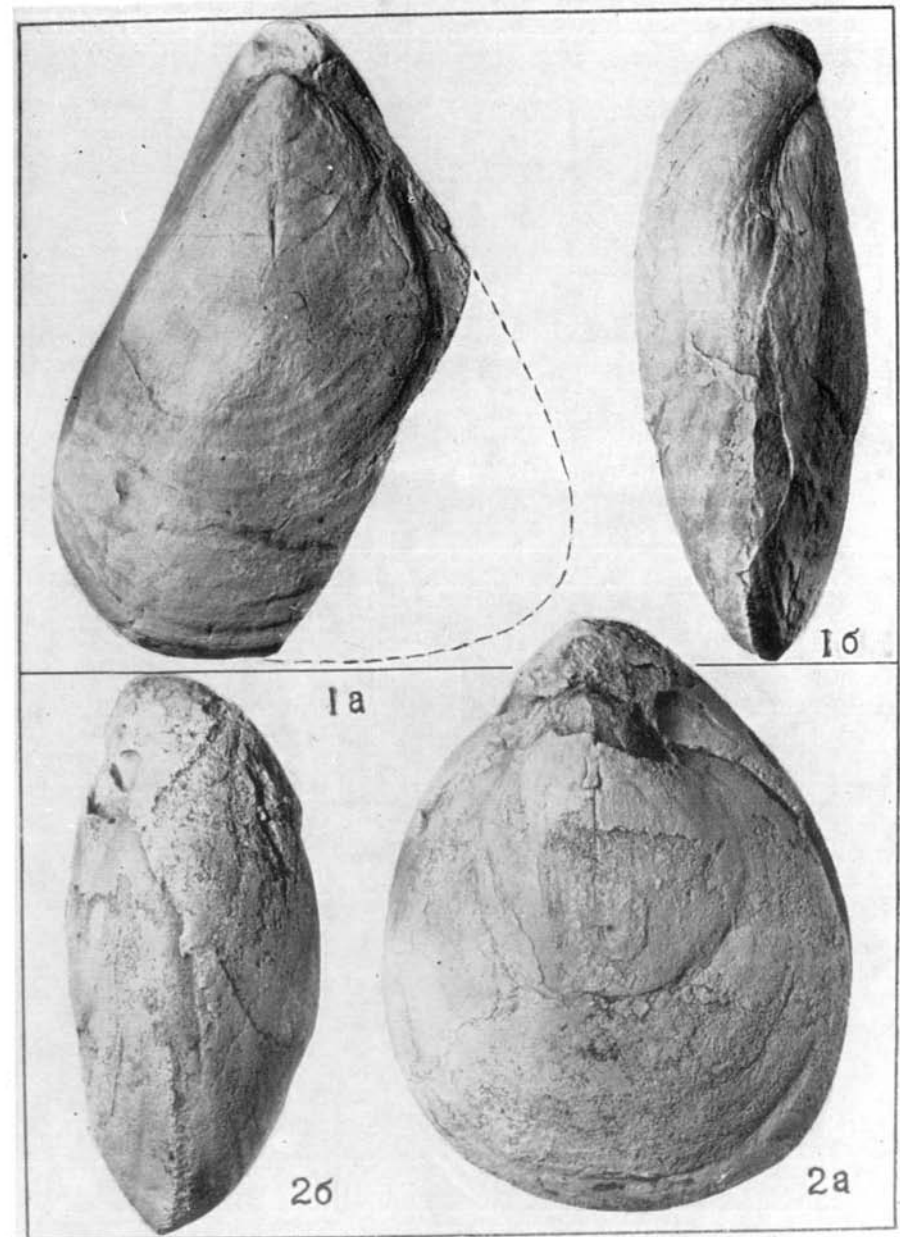
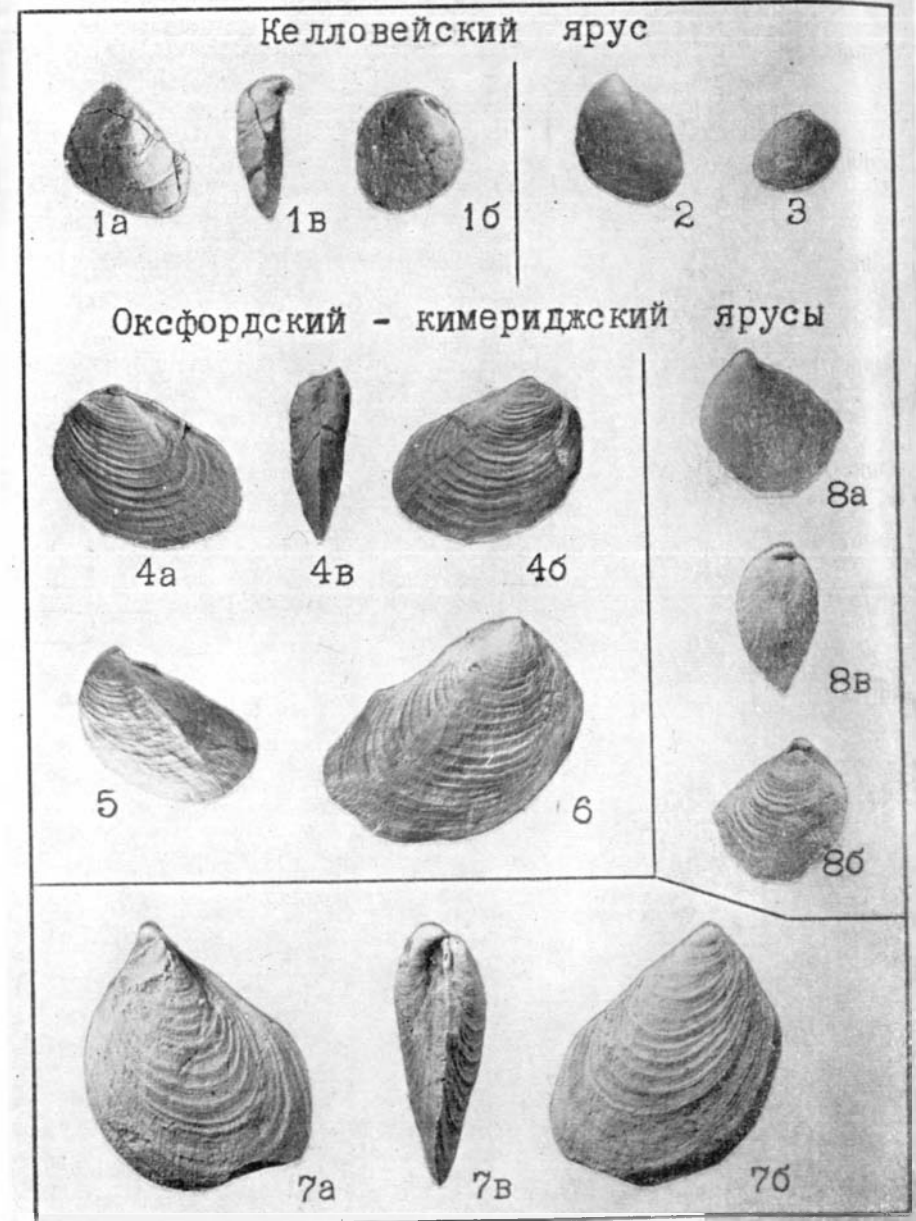


ТАБЛИЦА 98

- Фиг. 1. *Aucella* ? aff. *rotunda* Vog., $\times 2$ Стр. 50
a — левая створка; *b* — правая створка; *в* — вид сзади. Левобережье р. Бол. Анюя в верхнем течении; келловей (Б. Ф. Палымский, 1962).
- Фиг. 2. *Aucella* ? *anyuensis* Parak., sp. nov. Стр. 50
 Паратип: левая створка, $\times 2$. Левобережье р. Бол. Анюя в верхнем течении; келловей (Б. Ф. Палымский, 1962).
- Фиг. 3. То же Стр. 50
 Голотип: правая створка, $\times 1,5$. Левобережье р. Бол. Анюя в верхнем течении; келловей (Б. Ф. Палымский, 1962).
- Фиг. 4. *Aucella bronni* (Rouill.) Стр. 51
a — левая створка; *b* — правая створка; *в* — вид сзади. Бассейн верхнего течения р. Еропола; оксфорд (К. В. Паракецов, 1960).
- Фиг. 5. То же Стр. 51
 Левая створка. Алазейское плоскогорье; оксфорд (А. А. Житенский, 1958).
- Фиг. 6. То же Стр. 51
 Правая створка. Левобережье р. Бол. Анюя в среднем течении; верхний оксфорд — нижний кимеридж (К. В. Паракецов, 1961).
- Фиг. 7. *Aucella jeropolensis* Parak., sp. nov.* Стр. 52
 Голотип: *a* — левая створка; *b* — правая створка; *в* — вид сзади. Бассейн верхнего течения р. Еропола; оксфорд (К. В. Паракецов, 1960).
- Фиг. 8. *Aucella kirghisensis* Sok. Стр. 52
a — левая створка; *b* — правая створка; *в* — вид сзади. Бассейн верхнего течения р. Еропола; оксфорд (К. В. Паракецов, 1960).



* Хранится в ЦГМ, в г. Ленинграде.

ТАБЛИЦА 99

- Фиг. 1. *Aucella lindstroemi* Sok. Стр. 53
Левая створка; левобережье р. Бол. Анюя в среднем течении;
кимеридж (Г. А. Поданев, 1962).
- Фиг. 2. То же Стр. 53
Правая створка; левобережье р. Бол. Анюя в среднем течении;
кимеридж (Г. А. Поданев, 1962).
- Фиг. 3. То же Стр. 53
Правая створка; левобережье р. Бол. Анюя в среднем течении;
кимеридж (В. В. Гулевиц, 1962).
- Фиг. 4. *Aucella mosquensis* (Buch) Стр. 53
Левая створка; левобережье р. Бол. Анюя в среднем течении;
кимеридж — нижний волжский подъярус (Г. А. Поданев, 1962).
- Фиг. 5. То же Стр. 53
Правая створка; левобережье р. Бол. Анюя в среднем течении;
нижний волжский подъярус (К. В. Паракецов, 1959).
- Фиг. 6. То же Стр. 53
а — левая створка; б — правая створка; в — вид сзади; левобе-
режье р. Бол. Анюя в среднем течении; кимеридж — нижний волж-
ский подъярус (Г. А. Поданев, 1962).
- Фиг. 7. То же Стр. 53
Правая створка; левобережье р. Бол. Анюя в среднем течении;
кимеридж (К. В. Паракецов, 1959).
- Фиг. 8. То же Стр. 53
Правая створка; левобережье р. Бол. Анюя в среднем течении;
кимеридж — нижний волжский подъярус (Г. А. Поданев, 1962).
- Фиг. 9. *Aucella rugosa* (Fisch.) Стр. 54
а — левая створка; б — правая створка; в — вид сзади; левобе-
режье р. Бол. Анюя в среднем течении; нижний волжский подъ-
ярус (К. В. Паракецов, 1959).

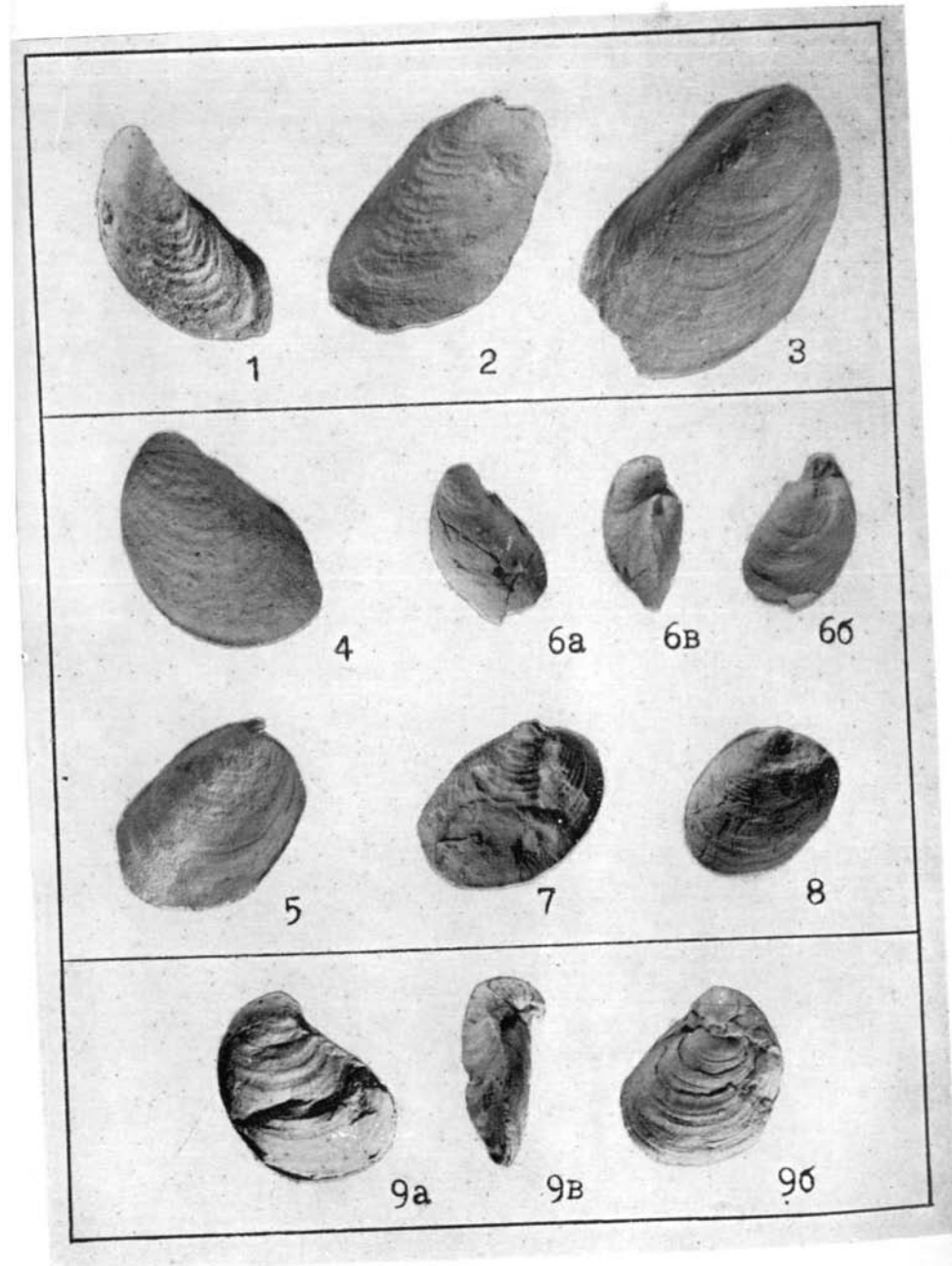


ТАБЛИЦА 100

- Фиг. 1. *Aucella orbicularis* Hyatt Стр. 54
a — левая створка; *б* — правая створка; *в* — вид сзади; левобережье р. Бол. Анюя в среднем течении; нижний волжский подъярус (К. В. Паракецов, 1959).
- Фиг. 2. То же Стр. 54
a — левая створка; *б* — правая створка; *в* — вид сзади; левобережье р. Бол. Анюя в среднем течении; кимеридж — нижний волжский подъярус (К. В. Паракецов, 1961).
- Фиг. 3. *Aucella piochii* (Gabb) Стр. 54
a — левая створка; *б* — правая створка; *в* — вид сзади; левобережье р. Бол. Анюя в среднем течении; нижний волжский подъярус (К. В. Паракецов, 1959).
- Фиг. 4. То же Стр. 54
a — левая створка; *б* — правая створка; *в* — вид сзади; левобережье р. Бол. Анюя в среднем течении; нижний волжский подъярус (К. В. Паракецов, 1959).

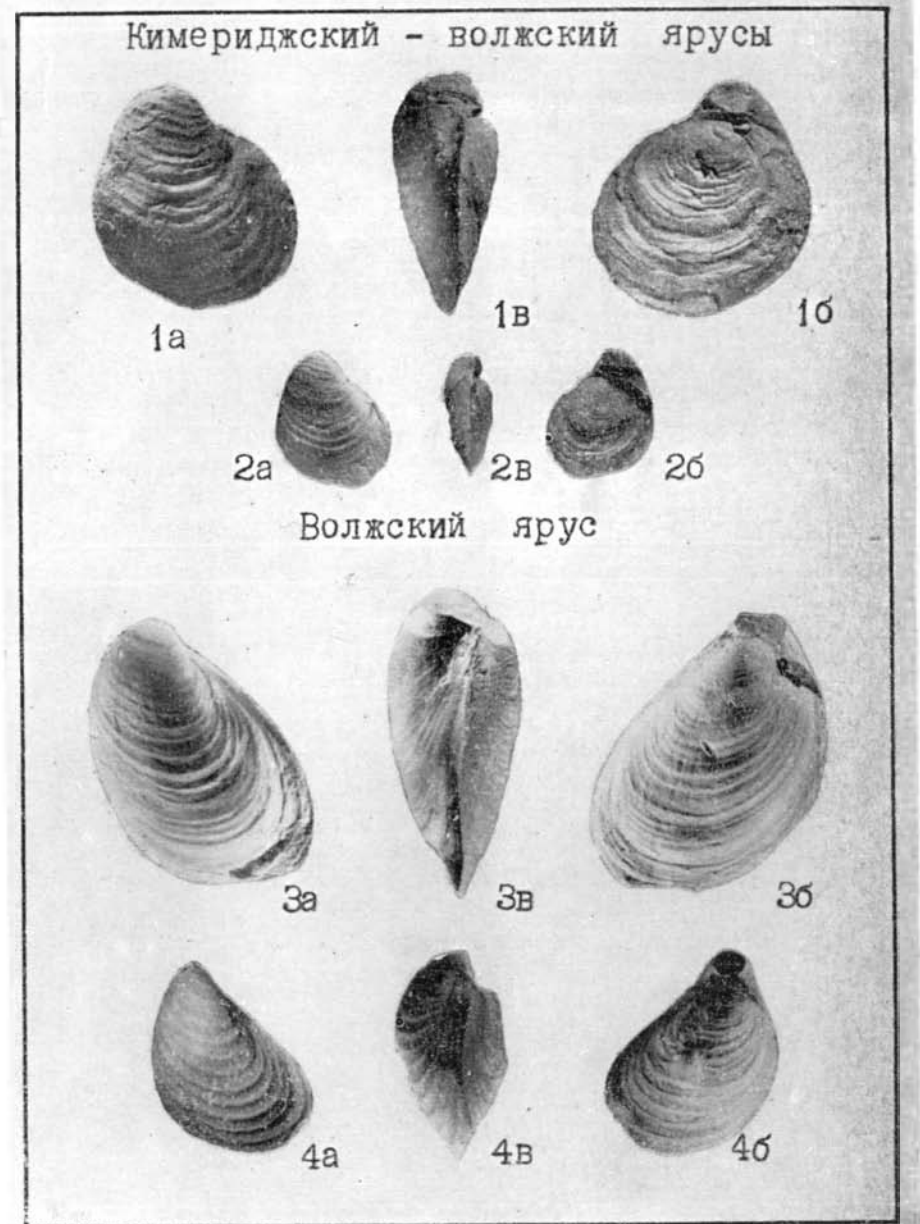


ТАБЛИЦА 101

- Фиг. 1. *Aucella circula* Parak. Стр. 55
 Голотип: *a* — левая створка; *b* — правая створка; *в* — вид сзади; бассейн верхнего течения р. Пеггымеля; верхневолжский подъярус (М. Е. Городинский, 1960).
- Фиг. 2. *Aucella flexuosa* Parak., sp. nov. Стр. 55
a — левая створка; *b* — правая створка; *в* — вид сзади. Толщина створок из-за деформации меньше истинной. Левобережье р. Бол. Аноя в среднем течении; средний волжский подъярус (К. В. Паракецов, 1959).
- Фиг. 3. То же Стр. 55
 Голотип: *a* — левая створка; *b* — правая створка; *в* — вид сзади; бассейн верхнего течения р. Еропола; берриас (К. В. Паракецов, 1960).
- Фиг. 4. *Aucella* aff. *fischeriana* (Orb.) Стр. 56
a — левая створка; *b* — правая створка; *в* — вид сзади; бассейн среднего течения р. Майна; средневолжский подъярус — берриас (В. Ф. Белый, 1959).
- Фиг. 5. То же Стр. 56
a — левая створка; *b* — правая створка; *в* — вид сзади; верхнее течение р. Бол. Аноя; верхневолжский подъярус — берриас (К. В. Паракецов, 1961).

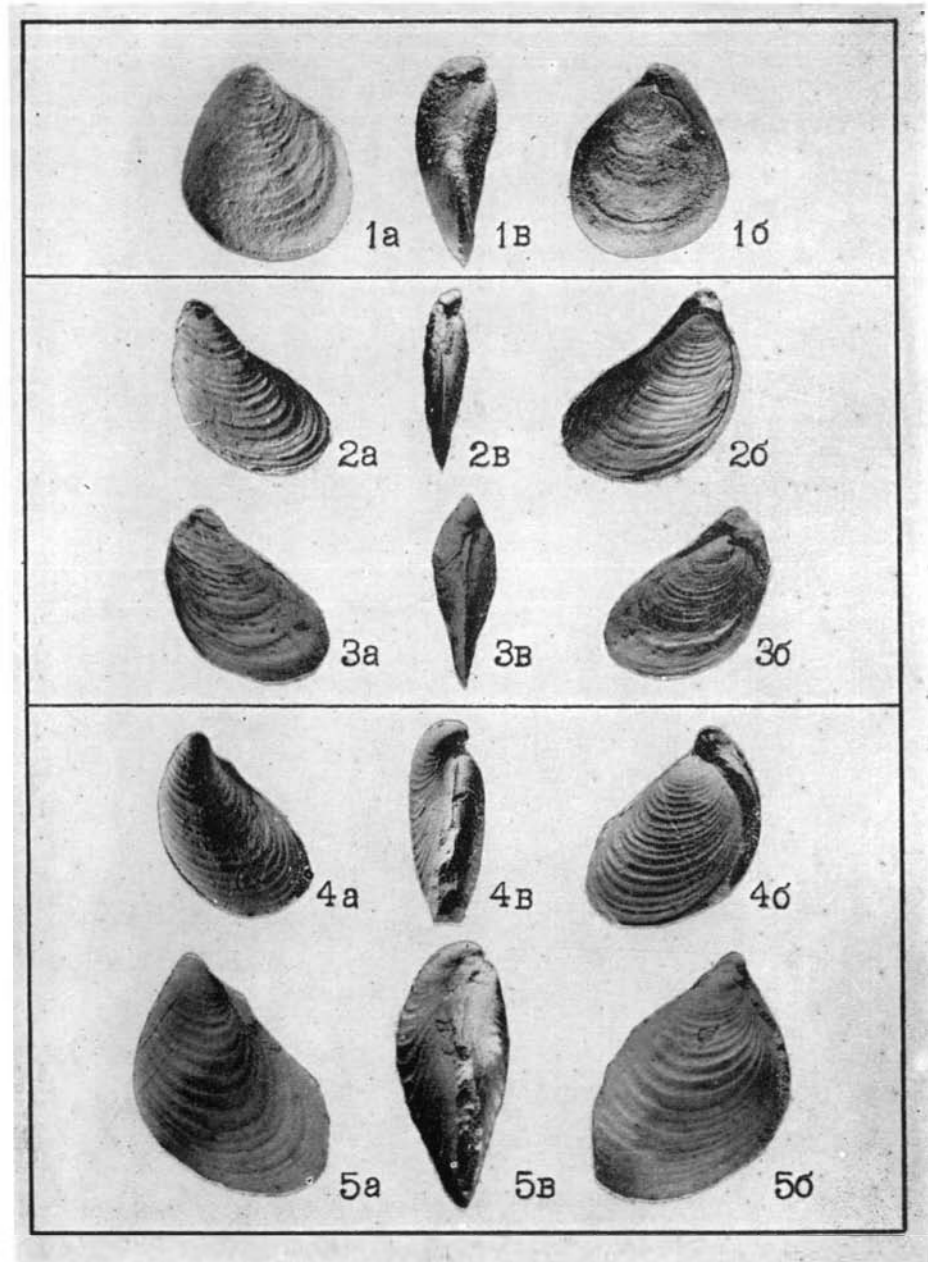


ТАБЛИЦА 102

- Фиг. 1. *Aucella gussiensis* Pavl. Стр. 57
a — левая створка; *б* — правая створка; *в* — вид сзади; левобережье р. Бол. Анюя в среднем течении; средневожский подъярус (К. В. Паракецов, 1959).
- Фиг. 2. То же Стр. 57
a — левая створка; *б* — правая створка; *в* — вид сзади; левобережье р. Бол. Анюя в среднем течении; верхневожский подъярус — берриас (Г. А. Поданев, 1962).
- Фиг. 3. *Aucella trigonoides* Lah. Стр. 57
a — левая створка; *б* — правая створка; *в* — вид сзади. Левая створка в верхней части уплощена деформацией. Бассейн верхнего течения р. Еропола; верхневожский подъярус — берриас (К. В. Паракецов, 1960).
- Фиг. 4. *Aucella krotovi* Pavl. Стр. 57
a — левая створка; *б* — правая створка; *в* — вид сзади; бассейн р. Пенжины; верхневожский подъярус — берриас (Л. А. Анкудинов, 1964).

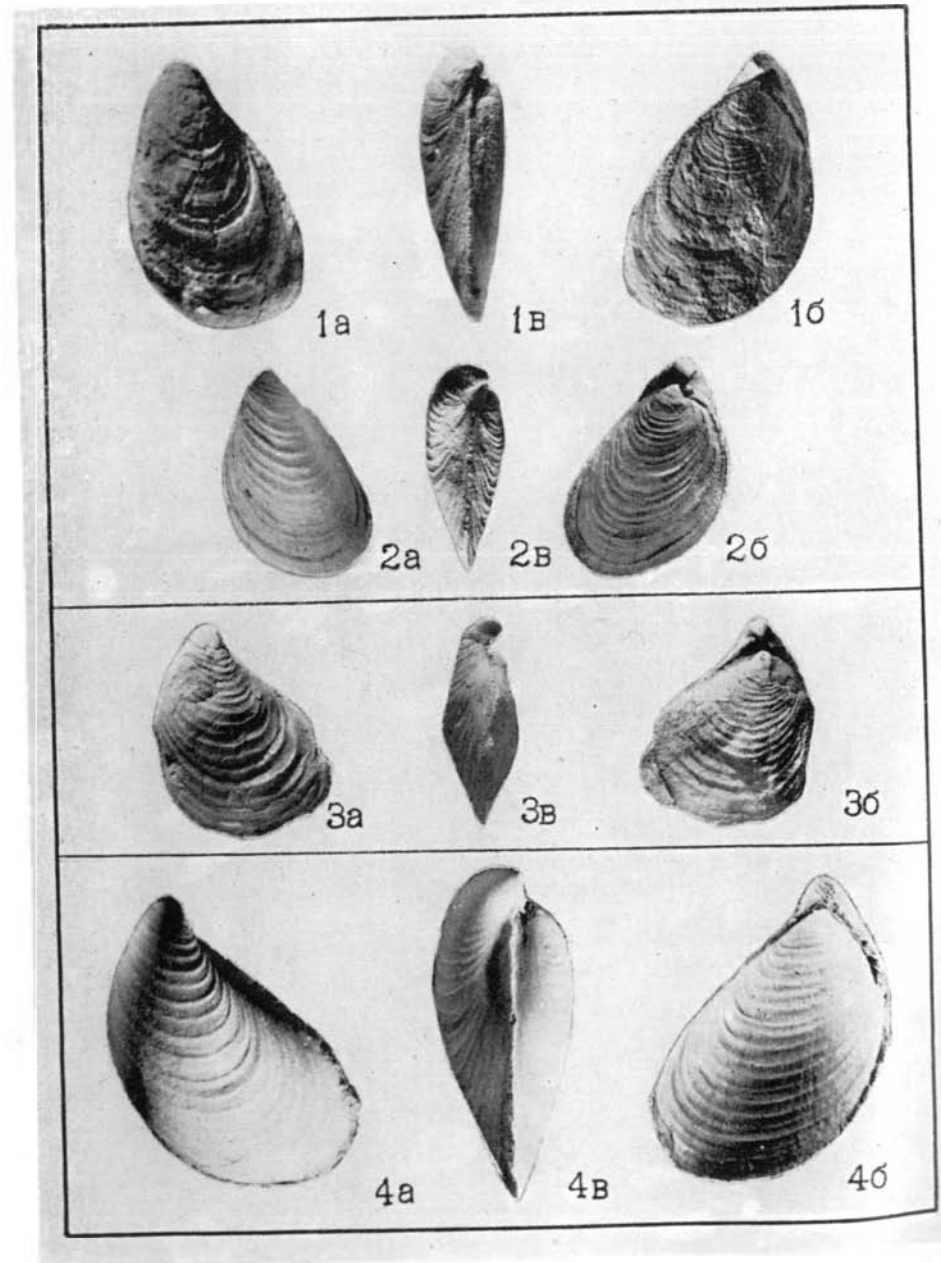


ТАБЛИЦА 103

- Фиг. 1. *Aucella lahuseni* Pavl. Стр. 58
Левая створка; правобережье р. Бол. Анюя в среднем течении; верхневолжский подъярус — берриас (В. Я. Радзивил, 1964).
- Фиг. 2. То же Стр. 58
a — левая створка; *b* — правая створка; *в* — вид сзади; бассейн верхнего течения р. Олоя; верхневолжский подъярус (К. Б. Куликов, 1965).
- Фиг. 3. *Aucella tenuicollis* Pavl. Стр. 58
a — левая створка; *b* — правая створка; *в* — вид сзади; бассейн верхнего течения р. Пегтымеля; верхневолжский подъярус (М. Е. Городинский, 1960).
- Фиг. 4. То же Стр. 58
a — левая створка; *b* — правая створка; *в* — вид сзади; бассейн среднего течения р. Майна; верхневолжский подъярус — берриас (В. Ф. Белый, 1959).
- Фиг. 5. То же Стр. 58
Левая створка; бассейн среднего течения р. Майна; верхневолжский подъярус — берриас (В. Ф. Белый, 1959).
- Фиг. 6. *Aucella terebratuloides* Lah. Стр. 59
a — левая створка; *b* — правая створка; *в* — вид сзади; левобережье р. Бол. Анюя в среднем течении; верхневолжский подъярус — берриас (Г. А. Поданев, 1962).
- Фиг. 7. То же Стр. 59
Левая створка; левобережье р. Бол. Анюя в среднем течении; волжский ярус (К. В. Паракецов, 1959).
- Фиг. 8. То же Стр. 59
Правая створка; левобережье р. Бол. Анюя в среднем течении; волжский ярус (К. В. Паракецов, 1959).

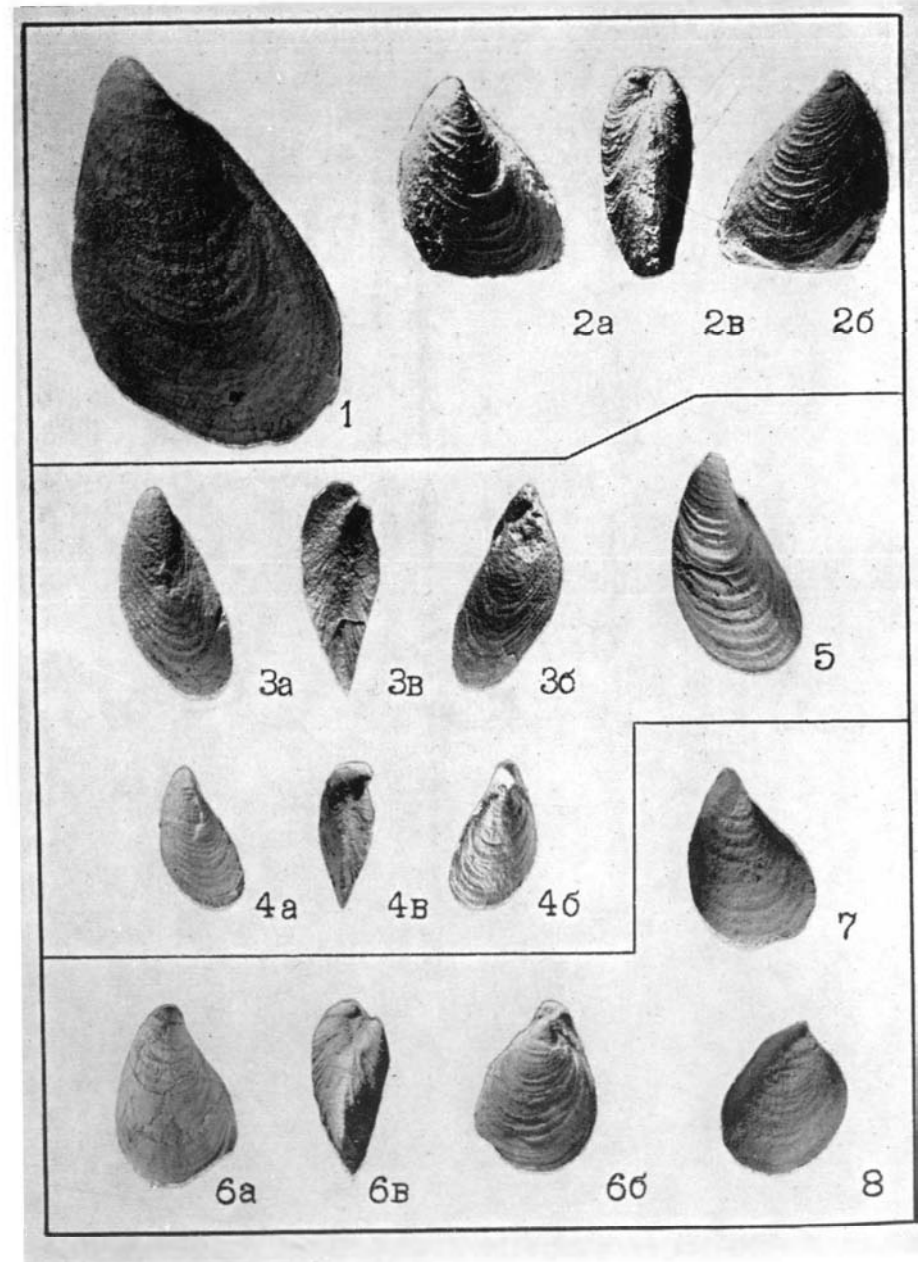


ТАБЛИЦА 104

- Фиг. 1, 2. *Meleagrinnella ovalis* (Phil.) Стр. 43
 1 — левая створка; 2 — правая створка. Побережье Охотского моря в районе устья р. Туманы; оксфорд — кимеридж (А. Д. Силинский, 1964).
- Фиг. 3, 4. То же Стр. 43
 3 — левая створка, $\times 2$; 4 — правая створка, $\times 2$. Западное Приохотье, р. Гербикиан; оксфорд. (Репродукция из работы Г. Т. Пчелинцевой, 1962).
- Фиг. 5, 6. *Oxytoma* aff. *interstriata* (Eichw.) Стр. 49
 5 — левая створка с обломанной передней частью; 6 — левая створка; р. Большой Анюй; кимеридж — нижний волжский подъярус (А. Г. Сенотрусов, 1964).
- Фиг. 7. *Plagiostoma* cf. *incrasata* (Eichw.) Стр. 87
 а — левая створка; заметный на фотографии выступ в виде переднего ушка является приподнятой примакушечной частью правой створки; б — вид раковины спереди; р. Яна (Охотская); верхняя юра (Х. И. Калугин, 1957).

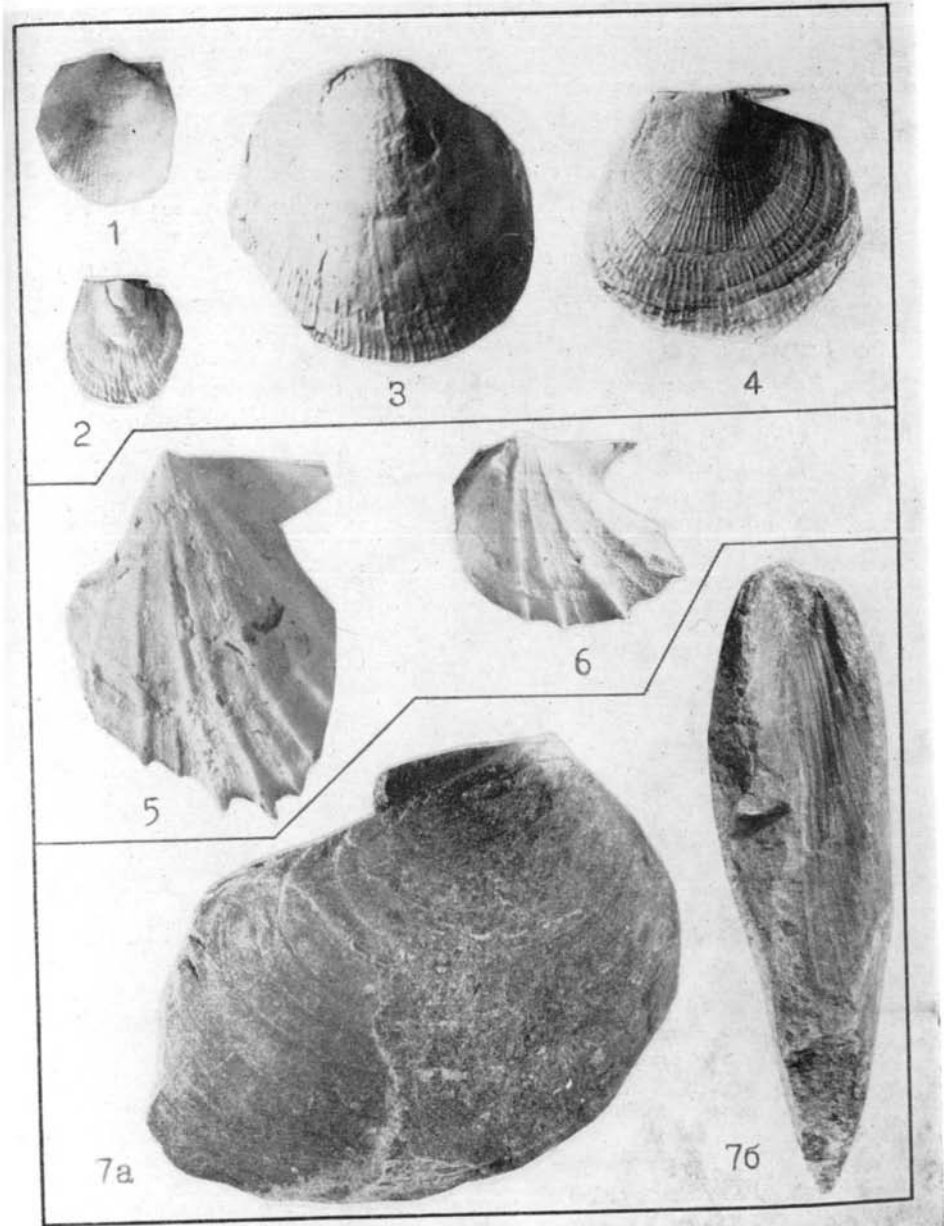


ТАБЛИЦА 105

- Фиг. 1. *Lima borealis* Pcel. Стр. 86
 Правая створка; р. Еропол (бассейн верхнего течения р. Анадыря); оксфорд — кимеридж (К. В. Паракецов, 1960).
- Фиг. 2, 3. *Lima consobrina* Orb. Стр. 86
 2 — правая створка; 3 — правая створка; р. Еропол; волжский ярус (К. В. Паракецов, 1960).
- Фиг. 4. *Chlamys tumannensis* Efimova, sp. nov. Стр. 79
 Голотип: правая створка; р. Бол. Анюй; кимеридж — волжский ярус (А. Г. Сенотрусов, 1964).
- Фиг. 5. *Modiolus* sp. Стр. 91
 а — левая створка; б — вид раковины со стороны спинного края; р. Бол. Анюй; нижний волжский подъярус (К. В. Паракецов, 1959).
- Фиг. 6. *Modiolus* aff. *bolodekensis* Vog. Стр. 90
 а — правая створка; б — вид раковины со стороны спинного (замочного) края; р. Бол. Анюй; нижний волжский подъярус (К. В. Паракецов, 1959).

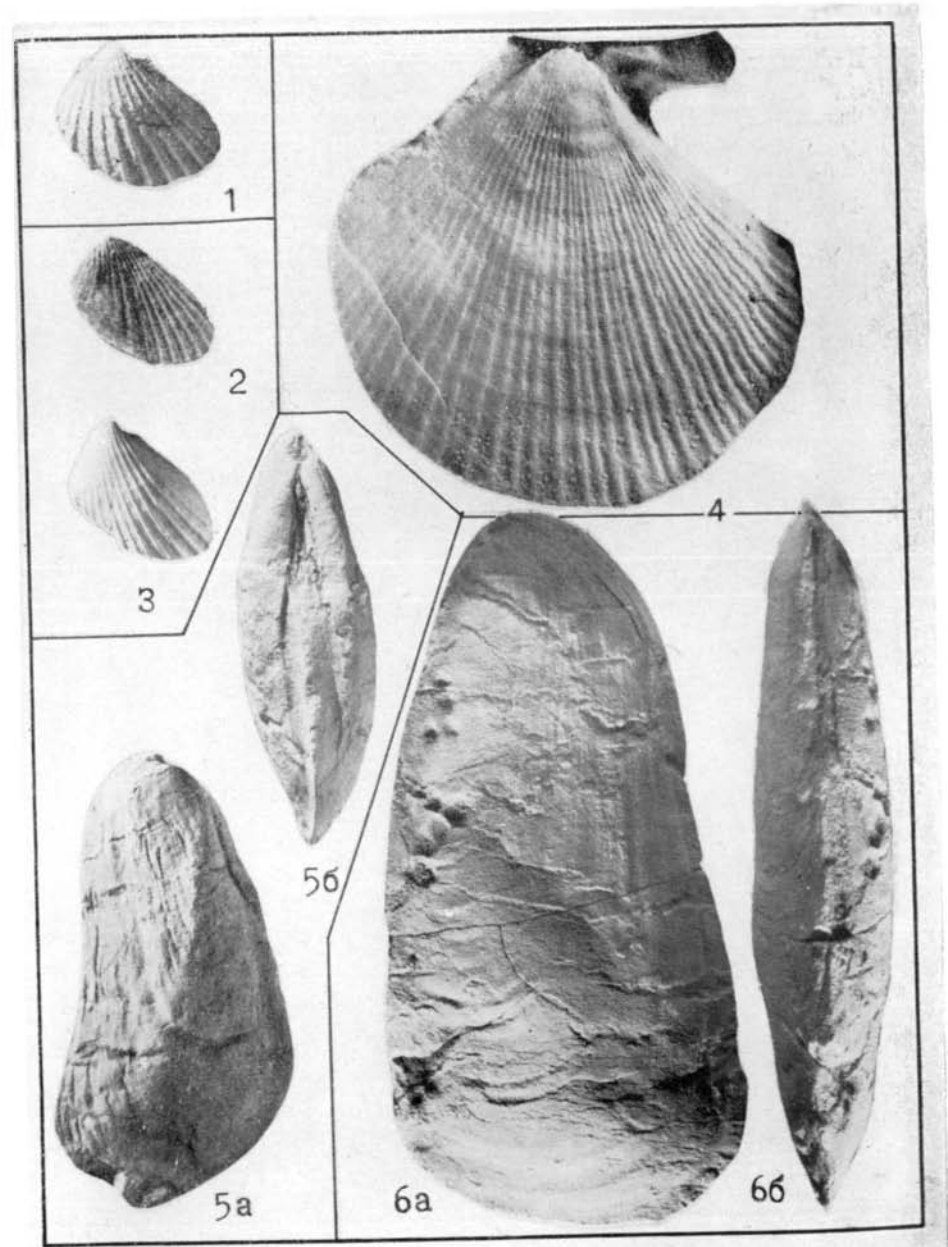


ТАБЛИЦА 106

- Фиг. 1. *Bureiatya* aff. *cardissoidiformis* Vor. Стр. 97
 Левая створка; р. Бол. Анюй; верхняя юра (К. В. Паракецов, 1959).
- Фиг. 2. *Pleuromya* aff. *rugosa* (Goldf.) Стр. 99
a — левая створка; *b* — вид раковины сверху. Бассейн р. Бол. Анюй; волжский ярус (К. В. Паракецов, 1959).
- Фиг. 3. *Pleuromya* *raporeformis* Eimova, sp. nov. Стр. 100
 Голотип: *a* — левая створка; *b* — вид раковины сверху. Бассейн р. Бол. Анюй; волжский ярус (К. В. Паракецов, 1959).
- Фиг. 4. *Goniomya* *dubois* Agass. Стр. 99
 Левая створка; бассейн р. Бол. Анюй; верхняя юра (К. В. Паракецов, 1959).

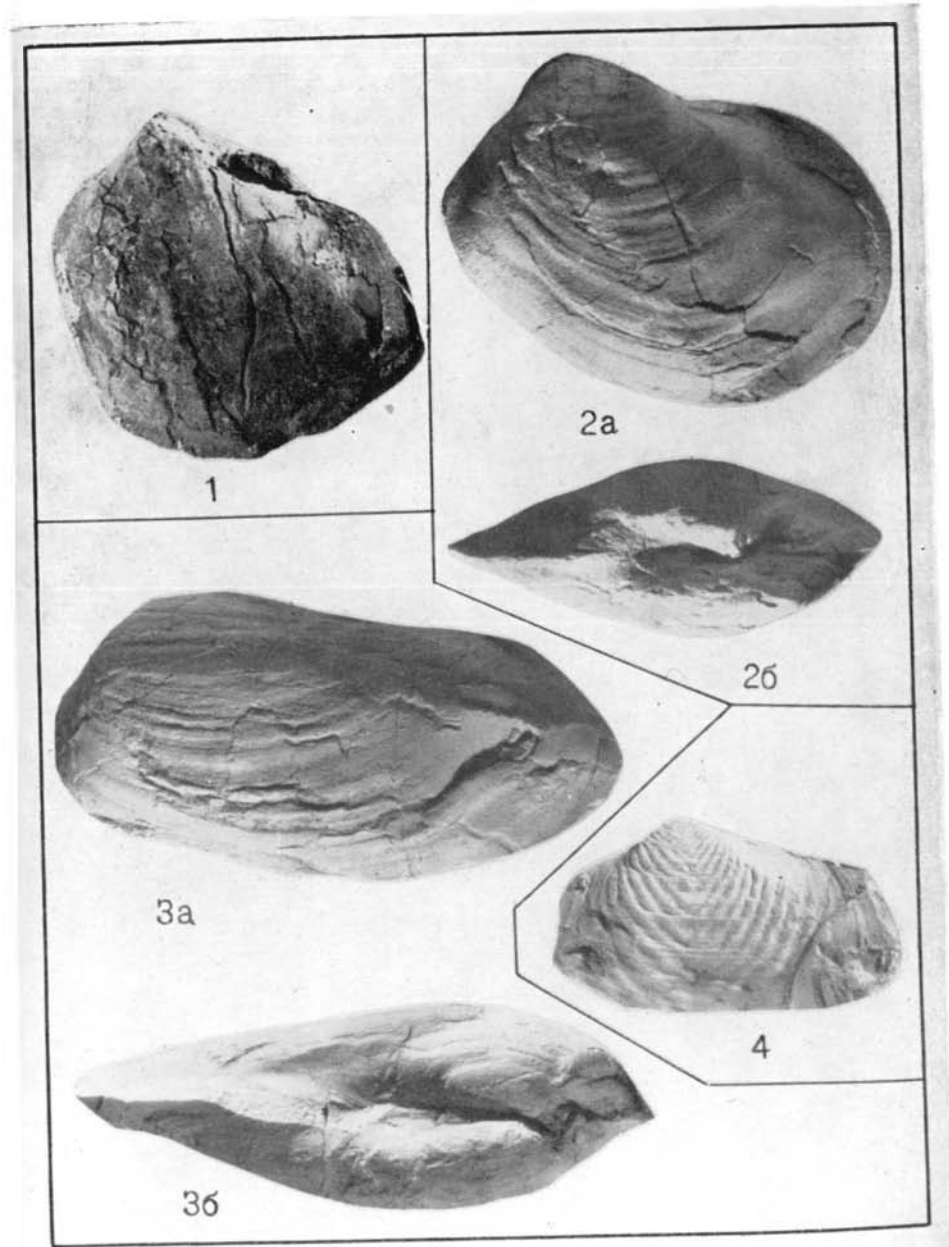


ТАБЛИЦА 107

- Фиг. 1. *Cadoceras* (*Paracadoceras*) cf. *anabarense* Bodyl. Стр. 127
a — вид сбоку (внутреннее ядро с сохранившимся местами раковинным слоем); *b* — вид с наружной стороны. Нижнее течение р. Булуна (Рассохи) (бассейн р. Коркодона); нижний келловей (М. И. Терехов, 1957).
- Фиг. 2. *Cardioceras* sp. indet. Стр. 127
 Вид сбоку; правобережье р. Омолона в среднем течении; оксфорд (Л. Ф. Головач, 1964).
- Фиг. 3. *Amoeboceras kitchini* (Salf.) Стр. 127
 Вид сбоку; бассейн верхнего течения р. Коркодона; нижний кимеридж (К. Л. Львов, 1962).
- Фиг. 4. То же Стр. 127
 Отпечаток части боковой поверхности; левобережье р. Бол. Анюя в среднем течении; нижний кимеридж (Н. М. Бондаренко, 1962).
- Фиг. 5. *Chetaites* ? sp. indet. Стр. 129
 Вид сбоку; левобережье р. Бол. Анюя в среднем течении; верхний волжский подъярус (К. В. Паракецов, 1959).

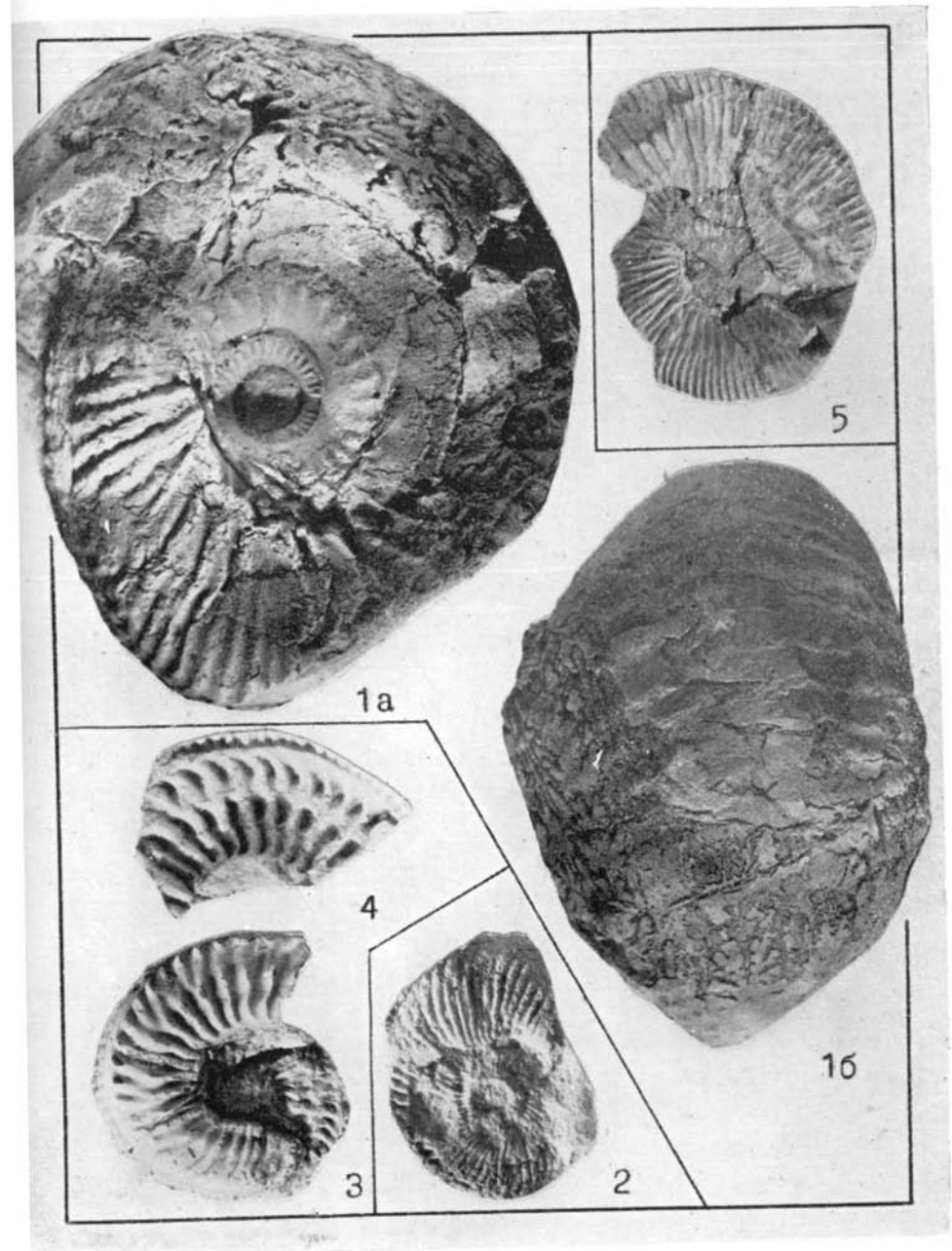


ТАБЛИЦА 108

Фиг. 1. *Cylindroteuthis cf. obelisca* (Phill.) Стр. 134

a — вид с брюшной стороны; *b* — вид сбоку; *в* — поперечное сечение; бассейн р. Седедемы (Алазейское плоскогорье); оксфорд (М. И. Терехов, 1960).

Фиг. 2. *Lagonibelus cf. kostromensis* (Geras.) Стр. 135

a — вид с брюшной стороны; *b* — вид сбоку (продольное сечение в спинно-брюшной плоскости); *в* — поперечное сечение; р. Икки-Кюннях (Алазейское плоскогорье); оксфорд — кимеридж (М. И. Терехов, 1960).



ТАБЛИЦА 109

- Фиг. 1. *Cladophlebis aldanensis* Vachr. Стр. 136
 Участок пера с лопастными сегментами; р. Бол. Анюй; верхняя юра (К. В. Паракецов, 1959).
- Фиг. 2. *Cladophlebis haiburnensis* (L. et H.) Brongn. Стр. 137
 Участок листа; хорошо видна двукратная дихотомия жилок. Бассейн р. Вилюя; верхняя юра. (Репродукция из работы В. А. Вахрамеева, 1958).
- Фиг. 3. *Raphaelia diamensis* Sew. Стр. 138
 Отпечаток неполного пера; р. Алдан; верхняя юра. (Репродукция из работы В. А. Самылиной, 1963).

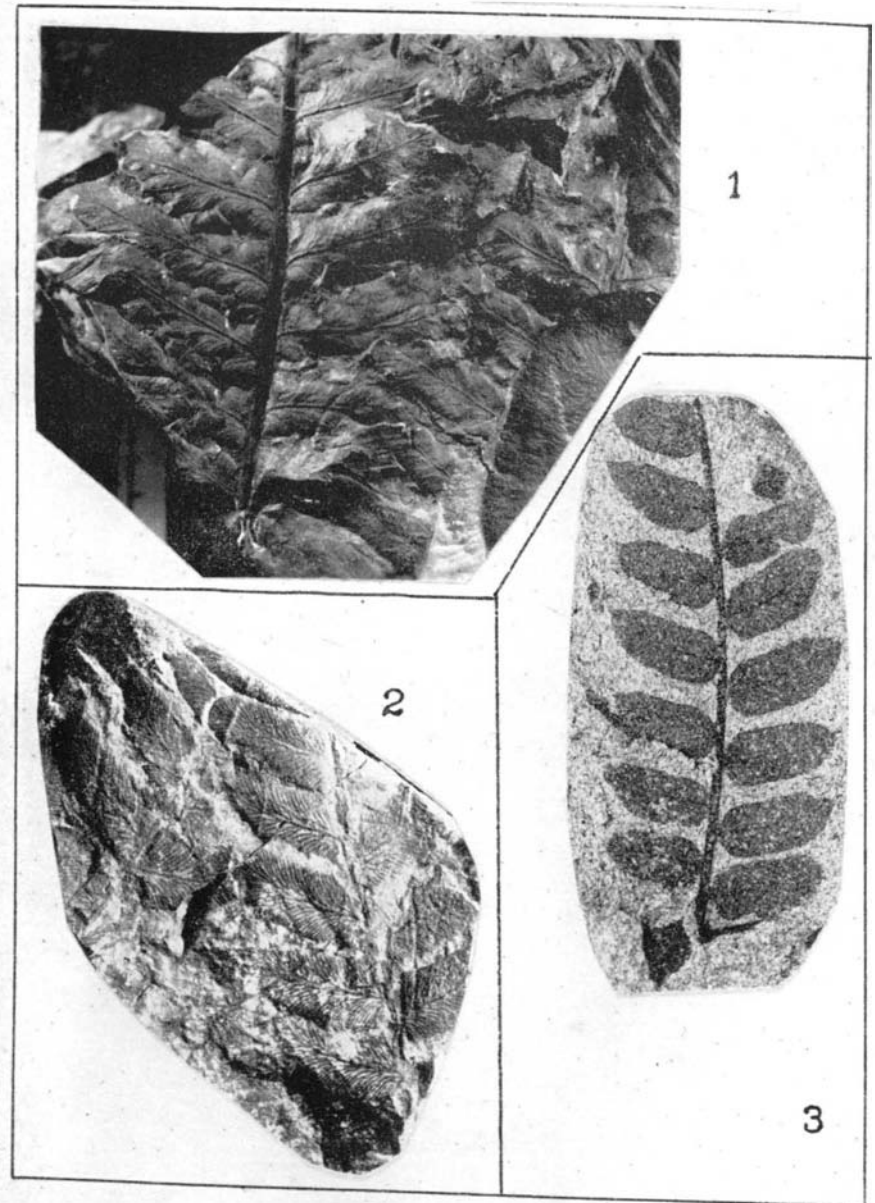


ТАБЛИЦА 110

- Фиг. 1. *Cladophlebis aldanensis* Vachr. Стр. 136
 Нижняя часть листа, $\times 0,6$; р. Бол. Анюй; верхняя юра (Г. А. Поданев, 1962).
- Фиг. 2. *Raphaelia* sp. Стр. 138
 Верхушечная часть пера; р. Бол. Анюй; верхняя юра (К. В. Паркецов, 1959).

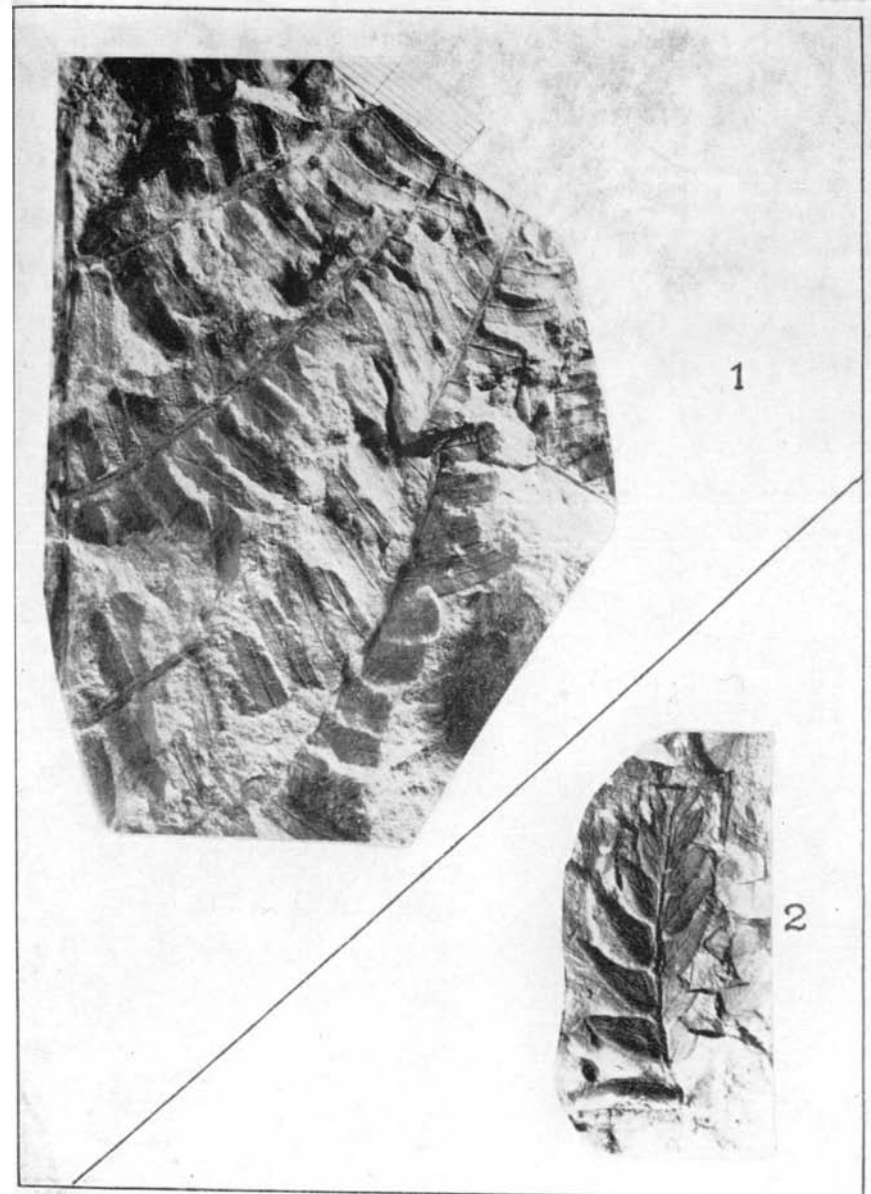


ТАБЛИЦА 111

- Фиг. 1. *Cladophlebis aldanensis* Vachr. Стр. 136
 Участок листа, $\times 0,6$; р. Алдан; верхняя юра (Г. Ф. Гурин, 1947).
- Фиг. 2. То же Стр. 136
 Изолированное перо с длинными сегментами и хорошо заметной нервацией. Бассейны рр. Алдана и Амги; верхняя юра (И. И. Тучков, 1951).
- Фиг. 3. *Cladophlebis haiburnensis* (L. et H.) Brongn. Стр. 137
 Участок верхушки пера; р. Бол. Анюй; верхняя юра (Г. А. Поданев, 1962).

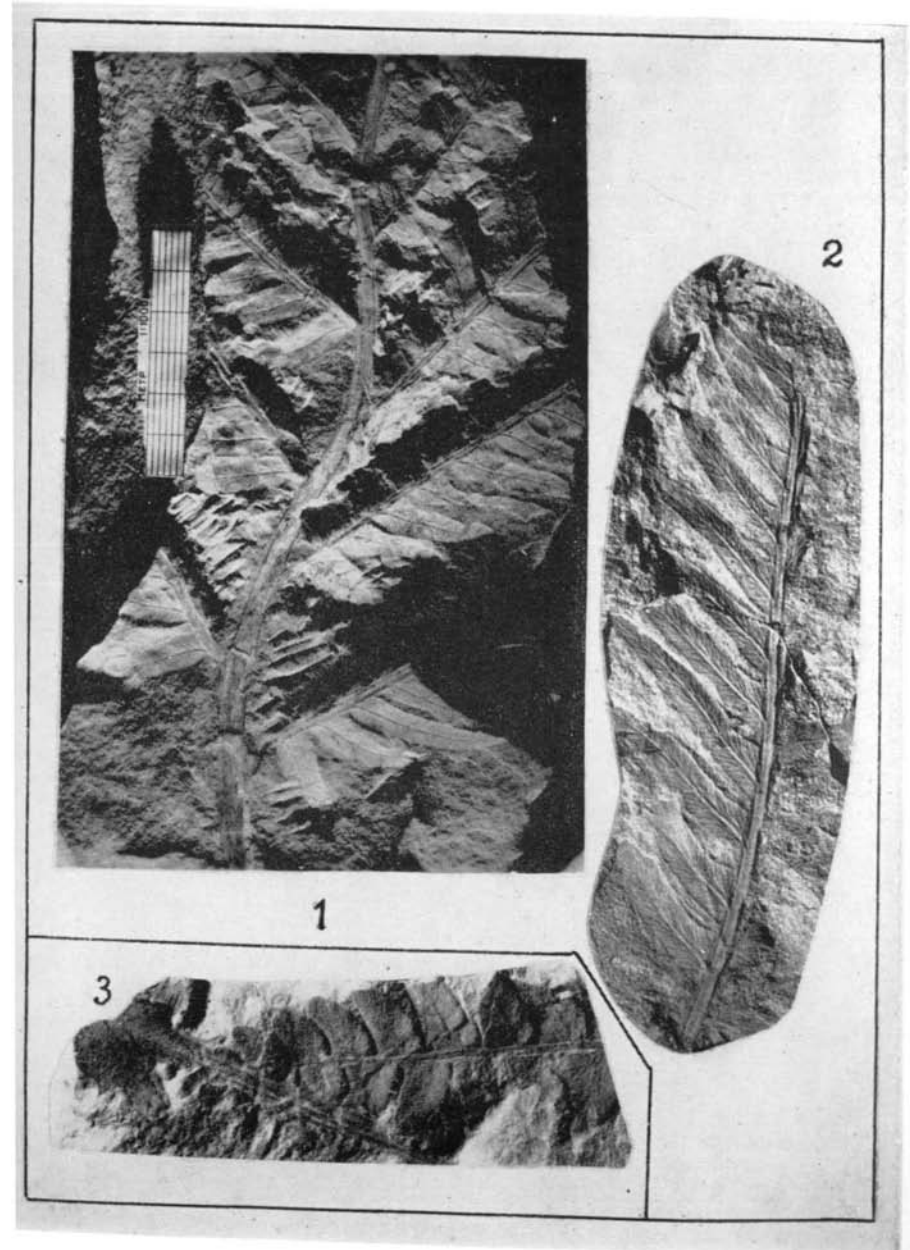


ТАБЛИЦА 112

- Фиг. 1. *Heilungia aff. amurensis* (Novop.) Prun. Стр. 139
 Участок крупного листа, $\times 0,6$; р. Бол. Ашуй; верхняя юра
 (Г. А. Поданев, 1962).
- Фиг. 2. *Heilungia amurensis* (Novop.) Prun. Стр. 139
 Неполный сегмент листа; р. Алдан; нижний мел. (Репродукция
 из работы В. А. Самылиной, 1963).

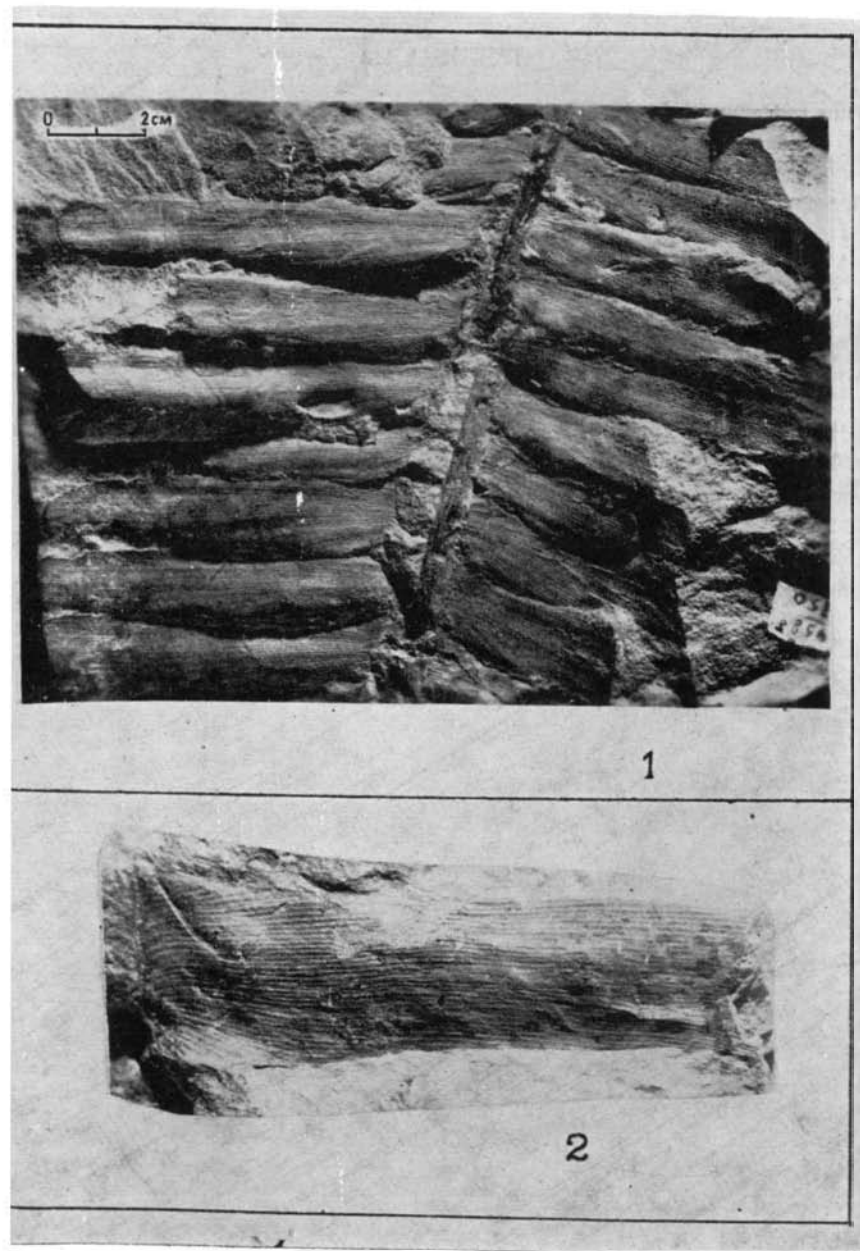


ТАБЛИЦА 113

- Фиг. 1. *Heilungia aldanensis* Samul. Стр. 139
 Участок средней части листа; р. Алдан; верхняя юра. (Репродукция из работы В. А. Самылиной, 1963).
- Фиг. 2. *Cladophlebis serrulata* Samul. Стр. 137
 Обрывок пера; р. Алдан; верхняя юра. (Репродукция из работы В. А. Самылиной, 1963).

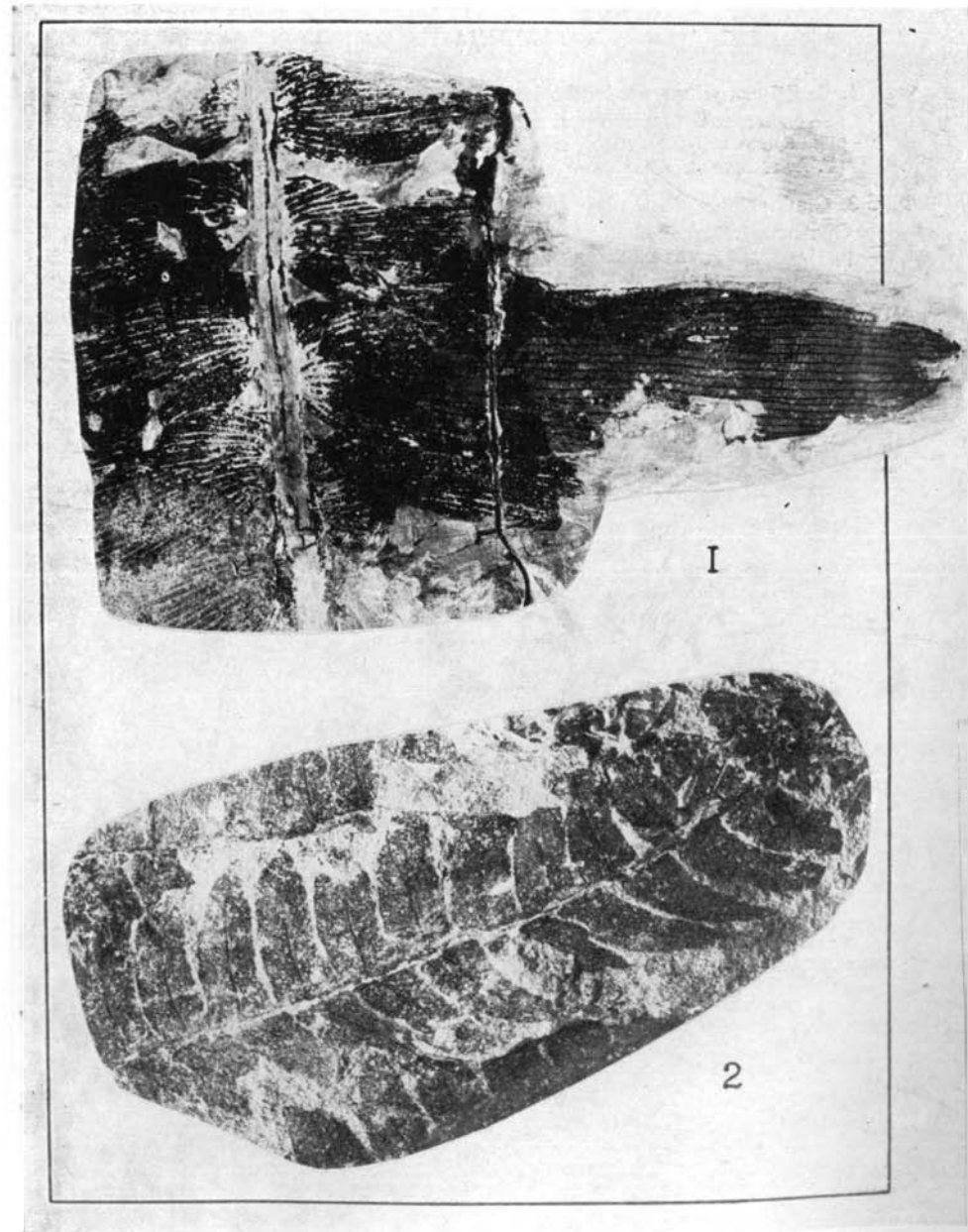
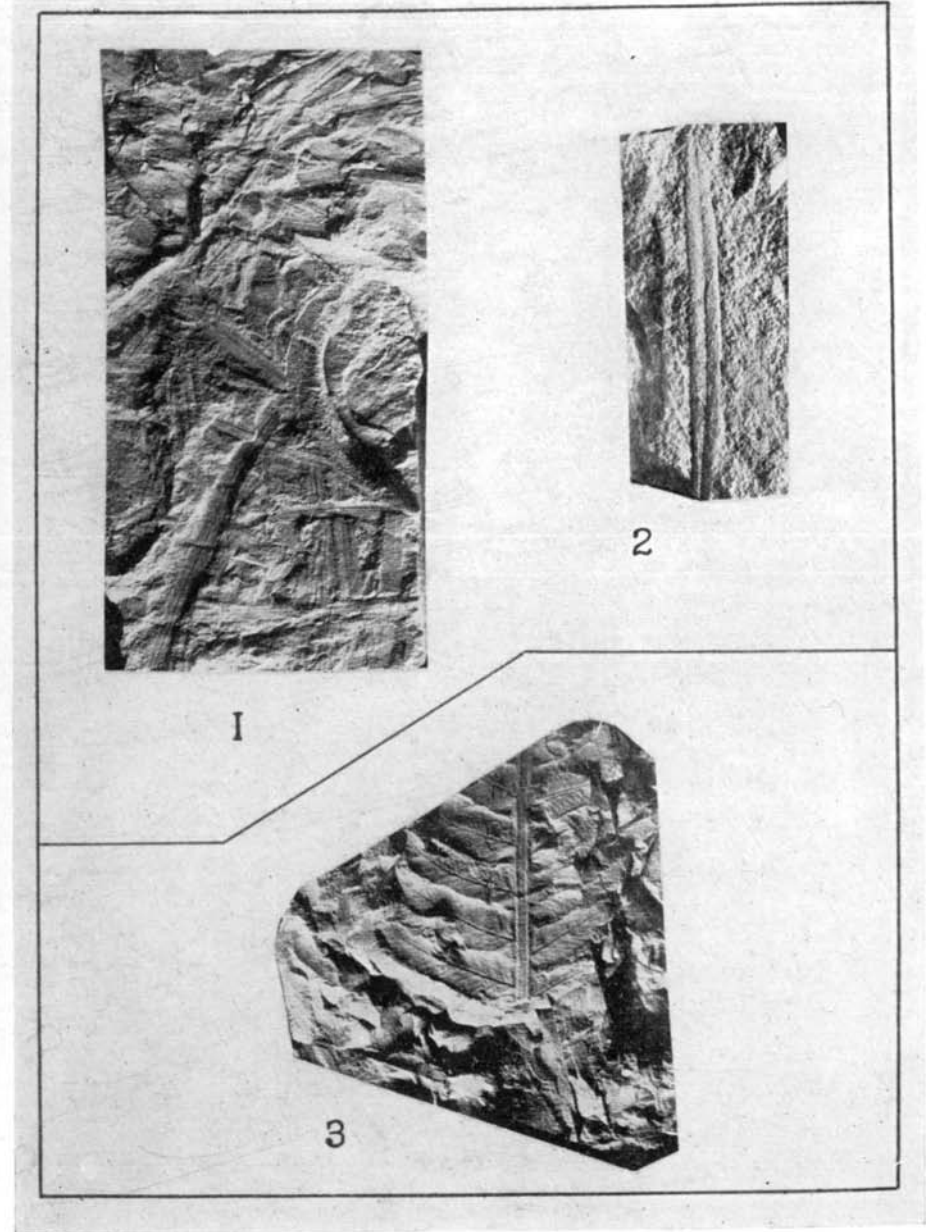


ТАБЛИЦА 114

- Фиг. 1, 2. *Pityophyllum nordenskioldii* (Heer) Nath. Стр. 142
 1 — скопление обрывков листьев; 2 — отпечаток неполного листа;
 руч. Кельчи (бассейн р. Бол. Анюя); средний волжский подъярус
 (Г. А. Поданев, 1962).
- Фиг. 3. *Cladophlebis denticulata* (Brongn.) Font. Стр. 136
 Обрывок листа; междуречье Лучистой и Ветвистой (бассейн
 р. Омолона); келловей-кимериджские отложения (В. И. Пав-
 лов, 1964).



Алфавитный указатель родов, подродов, видов и подвидов

- Aequirecten, стр. 79
 (?) *staeschei**, стр. 80, табл. 7,
 фиг. 1—9
 (?) *terekhovi**, стр. 81, табл. 26,
 фиг. 2—3; табл. 27, фиг. 2—3
- Aguilerella
*kedonensis**, стр. 59, табл. 23,
 фиг. 1—4
- Amaltheus (Amaltheus)
*extremus**, стр. 110, табл. 35,
 фиг. 1
 cf. *margaritatus*, стр. 108, табл. 35,
 фиг. 3
stokesi, стр. 108, табл. 36, фиг. 2,
 фиг. 3
*subbifurcus**, стр. 109, табл. 34,
 фиг. 1
*talrosei**, стр. 108, табл. 37,
 фиг. 1—2
 aff. *talrosei*, стр. 109, табл. 34,
 фиг. 2
- Amaltheus (Nordamaltheus)*, стр. 111
*bulunensis**, стр. 111, табл. 35,
 фиг. 2
 aff. *bulunensis*, стр. 112, табл. 36,
 фиг. 1
viligaensis, стр. 111, табл. 33,
 фиг. 1—5; табл. 37, фиг. 3
- Amoeboceras
kitchini, стр. 127, табл. 107,
 фиг. 3—4
- Angulaticeras
*kolymicum**, стр. 105, табл. 17,
 фиг. 2—4
- Anomia
*lemniscata**, стр. 89, табл. 8,
 фиг. 7—8
- Arcticoceras
stepankovi, стр. 126, табл. 95,
 фиг. 1
- Arctocephalites
 aff. *elegans*, стр. 125, табл. 94,
 фиг. 1—2
- Arctomercaticeras, стр. 118,
costatum, стр. 119, табл. 43,
 фиг. 1—2
- tenue*, стр. 119, табл. 43, фиг. 3
- Arctotis
 cf. *lenaensis*, стр. 44, табл. 82,
 фиг. 1
sublaevis, стр. 44, табл. 70,
 фиг. 1—4
- Arietites
*libratus**, стр. 106, табл. 13,
 фиг. 1—2; табл. 14, фиг. 1;
 табл. 16, фиг. 1
- Arkelloceras
 aff. *mclearnii*, стр. 124, табл. 80,
 фиг. 1
 ? *sp.*, стр. 125, табл. 79, фиг. 2—3
- Aucella, стр. 50
 ? *anyuensis**, стр. 50, табл. 98,
 фиг. 2—3
bronni, стр. 51, табл. 98, фиг. 4—6
circula, стр. 55, табл. 101, фиг. 1
 aff. *fischeriana*, стр. 56, табл. 101,
 фиг. 4—5
*flexuosa**, стр. 55, табл. 101,
 фиг. 2—3
*jeropolensis**, стр. 52, табл. 98,
 фиг. 7
kirghisensis, стр. 52, табл. 98,
 фиг. 8
krotovi, стр. 57, табл. 102, фиг. 4
lahuseni, стр. 58, табл. 103,
 фиг. 1—2
lindstroemi, стр. 53, табл. 99,
 фиг. 1—3
mosquensis, стр. 53, табл. 99,
 фиг. 4—8
orbicularis, стр. 54, табл. 100,
 фиг. 1—2
piochii, стр. 54, табл. 100,
 фиг. 3—4
 ? aff. *rotunda*, стр. 50, табл. 98,
 фиг. 1
rugosa, стр. 54, табл. 99, фиг. 9
russiensis, стр. 57, табл. 102,
 фиг. 1—2
tenuicollis, стр. 58, табл. 103,
 фиг. 3—5
terebratuloides, стр. 59, табл. 103,
 фиг. 6—8
trigonoides, стр. 57, табл. 102,
 фиг. 3

* Звездочкой отмечены новые ро-
ды, подроды, виды и подвиды.

- Boreiothyris**
goliensis, стр. 28, табл. 97, фиг. 1
lamutkaensis, стр. 27, табл. 97, фиг. 2
pelecypodaeformis, стр. 27, табл. 96, фиг. 2
zimkini, стр. 27, табл. 96, фиг. 1
- Bradfordia*
*alaiseica**, стр. 128, табл. 79, фиг. 1
- Bureiamya*
aff. cardissoidoformis, стр. 97, табл. 106, фиг. 1
*ordinata**, стр. 96, табл. 32, фиг. 2
sp., стр. 97, табл. 32, фиг. 3
- Cadoceras* (*Paracadoceras*)
cf. anabarense, стр. 127, табл. 107, фиг. 1
- Calliphylloceras*
sp., стр. 100, табл. 81, фиг. 2—3
- Camptonectes*
sp., стр. 84, табл. 83, фиг. 2—3; табл. 84, фиг. 1
- Cardioceras*
sp. indet., стр. 127, табл. 107, фиг. 2
- Chetaites*
?sp. indet., стр. 129, табл. 107, фиг. 5
- Chlamys*
ex gr. textoria, стр. 78, табл. 23, фиг. 5—6
*tumannensis**, стр. 79, табл. 105, фиг. 4
- Chondroceras*
cf. marshalli, стр. 125, табл. 80, фиг. 2—3
- Cladophlebis*
aldanensis, стр. 136, табл. 109, фиг. 1; табл. 110, фиг. 1; табл. 111, фиг. 1—2
denticulata, стр. 136, табл. 114, фиг. 3
haiburnensis, стр. 137, табл. 109, фиг. 2; табл. 111, фиг. 2
seguilata, стр. 137, табл. 113, фиг. 2
- Coroniceras* (*Paracoriceras*)
siverti, стр. 107, табл. 15, фиг. 1; табл. 16, фиг. 2
- Cylindroteuthis*
cf. obelisca, стр. 134, табл. 108, фиг. 1
- Dactylioceras*
aff. athleticum, стр. 114, табл. 49, фиг. 3
- commune*, стр. 114, табл. 49, фиг. 1
- Dactyloteuthis*
sp., стр. 129, табл. 55, фиг. 4
- Eparietites*
cf. denotatus, стр. 107, табл. 17, фиг. 1
- Goniomya*
dubois, стр. 99, табл. 106, фиг. 4
rhombifera, стр. 98, табл. 42, фиг. 8
sp., стр. 98, табл. 42, фиг. 9
- Награх*
laevigatus, стр. 89, табл. 29, фиг. 1—4
*podosus**, стр. 88, табл. 28, фиг. 6—8
spinosus, стр. 87, табл. 28, фиг. 4—5
- Нагросерас*
exaratum, стр. 117, табл. 46, фиг. 3; табл. 47, фиг. 3
- Нагросератоидес*
alajaensis, стр. 116, табл. 45, фиг. 4; табл. 47, фиг. 1—2
*planus**, стр. 117, табл. 45, фиг. 2—3
- Hastites*
cf. bergensis, стр. 131, табл. 57, фиг. 4
cf. clavatus, стр. 131, табл. 57, фиг. 2
cf. milleri, стр. 132, табл. 55, фиг. 1
neumarktensis, стр. 131, табл. 57, фиг. 3
sp., стр. 132, табл. 57, фиг. 1
- Heilungia*
aldanensis, стр. 139, табл. 113, фиг. 1
amurensis, стр. 139, табл. 112; фиг. 2
aff. amurensis, стр. 139, табл. 112, фиг. 1
- Hildaites*
grandis, стр. 118, табл. 48, фиг. 1
- Holcobelus*
sp., стр. 134, табл. 69, фиг. 2
- Holcophylloceras*
cf. costisparsum, стр. 101, табл. 81, фиг. 4
- Номалотеуthis*
cf. breviformis, стр. 134, табл. 57, фиг. 6
- Lagonibelus*
cf. kostromensis, стр. 135, табл. 108, фиг. 2
- Leda*
*formosa**, стр. 30, табл. 21, фиг. 1—2
*subjacutica**, стр. 31, табл. 59, фиг. 3—5
*subvexillata**, стр. 29, табл. 1, фиг. 5—6
- Leioceras*
sp., стр. 124, табл. 68, фиг. 3
- Lima*
borealis, стр. 86, табл. 105, фиг. 1
consobrina, стр. 86, табл. 105, фиг. 2—3
*gizhigensis**, стр. 85, табл. 28, фиг. 3
*phylatovi**, стр. 85, табл. 28, фиг. 1—2
transversa, стр. 84, табл. 8, фиг. 5—6
- Loboidothyris*
*orientalis**, стр. 26, табл. 20, фиг. 5
- Lobothyris*
punctata, стр. 26, табл. 1, фиг. 3
- Megateuthis*
elliptica, стр. 133, табл. 81, фиг. 1
- Meleagrinnella*, стр. 38
- ansparsicosta**, стр. 41, табл. 21, фиг. 3—7
*faminaestriata**, стр. 42, табл. 39, фиг. 3—5
ovalis, стр. 43, табл. 104, фиг. 1—4
*oxytomaeformis**, стр. 39, табл. 22, фиг. 1—5
*ptchelincevae**, стр. 40, табл. 22, фиг. 6—10
*subolifex**, стр. 38, табл. 2, фиг. 6—8
substriata, стр. 42, табл. 39, фиг. 1—2
- Mesoteuthis*
rostriformis, стр. 132, табл. 55, фиг. 2
aff. subgracilis, стр. 133, табл. 54, фиг. 1
cf. subpiramidalis, стр. 132, табл. 55, фиг. 3
aff. triscissa, стр. 133, табл. 55, фиг. 5
cf. triscissiformis, стр. 133, табл. 54, фиг. 2
- Modiolus*
aff. bolodekensis, стр. 90, табл. 105, фиг. 6
sp., стр. 91, табл. 105, фиг. 5
- Monotis*
*inopinata**, стр. 32, табл. 2, фиг. 1—5
- Myophorella* (*Vaugonia*)
literata, стр. 93, табл. 42, фиг. 1—5
- Myophoria*
lingonensis, стр. 91, табл. 29, фиг. 5
- Nucula*
amugdaloides, стр. 29, табл. 59, фиг. 1
aff. palmae, стр. 29, табл. 59, фиг. 2
- Ochotorhynchia**
*omolonica**, стр. 25, табл. 1, фиг. 4
- Osperleioceras*
sp., стр. 124, табл. 53, фиг. 5
- Otariria*, стр. 33
- limaeformis limaeformis*, стр. 35, табл. 4, фиг. 1—7
*limaeformis affecta**, стр. 36, табл. 5, фиг. 1—6
ex gr. marshalli, стр. 34, табл. 3, фиг. 9—13
*omolonica**, стр. 37, табл. 4, фиг. 8—10
?originalis, стр. 33, табл. 3, фиг. 1—3
pseudoooriginalis, стр. 34, табл. 3, фиг. 4—8
- Ovaticeras*
facetum, стр. 115, табл. 46, фиг. 1—2, 4—5
propinquum, стр. 116, табл. 44, фиг. 1; табл. 45, фиг. 1
- Oxytoma*, стр. 45
- cygnipes*, стр. 46, табл. 22, фиг. 11—12
ferrugineum, стр. 48, табл. 59, фиг. 6—8
aff. interstriata, стр. 49, табл. 104, фиг. 5—6
aff. jacksoni, стр. 48, табл. 60, фиг. 1
cf. jacksoni, стр. 49, табл. 60, фиг. 2
*sinemuriense orientale**, стр. 45, табл. 5, фиг. 7—9
*startense**, стр. 47, табл. 39, фиг. 6—9
- Passaloteuthis*
cf. argillarum, стр. 130, табл. 54, фиг. 3
elongata, стр. 130, табл. 56, фиг. 2

- cf. *niger*, стр. 130, табл. 56, фиг. 1
aff. viluensis, стр. 130, табл. 54, фиг. 4
sp., стр. 131, табл. 57, фиг. 5
- Pentacrinus**
ex gr. subangularis, стр. 23, табл. 1, фиг. 1—2
- Peregrinelloidea***
*mal'kovi**, стр. 25, табл. 20, фиг. 1
- Peronoceras**
spinatum, стр. 113, табл. 50, фиг. 1—2
- Phacoides**
sp., стр. 93, табл. 74, фиг. 2
- Pholadomya**
ambigua, стр. 96, табл. 31, фиг. 1
idea, стр. 95, табл. 30, фиг. 5
- Pityophyllum**
nordenskioldii, стр. 142, табл. 114, фиг. 1—2
- Plagiostoma**
cf. incrasata, стр. 87, табл. 104, фиг. 7
- Pleuromya**
galathea, стр. 99, табл. 31, фиг. 2; табл. 32, фиг. 1
*raporeformis**, стр. 100, табл. 106, фиг. 3
aff. rugosa, стр. 99, табл. 106, фиг. 2
- Porroceras**
rolage, стр. 113, табл. 50, фиг. 3
- Posidonia**
ex gr. bronni, стр. 76, табл. 8, фиг. 1—4
- Protocardia**
striatula, стр. 95, табл. 42, фиг. 6—7
- Pseudolioceras**, стр. 120
beyrichi, стр. 122, табл. 68, фиг. 1
cf. beyrichi, стр. 123, табл. 69, фиг. 1
compactile, стр. 121, табл. 53, фиг. 1—3
gradatum, стр. 122, табл. 53, фиг. 6
kedonense, стр. 121, табл. 51, фиг. 4—6
lythense, стр. 120, табл. 52, фиг. 1; табл. 53, фиг. 4
m'clintocki, стр. 123, табл. 68, фиг. 2
aff. m'clintocki, стр. 123, табл. 67, фиг. 1—6
- rosenkrantzi*, стр. 122, табл. 51, фиг. 1—3
- Pseudomytiloides**, стр. 60
?aff. amygdaloides, стр. 65, табл. 40, фиг. 9—10
jacuticus, стр. 64, табл. 40, фиг. 6
aff. jacuticus, стр. 64, табл. 40, фиг. 4, 7
*latus**, стр. 62, табл. 6, фиг. 8—9
marchaensis, стр. 64, табл. 40, фиг. 5, 8
*mytiliformis**, стр. 63, табл. 40, фиг. 1—3
*rassochnaensis**, стр. 61, табл. 6, фиг. 1—7
*sinuosus**, стр. 62, табл. 6, фиг. 10—11
- Psiloceras (Franziceras ?)**
*primulum**, стр. 102, табл. 10, фиг. 1—2
- Psiloceras (Psiloceras)**
cf. planorbe, стр. 101, табл. 9, фиг. 5—6
suberugatum, стр. 101, табл. 9, фиг. 1—2, 4
viligense, стр. 102, табл. 9, фиг. 3
- Ptilophyllum**
*sibiricum**, стр. 140, табл. 58, фиг. 1—8
- Radulonectites**
*hayamii**, стр. 82, табл. 24, фиг. 1—5
- Raphaelia**
diamensis, стр. 138, табл. 109, фиг. 3
sp., стр. 138, табл. 110, фиг. 2
- Retroceramus**, стр. 65
bulunensis, стр. 75, табл. 90, фиг. 1—2; табл. 91, фиг. 1
elegans, стр. 67, табл. 63, фиг. 2—3
elongatus, стр. 70, табл. 74, фиг. 3; табл. 75, фиг. 1; табл. 76, фиг. 1; табл. 77, фиг. 1
eximius, стр. 70, табл. 76, фиг. 2; табл. 78, фиг. 1—3
kystatymensis, стр. 71, табл. 82, фиг. 2; табл. 83, фиг. 1
aff. kystatymensis, стр. 72, табл. 84, фиг. 2
lucifer lucifer, стр. 69, табл. 70, фиг. 5; табл. 71, фиг. 1—2; табл. 72, фиг. 1—3; табл. 73, фиг. 1
*lucifer omolonensis**, стр. 69, табл. 71, фиг. 3; табл. 74, фиг. 1
lungershauseni, стр. 68, табл. 64, фиг. 1—2; табл. 65, фиг. 1—2
- menneri*, стр. 66, табл. 61, фиг. 1
cf. menneri, стр. 66, табл. 61, фиг. 2
aff. porrovi, стр. 66, табл. 62, фиг. 1
porrectus, стр. 72, табл. 85, фиг. 1—2
retrorsus, стр. 72, табл. 87, фиг. 1—2; табл. 88, фиг. 1—4
sibiricus, стр. 67, табл. 63, фиг. 1; табл. 64, фиг. 3
tongusensis, стр. 73, табл. 86, фиг. 1
*tuchkovi**, стр. 74, табл. 89, фиг. 1—3
vagt, стр. 75, табл. 92, фиг. 1—2; табл. 93, фиг. 1
- Rimirhynchia**
*mal'tanensis**, стр. 24, табл. 19, фиг. 2
- Rudirhynchia**
pajahensis, стр. 24, табл. 20, фиг. 2—4
- Sagenopteris**
cf. nilssoniana, стр. 138, табл. 38, фиг. 1—3
- Schlotheimia**
ex gr. angulata, стр. 104, табл. 12, фиг. 2—4
? sp., стр. 105, табл. 10, фиг. 3
- Septaliphoria**
?viligaensis, стр. 23, табл. 19, фиг. 1
- Taeniopteris**
sp., стр. 140, табл. 38, фиг. 4
- Tancredia**
*omolonensis**, стр. 94, табл. 30, фиг. 1—3
- sp.*, стр. 94, табл. 30, фиг. 4
- Thaumatopteris**
brauniana?, стр. 136, табл. 18, фиг. 4
cf. schenkii, стр. 135, табл. 18, фиг. 1—3
- Tiltoniceras**
sp., стр. 116, табл. 44, фиг. 2—3
- Trigonia**
aff. hemisphaerica, стр. 92, табл. 66, фиг. 2—3
- Variamussium**
rumilum, стр. 76, табл. 41, фиг. 1—2
sp., стр. 78, табл. 66, фиг. 1
*waageni**, стр. 77, табл. 41, фиг. 3—6
- Velata**
*viligaensis**, стр. 83, табл. 25, фиг. 1—2; табл. 26, фиг. 1; табл. 27, фиг. 1
- Waehneroceras**
angustum, стр. 103, табл. 11, фиг. 1—3
*arganense**, стр. 104, табл. 12, фиг. 1
- Zeilleria**
ex gr. cornuta, стр. 28, табл. 20, фиг. 6—7
darwini, стр. 28, табл. 19, фиг. 3
- Zugodactylites**
braunianus, стр. 114, табл. 49, фиг. 2
aff. braunianus, стр. 115, табл. 49, фиг. 5
sp., стр. 115, табл. 49, фиг. 4

Содержание

ПРЕДИСЛОВИЕ	3
ОЧЕРК БИОСТРАТИГРАФИИ ЮРСКИХ ОТЛОЖЕНИЙ СЕВЕРО-ВОСТОКА СССР	5
ОБЪЯСНЕНИЕ УПОТРЕБЛЕННЫХ В АТЛАСЕ ЛАТИНСКИХ ТЕРМИНОВ	19
КРАТКАЯ ХАРАКТЕРИСТИКА МОРФОЛОГИИ РАКОВИН ОСНОВНЫХ ГРУПП ФАУН	20
СХЕМА СТРОЕНИЯ ЛИСТЬЕВ НЕКОТОРЫХ ИСКОПАЕМЫХ РАСТЕНИЙ	22
ОПИСАНИЕ ВИДОВ	23
ТИП Echinodermata. Иглокожие	23
Класс Crinoidea. Морские лилии	23
Отряд Isocrinida	23
Семейство Pentacrinidae	23
ТИП Brachiopoda. Брахииподы	23
Класс Articulata. Замковые	23
Отряд Rhynchonellida	23
Семейство Rhynchonellidae	23
Семейство Dimerellidae	25
Отряд Terebratulida	26
Семейство Terebratulidae	26
Семейство Dielasmatidae	27
Семейство Zeilleridae	28
ТИП Mollusca. Мягкотелые	29
Класс Bivalvia. Двустворчатые моллюски	29
Отряд Taxodonta. Рядозубые	29
Семейство Nuculidae	29

Семейство Ledidae	29
Отряд Anisomyaria. Неравномускульные	32
Семейство Monotidae	32
Семейство Aucellidae	50
Семейство Bakewellidae	59
Семейство Inoceramidae	65
Семейство Rhombopteriidae	76
Семейство Pectinidae	76
Семейство Limidae	84
Семейство Plicatulidae	87
Семейство Anomiidae	89
Семейство Mytilidae	90
Отряд Schizodonta. Расщепленнозубые	91
Семейство Myophoriidae	91
Семейство Trigoniidae	92
Отряд Heterodonta. Разнозубые	93
Семейство Lucinidae	93
Семейство Tancrediidae	94
Семейство Cardiidae	95
Отряд Desmodonta. Связочнозубые	95
Семейство Pholadomyidae	95
Семейство Pleuromyidae	99
Класс Cephalopoda. Головоногие	100
Подкласс Ectocochlia. Наружнораковинные	100
Отряд Ammonitida. Аммониты	100
Семейство Phylloceratidae	100
Семейство Psiloceratidae	101
Семейство Schlotheimidae	103
Семейство Arietitidae	106
Семейство Amaltheidae	108
Семейство Dactyloceratidae	113
Семейство Harpoceratidae	115
Семейство Graphoceratidae	120
Семейство Stephanoceratidae	124
Семейство Macrocephalitidae	125
Семейство Cardioceratidae	126
Семейство Oppeliidae	128
Семейство Perisphinctidae	129
Подкласс Endocochlia. Внутреннераковинные	129
Отряд Decapoda. Десятиногие	129
Семейство Belemnitidae	129
PLANTAE — Растения	135
Порядок Filicales — Папоротники	135
Порядок Caytoniales — Кейтониевые	138

Порядок Cycadales — Цикадовые	139
Порядок Bennettitales — Беннеттитовые	140
Порядок Coniferales — Хвойные	142
ЛИТЕРАТУРА ПО ЮРСКОЙ ФАУНЕ СЕВЕРО-ВОСТОКА СССР	143
ЛИТЕРАТУРА ПО ЮРСКОЙ ФЛОРЕ СЕВЕРО-ВОСТОКА СССР	144
ТАБЛИЦЫ И ОБЪЯСНЕНИЯ К НИМ	145
АЛФАВИТНЫЙ УКАЗАТЕЛЬ РОДОВ, ПОДРОДОВ, ВИДОВ И ПОД- ВИДОВ	375

ЗАМЕЧЕННЫЕ ОПЕЧАТКИ

Страница	Строка	Напечатано	Следует читать
13	23 сверху	penmarktensis	neumarktensis
16	7 снизу	anabarensis	anabarense
76	12 сверху	Voltz et Zieten	Voltz in Zieten
143	25 снизу	блемнит	белемнит

7055

Северо-Восточное ордена Трудового Красного Знамени геологическое управление.
Магадзское книжное издательство.

ЕФИМОВА Анастасия Федоровна, **КИНАСОВ** Валентин Петрович,
ПАРАКЕЦОВ Константин Владимирович, **ПОЛУБОТКО** Инга Владимировна,
РЕЙНИН Юрий Степанович, **ДАГИС** Альгирдас Станиславович.

ПОЛЕВОЙ АТЛАС ЮРСКОЙ ФАУНЫ И ФЛОРЫ СЕВЕРО-ВОСТОКА СССР

Ответственный за выпуск **И. В. Полуботко**. Художественный редактор **Д. Д. Власенко**.
Технический редактор **В. В. Плоская**. Корректор **М. Л. Лисичкина**.

Сдано в набор 27/XI—1967 г. Подписано к печати 7/VI—1968 г. АХ—01127. Формат 60 × 90/16.
Объем 24,0 физ. п. л., 19,36 уч.-изд. л. Заказ 7055. Тираж 550. Цена 2 р. 49 коп.
Заказное. Бум. тип. № 2 и мел. Магаданское книжное издательство, г. Магадан, ул. Пролетарская, 45. Магаданская областная типография Управления по печати.